



DEMANDE D'AUTORISATION ENVIRONNEMENTALE

Projet éolien de La Chapelle-Janson Eolien Energie

PIECE N° 8 :
ETUDE DE DANGERS ET RESUME NON-TECHNIQUE

- DECEMBRE 2022 -

Version incluant les compléments pour recevabilité – Août 2024



Suivi du document

Maitrise des enregistrements / Référence du document :

Référence	Versions
35_VOLTALIA_Chapelle_Janson_8_EtudeDeDangers_RNT_v2.docx	<p>Versions < 1 (0.1, 0.2, ...) versions de travail Version 1 : version du document à déposer Versions >1 : modifications ultérieures du document</p>

Evolutions du document :

Version	Date	Rédacteur(s)	Vérificateur(s)	Modification(s)
0.1	30/11/2022	CJ	MA	
0.2	05/12/2022	CJ	MA	Corrections diverses
1	10/12/2022	CJ	MA	/
1.1	10/05/2024	JL	SR FG	Prise en compte des compléments
2	27/05/2024	JL	SR FG	Version complétée

Intervenants :

		Initiales	Société
Rédacteur (s) du document :	Camille JEANNEAU Julien LHOMME	CJ JL	SYNERGIS ENVIRONNEMENT
Vérificateur (s) :	Sébastien ROBERT Moïra ANDREU Fanch GRANGER	SR MA FG	VOLTALIA

Il est rappelé que l'étude de dangers, élément clé de la politique de prévention des risques technologiques, est réalisée sous la responsabilité de l'exploitant qui est responsable de son contenu. Synergis Environnement ne pourra être tenu responsable d'éléments du dossier insérés à la demande de l'exploitant. En conséquence, Synergis Environnement ne pourra être tenu responsable de dangers, d'erreurs ou d'inconvénients sur lesquels l'attention de l'exploitant a été clairement attirée. L'exploitant est le seul responsable et décisionnaire des choix des procédés et procédures contre les dangers ou inconvénients pour lesquels son attention a été clairement attirée. L'exploitant validera les scénarios retenus dans l'étude de dangers et prendra les dispositions nécessaires pour que les scénarios catastrophiques, non retenus suite à l'analyse des risques préliminaires, n'arrivent pas.

Synergis Environnement se conforme aux dispositions contractuelles définies avec l'exploitant, et dans ce cadre, apporte le concours de ses connaissances et de sa technique à la réalisation de l'étude de dangers. Impact et Environnement déclare en outre que ses conseils, la qualité de son intervention, sont le produit de sa diligence et de sa prudence. Impact et Environnement reconnaît donc avoir un devoir de conseil et d'information des risques. Impact et Environnement s'engage à mettre en œuvre les moyens nécessaires en sa possession pour assurer la disponibilité, la permanence et la qualité du service qu'elle propose et souscrit à ce titre une obligation de moyens. Aucun résultat déterminé n'est donc garanti. Il convient de préciser que la responsabilité d'Impact et Environnement est limitée à la seule faute lourde ou dolosive.

Contact :



Sébastien ROBERT

Directeur
développement

Fanch GRANGER

Chef de projets multi-
énergies

84, boulevard de Sébastopol
75003 Paris

/ 06.73.07.15.20

s.robert@voltalia.com F.GRANGER@voltalia.com

INTRODUCTION

L'objet de ce document est de présenter l'une des pièces constitutives du dossier de Demande d'Autorisation Environnementale du **projet de Parc éolien de La Chapelle Janson Eolien Energie** basé sur la commune de La Chapelle-Janson (35) et porté par la société **SAS La Chapelle - Janson Eolien Energie**. Cette pièce définie à l'article L.181-25 du code de l'environnement est **l'étude de dangers**.

En effet, la loi n°2010-788 du 12 juillet 2010 portant engagement national pour l'environnement (loi Grenelle II) a soumis les éoliennes au régime d'autorisation au titre de la réglementation des installations classées pour la protection de l'environnement (ICPE). Conformément à cette nouvelle réglementation, les exploitants sont notamment amenés à formaliser leur savoir-faire en matière de maîtrise des risques dans une étude de dangers. Dans ce cadre, un guide technique a été réalisé par un groupe de travail constitué de l'INERIS (Institut national de l'environnement industriel et risques) et de professionnels du Syndicat des énergies renouvelables : porteurs de projets, exploitants de parcs éoliens et constructeurs d'éoliennes. Compte tenu de la technologie mise en œuvre dans les parcs éoliens, il apparaît effectivement possible et souhaitable de traiter cette analyse de manière générique, afin de pouvoir transcrire les résultats présentés dans ce guide à l'ensemble des parcs éoliens installés en France. L'INERIS a validé la méthodologie, au regard de la réglementation en vigueur et des pratiques actuelles en matière d'étude de dangers dans les autres installations classées pour la protection de l'environnement (ICPE). Ainsi, l'étude de dangers réalisée pour le **projet de Parc éolien de La Chapelle – Janson Eolien Energie** s'appuie sur ce guide technique, reflet de l'état de l'art en matière de maîtrise des risques technologiques, en reprenant la trame type qui y est présentée.

Les autres pièces constitutives du dossier de Demande d'Autorisation Environnementale sont présentées indépendamment.

NUMEROTATION DU DOSSIER

REFERENCES REGLEMENTAIRES

CERFA N° 15964*01 et Code de l'Environnement (CE)

 Pièce n°1 : Description du projet	Réf. CERFA - 4.1.1 à 4.1.3 ; P.J. n°46 Réf. CE R.181-13-4° ; D.181-15-2-I-2°
 Pièce n°2 : La note de présentation non-technique	Réf. CERFA - P.J. n°7 Réf. CE R.181-13-8°
 Pièce n°3 : Justification de maîtrise foncière	Réf. CERFA - P.J. n°3 Réf. CE R.181-13-3°
 Pièce n°4 : Parcelles du projet	Réf. CERFA - partie 2.3
 Pièce n°5 : L'étude d'impact	Réf. CERFA - P.J. n°4 Réf. CE R.181-13-5°
 Pièce n°6 : Annexes de l'étude d'impact	Réf. CERFA - P.J. n°4 Réf. CE R.181-13-5°
 Pièce n°7 : Le résumé non-technique de l'étude d'impact	Réf. CERFA - P.J. n°4 Réf. CE R.122-5-II-1°
 Pièce n°8 : Etude de dangers et résumé non-technique	Réf. CERFA - P.J. n°49 Réf. CE D. 181-15-2-I-10°
 Pièce n°9 : Capacités techniques et financières	Réf. CERFA - P.J. n°47 Réf. CE D. 181-15-2-I-3°
 Pièce n°10 : Autres pièces obligatoires ICPE (garanties financières, avis relatifs à la remise en état, document de conformité à l'urbanisme)	Réf. CERFA - P.J. n°60/62 /63/64/68 Réf. CE D. 181-15-2-I-8°; D. 181-15-2-I-11°; D. 181-15-2-I-12°
 Pièce n°11 : Plan de situation	Réf. CERFA - P.J. n°1 Réf. CE D.181-13-2°
 Pièce n°12 : Eléments graphiques, plans et cartes du projet (plans de masse, plans d'architecte)	Réf. CERFA - P.J. n°2 Réf. CE D.181-13-7°
 Pièce n°13 : Plan d'ensemble	Réf. CERFA - P.J. n°48 Réf. CE D.181-15-1-III-5°

SOMMAIRE

INTRODUCTION.....	3
SOMMAIRE	4
TABLES DES ILLUSTRATIONS	5
I. LE RESUME NON-TECHNIQUE	6
I.1. L'ENERGIE EOLIENNE : POURQUOI ET COMMENT ?	6
I.2. PRESENTATION DU PROJET	7
I.2.1. Les acteurs du projet.....	7
I.2.2. Le projet.....	7
I.2.3. L'environnement du projet	12
I.3. ANALYSE DES RISQUES.....	15
I.3.1. Identification des potentiels de dangers de l'installation.....	15
I.3.2. Analyse des retours d'expérience	15
I.3.3. Analyse préliminaire des risques.....	16
I.3.4. Analyse détaillée des risques	17
I.4. CONCLUSION	18
II. PREAMBULE	21
II.1. OBJECTIF DE L'ETUDE DE DANGERS	21
II.2. CONTEXTE LEGISLATIF ET REGLEMENTAIRE	21
II.3. NOMENCLATURE DES INSTALLATIONS CLASSEES.....	21
III. INFORMATIONS GENERALES CONCERNANT L'INSTALLATION	22
III.1. RENSEIGNEMENTS ADMINISTRATIFS.....	22
III.2. LOCALISATION DU SITE	22
III.3. DEFINITION DE L'aire d'étude.....	22
IV. DESCRIPTION DE L'ENVIRONNEMENT DE L'INSTALLATION	24
IV.1. ENVIRONNEMENT HUMAIN.....	24
IV.1.1. Zones urbanisées	24
IV.1.2. Établissements recevant du public (ERP)	25
IV.1.3. Installations classées pour la protection de l'environnement (ICPE) et installations nucléaires de base.....	25
IV.1.4. Autres activités	25
IV.2. ENVIRONNEMENT NATUREL	25
IV.2.1. Contexte climatique.....	25
IV.2.2. Risques naturels.....	27
IV.3. ENVIRONNEMENT MATERIEL.....	29
IV.3.1. Voies de communication	29
IV.3.2. Réseaux publics et privés.....	29
IV.3.3. Autres ouvrages publics	29
IV.4. CARTOGRAPHIE DE SYNTHESE	29
V. DESCRIPTION DE L'INSTALLATION	33
V.1. CARACTERISTIQUES DE L'INSTALLATION	33
V.1.1. Caractéristiques générales d'un parc éolien	33
V.1.2. Activité de l'installation	34
V.1.3. Composition de l'installation	34
V.2. FONCTIONNEMENT DE L'INSTALLATION	36
V.2.1. Principe de fonctionnement d'un aérogénérateur	36
V.2.2. Sécurité de l'installation – Conformité aux prescriptions de l'Arrêté ministériel du 26 août 2011 modifié.....	36
V.3. MOYENS DE SUIVI, DE SURVEILLANCE ET D'INTERVENTION PREVUS	38
V.3.1. Organisation du suivi et de la surveillance prévus	38
V.3.2. Moyens d'intervention en cas d'incident et d'accident	39
V.3.3. Opérations de maintenance de l'installation	41
V.3.4. Stockage et flux de produits dangereux.....	41
V.3.5. Autres réseaux	41
VI. RACCORDEMENT ELECTRIQUE ET CONFORMITE.....	42
VI.1. RACCORDEMENT ELECTRIQUE	42
VI.2. SECURITE ET ENGAGEMENT DU PORTEUR DE PROJET	45

VI.3. BILAN DES DT/DICT.....	45
VII. IDENTIFICATION DES POTENTIELS DE DANGERS DE L'INSTALLATION	46
VII.1. POTENTIELS DE DANGERS LIES AUX PRODUITS	46
VII.2. POTENTIELS DE DANGERS LIES AU FONCTIONNEMENT DE L'INSTALLATION	46
VII.3. REDUCTION DES POTENTIELS DE DANGERS A LA SOURCE	46
VII.3.1. Principales actions préventives	46
VII.3.2. Utilisation des meilleures techniques disponibles	47
VIII. ANALYSE DES RETOURS D'EXPERIENCE	48
VIII.1. INVENTAIRE DES ACCIDENTS ET INCIDENTS EN FRANCE	48
VIII.2. INVENTAIRE DES ACCIDENTS ET INCIDENTS A L'INTERNATIONAL	49
VIII.3. SYNTHESE DES PHENOMENES DANGEREUX REDOUTES ISSUS DU RETOUR D'EXPERIENCE.....	50
VIII.3.1. Analyse de l'évolution des accidents en France	50
VIII.3.2. Analyse des typologies d'accidents les plus fréquents	50
VIII.4. LIMITES D'UTILISATION DE L'ACCIDENTOLOGIE.....	50
IX. ANALYSE PRELIMINAIRE DES RISQUES	51
IX.1. OBJECTIF DE L'ANALYSE PRELIMINAIRE DES RISQUES.....	51
IX.2. RECENSEMENT DES EVENEMENTS INITIAUTEURS EXCLUS DE L'ANALYSE DES RISQUES	51
IX.3. RECENSEMENT DES AGRESSIONS EXTERNES POTENTIELLES.....	51
IX.3.1. Agressions externes liées aux activités humaines	51
IX.3.2. Agressions externes liées aux phénomènes naturels	52
IX.4. SCENARIOS ETUDIES DANS L'ANALYSE PRELIMINAIRE DES RISQUES.....	52
IX.5. EFFETS DOMINOS.....	54
IX.6. MISE EN PLACE DES MESURES DE SECURITE	54
IX.7. CONCLUSION DE L'ANALYSE PRELIMINAIRE DES RISQUES	57
X. ETUDE DETAILLEE DES RISQUES	58
X.1. RAPPEL DES DEFINITIONS.....	58
X.1.1. Cinétique	58
X.1.2. Intensité	58
X.1.3. Gravité	58
X.1.4. Probabilité	59
X.2. CARACTERISATION DES SCENARIOS RETENUS	60
X.2.1. Projection de pales ou de fragments de pales	60
X.2.2. Projection de glace	61
X.2.3. Effondrement de l'éolienne	62
X.2.4. Chute de glace	63
X.2.5. Chute d'éléments de l'éolienne	64
X.3. SYNTHESE DE L'ETUDE DETAILLEE DES RISQUES	66
X.3.1. Tableaux de synthèse des scénarios étudiés	66
X.3.2. Synthèse de l'acceptabilité des risques	66
X.3.3. Cartographie des risques	66
XI. CONCLUSION	68
Annexe 1 – Méthode de comptage des personnes pour la détermination de la gravité potentielle d'un accident à proximité d'une éolienne	69
Annexe 2 – Détails du comptage de personnes par scénario et par éolienne	70
Annexe 3 – Tableau de l'accidentologie française	76
Annexe 4 – Scénarios génériques issus de l'analyse préliminaire des risques	88
Annexe 5 – Probabilité d'atteinte et Risque individuel	90
Annexe 6 – Glossaire	91
Annexe 7 – Bibliographie et références utilisées	93

TABLES DES ILLUSTRATIONS



LES FIGURES

Figure 1 : Méthode de l'étude de dangers éolienne (Source : INERIS)	6
Figure 2 : Répartition des projets de VOLTALIA en exploitation, construction et en instruction en France	7
Figure 3 : Localisation du projet éolien	7
Figure 4 : Exemple d'un poste de livraison (Source : VOLTALIA)	8
Figure 5 : Plan d'élévation du gabarit-type maximisant prévu (Source : NORDEX)	Erreur ! Signet non défini.
Figure 6 : Plan d'implantation	10
Figure 7 : Description de l'installation projetée	Erreur ! Signet non défini.
Figure 8 : Synthèse de l'environnement du projet	13
Figure 9 : Carte des distances aux habitations les plus proches	14
Figure 10 : Évolution du nombre annuel d'accident/incident par tranche de 100 MW de puissance éolienne installée en France entre 2001 et 2021 (Source : INERIS, ARIA)	15
Figure 11 : Synthèse des risques - Eolienne E1	19
Figure 12 : Synthèse des risques - Eolienne E2	19
Figure 13 : Synthèse des risques - Eolienne E3	20
Figure 14 : Localisation du site du projet	22
Figure 15 : Aire d'étude de dangers	23
Figure 16 : Carte des habitations les plus proches	24
Figure 17 : Normales mensuelles des précipitations à RENNES (Source : METEO-FRANCE)	25
Figure 18 : Normales mensuelles des températures minimales et maximales et ensoleillement à RENNES	25
Figure 19 : Rose des vents à RENNES et en France (Source : METEO-FRANCE)	26
Figure 20 : Densité de foudroiement sur la commune de LA CHAPELLE JANSON	26
Figure 21 : Risque de mouvement de terrain sur la zone du projet (Source : BRGM)	27
Figure 22 : Boisements au niveau du site du projet	28
Figure 23 : Cartographie du risque d'inondation au niveau du projet (Source : BRGM, Géorisques)	28
Figure 24 : Voirie au niveau du projet	29
Figure 25 : Synthèse de l'environnement du projet	30
Figure 26 : Synthèse de l'environnement - Éolienne E1	31
Figure 27 : Synthèse de l'environnement - Éolienne E2	31
Figure 28 : Synthèse de l'environnement - Éolienne E3	32
Figure 29 : Schéma simplifié d'un aérogénérateur	33
Figure 30 : Illustration des emprises au sol d'une éolienne	33
Figure 31 : Plan d'élévation du gabarit-type d'éolienne prévu basé sur une éolienne N131 – 3,6 MW – 165m	34
Figure 32 : Plan d'implantation du projet de Parc éolien de La Chapelle-Janson Eolien Energie	35
Figure 33 : Exemple de panneau d'information permettant l'alerte des secours	39
Figure 34 : Localisation des casernes de pompiers et centres de secours autour du projet	39
Figure 35 : Exercice de sauvetage par les pompiers sur une éolienne (Source : SDIS17, Ouest-France, Le Télégramme)	40
Figure 36 : Raccordement électrique des installations	42
Figure 37 : Exemple de câbles MT pour raccordement électrique interne	42
Figure 38 : Exemple de câble de raccordement électrique interne type NF C33-226	42
Figure 39 : Exemple de tranchée de raccordement électrique interne à une seule ligne ou à deux lignes	42
Figure 40 : Plan de raccordement électrique interne	43
Figure 41 : Coupe-type du poste de livraison (Source : VOLTALIA)	43
Figure 42 : Illustration d'un passage de câbles électriques sous voirie (Source : La Voix du Nord, Ouest France)	44
Figure 43 : Exemple de câble de raccordement électrique souterrain (Source : RTE)	44
Figure 44 : Vue en coupe de la tranchée de liaison électrique au poste source	44
Figure 45 : Dangers potentiels liés au fonctionnement de l'installation	46
Figure 46 : Répartition des événements accidentels sur le parc d'aérogénérateurs français entre 2000 et 2021	48
Figure 47 : Répartition par causes des principaux accidents recensés sur le parc éolien français de 2000 à 2021 (Source : INERIS, ARIA)	49
Figure 48 : Répartition des événements accidentels dans le monde entre 2000 et 2011	49
Figure 49 : Répartition des causes premières d'effondrement, de rupture de pale et d'incendie (de haut en bas)	50
Figure 50 : Évolution du nombre annuel d'accident/incident par tranche de 100 MW de puissance éolienne installée en France entre 2001 et 2021 (Source : INERIS, ARIA)	50
Figure 51 : Exemple d'effet domino	54
Figure 52 : Données utilisées pour le calcul des risques	60
Figure 53 : Synthèse des risques - Eolienne E1	67
Figure 54 : Synthèse des risques - Eolienne E2	67
Figure 55 : Synthèse des risques - Eolienne E3	68



LES TABLEAUX

Tableau 1 : Répartition de la capacité éolienne exploitée par VOLTALIA en France au 31 décembre 2021 (Source : VOLTALIA)	7
Tableau 2 : Description des différents éléments constitutifs du type d'éoliennes prévus	8
Tableau 3 : Echelle des niveaux de probabilité	17
Tableau 4 : Synthèse des paramètres de risques pour chaque scénario retenu	17
Tableau 5 : Matrice de l'acceptabilité du risque pour le projet éolien de Parc éolien de La Chapelle-Janson Eolien Energie	18
Tableau 6 : Différents acteurs du dossier	22
Tableau 7 : Distance entre habitation et éolienne la plus proche	24
Tableau 8 : Nombre moyen de jours avec rafales de vents et rafales maximales de vent (à 10m) enregistrés à RENNES	26
Tableau 9 : Nombre moyen de jours avec brouillard, orage, grêle ou neige à RENNES (Source : METEO-FRANCE)	26
Tableau 10 : Arrêtés de catastrophe naturelle recensés sur la commune de LA CHAPELLE JANSON (Source : Géorisques.gouv.fr)	27
Tableau 11 : Recensement des séismes ressentis sur la commune de LA CHAPELLE JANSON (Source : Géorisques.gouv.fr)	27
Tableau 12 : Synthèse du nombre de personnes exposées dans un rayon de 500m par éolienne	29
Tableau 13 : Coordonnées des éoliennes et du poste de livraison	34
Tableau 14 : Description des différents éléments constitutifs du gabarit-type d'éolienne prévu*	36
Tableau 15 : Caractéristiques du poste-source de FOUGERE (Source : RTE/ENEDIS)	44
Tableau 16 : Principales agressions externes liées aux activités humaines	51
Tableau 17 : Description des agressions externes potentielles de l'installation éolienne	52
Tableau 18 : Analyse générique des risques	52
Tableau 19 : Fonctions de sécurité de l'installation	54
Tableau 20 : Liste des scénarios exclus	57
Tableau 21 : Seuils de gravité et d'intensité en fonction du nombre équivalent de personnes permanentes	58
Tableau 22 : Classes de probabilité	59
Tableau 23 : Exemple de la matrice d'acceptabilité du risque selon l'INERIS	59
Tableau 24 : Calcul de l'intensité du phénomène de projection de pale/fragments de pale	60
Tableau 25 : Calcul de la gravité du phénomène de projection de pale/fragments de pale	60
Tableau 26 : Calcul de la probabilité du phénomène de projection de pale/fragments de pale	60
Tableau 27 : Calcul de l'acceptabilité du phénomène de projection de pale/fragments de pale	61
Tableau 28 : Calcul de l'intensité du phénomène de glace	61
Tableau 29 : Calcul de la gravité du phénomène de projection de glace	61
Tableau 30 : Calcul de l'acceptabilité du phénomène de projection de glace	62
Tableau 31 : Calcul de l'intensité du phénomène d'effondrement	62
Tableau 32 : Calcul de la gravité du phénomène d'effondrement	62
Tableau 33 : Calcul de la probabilité du phénomène d'effondrement	62
Tableau 34 : Calcul de l'acceptabilité du phénomène d'effondrement	63
Tableau 35 : Calcul de l'intensité du phénomène de chute de glace	63
Tableau 36 : Calcul de la gravité du phénomène de chute de glace	64
Tableau 37 : Calcul de l'acceptabilité du phénomène de chute de glace	64
Tableau 38 : Calcul de l'intensité du phénomène de chute d'éléments	64
Tableau 39 : Calcul de la gravité du phénomène de chute d'éléments	64
Tableau 40 : Calcul de l'acceptabilité du phénomène de chute d'éléments	65
Tableau 41 : Synthèse des paramètres de risques pour chaque scénario retenu	66
Tableau 42 : Synthèse de l'acceptabilité des risques pour les éoliennes du projet	66

I. LE RESUME NON-TECHNIQUE

I.1. L'ENERGIE EOLIENNE : POURQUOI ET COMMENT ?

Les objectifs et le contenu de l'étude de dangers sont définis dans la partie du Code de l'Environnement relative aux installations classées. Selon l'article L. 512-1, l'étude de dangers expose les risques que peut présenter l'installation pour les intérêts visés à l'article L. 511-1 en cas d'accident, que la cause soit interne ou externe à l'installation.

L'arrêté du 29 septembre 2005 relatif à l'évaluation et à la prise en compte de la probabilité d'occurrence, de la cinétique, de l'intensité des effets et de la gravité des conséquences des accidents potentiels dans les études de dangers des installations classées soumises à autorisation fournit un cadre méthodologique pour les évaluations des scénarios d'accident majeurs. Il impose une évaluation des accidents majeurs sur les personnes uniquement et non sur la totalité des enjeux identifiés dans l'article L. 511-1. En cohérence avec cette réglementation et dans le but d'adopter une démarche proportionnée, l'évaluation des accidents majeurs dans l'étude de dangers d'un parc d'aérogénérateurs s'intéressera prioritairement aux dommages sur les personnes. Pour les parcs éoliens, les atteintes à l'environnement, l'impact sur le fonctionnement des radars et les problématiques liées à la circulation aérienne feront l'objet d'une évaluation détaillée au sein de l'étude d'impact.

Ainsi, l'étude de dangers a pour objectif de démontrer la maîtrise du risque par l'exploitant. Elle comporte une analyse des risques qui présente les différents scénarios d'accidents majeurs susceptibles d'intervenir. Ces scénarios sont caractérisés en fonction de leur probabilité d'occurrence, de leur cinétique, de leur intensité et de la gravité des accidents potentiels. Elle justifie que le projet permet d'atteindre, dans des conditions économiquement acceptables, un niveau de risque aussi bas que possible, compte tenu de l'état des connaissances et des pratiques et de la vulnérabilité de l'environnement de l'installation.

Selon le principe de proportionnalité, le contenu de l'étude de dangers doit être en relation avec l'importance des risques engendrés par l'installation, compte tenu de son environnement et de sa vulnérabilité. Ce contenu est défini par l'article R. 512-9 du Code de l'Environnement :

- description de l'environnement et du voisinage
- description des installations et de leur fonctionnement
- identification et caractérisation des potentiels de danger
- estimation des conséquences de la concrétisation des dangers
- réduction des potentiels de danger
- enseignements tirés du retour d'expérience (des accidents et incidents représentatifs)
- analyse préliminaire des risques
- étude détaillée de réduction des risques
- quantification et hiérarchisation des différents scénarios en terme de gravité, de probabilité et de cinétique de développement en tenant compte de l'efficacité des mesures de prévention et de protection
- représentation cartographique
- résumé non technique de l'étude des dangers.

De même, la circulaire du 10 mai 2010 récapitulant les règles méthodologiques applicables aux études de dangers, à l'appréciation de la démarche de réduction du risque à la source et aux plans de prévention des risques technologiques (PPRT) dans les installations classées en application de la loi du 30 juillet 2003 précise le contenu attendu de l'étude de dangers et apporte des éléments d'appréciation des dangers pour les installations classées soumises à autorisation.

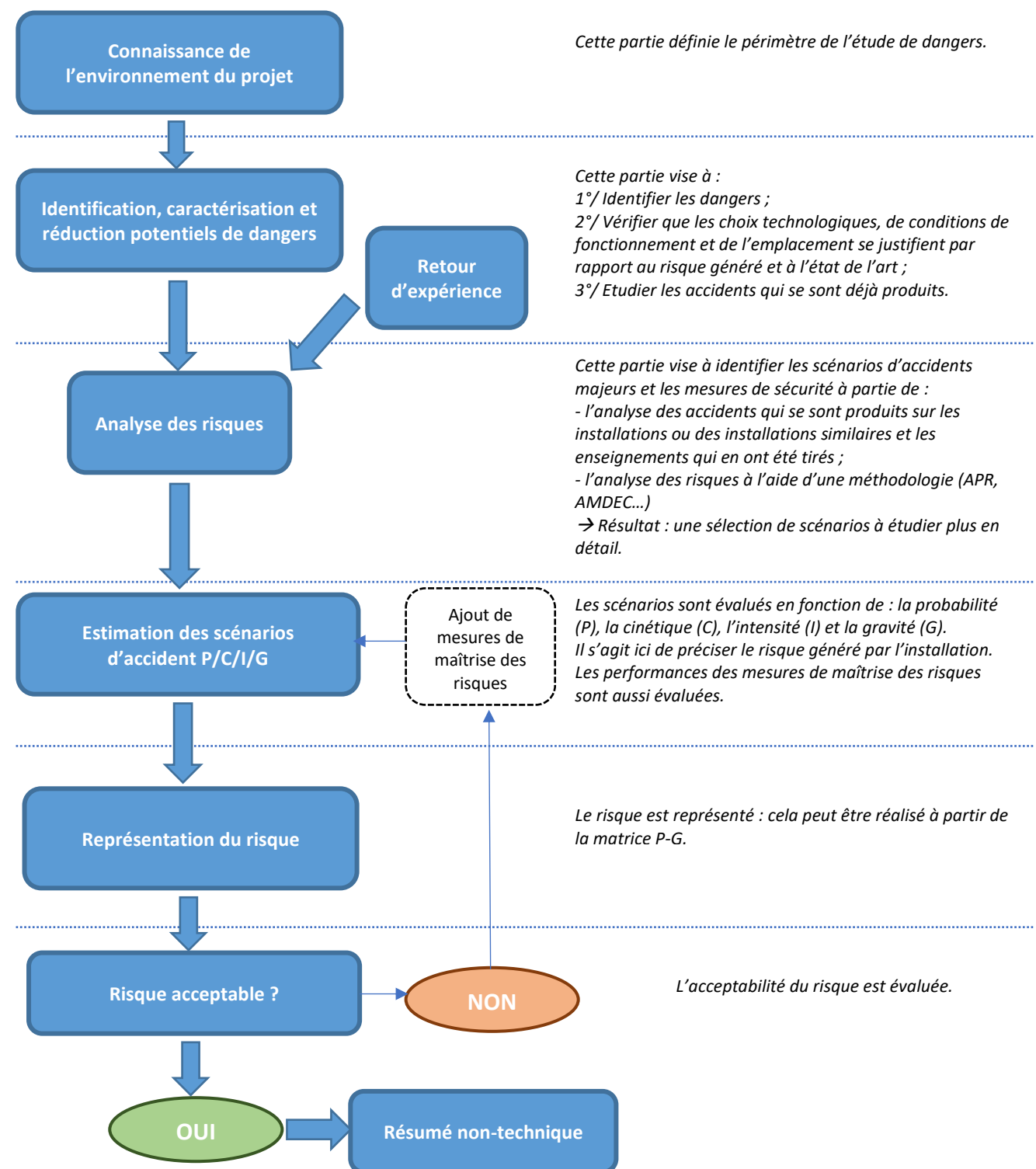


Figure 1 : Méthode de l'étude de dangers éolienne (Source : INERIS)

1.2. PRÉSENTATION DU PROJET

1.2.1. LES ACTEURS DU PROJET

Le développement de ce projet est mené par la société **SAS La Chapelle Janson Eolien Energie**. Cette société a été créée spécifiquement pour ce projet par le groupe VOLTALIA.

Fondé en 2005, VOLTALIA est un producteur d'énergie et prestataire de services dans la production d'électricité renouvelable à partir des énergies solaire, éolienne, hydroélectrique et biomasse.

En tant qu'acteur industriel intégré, VOLTALIA a développé une forte expertise tout au long de la chaîne de valeur d'un projet d'énergie renouvelable : développement de projets, financement de projets, ingénierie, fourniture d'équipement, construction et exploitation & maintenance. Le groupe est présent dans 20 pays et dispose d'une capacité d'action mondiale pour ses clients. En France, VOLTALIA exploite une puissance éolienne totale de 64,2 MW au 31/12/21 réparti comme suit :

Tableau 1 : Répartition de la capacité éolienne exploitée par VOLTALIA en France au 31 décembre 2021 (Source : VOLTALIA)

Site	Énergie	Puissance installée (en MW)
3VD	Éolien	10,0
Echauffour	Éolien	10,0
La Faye	Éolien	12,0
Molinons	Éolien	10,0
Sarry	Éolien	23,1

VOLTALIA exploite également pour le compte de tiers 8,3 MW supplémentaire sur la commune de Saint-Félix-du-Lauragais. Ces parcs en exploitation et ces projets sont localisés sur la carte suivante :

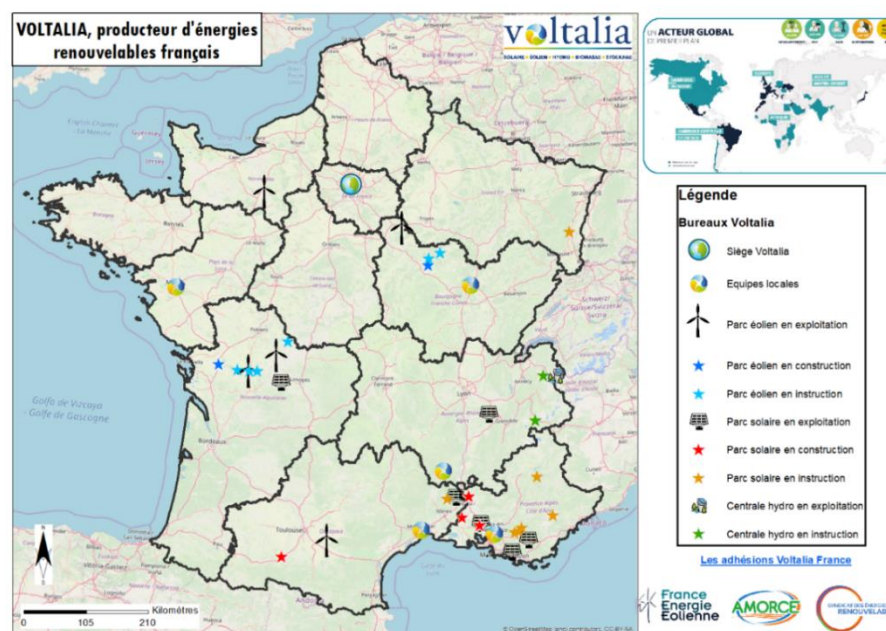


Figure 2 : Répartition des projets de VOLTALIA en exploitation, construction et en instruction en France

Pour réaliser ce projet, VOLTALIA s'est entouré de divers partenaires techniques et experts (Cf. Figure 1 : Les experts consultés pour le développement du projet).

VOLTALIA, propriétaire du parc, disposera des garanties financières demandées. De plus, conformément à la réglementation en vigueur, des garanties financières seront constituées dès la construction du parc par l'exploitant afin d'assurer la remise en état du site après exploitation (270 000 € pour l'ensemble du parc, à actualiser tous les cinq ans).

1.2.2. LE PROJET

1.1.1. Localisation du projet

Le projet de **parc éolien de La Chapelle Janson Eolien Energie** se positionne dans le quart Nord-Est du département d'Ille-et-Vilaine, à la limite avec le département de la Mayenne, au sein du périmètre de commune de LA CHAPELLE-JANSON qui appartient à la Communauté d'agglomération de Fougères dénommée « Fougères Agglomération ». Le site du projet est situé à environ 8 km à l'Est de FOUGERES et à plus de 45 km au Nord-Est de RENNES. Il se place au Sud-Est du périmètre communal de LA CHAPELLE JANSON, dans un petit vallon à 1 km au Nord-Ouest du bourg de La Pellerine, à 640 m au Nord de la route nationale 12 et à plus de 2,5 km au Sud-Est du bourg de la Chapelle Janson.

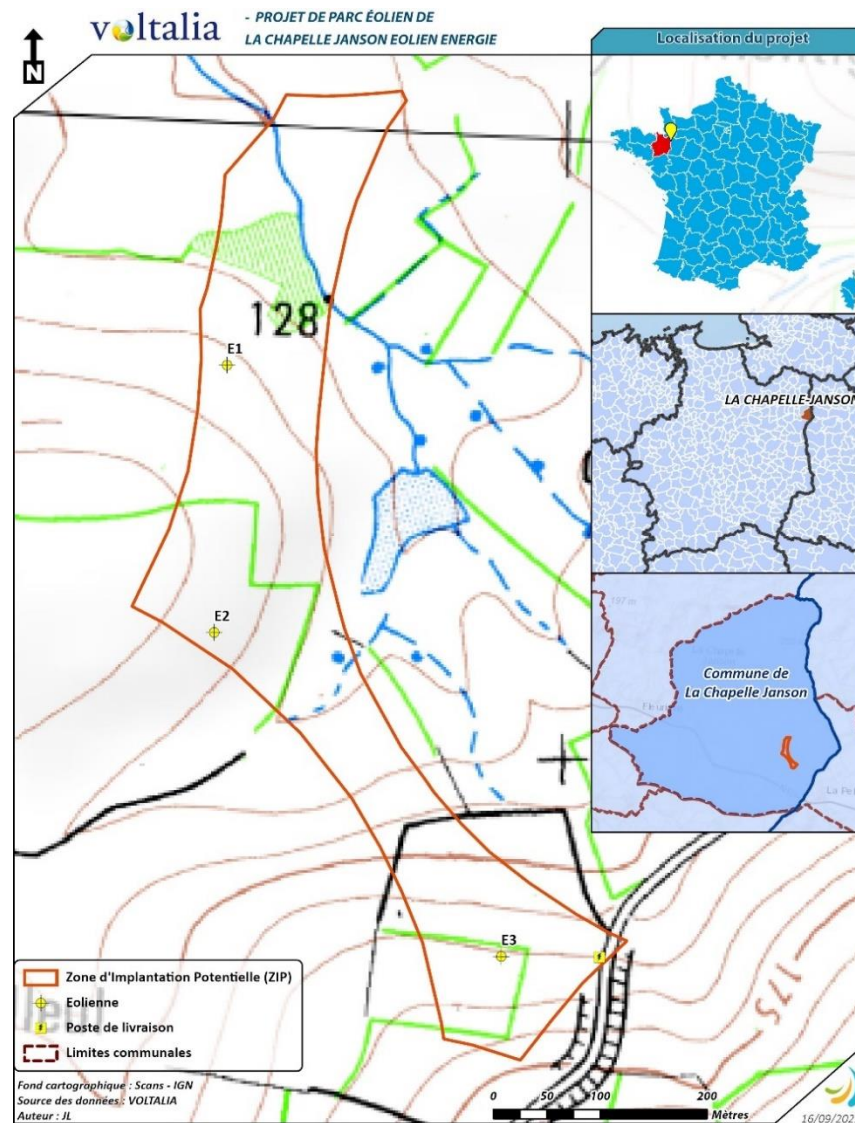


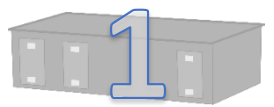
Figure 3 : Localisation du projet éolien

Les principaux chiffres du projet sont détaillés ci-dessous. Les caractéristiques générales du modèle d'éoliennes retenues pour la réalisation de l'étude sont présentées sur la page suivante.

Nombre d'éoliennes :



Nombre de poste de livraison :



Puissance totale (en MW) :



Hauteur en bout de pale (en m) :



I.2.2.1. Les principales caractéristiques du projet éolien de La Chapelle Janson Eolien Energie

Le projet de Parc éolien de La Chapelle Janson Eolien Energie est composé de 3 aérogénérateurs d'une puissance unitaire de 3,6 MW (soit une puissance totale de 10,8 MW) et d'un poste de livraison. Concernant le choix du modèle d'éolienne qui sera installé sur ce parc éolien, le développeur s'est tourné vers le constructeur NORDEX. Le modèle d'aérogénérateur correspond à des machines NORDEX 131 TS99 3,6 MW d'une hauteur de moyeu de 99 mètres (hauteur de la tour de 96,9 m, hauteur en haut de nacelle de 100,9 mètres). Son diamètre de rotor est de 131 mètres à l'arrêt. Ce dernier augmente en fonctionnement, les pales se courbant sous la pression du vent pour atteindre un diamètre de 133,3 mètres. La hauteur en bout de pale de ce modèle d'éolienne est de 164,5 mètres à l'arrêt et de 164,9 mètres en fonctionnement.

Tableau 2 : Description des différents éléments constitutifs d'une éolienne NORDEX N131 TS99 de 3,6 MW

Elément de l'installation	Fonction	Caractéristiques du gabarit-type retenu
Rotor / pales	Capter l'énergie mécanique du vent et la transmettre à la génératrice	<p>Structure : plastique renforcé de fibre de verre et de fibre de carbone Nombre de pales : 3 Diamètre du rotor : 131 m Surface balayée : 13 478 m² Hauteur de moyeu : 99 m</p> <p>Axe et orientation : Orientation active des pales face au vent avec sens de rotation horaire</p>
Nacelle	Supporter le rotor Abriter le dispositif de conversion de l'énergie mécanique en électricité (générateur, etc.) ainsi que les dispositifs de contrôle et de sécurité	<p>Hauteur en haut de nacelle : 100,9 m Arbre de rotor entraîné par les pales.</p> <p>Multiplicateur à engrenage planétaire à plusieurs étages + étage à roue dentée droite ou entraînement différentiel Générateur asynchrone à double alimentation délivrant une tension à 660V</p> <p>Frein principal de type aérodynamique (orientation individuelle des pales par activation électromécanique avec alimentation de secours) et frein auxiliaire mécanique (frein à disque à actionnement actif sur l'arbre rapide)</p>
Transformateur	Elever la tension de sortie de la génératrice avant l'acheminement du courant électrique par le réseau	<p>Positionnement : intégré dans la base du mât Tension transformée : 20 kV</p>
Mât	Supporter la nacelle et le rotor	<p>Structure : Tubulaire acier (4 sections) Protection contre la corrosion : Revêtement multicouche résine époxy</p> <p>Diamètre de la base : 4,3 m Diamètre en haut : 3,26 m Hauteur du mât seul : 96 m</p>
Fondation	Ancrer et stabiliser l'éolienne dans le sol	<p>Forme : Circulaire Nature : Béton armé Diamètre total* : 22,5 m Profondeur : 2,25 m Volume de la fondation : 560 m³</p>

* Variable suivant la nature du sol (présence d'eau notamment).

L'installation comprendra aussi un poste de livraison :

Poste de livraison	Adapter les caractéristiques du courant électrique à l'interface entre le réseau privé et le réseau public	<p>Nombre de postes de livraison : 1 Tension : 20 000 V Dimension : Longueur 10m / largeur 3m / hauteur 2,6m</p>
---------------------------	--	--

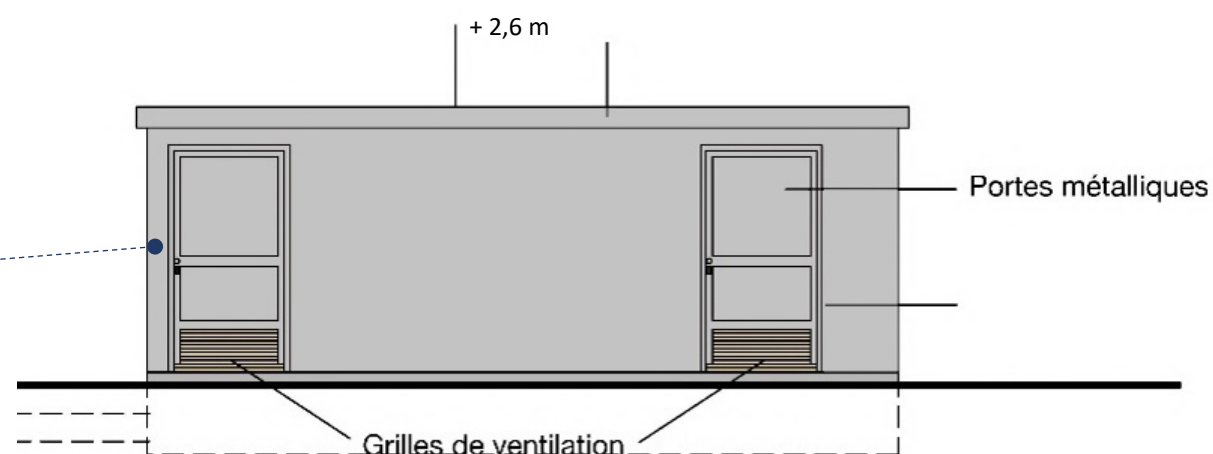


Figure 4 : Exemple d'un poste de livraison (Source : VOLTALIA)

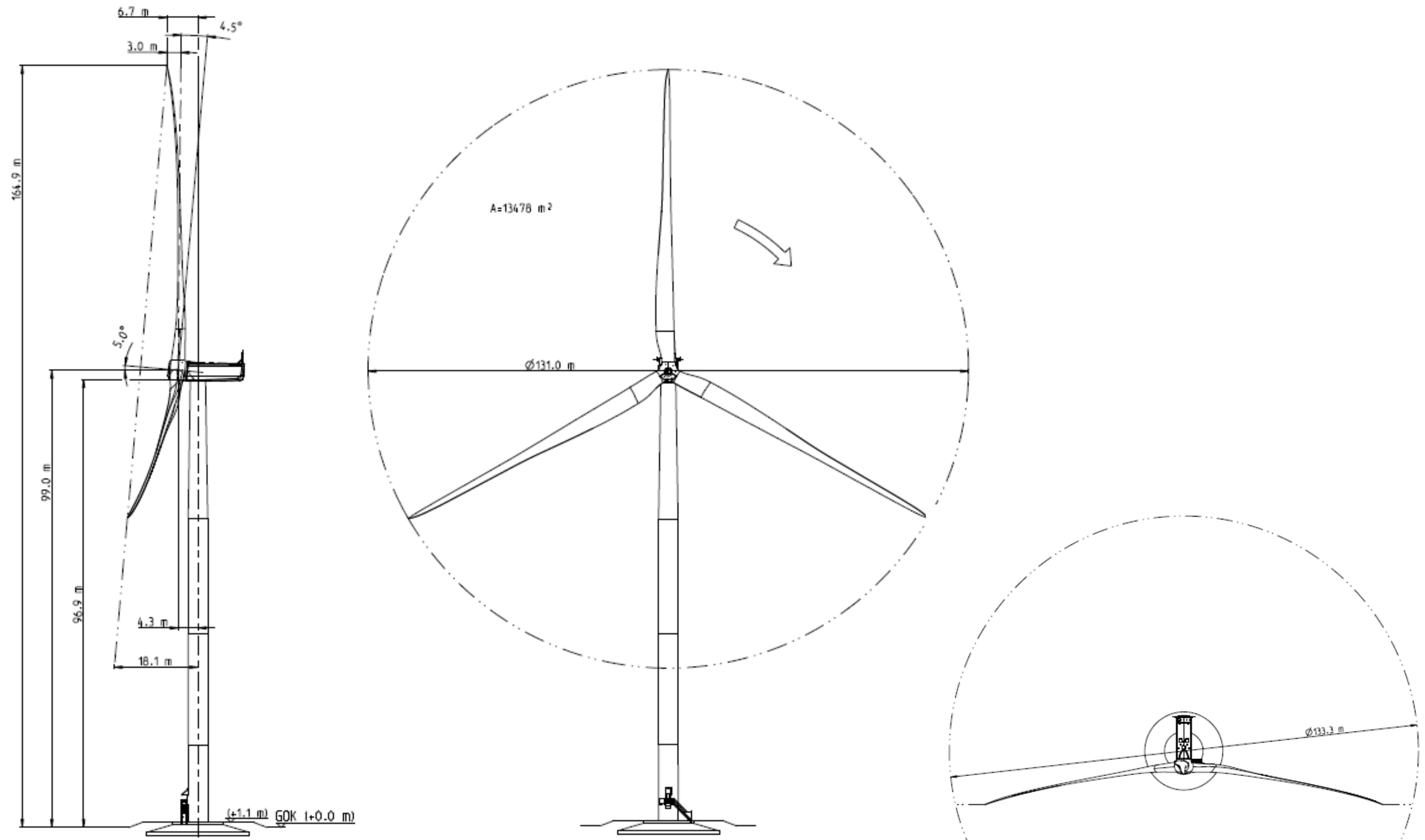


Figure 5 : Plan d'élévation d'une éolienne NORDEX N131 TS99 de 3.6 MW (Source : NORDEX)

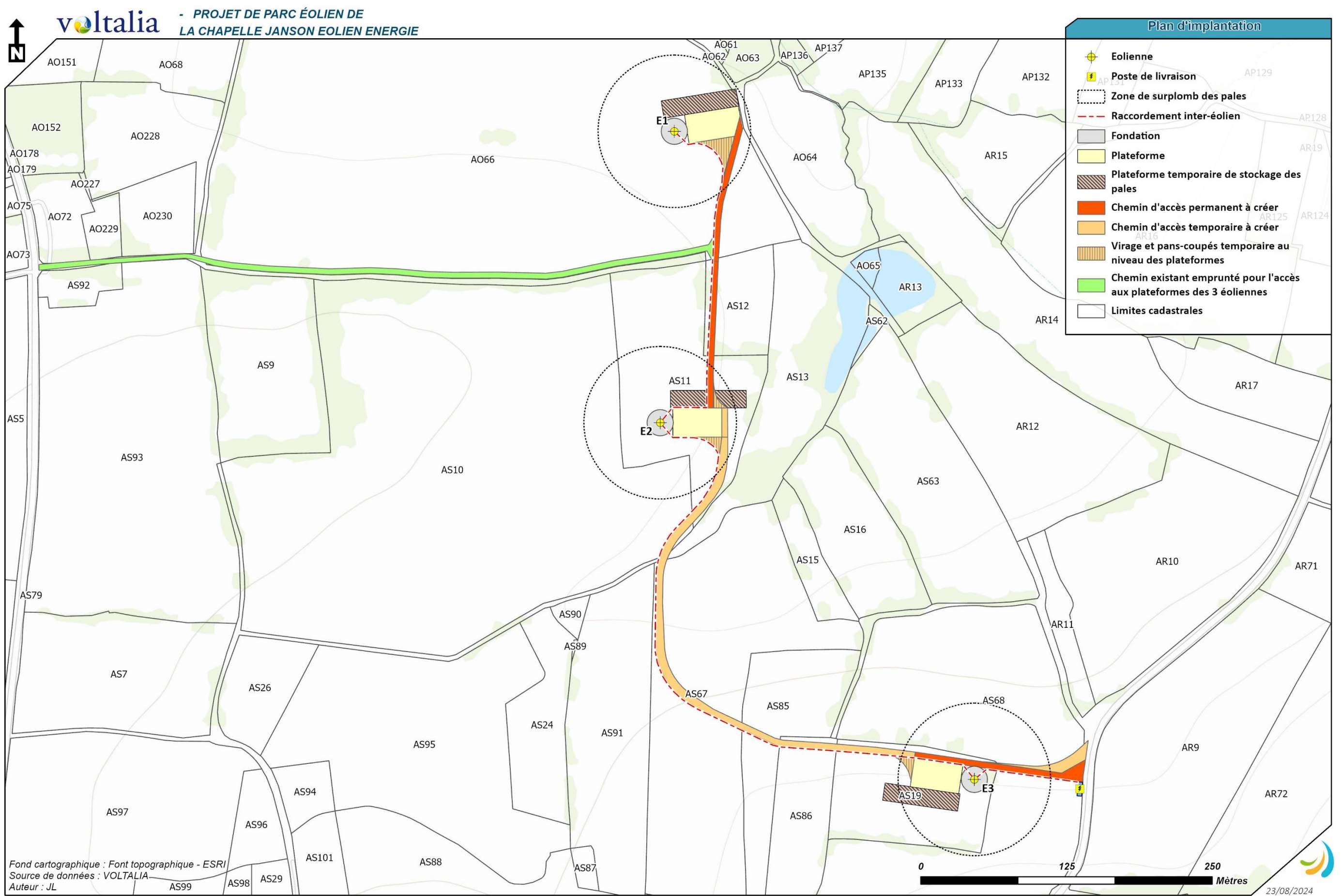
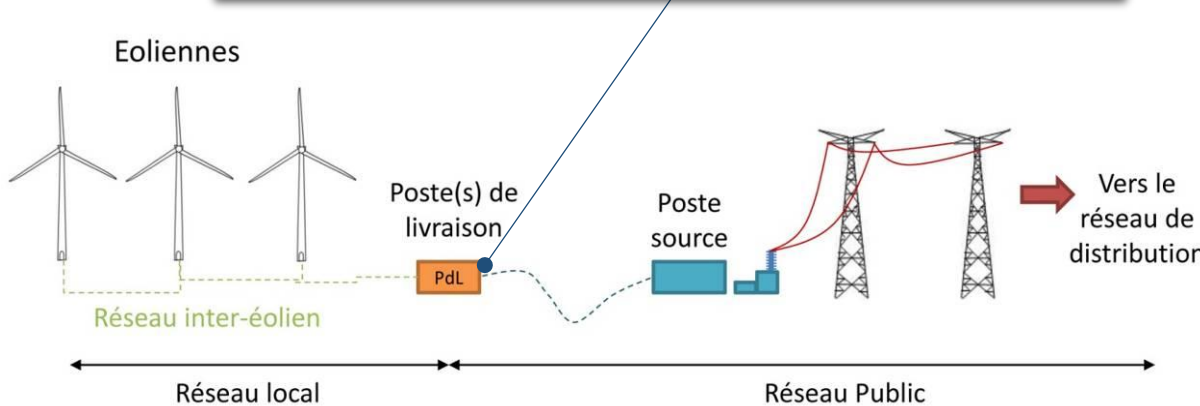


Figure 6 : Plan d'implantation

I.2.2.2. Liaisons électriques et raccordement au réseau

Le poste de livraison est le nœud de raccordement de toutes les éoliennes avant que l'électricité ne soit injectée dans le réseau public. Dans le cas du **projet de Parc éolien de La Chapelle-Janson Eolien Energie**, un poste de livraison sera installé. Il sera implanté à moins de 70 m au Sud de l'éolienne E1 sur une plateforme stabilisée de 128 m² installée en bordure du chemin d'accès créé pour l'accès à cet aérogénérateur.



Le **réseau électrique inter-éolien** (ou réseau électrique interne) permet d'acheminer l'électricité produite en sortie d'éolienne vers les postes de livraison électrique en 20 000 V. Les liaisons électriques souterraines seront constituées de trois câbles en cuivre ou aluminium pour le transport de l'électricité, d'un ruban de cuivre pour la mise à la terre et d'une gaine PVC avec des fibres optiques qui permettra la communication et la télésurveillance des équipements.

Ces câbles protégés de gaines seront enterrés dans des tranchées de 0,8 à 1,2 mètre de profondeur et de 40 à 60 centimètres de largeur.

Le **réseau électrique externe** relie les postes de livraison avec le poste source (réseau public de transport d'électricité).

Le réseau externe est réalisé sous maîtrise d'ouvrage du gestionnaire de réseau de transport d'électricité. Il est lui aussi entièrement enterré.

Le raccordement du poste de livraison au poste-source sera assuré par ENEDIS, mais financé par l'exploitant en tant qu'utilisateur de ce réseau. Le tracé et les caractéristiques de l'offre de raccordement seront définis avec précision lors de l'étude détaillée, qui ne pourra être réalisée par ENEDIS qu'après obtention de l'autorisation environnementale. Ainsi, le tracé final et ses modalités de réalisation seront à la seule main du gestionnaire de réseaux. En outre, les études techniques réalisées par ENEDIS définissent les protections électriques à mettre en œuvre au point de raccordement du parc éolien.

A noter que la solution de raccordement actuellement envisagée concerne un raccordement qui s'effectuerait par un câble de 20 000 V enterré environ à 1,10 mètre de profondeur. Le raccordement envisagé pourrait se faire au niveau de deux postes sources distincts :

- ➔ au poste-source de « FOUGERES » localisé à environ 10,7 kilomètres au Nord-Ouest du projet ;
- ➔ au poste-source de « ERNEE » localisé à environ 10,8 kilomètres à l'Est du projet.

La capacité d'accueil réservée de ces postes sources est actuellement insuffisante pour accueillir le projet du **Parc éolien de La Chapelle Janson Eolien Energie**. Des travaux devront donc être réalisés afin de permettre l'accueil de la production électrique du parc éolien.

I.2.2.3. La sécurité de l'installation

L'installation est équipée de nombreux systèmes de sécurité permettant de limiter tout risque d'accident (capteurs, systèmes de freinage aérodynamique et mécaniques, extincteurs...). L'installation est conforme aux prescriptions de l'arrêté ministériel du 26 août 2011 relatif aux installations soumises à autorisation au titre de la rubrique 2980 des installations classées **relatives à la sécurité de l'installation** (modifié par l'arrêté du 22 juin 2020) ainsi qu'aux principales normes et certifications applicables à l'installation. Cela concerne notamment :

L'éloignement aux habitations/immeubles habités et zones d'habitats (art. 3)

Les éoliennes seront toutes situées à plus des 500m de ces éléments. Elles seront aussi situées à plus de 300m des installations nucléaires et ICPE citées dans le présent article.

La protection des radars/aides à la navigation et le balisage aérien (art. 4 et 11)

Les éoliennes ne perturberont pas de manière significative le fonctionnement des radars et des aides à la navigation utilisés dans le cadre des missions de sécurité de la navigation aérienne et de sécurité météorologique des personnes et des biens. Le balisage de l'installation sera conforme à la réglementation en vigueur.

Les accès aux éoliennes (art. 7 et 13)

Les voies d'accès seront entretenues et l'accès à l'intérieur des éoliennes fermé à clés.

Les normes (art. 8)

Les éoliennes prévues sont conformes à la norme NF EN 61 400-1 ou CEI 61 400-1 en vigueur ou toute norme équivalente dans l'Union européenne. L'installation sera aussi conforme aux dispositions de l'article R. 111-38 du Code de la Construction et de l'Habitation.

La protection contre la foudre (art. 9)

Les éoliennes disposeront de dispositifs permettant la mise à la terre de la foudre et la protection de leurs équipements électroniques.

La conformité des installations électriques (art. 10)

Les installations électriques internes et externes seront conformes aux normes en vigueur et seront entretenues et maintenues en bon état.

L'affichage de sécurité (art. 14)

Des panneaux d'information visibles seront installés sur la porte d'entrée des aérogénérateurs et du poste de livraison (risque électrique) ainsi qu'aux abords du parc (risque de chute de glace).

Les procédures d'arrêt et détection en cas de survitesse/incendie/glace (art. 17, 23, 24 et 25)

Une batterie de capteurs et processus permettront de surveiller aux différentes situations de dangers citées.

L'interdiction de stockage de matériaux dangereux (art. 16)

Les aérogénérateurs seront maintenus propres et aucun matériau, combustible et inflammable ou non n'y sera entreposé.

Le contrôle de l'éolienne et de sa maintenance (art. 18 et 19)

Une série de contrôle sera effectuée tout au long de l'exploitation du parc lors des différentes interventions de maintenance. Un suivi des interventions sera assuré.

La formation et la sécurité du personnel (art. 15 et 22)

Le personnel d'intervention sera formé tant du point de vue technique que du point de vue de la sécurité.

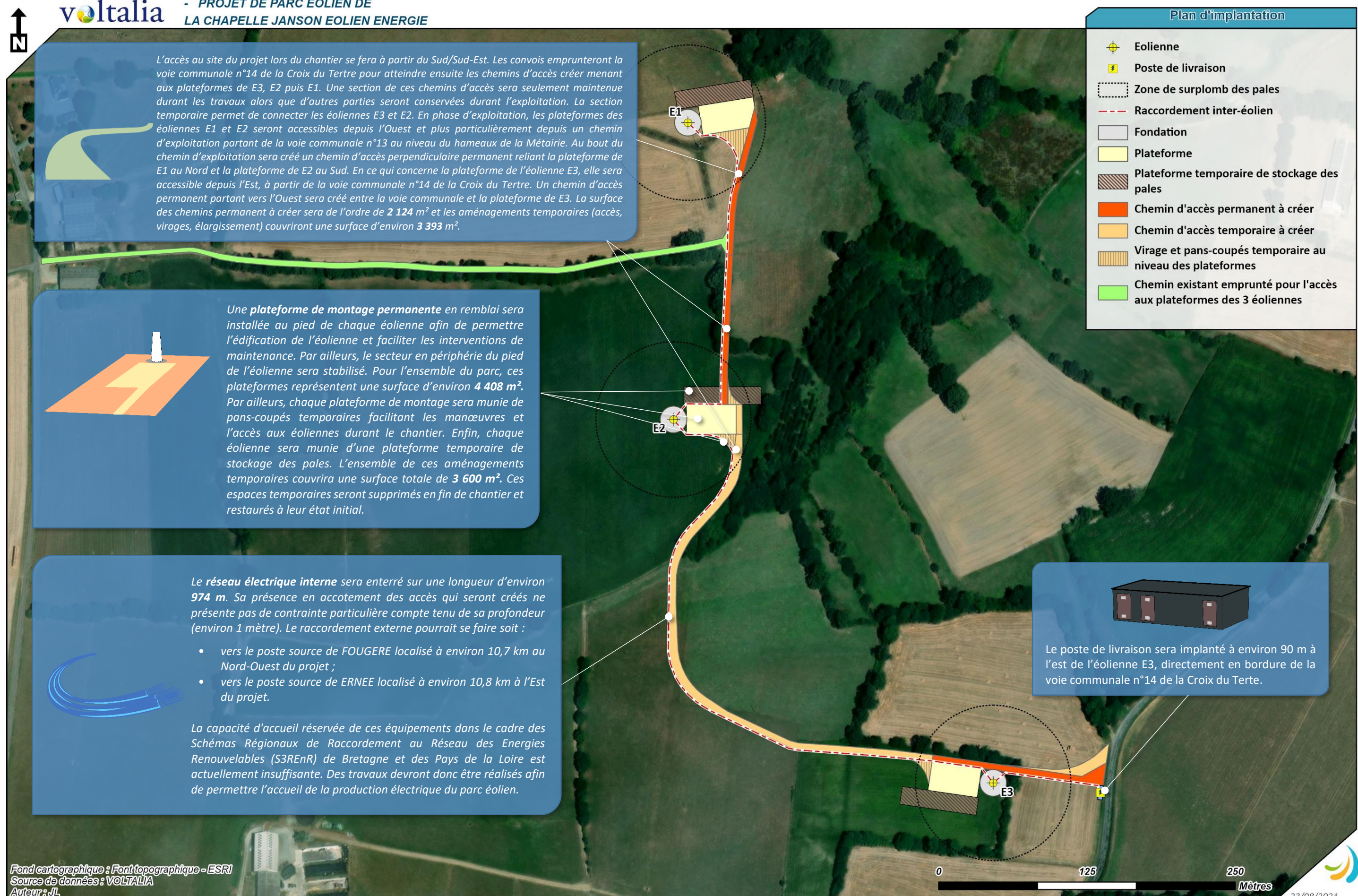
**- PROJET DE PARC ÉOLIEN DE
LA CHAPELLE JANSON EOLIEN ENERGIE**


Figure 7 : Description de l'installation projetée

I.2.3. L'ENVIRONNEMENT DU PROJET

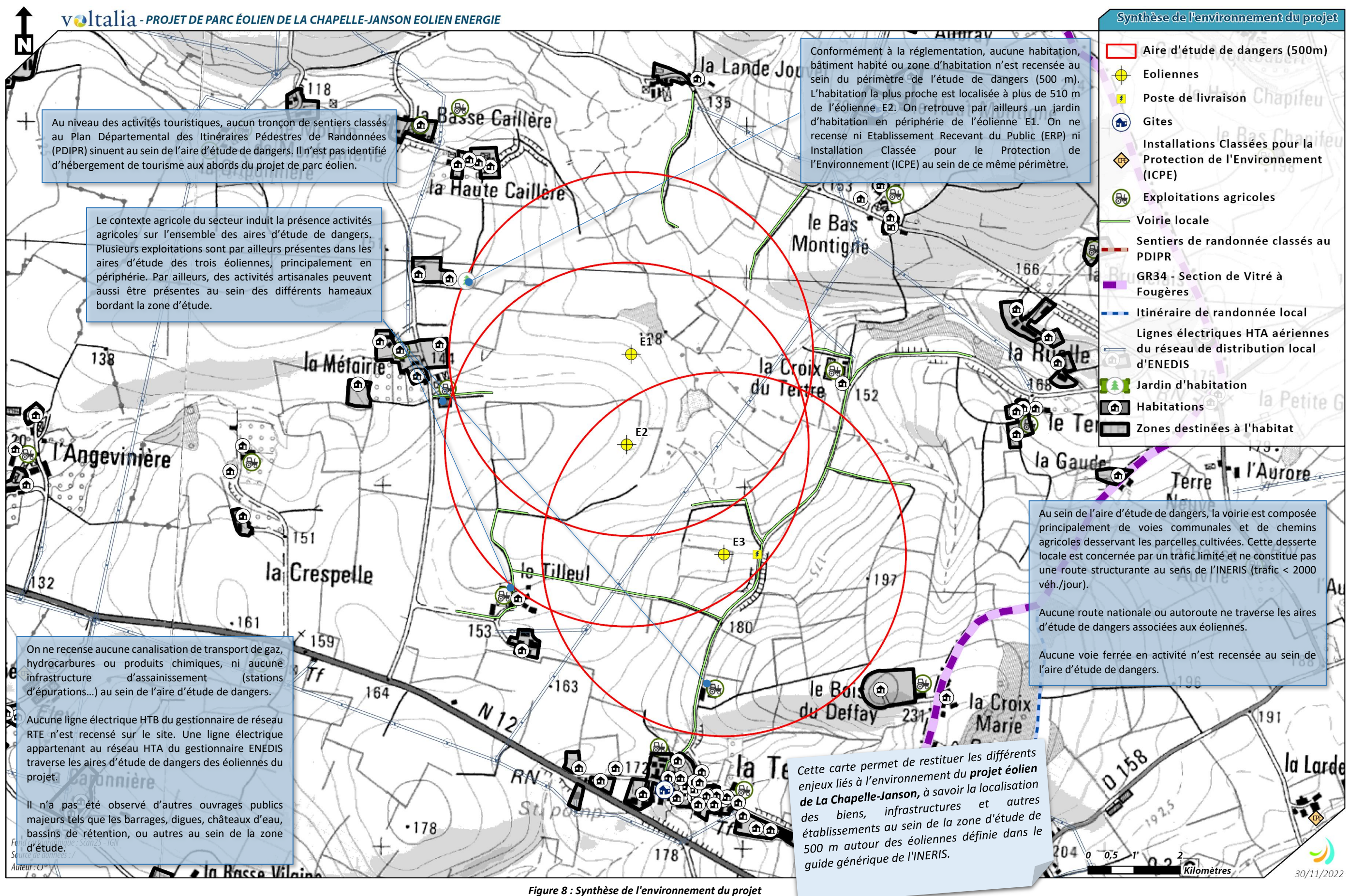


Figure 8 : Synthèse de l'environnement du projet

Lieu-dit	Nom de l'éolienne la plus proche	Distance* (m)
Le Tilleul	E2	510
La Métairie	E1	519
Le Clos Grand	E1	532
La Basse Caillère	E1	845
La Haute Caillère	E1	637
La Lande Jouvel	E1	773
Le Haut Montigné	E1	945
Le Bas Montigné	E1	757
Le Terte	E3	862
La Croix du Tertre	E3	566
Le Bois du Deffay	E3	564
La Croix Marie	E3	718
La Templerie	E3	578

*Distance mesurée entre l'angle de l'habitation le plus proche et rayon extérieur du mât (3 mètres).

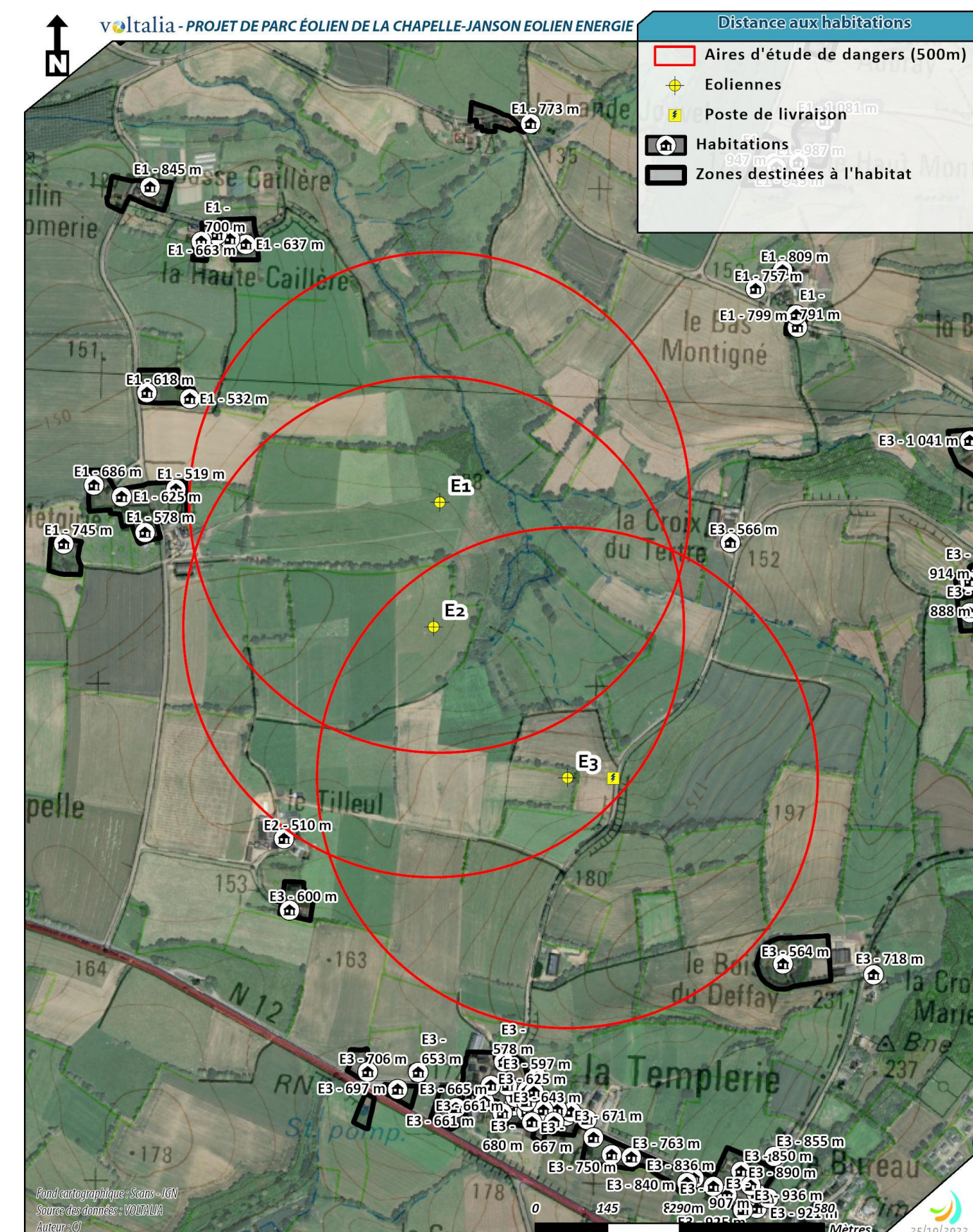


Figure 9 : Carte des distances aux habitations les plus proches

I.3. ANALYSE DES RISQUES

I.3.1. IDENTIFICATION DES POTENTIELS DE DANGERS DE L'INSTALLATION

Ce chapitre de l'étude de dangers a pour objectif de mettre en évidence les éléments de l'installation pouvant constituer un danger potentiel, que ce soit au niveau des éléments constitutifs des éoliennes, des produits contenus dans l'installation, des modes de fonctionnement, etc. L'ensemble des causes externes à l'installation pouvant entraîner un phénomène dangereux, qu'elles soient de nature environnementale, humaine ou matérielle, seront traitées dans l'analyse de risques.

I.3.1.1. Potentiels de dangers liés aux produits

L'activité de production d'électricité par les éoliennes ne consomme pas de matières premières, ni de produits pendant la phase d'exploitation. De même, cette activité ne génère pas de déchet, ni d'émission atmosphérique, ni d'effluent potentiellement dangereux pour l'environnement.

Toutefois, comme dans tout parc éolien, des produits seront utilisés pour le bon fonctionnement des installations, leur maintenance et leur entretien. Il s'agit notamment de :

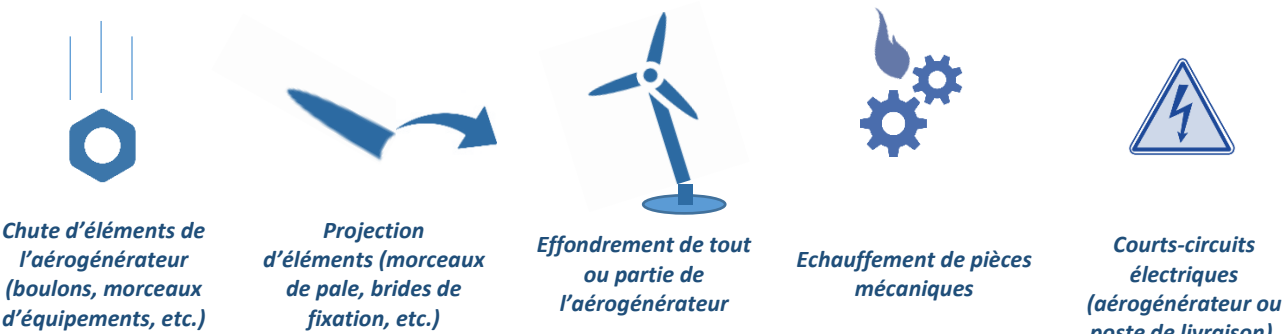
- Produits nécessaires au bon fonctionnement : graisses et huiles de transmission, huiles hydrauliques pour systèmes de freinage... Une fois usagés sont traités en tant que déchets industriels spéciaux ;
- Produits de nettoyage et d'entretien (solvants, dégraissants, nettoyants...) ainsi que les déchets industriels banals associés (pièces usagées non souillées, cartons d'emballage...).

Le choix du modèle d'aérogénérateur n'étant pas encore acté, il ne nous est pas possible de lister avec précision l'ensemble des produits concernés. Il s'agit pour la grande majorité de graisses et lubrifiants permettant le bon fonctionnement des machines et qui sont rarement considérés comme substance dangereuse au titre de la Directive Européenne 1999/45/CE.

La nature de ces produits ainsi que leur volume limité rendent le potentiel de danger négligeable, d'autant plus que des mesures sont prévues en cas de pollution et d'incendie (Cf. Fonctions de sécurité N°7 « **Protection et intervention incendie** » et N°8 « **Prévention et rétention des fuites** »). Il est de plus rappelé que, conformément à l'article 16 de l'arrêté du 26 août 2011 relatif aux installations éoliennes soumises à autorisation, aucun produit inflammable ou combustible n'est stocké dans les aérogénérateurs ou les postes de livraison.

I.3.1.2. Potentiels de dangers liés au fonctionnement de l'installation

Les dangers liés au fonctionnement du **projet de Parc éolien de La Chapelle-Janson Energie** sont de cinq types :



I.3.1.3. Réduction des potentiels de dangers à la source

Les produits représentant le plus gros volume sont les lubrifiants et huiles qui ne présentent pas de caractère dangereux marqué. Nécessaires au bon fonctionnement des aérogénérateurs, ces produits, dont les quantités mises en œuvre sont adaptées aux volumes des équipements, ne peuvent être ni diminués en volume ni substitués par d'autres produits. A noter la présence de bacs collecteurs dans les éoliennes permettant de récupérer les écoulements, ainsi que de capteurs alertant en cas de fuite. Les produits de nettoyage de type solvant, dont la dangerosité est plus importante, ne sont utilisés que de manière ponctuelle et ne sont pas présents continuellement sur le site. Les volumes utilisés restent limités. Pour ce qui est du fonctionnement de l'installation, dans le cadre de la réglementation des ICPE, une distance d'éloignement de 500m de toute construction à usage d'habitation, de tout immeuble habité ou de toute zone destinée à l'habitation telle que définie dans les

documents d'urbanisme opposables en vigueur au 13 juillet 2010 a été respectée. Cette règle induit de fait une réduction du nombre de personnes potentiellement exposées. Le contexte majoritairement agricole de l'environnement du projet et l'absence d'autres sources de dangers à proximité (route structurante, voie ferrée ...) réduit les possibilités de mise en œuvre d'autres actions préventives. Sur le site même du projet et au sein des installations, le danger repose sur la présence de mécanisme en fonctionnement (pièces en rotation) et d'installations électriques. Ces éléments sont essentiels au fonctionnement des éoliennes et ne peuvent être substitués. Il convient toutefois de souligner que des mesures seront mises en œuvre afin de réduire tout risque d'accident (ex : formation du personnel, procédure de maintenance spécifique...). Pour ce projet, la réduction des potentiels de danger à la source sera donc principalement liée au choix d'aérogénérateurs fiables, disposant de différents systèmes de sécurité performants et conformes à la réglementation en vigueur.

I.3.2. ANALYSE DES RETOURS D'EXPERIENCE

L'analyse des retours d'expérience vise donc ici à faire émerger des typologies d'accident rencontrées tant au niveau national qu'international. Ces typologies apportent un éclairage sur les scénarios les plus rencontrés. L'analyse du retour d'expérience permet ainsi de dégager de grandes tendances, mais à une échelle détaillée, elle comporte de nombreuses incertitudes.

I.3.2.1. Analyse de l'évolution des accidents en France

À partir de l'ensemble des phénomènes dangereux qui ont été recensés, il est possible d'étudier leur évolution en fonction de la puissance éolienne installée. La figure ci-après montre cette évolution. Ainsi il apparaît que, bien que le nombre d'incidents augmente légèrement depuis quelques années, cette augmentation n'est pas proportionnelle à la puissance et donc au nombre d'éoliennes installées. En effet, si depuis 2005 l'énergie éolienne s'est en effet fortement développée en France avec une puissance installée multipliée par plus de 20, le nombre d'incidents par an est resté quant à lui relativement stable, voire a diminué comparativement au début des années 2000. En témoigne le nombre moyen d'accident par MW installé qui est passé de 0,0063 accident/MW sur la période 2000-2010 à 0,0006 accident/MW sur la période 2011-2021, et ce malgré un recensement renforcé des accidents depuis 2012 et le passage au régime ICPE. Cette tendance s'explique principalement par un parc éolien français assez récent, qui utilise majoritairement des éoliennes de nouvelle génération, équipées de technologies plus fiables et plus sûres. Par ailleurs, soumises au régime ICPE, les installations éoliennes font l'objet d'une attention particulière quant à leur sécurité et elles sont contrôlées régulièrement.

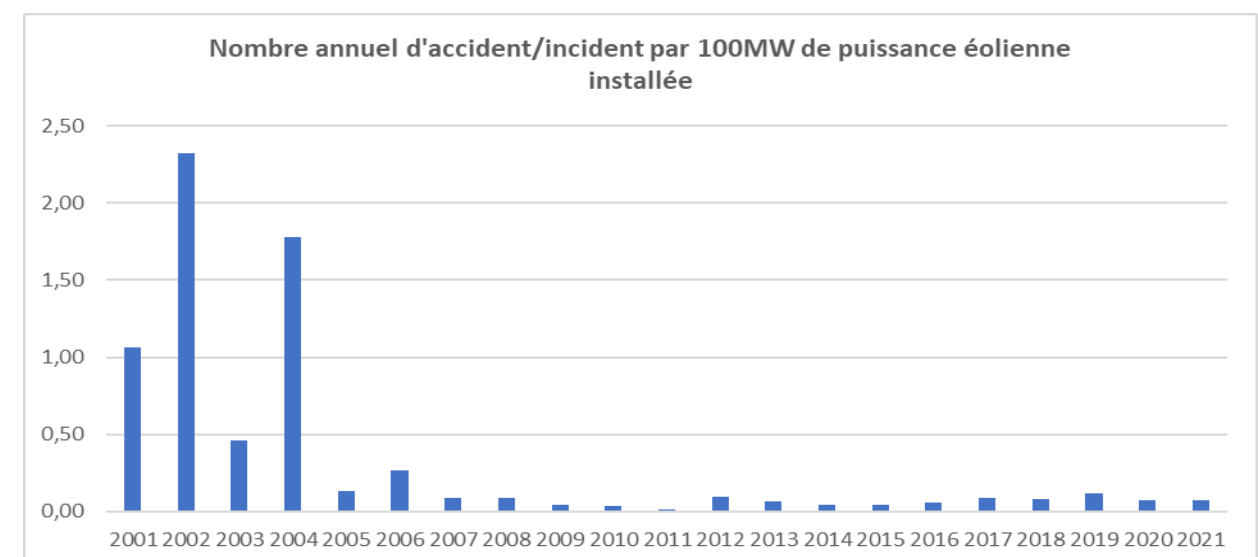


Figure 10 : Évolution du nombre annuel d'accident/incident par tranche de 100 MW de puissance éolienne installée en France entre 2001 et 2021 (Source : INERIS, ARIA)

I.3.2.2. Analyse des typologies d'accidents les plus fréquents

Le retour d'expérience de la filière éolienne française et internationale permet d'identifier les principaux événements redoutés suivants :

- **Effondrements**
- **Ruptures de pales**
- **Chutes de pales et d'éléments de l'éolienne**
- **Incendie**

I.3.3. ANALYSE PRELIMINAIRE DES RISQUES

L'analyse des risques a pour objectif principal d'identifier les scénarios d'accident majeurs et les mesures de sécurité qui empêchent ces scénarios de se produire ou en limitent les effets. Cet objectif est atteint au moyen d'une identification de tous les scénarios d'accidents potentiels pour une installation (ainsi que des mesures de sécurité), basée sur un questionnement systématique des causes et conséquences possibles des événements accidentels, ainsi que sur le retour d'expérience disponible. Les scénarios d'accidents sont ensuite hiérarchisés en fonction de leur intensité et de l'étendue possible de leurs conséquences. Cette hiérarchisation permet de « filtrer » les scénarios d'accidents qui présentent des conséquences limitées, et les scénarios d'accidents majeurs – ces derniers pouvant avoir des conséquences sur les personnes.

I.3.3.1. Recensement des événements initiateurs exclus de l'analyse des risques

Conformément à la circulaire du 10 mai 2010, certains événements initiateurs (ou agressions externes) sont exclus de l'analyse des risques : chute de météorite, actes de malveillance, chute d'avion hors des zones de proximité d'aéroport ou aérodrome... D'autre part, plusieurs autres agressions externes qui ont été détaillées dans l'état initial peuvent être exclues de l'analyse préliminaire des risques car les conséquences propres de ces événements, en termes de gravité et d'intensité, sont largement supérieures aux conséquences potentielles de l'accident qu'ils pourraient entraîner sur les aérogénérateurs. Le risque de sur-accident lié à l'éolienne est considéré comme négligeable dans le cas des événements suivants :

- inondations ;
- séismes d'amplitude suffisante pour avoir des conséquences notables sur les infrastructures ;
- incendies de cultures ou de forêts ;
- pertes de confinement de canalisations de transport de matières dangereuses ;
- explosions ou incendies générés par un accident sur une activité voisine de l'éolienne.

I.3.3.2. Recensement des agressions externes potentielles

Ces agressions provenant d'une activité ou de l'environnement extérieur sont des événements susceptibles d'endommager ou de détruire les aérogénérateurs de manière à initier un accident qui peut à son tour impacter des personnes. Par exemple, un séisme peut endommager les fondations d'une éolienne et conduire à son effondrement. Traditionnellement, deux types d'agressions externes sont identifiés :

- les agressions externes liées aux activités humaines ;
- les agressions externes liées à des phénomènes naturels.

On notera l'absence d'infrastructures à risque à proximité du projet. En ce qui concerne la foudre, on considère que le respect des normes rend le risque d'effet direct de la foudre négligeable (risque électrique, risque d'incendie, etc.). En effet, le système de mise à la terre permet d'évacuer l'intégralité du courant de foudre. Cependant, les conséquences indirectes de la foudre, comme la possible fragilisation progressive de la pale, sont prises en compte dans les scénarios de rupture de pale. Pour les tempêtes, il convient de signaler que les éoliennes seront adaptées aux vents rencontrés sur le site. Pour les mouvements de terrain, hormis le fait que la zone du projet semble exempte de risque majeur, il convient de signaler qu'une étude géotechnique sera réalisée avant les travaux et permettra d'adapter au mieux la construction au sous-sol du site.

I.3.3.3. Effets dominos

Lors d'un accident majeur sur une éolienne, une possibilité est que les effets de cet accident endommagent d'autres installations. Ces dommages peuvent conduire à un autre accident. Par exemple, la projection de pale impactant les canalisations d'une usine à proximité peut conduire à des fuites de canalisations de substances dangereuses. Ce phénomène est appelé « effet domino ».

Dans le cadre des études de dangers éoliennes, il est proposé de limiter l'évaluation de la probabilité d'impact d'un élément de l'aérogénérateur sur une autre installation ICPE que lorsque celle-ci se situe dans un rayon de 100 mètres.

Aucune installation ICPE n'est présente à proximité du site d'étude du **projet de Parc éolien de La Chapelle-Janson Eolien Energie**.

C'est la raison pour laquelle, il est proposé de négliger les conséquences des effets dominos dans le cadre de la présente étude.

I.3.3.4. Mise en place des fonctions de sécurité

Dans le cadre de l'Étude de Dangers, les fonctions de sécurité identifiées et mises en œuvre sur les éoliennes du **projet de Parc éolien de La Chapelle-Janson Eolien Energie** sont détaillées. Ces dernières permettent de réduire les risques potentiels sur l'installation :

- Fonction de sécurité n°1 : Prévenir la mise en mouvement de l'éolienne lors de la formation de glace
- Fonction de sécurité n°2 : Prévenir l'atteinte des personnes par la chute de glace
- Fonction de sécurité n°3 : Prévenir l'échauffement significatif des pièces mécaniques
- Fonction de sécurité n°4 : Prévenir la survitesse
- Fonction de sécurité n°5 : Prévenir les courts-circuits
- Fonction de sécurité n°6 : Prévenir les effets de la foudre
- Fonction de sécurité n°7 : Protection et intervention incendie
- Fonction de sécurité n°8 : Prévention et rétention des fuites
- Fonction de sécurité n°9 : Prévenir les défauts de stabilité de l'éolienne et les défauts d'assemblage (construction – exploitation)
- Fonction de sécurité n°10 : Prévenir les erreurs de maintenance
- Fonction de sécurité n°11 : Prévenir les risques de dégradation de l'éolienne en cas de vent fort

I.3.3.5. Conclusion de l'analyse préliminaire des risques

Ainsi, dans le cadre de l'analyse préliminaire des risques génériques des parcs éoliens, trois catégories de scénarios sont a priori exclues de l'étude détaillée, en raison de leur faible intensité :

Nom du scénario exclu	Justification
 Incendie de l'éolienne (effets thermiques)	En cas d'incendie de nacelle, et en raison de la hauteur des nacelles, les effets thermiques ressentis au sol seront mineurs. Par exemple, dans le cas d'un incendie de nacelle située à 50 mètres de hauteur, la valeur seuil de 3 kW/m ² n'est pas atteinte. Dans le cas d'un incendie au niveau du mât les effets sont également mineurs et l'arrêté du 26 Août 2011 encadre déjà largement la sécurité des installations. Ces effets ne sont donc pas étudiés dans l'étude détaillée des risques. Néanmoins il peut être redouté que des chutes d'éléments (ou des projections) interviennent lors d'un incendie. Ces effets sont étudiés avec les projections et les chutes d'éléments. A noter que le Service Départemental Incendie Secours n'a émis aucune prescription relative à la mise en place de moyen spécifique de lutte contre l'incendie.
 Incendie du poste de livraison ou du transformateur	En cas d'incendie de ces éléments, les effets ressentis à l'extérieur des bâtiments (poste de livraison) seront mineurs ou inexistant du fait notamment de la structure en béton. De plus, la réglementation encadre déjà largement la sécurité de ces installations (l'arrêté du 26 août 2011 et impose le respect des normes NFC 15-100, NFC 13-100 et NFC 13-200). A noter que le Service Départemental Incendie Secours n'a émis aucune prescription pour le poste de livraison.
 Infiltration d'huile dans le sol	Ce scénario peut ne pas être détaillé dans le chapitre de l'étude détaillée des risques sauf en cas d'implantation dans un périmètre de protection rapprochée d'une nappe phréatique. Dans notre cas, les éventuelles infiltrations accidentelles d'huiles dans le sol restent peu probables compte tenu des mesures mises en place (Cf. mesure de sécurité n°8) et pour des volumes de substances libérées dans le sol très faibles.

Les cinq catégories de scénarios étudiées pour les éoliennes dans l'étude détaillée des risques sont les suivantes :



I.3.4. ANALYSE DETAILLÉE DES RISQUES

L'étude détaillée des risques vise à caractériser les scénarios retenus à l'issue de l'analyse préliminaire des risques. Pour ce faire plusieurs critères issus de la réglementation (arrêté ministériel du 29 septembre 2005 et circulaire du 10 mai 2010) sont utilisés :

- **la cinétique** : La cinétique d'un accident est la vitesse d'enchaînement des événements constituant une séquence accidentelle, de l'événement initiateur aux conséquences sur les éléments vulnérables.
- **l'intensité** : ce paramètre traduit l'ampleur du risque au sein de la zone concernée, pour l'éolien il s'agit du rapport entre la surface de la zone d'impact (c'est-à-dire la surface de la zone touchée en cas de chute ou projection d'un élément) et la surface de la zone d'effet (c'est-à-dire la surface totale de la zone potentiellement concernée par le risque). Suivant ce degré d'exposition, l'intensité est considérée comme modérée (<1%), forte (entre 1 à 5%) ou très forte (>5%).
- **la gravité** : les seuils de gravité sont déterminés en fonction du nombre équivalent de personnes permanentes dans chacune des zones d'effet et de l'intensité définie précédemment. Ces calculs et seuils s'appuient sur des grilles définies par la circulaire du 10 mai 2010 qui fixe le nombre de personne permanentes par type de milieu concerné.
- **la probabilité** : elle définit la possibilité de survenue de l'accident. Dans le cadre de l'étude de dangers des parcs éoliens, la probabilité de chaque événement accidentel identifié pour une éolienne est déterminée en fonction : de la bibliographie relative à l'évaluation des risques pour des éoliennes, du retour d'expérience français et des définitions qualitatives de l'arrêté du 29 Septembre 2005. Le tableau ci-dessous résume les différents niveaux de probabilité utilisé :

Tableau 3 : Echelle des niveaux de probabilité

Niveaux	Echelle qualitative	Echelle quantitative (probabilité annuelle)
A	Courant Se produit sur le site considéré et/ou peut se produire à plusieurs reprises pendant la durée de vie des installations, malgré d'éventuelles mesures correctives.	$P > 10^{-2}$
B	Probable S'est produit et/ou peut se produire pendant la durée de vie des installations.	$10^{-3} < P \leq 10^{-2}$
C	Improbable Evénement similaire déjà rencontré dans le secteur d'activité ou dans ce type d'organisation au niveau mondial, sans que les éventuelles corrections intervenues depuis apportent une garantie de réduction significative de sa probabilité.	$10^{-4} < P \leq 10^{-3}$
D	Rare S'est déjà produit mais a fait l'objet de mesures correctives réduisant significativement la probabilité.	$10^{-5} < P \leq 10^{-4}$
E	Extrêmement rare Possible mais non rencontré au niveau mondial. N'est pas impossible au vu des connaissances actuelles.	$\leq 10^{-5}$

C'est l'analyse de ces différents critères qui permet de juger de l'acceptabilité ou non du risque considéré. Une matrice basée sur le croisement entre gravité et probabilité permet par la suite de juger du caractère acceptable ou non du risque.

Dans le cas du **projet de Parc éolien de La Chapelle-Janson Eolien Energie**, le tableau placé ci-contre permet de résumer les différents paramètres étudiés lors de l'analyse détaillée des risques.

Tableau 4 : Synthèse des paramètres de risques pour chaque scénario retenu

Scénario	Zone d'effet autour du mât	Cinétique	Intensité	Probabilité	Niveau de gravité
Projection de pale/morceaux de pale	500 m	Rapide	Exposition modérée	D	Sérieux (pour toutes les éoliennes)
Projection de glace	349 m	Rapide	Exposition modérée	B	Sérieux (E3)
Effondrement de l'éolienne	165 m	Rapide	Exposition forte	D	Modéré (E1/E2)
Chute de glace	67 m	Rapide	Exposition modérée	A	Sérieux (pour toutes les éoliennes)
Chute d'élément de l'éolienne	67 m	Rapide	Exposition forte	C	Modéré (pour toutes les éoliennes)

1.4. CONCLUSION

L'analyse du retour d'expérience recensant les accidents et les incidents survenus sur les installations éoliennes, et l'analyse préliminaire des risques ont permis d'identifier cinq principaux scénarios d'accidents majeurs pour le projet de **projet de Parc éolien de La Chapelle-Janson Eolien Energie**, prévoyant l'implantation de 3 éoliennes d'une hauteur en bout de pale de 165m et d'une puissance unitaire de 3,6 MW. Ces derniers sont détaillés ci-dessous au travers de leurs principales caractéristiques (Intensité, probabilité et gravité) :

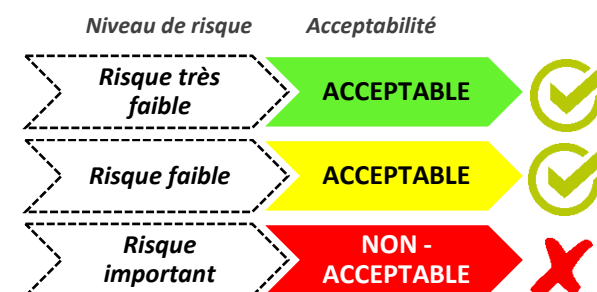
- **Projection de pales ou morceaux de pale (500 m)** : Compte tenu de l'accidentologie analysée et des mesures correctives déployées depuis de nombreuses années pour réduire ce risque (système de détection de l'échauffement/bridge, système de détection de la survitesse/bridge voire arrêt, système parafoudre, système de détection incendie/alarme et extincteur, procédure contrôle fondations et maintenance), la probabilité de ce type d'accident est estimée à « Rare » (D). Son intensité est « Modérée ». Pour ce parc éolien, le niveau de gravité est estimé comme « Sérieux » pour les éoliennes du fait des enjeux identifiés (terrains agricoles, exploitations agricoles, jardin d'habitation, routes non-structurantes et chemins ruraux, plateformes de maintenance et chemins d'accès).
- **Projection de glace (349 m)** : Ce type d'accident présente une probabilité jugée comme « Probable » (B). On notera toutefois qu'un panneautage est mis en place au niveau de chaque éolienne afin de prévenir du risque de chute ou projection de glace. De plus, les éoliennes disposent d'un système de détection du givre et de mise à l'arrêt avec procédure de redémarrage adaptée. Son intensité est « Modérée ». Pour ce parc éolien, le niveau de gravité est estimé comme « Sérieux » pour l'éolienne E3, du fait des enjeux identifiés (terrains agricoles, routes non-structurantes et chemins ruraux, exploitation agricole, plateformes de maintenance et chemins d'accès). Le niveau de gravité est estimé comme « Modéré » pour les éoliennes E1 et E2.
- **Effondrement de l'aérogénérateur (165 m)** : Compte tenu de l'accidentologie analysée et des mesures correctives déployées depuis de nombreuses années pour réduire ce risque (système de détection de l'échauffement/bridge, système de détection de la survitesse/bridge voire arrêt, système parafoudre, système de détection incendie/alarme et extincteur, procédure contrôle fondations et maintenance), la probabilité de ce type d'accident est estimée à « Rare » (D). Son intensité est « Forte ». Pour ce parc éolien, le niveau de gravité est estimé comme « Sérieux » pour les éoliennes du fait des enjeux identifiés (terrains agricoles, routes non-structurantes et chemins ruraux, plateformes de maintenance et chemins d'accès).
- **Chute de glace (67 m)** : Ce type d'accident présente une probabilité jugée comme « Courante » (A). On notera toutefois qu'un panneautage est mis en place au niveau de chaque éolienne afin de prévenir du risque de chute ou projection de glace. De plus les éoliennes disposent d'un système de détection du givre et de mise à l'arrêt avec procédure de redémarrage adaptée. Son intensité est « Modérée ». Pour ce parc éolien, le niveau de gravité est estimé comme « Modéré » pour les éoliennes, du fait des enjeux identifiés (terrains agricoles, plateformes et chemins d'accès).
- **Chute d'éléments (67 m)** : Ce type d'accident présente une probabilité jugée comme « Improbable » (C). On notera que les éoliennes sont soumises à des procédures de maintenance et de contrôle régulières réduisant le risque. Son intensité est « Forte ». Pour ce parc éolien, le niveau de gravité est estimé comme « Sérieux » pour les éoliennes, du fait des enjeux identifiés (terrains agricoles, plateformes et chemins d'accès).

Pour conclure à l'acceptabilité des risques, la matrice de criticité, adaptée de la circulaire du 29 septembre 2005 reprise dans la circulaire du 10 mai 2010, a été utilisée. Les différents risques ont tous été jugés acceptables. Il convient de noter que, bien que les risques liés à l'incendie de l'éolienne / poste de livraison ou à l'infiltration d'huile dans le sol n'aient pas été détaillés du fait de leur faible importance, des mesures de sécurité sont toutefois prévues en cas d'accident.

Dans ce cadre, il est donc possible de dire que les mesures de maîtrise des risques mises en place sur l'installation, ainsi que les distances séparant le projet des lieux de vie les plus proches sont suffisantes pour garantir un risque acceptable pour chacun des phénomènes dangereux identifiés.

Tableau 5 : Matrice de l'acceptabilité du risque pour le projet éolien de Parc éolien de La Chapelle-Janson Eolien Energie

		PROBABILITE				
		Extrêmement rare (0.0001%<P<0.001%)	Rare (0.001%<P<0.01%)	Improbable (0.01%<P<0.1%)	Probable (0.1%<P<1%)	Courant (P>1%)
GRAVITE	Désastreux					
	Catastrophique					
Important						
Sérieux		Projection de pale (toutes éoliennes) Effondrement de l'éolienne (toutes éoliennes)	Chute éléments des éoliennes (toutes éoliennes)	Projection de glace (E3)	Projection de glace (E1/E2)	Chute de glace (toutes éoliennes)
Modéré					Projection de glace (E1/E2)	Chute de glace (toutes éoliennes)



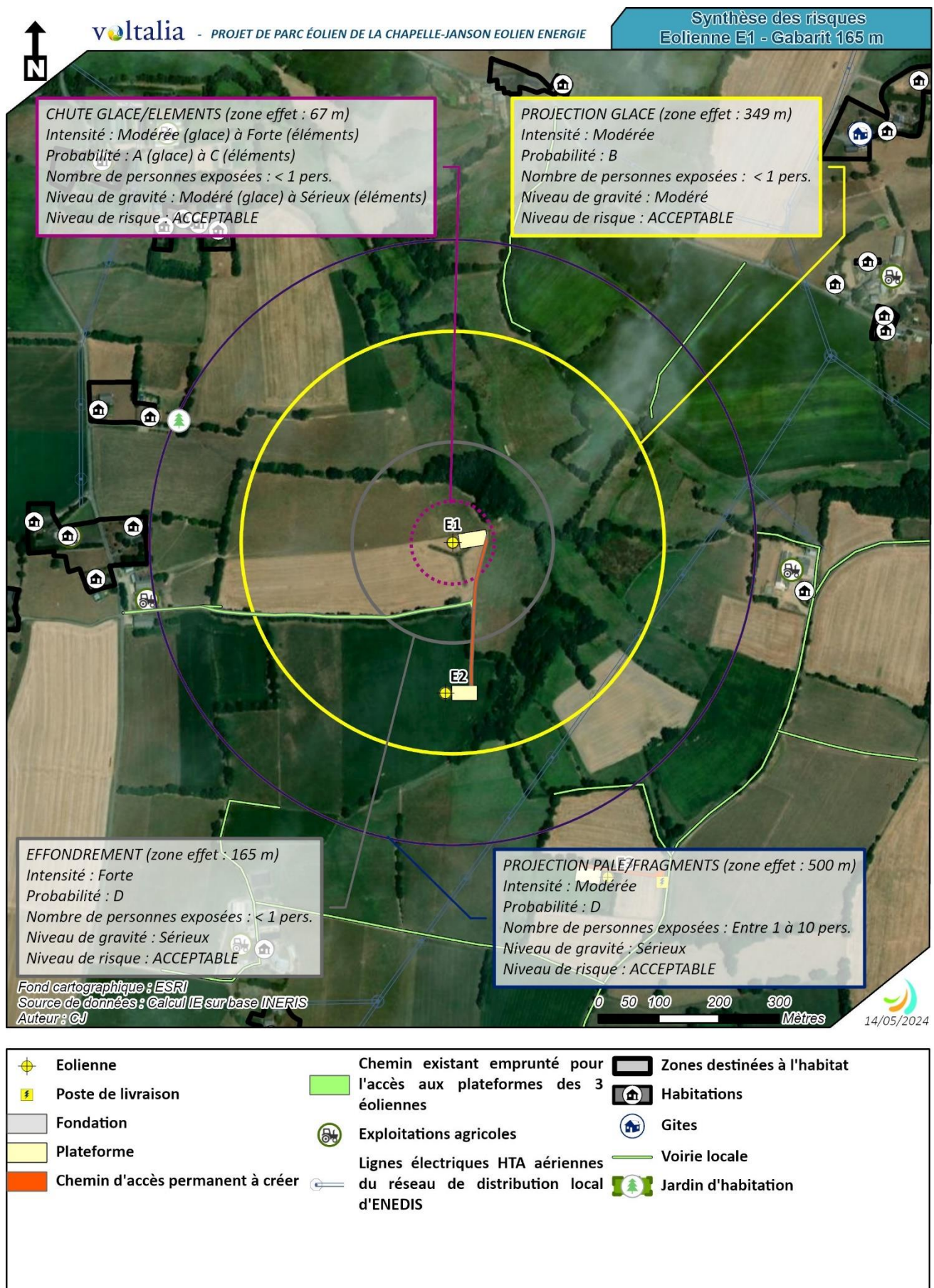


Figure 11 : Synthèse des risques - Eolienne E1

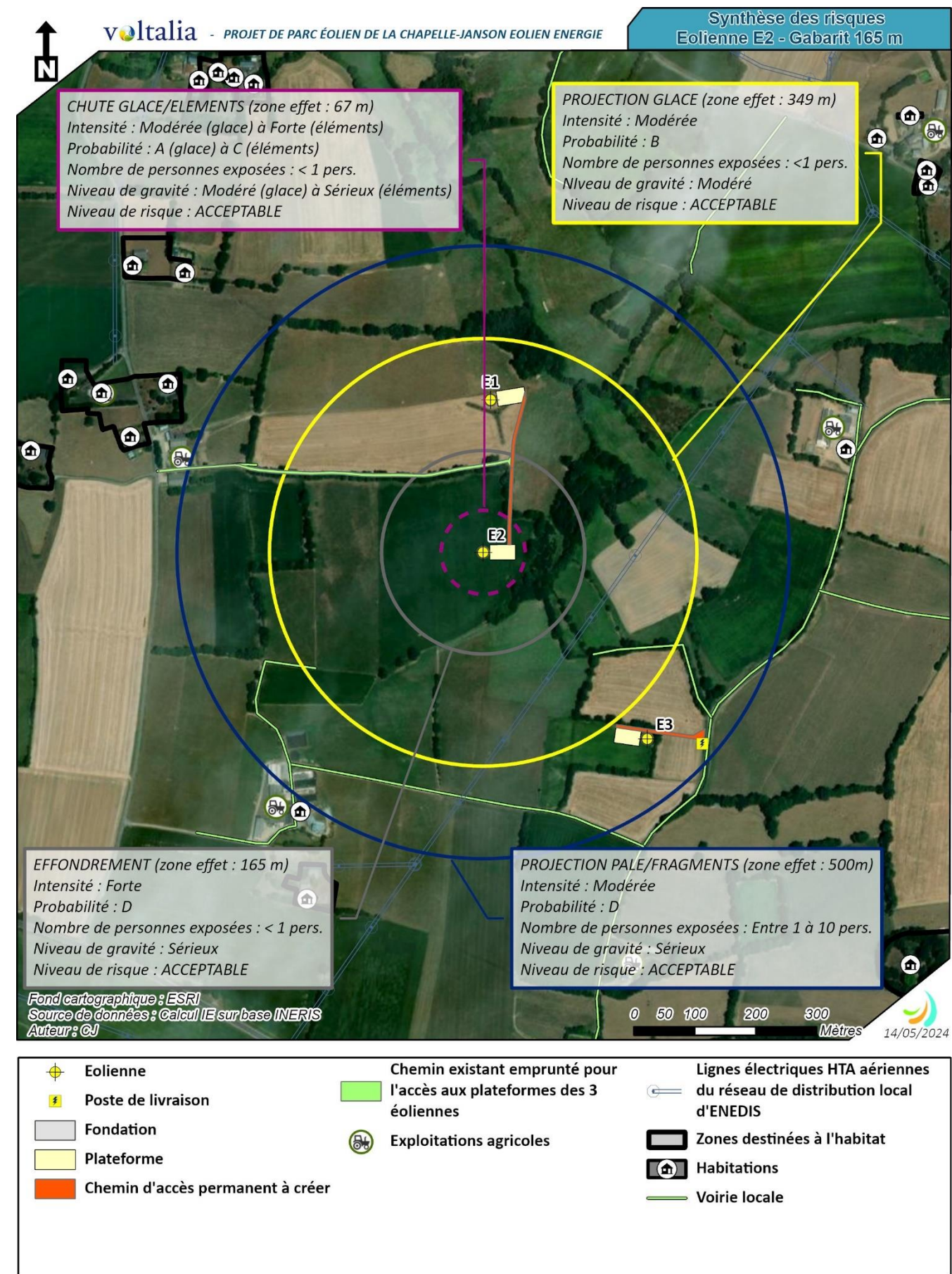


Figure 12 : Synthèse des risques - Eolienne E2

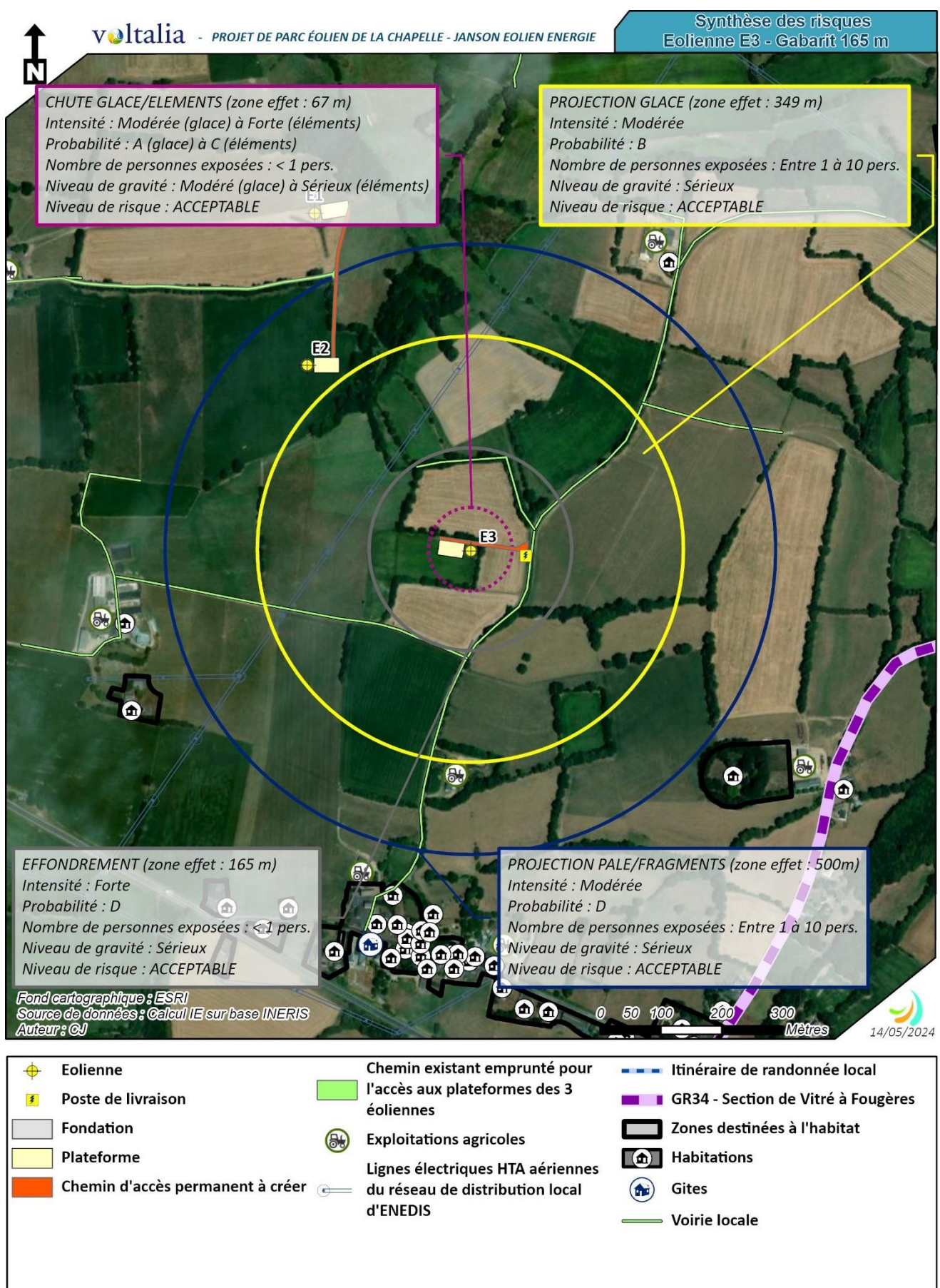


Figure 13 : Synthèse des risques - Eolienne E3

II. PREAMBULE

II.1. OBJECTIF DE L'ETUDE DE DANGERS

La présente étude de dangers a pour objet de rendre compte de l'examen effectué par la **SAS La Chapelle-Janson Eolien Energie** pour caractériser, analyser, évaluer, prévenir et réduire les risques du **projet de Parc éolien de La Chapelle-Janson Eolien Energie**, autant que technologiquement réalisable et économiquement acceptable, que leurs causes soient intrinsèques aux substances ou matières utilisées, liées aux procédés mis en œuvre ou dues à la proximité d'autres risques d'origine interne ou externe à l'installation.

Cette étude est proportionnée aux risques présentés par les éoliennes du **projet de Parc éolien de La Chapelle-Janson Eolien Energie**. Le choix de la méthode d'analyse utilisée et la justification des mesures de prévention, de protection et d'intervention sont adaptés à la nature et la complexité des installations et de leurs risques. Elle précise l'ensemble des mesures de maîtrise des risques mises en œuvre sur le **projet de Parc éolien de La Chapelle-Janson Eolien Energie** qui réduisent le risque à l'intérieur et à l'extérieur des éoliennes à un niveau jugé acceptable par l'exploitant.

Ainsi, cette étude permet une approche rationnelle et objective des risques encourus par les personnes ou l'environnement, en satisfaisant les principaux objectifs suivants :



Améliorer la réflexion sur la sécurité à l'intérieur de l'entreprise afin de réduire les risques et optimiser la politique de prévention ;



Favoriser le dialogue technique avec les autorités d'inspection pour la prise en compte des parades techniques et organisationnelles dans l'arrêté d'autorisation ;



Informier le public dans la meilleure transparence possible en lui fournissant des éléments d'appréciation clairs sur les risques.

II.2. CONTEXTE LEGISLATIF ET REGLEMENTAIRE

Selon l'article L. 512-1, sont soumises à autorisation les installations qui présentent de graves dangers ou inconvénients pour les intérêts mentionnés à l'article L. 511-1. Ainsi, le point III de l'article D.181-15-2 du code de l'environnement décrit les attendus de l'étude de dangers associée à la démarche d'autorisation environnementale :

« III. – L'étude de dangers justifie que le projet permet d'atteindre, dans des conditions économiquement acceptables, un niveau de risque aussi bas que possible, compte tenu de l'état des connaissances et des pratiques et de la vulnérabilité de l'environnement de l'installation. Le contenu de l'étude de dangers doit être en relation avec l'importance des risques engendrés par l'installation, compte tenu de son environnement et de la vulnérabilité des intérêts mentionnés à l'article L. 181-3. Cette étude précise, notamment, la nature et l'organisation des moyens de secours dont le pétitionnaire dispose ou dont il s'est assuré le concours en vue de combattre les effets d'un éventuel sinistre. »

Ainsi, l'étude de dangers a pour objectif de démontrer la maîtrise du risque par l'exploitant. Elle comporte une analyse des risques qui présente les différents scénarios d'accidents majeurs susceptibles d'intervenir. Ces scénarios sont caractérisés en fonction de leur probabilité d'occurrence, de leur cinétique, de leur intensité et de la gravité des accidents potentiels.

L'arrêté du 29 septembre 2005 relatif à l'évaluation et à la prise en compte de la probabilité d'occurrence, de la cinétique, de l'intensité des effets et de la gravité des conséquences des accidents potentiels dans les études de dangers des installations classées soumises à autorisation [10], fournit un cadre méthodologique pour les évaluations des scénarios d'accident majeurs. Il impose une évaluation des accidents majeurs sur les personnes uniquement et non sur la totalité des enjeux identifiés dans l'article L. 511-1. En cohérence avec cette réglementation et dans le but d'adopter une démarche proportionnée, l'évaluation des accidents majeurs dans l'étude de dangers d'un parc d'aérogénérateurs s'intéressera prioritairement aux dommages sur les personnes. Pour les parcs éoliens, les atteintes à l'environnement, l'impact sur le fonctionnement des radars et les problématiques liées à la circulation aérienne, feront l'objet d'une évaluation détaillée au sein de l'étude d'impact.

Selon le principe de proportionnalité, le contenu de l'étude de dangers doit être en relation avec l'importance des risques engendrés par l'installation, compte tenu de son environnement et de sa vulnérabilité. Il comprend notamment :

- Une description de l'environnement et du voisinage ;
- Une description des installations et de leur fonctionnement ;
- Une identification et caractérisation des potentiels de danger ;
- Une estimation des conséquences de la concrétisation des dangers ;
- Une réduction des potentiels de danger ;
- Les enseignements tirés du retour d'expérience (des accidents et incidents représentatifs) ;
- Une analyse préliminaire des risques ;
- Une étude détaillée de réduction des risques ;
- Une quantification et hiérarchisation des différents scénarios en termes de gravité, de probabilité et de cinétique de développement, en tenant compte de l'efficacité des mesures de prévention et de protection ;
- Une représentation cartographique ;
- Un résumé non-technique de l'étude de dangers.

De même, la circulaire du 10 mai 2010 récapitulant les règles méthodologiques applicables aux études de dangers, à l'appréciation de la démarche de réduction du risque à la source et aux plans de prévention des risques technologiques (PPRT) dans les installations classées en application de la loi du 30 juillet 2003, précise le contenu attendu de l'étude de dangers, et apporte des éléments d'appréciation des dangers pour les installations classées soumises à autorisation.

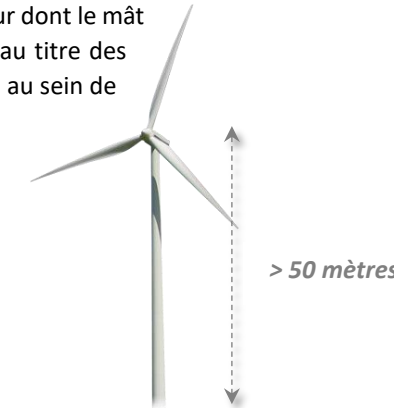
II.3. NOMENCLATURE DES INSTALLATIONS CLASSEES

Conformément à l'article R. 511-9 du code de l'environnement, modifié par le décret n°2011-984 du 23 août 2011, les parcs éoliens sont soumis à la rubrique 2980 de la nomenclature des installations classées :

A – Nomenclature des installations classées			
N°	Désignation de la rubrique	Régime*	Rayon (km)
	Installation terrestre de production d'électricité à partir de l'énergie mécanique du vent et regroupant un ou plusieurs aérogénérateurs :		
	1. Comportant au moins un aérogénérateur dont la hauteur du mât et de la nacelle au-dessus du sol est supérieure ou égale à 50 m	A	6
2980	2. Comportant uniquement des aérogénérateurs dont la hauteur du mât et de la nacelle au-dessus du sol est inférieure à 50 m et au moins un aérogénérateur dont la hauteur du mât et de la nacelle au-dessus du sol est supérieure ou égale à 12 m et pour une puissance totale installée :		
	a) Supérieure ou égale à 20 MW	A	6
	b) Inférieure à 20 MW	D	

*A : Autorisation, D : Déclaration

Le **projet de Parc éolien de La Chapelle-Janson Eolien Energie** comprend au moins un aérogénérateur dont le mât a une hauteur supérieure ou égale à 50 m : cette installation est donc soumise à autorisation (A) au titre des installations classées pour la protection de l'environnement, et doit présenter une étude de dangers au sein de sa Demande d'Autorisation Environnementale.



III. INFORMATIONS GENERALES CONCERNANT L'INSTALLATION

III.1. RENSEIGNEMENTS ADMINISTRATIFS

Le tableau ci-dessous résume les principales caractéristiques des différents acteurs du présent dossier :

Fonctions	Raison Sociale/Nom N° SIRET	Adresse
	SAS La Chapelle-Janson Eolien Energie N° 912 846 599 00013 RCS PARIS	84 Bd de Sébastopol 75003 PARIS
	SAS SYNERGIS ENVIRONNEMENT N° 429 302 359 00030 RCS D'ANGERS	Espace Plan&Terre 2 Rue Amédéo Avogadro 49070 BEAUCOUZE
		

Tableau 6 : Différents acteurs du dossier

III.2. LOCALISATION DU SITE

Le projet éolien de **La Chapelle-Janson Eolien Energie** se positionne dans le département d'Ille-et-Vilaine, au sein du territoire de la commune de LA CHAPELLE-JANSON, située à 50 kilomètres au Nord-Est de Rennes. Le site du projet prend place dans un secteur agricole bocager et vallonné.. Le Parc éolien de **La Chapelle-Janson Eolien Energie** est composé de 3 aérogénérateurs d'une puissance unitaire de 3,6 MW (soit une puissance totale de 10,8 MW) et d'un poste de livraison. Dans le cadre de la présente étude, aucun modèle précis d'éoliennes ne sera validé, le choix de ce modèle étant réalisé après l'obtention de l'autorisation environnementale. Cette étude sera donc réalisée en se basant sur un gabarit-type aux dimensions majorantes suivantes¹:

- Une hauteur de moyeu de 99 m (hauteur de la tour seule de 97 m et hauteur en haut de nacelle de 101 m),
- Un diamètre de rotor de 131 m à l'arrêt. Ce dernier augmente en fonctionnement, les pales se courbant sous la pression du vent (+1,15m), le diamètre en fonctionnement est de 133,3 mètres.
- Une hauteur totale (bout de pale) de 164,4 m à l'arrêt et de 164,9 m en fonctionnement.



III.3. DEFINITION DE L'aire d'étude

Compte tenu des spécificités de l'organisation spatiale d'un parc éolien, composé de plusieurs éléments disjoints, la zone sur laquelle porte l'étude de dangers est constituée d'une aire d'étude par éolienne. Chaque aire d'étude correspond à l'ensemble des points situés à une distance inférieure ou égale à 500 m à partir de l'emprise du mât de l'aérogénérateur. Cette distance équivaut à la distance d'effet retenue pour les phénomènes de projection, telle que définie au paragraphe VIII.2.4. La zone d'étude n'intègre pas les environs du poste de livraison, qui sera néanmoins représenté sur la carte. Les expertises réalisées dans le cadre de la présente étude ont en effet montré l'absence d'effet à l'extérieur du poste de livraison pour chacun des phénomènes dangereux potentiels pouvant l'affecter.

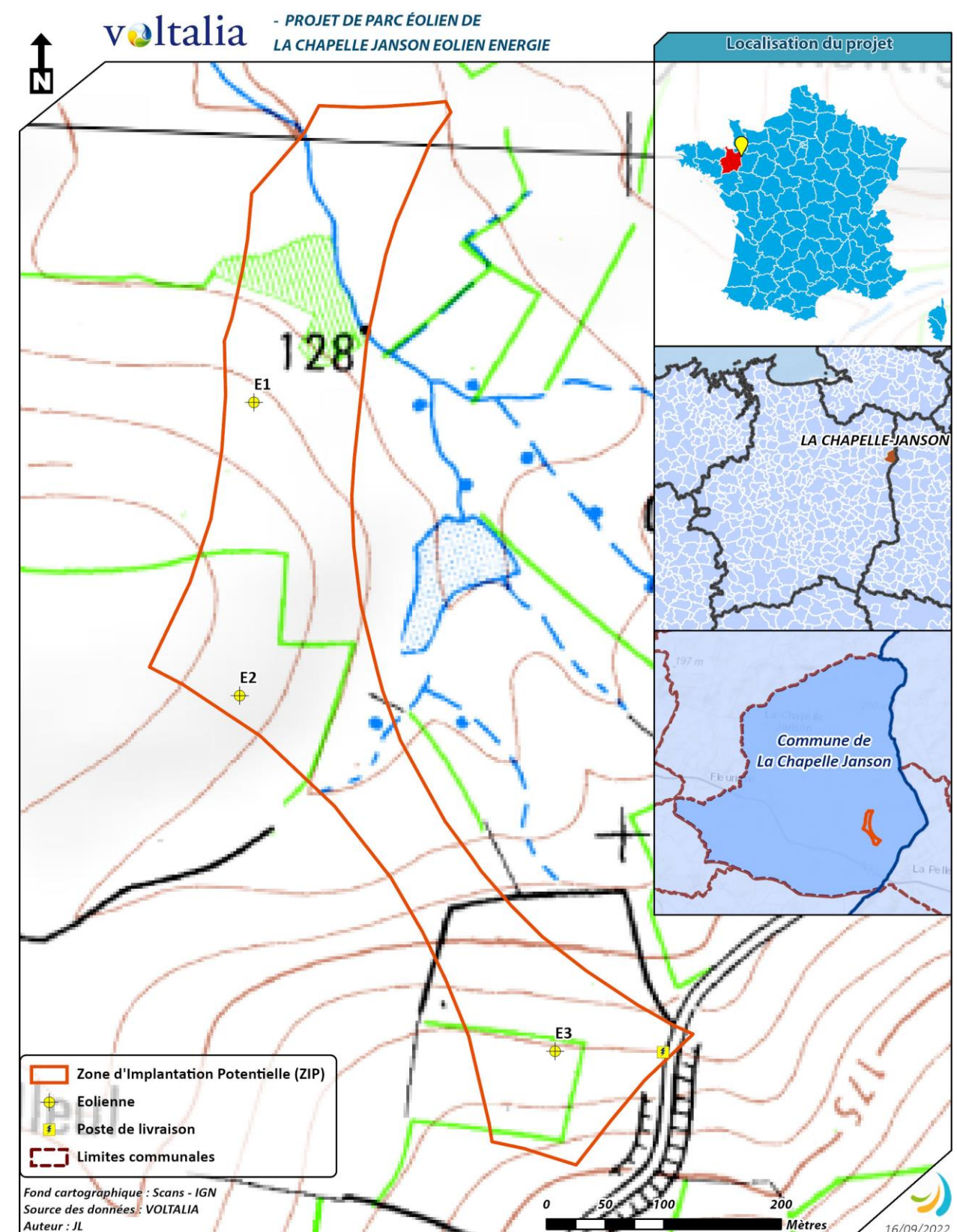
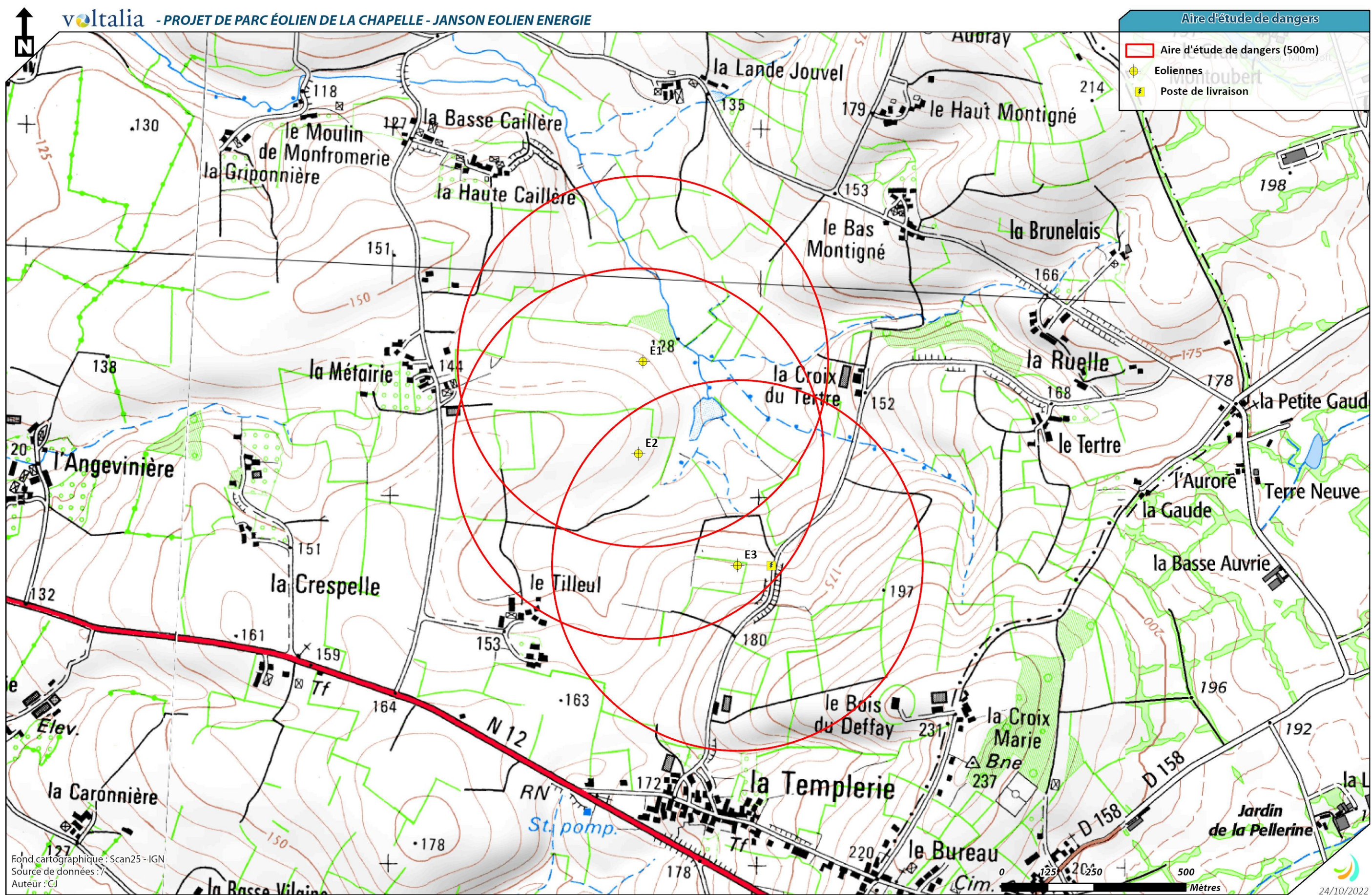


Figure 14 : Localisation du site du projet

¹ Les dimensions retenues correspondent aux dimensions de l'éolienne NORDEX N131 TS99.



IV. DESCRIPTION DE L'ENVIRONNEMENT DE L'INSTALLATION

Ce chapitre a pour objectif de décrire l'environnement dans la zone d'étude de l'installation, afin d'identifier les principaux intérêts à protéger (enjeux) et les facteurs de risque que peut représenter l'environnement vis-à-vis de l'installation (agresseurs potentiels).

IV.1. ENVIRONNEMENT HUMAIN

IV.1.1. ZONES URBANISEES

Le projet de Parc éolien de La Chapelle – Janson Eolien Energie prend place dans une zone agricole, en bordure d'un vallon bocager. Dans ce secteur, les habitations sont regroupées au sein de petits hameaux (« La Métairie », « La Haute Caillère », « La Basse Caillère », « Le Bas Montigné », « La Templierie », « Le Tilleul ») ou isolées (« La Croix du Tertre », « Le Bois du Deffay »). Les zones plus densément peuplées sont celles du hameau de « La Pellerine » à 1,2 km au Sud-Est de l'éolienne E3, ainsi que des bourgs voisins : LA CHAPELLE-JANSON dont le centre bourg est situé à 3,4 km au Nord-Est de l'éolienne la plus proche (E1), FLEURIGNY dont le centre bourg est situé à 4 km à l'Ouest de l'éolienne la plus proche (E1) et LUITRE dont le centre bourg est situé à 6,2 km au Sud-Ouest de l'éolienne la plus proche (E3). Les habitations les plus proches ont été repérées sur des distances allant d'environ 510 m à 945 m. À noter que ces habitations sont toutes localisées hors du périmètre de l'étude de dangers. Concernant les zones destinées à l'habitation (zones U, AU et Nh du PLU), si certaines zones Nh bordent les aires d'études, aucune d'entre elle n'est localisée au sein des périmètres des aires d'études de dangers.

Tableau 7 : Distance entre habitation et éolienne la plus proche

Lieu-dit	Nom de l'éolienne la plus proche	Distance* (m)
Le Tilleul	E2	510
La Métairie	E1	519
Le Clos Grand	E1	532
La Basse Caillère	E1	845
La Haute Caillère	E1	637
La Lande Jouvel	E1	773
Le Haut Montigné	E1	945
Le Bas Montigné	E1	757
Le Terte	E3	862
La Croix du Tertre	E3	566
Le Bois du Deffay	E3	564
La Croix Marie	E3	718
La Templierie	E3	578

*Distance mesurée entre l'angle de l'habitation le plus proche et rayon extérieur du mât (3 mètres).

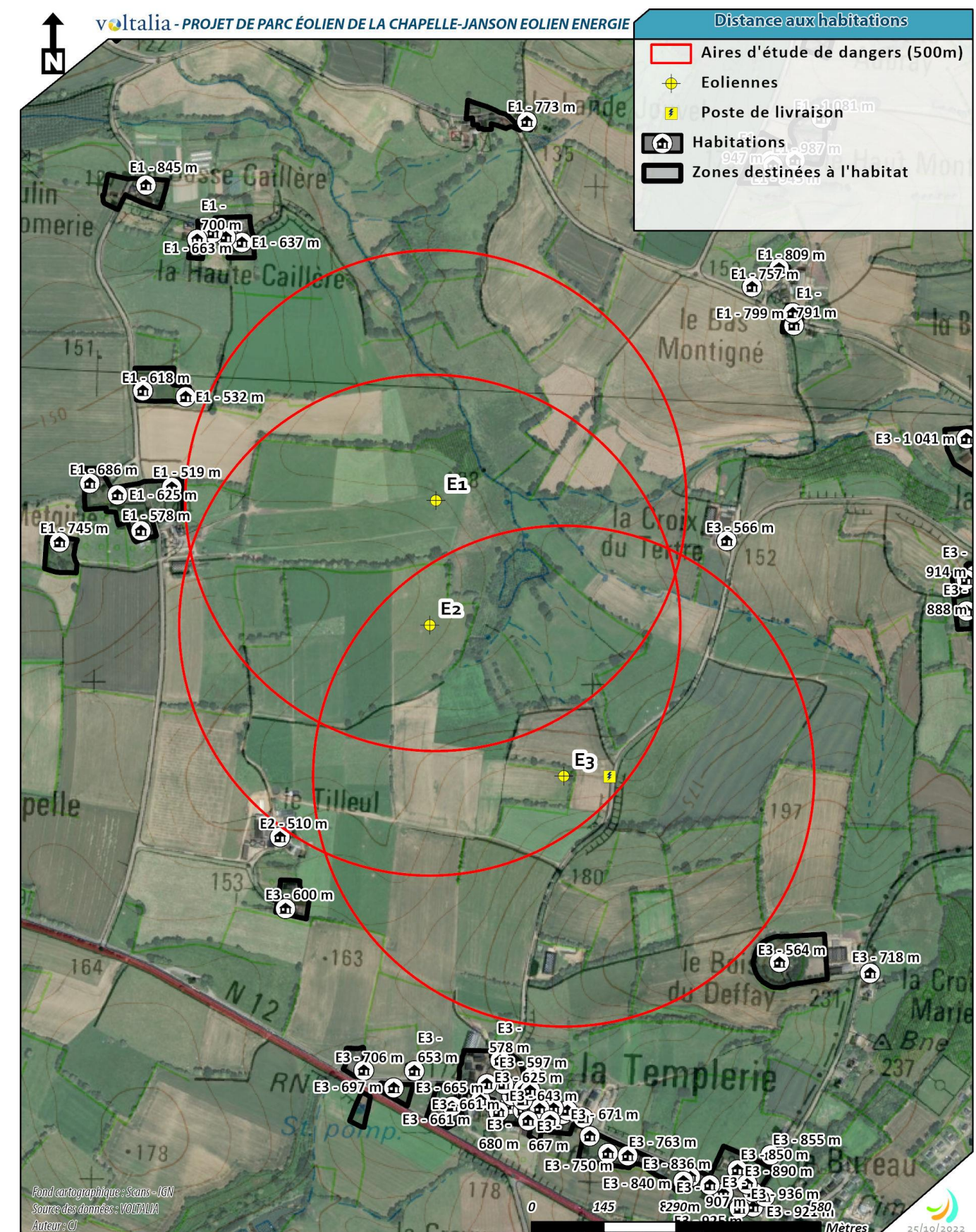


Figure 16 : Carte des habitations les plus proches

IV.1.2. ÉTABLISSEMENTS RECEVANT DU PUBLIC (ERP)

Constituent des ERP tous les bâtiments, locaux et enceintes, que ce soient des structures fixes ou provisoires (chapiteaux, tentes, structures gonflables), dans lesquels des personnes sont admises, soit librement, soit moyennant une rétribution ou une participation quelconque, ou dans lesquels sont tenues des réunions ouvertes à tous ou sur invitation, payantes ou non. Cela regroupe donc un très grand nombre d'établissements, comme les magasins et centres commerciaux, les cinémas, les théâtres, les hôpitaux, les écoles et universités, les hôtels et restaurants ...

Aucun établissement recevant du public n'est recensé au sein du périmètre d'étude de 500m. Des ERP liés aux commerces ou service public (école, mairie) sont présents dans les bourgs proches. Des hébergements de tourisme sont aussi présents en périphérie du site mais toujours en dehors du rayon d'étude de dangers, la plus proche étant le gîte de la Templerie (675 m de l'éolienne E3).

IV.1.3. INSTALLATIONS CLASSEES POUR LA PROTECTION DE L'ENVIRONNEMENT (ICPE) ET INSTALLATIONS NUCLEAIRES DE BASE

On ne recense aucune installation nucléaire de base sur les communes du projet. Aucune ICPE classée SEVESO n'est présente dans les limites de l'aire d'étude de dangers. Le site le plus proche est celui de la société BOREALIS LAT France à LUITRE-DOMPIERRE, implanté à environ 6,4 kilomètres à l'Ouest.

D'après les données de la base des installations classées, aucune ICPE ne se trouve localisée au sein de l'aire d'étude de dangers. La plus proche est exploitation agricole soumise à enregistrement localisée à plus de 1,8 kilomètres à l'Est de l'éolienne la plus proche (E3).

IV.1.4. AUTRES ACTIVITES

Le contexte rural du secteur induit la présence de plusieurs exploitations agricoles à proximité du périmètre d'étude. Celles-ci sont souvent associées au bâti résidentiel. Parmi ces exploitations, deux d'entre elles localisées au niveau des hameaux de La Métairie et Le Tilleul sont en partie concernées par les périmètres d'étude de dangers associés aux éoliennes E1 et E2. Il est aussi recensé la présence d'un bâtiment d'élevage localisé à environ 350m de l'éolienne E3.

Par ailleurs, des activités artisanales peuvent aussi être présentes au sein des différents hameaux bordant la zone d'étude.

Au niveau des activités touristiques, aucun tronçon de chemins classés au Plan Départemental des Itinéraires Pédestres de Randonnées de l'Ille-et-Vilaine (PDIPR), chemins de grande randonnées ou chemin de randonnées local ne sont présents au sein des aires d'étude de dangers.

IV.2. ENVIRONNEMENT NATUREL

IV.2.1. CONTEXTE CLIMATIQUE

Afin de détailler les caractéristiques météorologiques du secteur du projet, les principaux paramètres (précipitations, températures, ensoleillement et vents) sont présentés dans les paragraphes suivants. Les données proviennent de la station météorologique de RENNES (35) située à 50 kilomètres au Sud-Ouest du projet. Cette station complète de mesures peut être considérée comme la plus représentative du climat local.

• Précipitations

L'histogramme suivant indique les normales mensuelles de précipitations calculées pour la période 1981-2010.

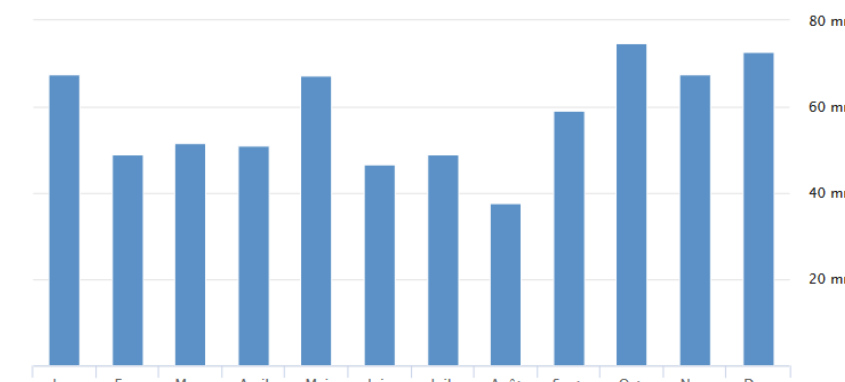


Figure 17 : Normales mensuelles des précipitations à RENNES (Source : METEO-FRANCE)

On notera la saisonnalité des pluies, avec une différence notable entre les précipitations de la période estivale (juin, juillet et aout) et celles, parfois deux fois plus abondantes, qui ont lieu durant l'automne et au début de l'hiver (octobre, novembre, décembre et janvier). Seul le mois de mai fait exception avec des précipitations au cœur du printemps pouvant être équivalentes aux périodes d'automne et d'hivers. Au total, il pleut à RENNES environ 114 jours par an pour une hauteur cumulée de 694mm.

• Températures

Le graphique suivant indique les mesures de la température minimale et maximale, relevées mois par mois, calculées pour la période 1981-2010.

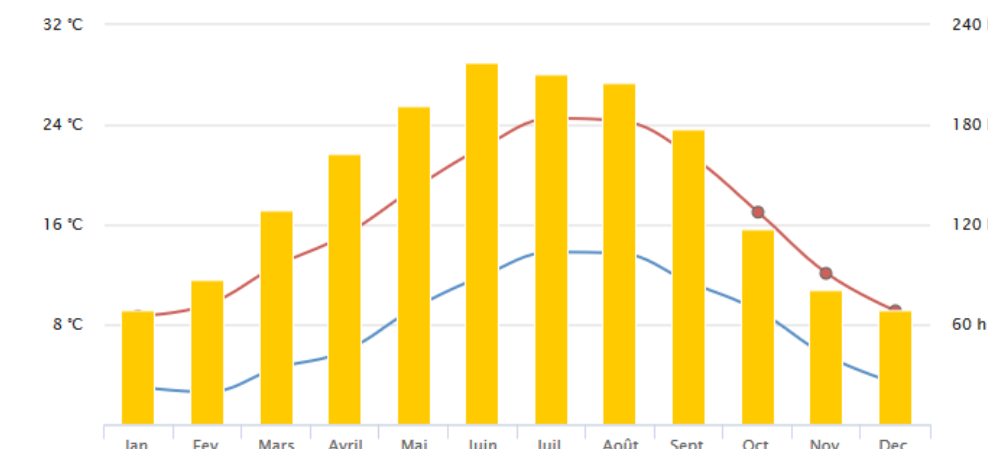


Figure 18 : Normales mensuelles des températures minimales et maximales et ensoleillement à RENNES
(Source : METEO-FRANCE)

La période de l'année la plus chaude s'étend des mois de mai à août compris, pour des moyennes mensuelles maximales dépassant les 24°C, alors que novembre, décembre, janvier et février sont les mois les plus froids pour des moyennes mensuelles comprises entre 2,4°C et 5,5°C. L'influence du climat océanique tempéré garantit des températures hivernales et estivales qui restent modérées, cependant, le positionnement de l'agglomération de Rennes à bonne distance du littoral suppose quelques périodes aux températures plus prononcées. Par ailleurs, l'amplitude thermique, différence entre la moyenne annuelle minimale (7,9°C) et la moyenne annuelle maximale (16,4°C), souligne à nouveau l'empreinte de cette typologie climatique. La durée d'ensoleillement est de 1717 h. /an dont 50 jours à fort ensoleillement.

- Vents

La rose des vents indique la fréquence relative (%) des directions du vent par classe de vitesse. Les directions sont exprimées en rose de 360° (360° = Nord ; 90° = Est ; 180° = Sud ; 270° = Ouest). La rose de METEO-FRANCE a été établie à partir de mesures trihoraires de vent (vitesse moyennée sur 10 minutes), relevées à RENNES entre 1991 et 2010.

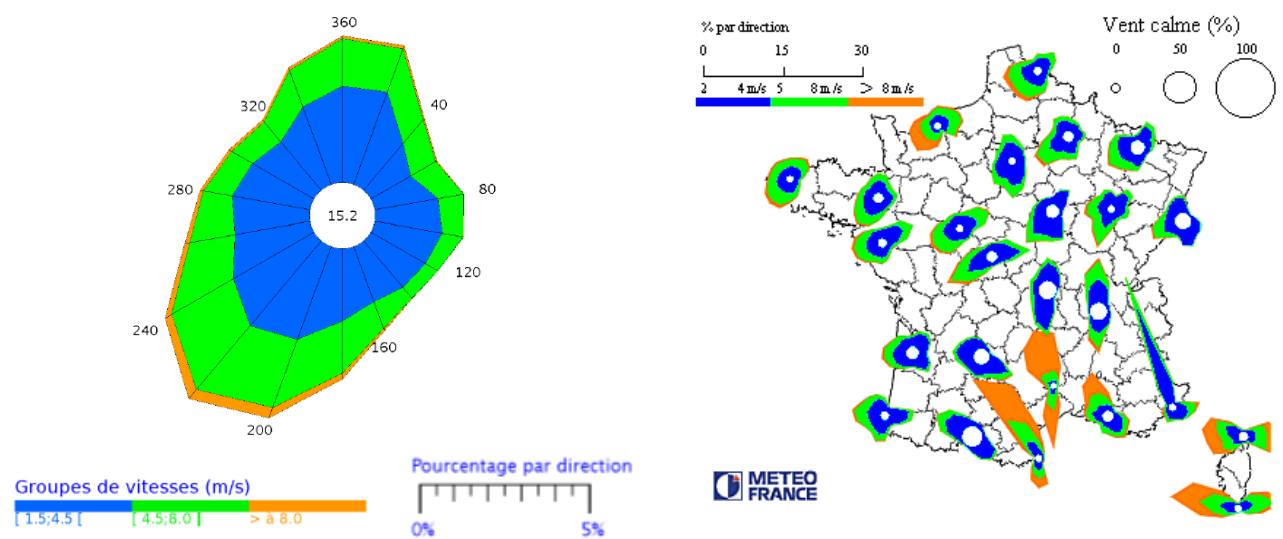


Figure 19 : Rose des vents à RENNES et en France (Source : METEO-FRANCE)

Sur ce secteur, les vents proviennent majoritairement du Sud-Ouest avec des vitesses oscillants entre 1,5 et 8 m/s accompagnés de quelques épisodes avec des vents plus fort (> 8m/s). Ils proviennent de l'Océan Atlantique et amènent les précipitations et la douceur sur la côte Atlantique. Dans une moindre mesure ces vents peuvent provenir de la direction opposée au Nord-Est pour des vitesses également comprises entre 1,5 et 8 m/s, voire plus. Ils proviennent des zones polaires et sibériennes amenant ainsi un air sec et froid. On les rencontre plus couramment en hiver.

Pour compléter ces informations générales, le tableau ci-dessous nous indique, par mois, la vitesse du vent moyennée sur 10 minutes ainsi que le nombre de jours moyens avec rafales et les rafales maximales (m/s) enregistrées au niveau de la station de RENNES entre 1981 et 2010.

Tableau 8 : Nombre moyen de jours avec rafales de vents et rafales maximales de vent (à 10m) enregistrés à RENNES
(Source : METEO-FRANCE)

Mois	Janv.	Fév.	Mars	Avril	Mai	Juin	Juillet	Août	Sept.	Oct.	Nov.	Déc.
Vitesse moyenne sur 10 min (m/s)	4,1	4	4	4	3,7	3,5	3,4	3,2	3,2	3,5	3,5	3,8
Nombre de jours avec rafales > 16m/s (58 km/h)	6,5	5,3	5,5	4,0	3,1	1,3	1,3	1,3	1,9	3,7	3,8	5,7
Nombre de jours avec rafales > 28m/s (100 km/h)	0,2	0,0	/	0,1	/	/	/	/	0,0	0,1	0,1	0,1
Vitesse maximale enregistrée en m/s (km/h en italique)	31,0	35,0	26,7	29,0	23,5	23,0	23,0	23,0	30,0	38,0	33,0	35,0
	112	127	97	105	85	83	83	83	109	138	119	127

/ : Donnée égale à 0

- Brouillard, orage, grêle, neige et gel

Le nombre moyen de jours avec brouillard, grêle, orage, neige et gel, mois par mois, enregistré au niveau de la station de RENNES entre 1981 et 2010 permet de nous livrer des informations sur l'occurrence de ces événements climatiques. De manière générale, hormis le brouillard bien présent sur le territoire breton, les autres événements n'arrivent qu'avec des fréquences relativement faibles, le plus souvent moins d'un jour par mois. Les périodes estivales et hivernales peuvent à l'occasion faire exception et voient respectivement se déclencher d'avantage d'épisodes orageux ou de chutes de neiges.

Tableau 9 : Nombre moyen de jours avec brouillard, orage, grêle ou neige à RENNES (Source : METEO-FRANCE)

Mois	Janv.	Fév.	Mars	Avril	Mai	Juin	Juillet	Août	Sept.	Oct.	Nov.	Déc.
Nombre moyen de jours avec brouillard	5,6	5,1	4,4	4,1	3,7	--	2,8	4,4	6,4	--	6,9	6,4
Nombre moyen de jours avec orage	0,2	0,1	0,4	1,2	2,4	--	3,3	2,5	1,5	--	0,2	0,1
Nombre moyen de jours avec grêle	0,5	0,3	0,6	0,6	0,4	--	0,1	0,1	0,0	--	0,0	0,2
Nombre moyen de jours avec neige	1,9	2,9	1,0	0,4	/	--	/	/	/	--	0,2	1,3

/ : Donnée égale à 0

-- : Donnée manquante

Par ailleurs, le risque orageux peut être, quant à lui, apprécié de manière plus fine grâce aux données 2007-2016 fournies par le service METEORAGE de Météo-France. La meilleure représentation actuelle de l'activité orageuse est la densité de points de contact qui est le nombre de points de contact par km² et par an. La valeur moyenne de la densité de foudroiement (N_{SG}) est de 1,12 impacts/km²/an. Pour la commune de LA CHAPELLE JANSON, cette densité a été mesurée à 0,57 impacts/km²/an, ce qui est assez faible. Par ailleurs, cette commune compte en moyenne 5 jour d'orage par an. Les épisodes orageux se concentrent majoritairement sur la période estivale (75% des impacts recensés) et plus particulièrement sur les mois de juin, voire août.

→ N_{SG} : 0,57 impacts/km²/an



Indice de confiance statistique : Excellent

L'intervalle de confiance à 95% est : [0,49 - 0,67].

Figure 20 : Densité de foudroiement sur la commune de LA CHAPELLE JANSON

IV.2.2. RISQUES NATURELS

Les risques naturels présentés sont ceux répertoriés dans le Dossier Départemental des Risques Majeurs (DDRM) du département d'Ille-et-Vilaine approuvé par arrêté préfectoral le 26 juin 2015. Des informations complémentaires peuvent être apportées en fonction des données disponibles localement (argiles, mouvements de terrain, inondations...).

Selon le Dossier Départemental des Risques Majeurs d'Ille-et-Vilaine, la commune du projet est concernée par 2 risques naturels :

- Risque de survenue de phénomènes météorologiques violents – Tempête et grains (vent) ;
- Risque sismique.

Le tableau suivant présente les arrêtés de catastrophes naturelles émis sur la commune du projet :

Tableau 10 : Arrêtés de catastrophe naturelle recensés sur la commune de LA CHAPELLE JANSON (Source : Géorisques.gouv.fr)

Type de catastrophe	Arrêté du
Inondations, coulées de boue et mouvements de terrain	06/07/2020
Inondations et coulées de boue	23/07/2018
Inondations, coulées de boue et mouvements de terrain	29/12/1999
Tempête	22/10/1987

• Séisme

Selon les décrets n°2010-1254 et n°2010-1255 du 22 octobre 2010, la commune concernée par le projet est classée en zone de sismicité faible (classe 2), au même titre que l'ensemble des communes du département d'Ille-et-Vilaine. Concernant les événements sismiques passés, le tableau suivant récapitule les dix événements les plus importants potentiellement ressentis sur la commune de LA CHAPELLE JANSON :

Tableau 11 : Recensement des séismes ressentis sur la commune de LA CHAPELLE JANSON (Source : Géorisques.gouv.fr)

Evénements sismiques les plus importants		
Date	Intensité interpolée ²	Intensité interpolée par classes ³
06/07/1640	4,90	IV-V
25/01/1799	4,88	IV-V
15/02/1887	4,82	IV-V
01/04/1853	4,64	IV-V
30/04/1619	4,45	IV-V
08/01/1914	4,41	IV-V
30/07/1926	4,39	IV-V
12/12/1907	4,32	IV-V
23/04/1773	4,30	IV-V
15/05/1888	4,19	IV-V

Il apparaît que les séismes potentiellement ressentis les plus importants ont eu lieu il y a plus de 100 ans pour la plupart. Le dernier date de 1926. L'ensemble de ces événements présentent une intensité ressentie faible à modéré au niveau de la commune de LA CHAPELLE JANSON (classe IV à V).

• Mouvements de terrain

Ce risque peut être de type lent et continu (ex : tassement, retrait gonflement des argiles ou glissements) ou de type rapide et discontinu (ex : effondrements de cavités souterraines, écroulements, coulées torrentielles).

Aucun mouvement de terrain, ni aucune cavité souterraine abandonnée, n'est localisé à proximité du projet. Par ailleurs, le DDRM d'Ille-et-Vilaine n'identifie aucun risque mouvement de terrain, ni aucun risque minier sur la commune du projet. La cavité souterraine la plus proche se situe au Nord du périmètre de la commune de LA CHAPELLE JANSON à plus de 3,8 km des éoliennes. En outre, le mouvement de terrain le plus proche se trouve à près de 8,4 km au Sud-Ouest des éoliennes, sur le périmètre de la commune de LUITRE-DOMPIERRE.

La consultation des bases de données spécifiques permet de s'apercevoir que le risque lié au retrait-gonflement des argiles est évalué comme faible pour les éoliennes E1 et E2, et nul pour l'éolienne E3.

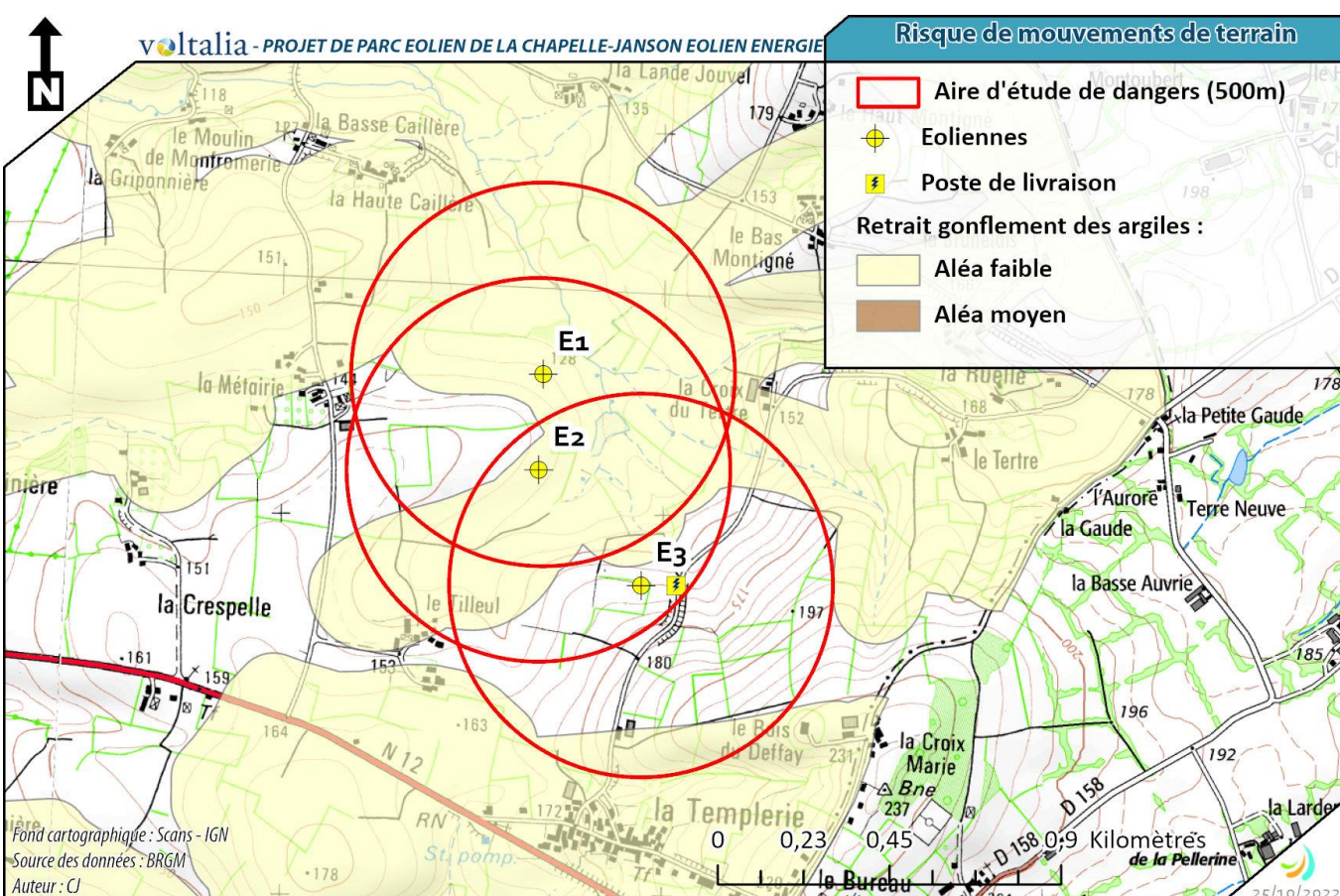


Figure 21 : Risque de mouvement de terrain sur la zone du projet (Source : BRGM)

• Feux de forêt

Selon les informations figurant dans le DDRM, la commune de LA CHAPELLE JANSON n'est pas considérée comme vulnérable au risque de feu de forêt. Effectivement, la commune n'est pas concernée par un secteur dit à « risque feu de forêt » identifiées par un arrêté préfectoral du 7 novembre 1980.

Ces zones à risques sont principalement identifiées en fonction de la présence ou de la proximité de massifs forestiers et de zones naturelles touristiques (lande ou boisement). Or, aucun boisement d'importance, ni aucune lande plus particulièrement sensible au départ de feu ne se trouve compris dans le périmètre de l'aire d'étude de dangers. Effectivement, ce secteur est concerné par un parcellaire dédié à la pratique d'une activité agricole. Les espaces boisés du secteur sont de taille restreinte et situés à distance des éoliennes.

² Valeur arrondie en nombre réel de l'intensité interpolée au niveau de la mairie de la commune pour l'évènement considéré. (Source : Géorisques)

³ L'intensité traduit les effets et dommages induits par le séisme en un lieu donné. Son échelle est fermée et varie de I (non ressenti) à XII (pratiquement tous les bâtiments détruits). (Source : Géorisques)

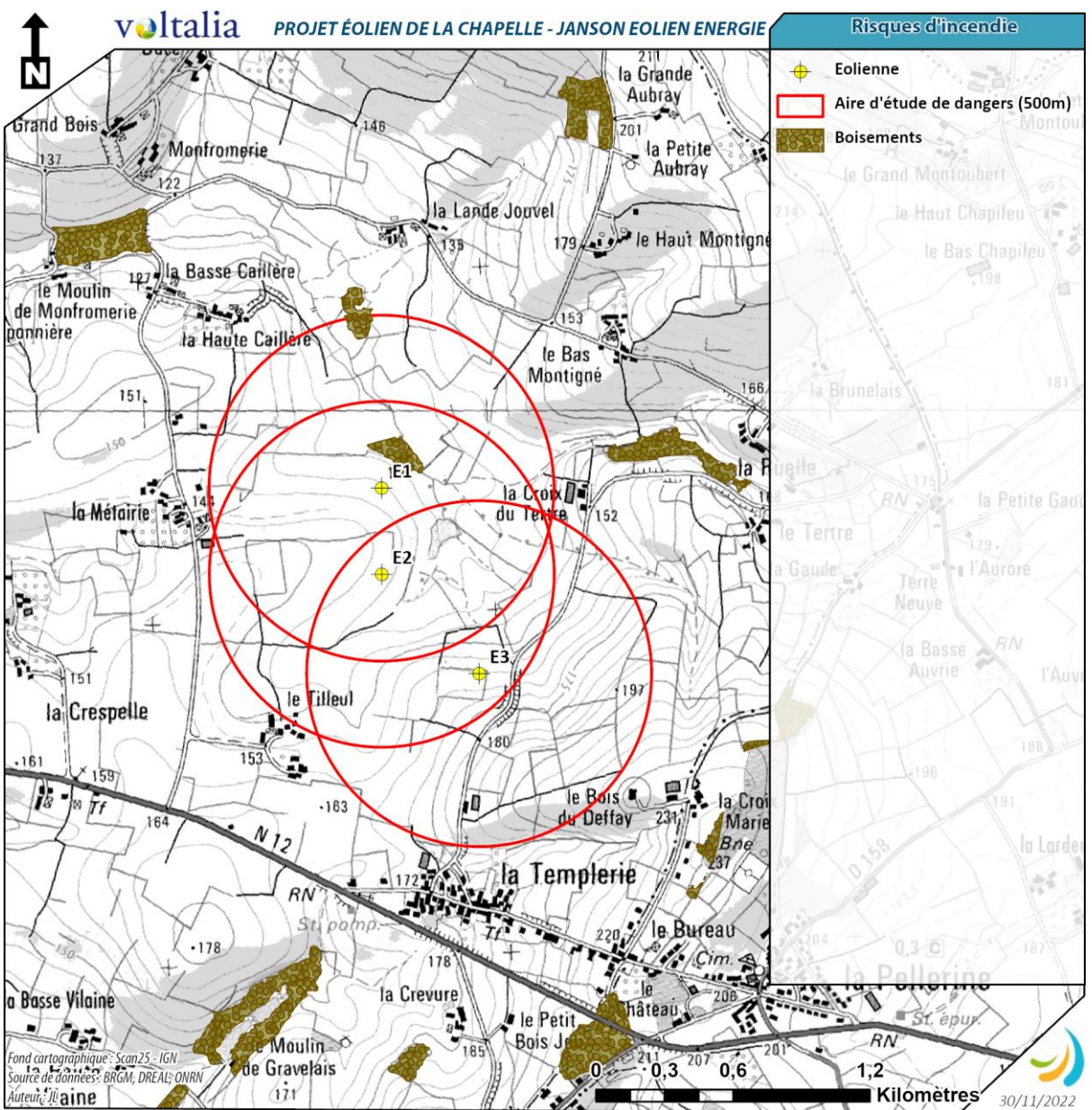


Figure 22 : Boisements au niveau du site du projet

• *Phénomènes météorologiques violents*

Tout comme l'ensemble des communes du département, la commune du projet est soumise au risque lié aux tempêtes et autres phénomènes météorologiques violents. On notera que le positionnement de la commune dans les terres, en retrait du littoral, offre une protection naturelle lui permettant de se soustraire en partie à l'ampleur d'épisodes climatiques violents.

- *Inondations*

Malgré la présence de plusieurs cours d'eau prenant leur source ou traversant la commune du projet, LA CHAPELLE JANSON n'est pas concernée par un risque inondation par débordement de cours d'eau. Le réseau hydrographique sur la commune se compose de petits ruisseaux dont la configuration ne suppose pas de crues susceptibles de représenter un risque. En outre, la commune n'est pas en Territoire à Risque important d'Inondation et n'est pas concernée par un Plan de Prévention des Risques Inondation (PPRI) ou par un Programme d'Action de Prévention des Inondations (PAPI). En revanche, la commune est recensée dans l'Atlas de Zone Inondable associé au fleuve côtier le Couesnon. Toutefois, LA CHAPELLE JANSON n'est pas directement concernée par des zones inondables définies aux abords de ce cours d'eau s'écoulant au Sud, hors du périmètre communal. Ainsi, la zone du projet ne présente pas de sensibilité particulière au regard des risques d'inondation suite au débordement de cours d'eau. Par ailleurs, le risque d'inondation par remontée de nappes est également présent sur la commune. Il est lié quant à lui aux nappes phréatiques dites « libres » car aucune couche imperméable ne les sépare du sol.

Alimentées par les pluies, ces nappes peuvent connaître une surcharge en période hivernale et rejoaillir du sol. Il existe deux grands types de nappes selon la nature des roches qui les contiennent (on parle de la nature de « l'aquifère ») : celles des formations sédimentaires et celles des roches dures de socle. Les premières sont contenues dans des roches poreuses (ex : sables, certains grès, la craie...) alors que les secondes sont incluses dans les fissures des roches dures et non poreuses, aussi appelées « de socle » (ex : granite, gneiss...).

Les services du BRGM ont réalisé une étude de ce phénomène afin de préparer le 2^e cycle de mise en œuvre de la directive du parlement européen et du Conseil relative à l'évaluation et la gestion des risques inondation et de sa transposition en droit français (loi du 12 juillet 2010). Cette étude a abouti à la réalisation d'une cartographie nationale de sensibilité aux remontées de nappes permettant d'identifier géographiquement cet aléa. La carte a pour objectif l'identification et la délimitation des zones sensibles aux inondations par remontée de nappes. Ces « zones sensibles » sont des secteurs dont les caractéristiques d'épaisseur de la Zone Non Saturée, et de l'amplitude du battement de la nappe superficielle, sont telles qu'elles peuvent déterminer une émergence de la nappe au niveau du sol, ou une inondation des sous-sols à quelques mètres sous la surface du sol. C'est ainsi que trois classes de sensibilité ont été définies :

- « Zones potentiellement sujettes aux débordements de nappe » : lorsque la différence entre la cote altimétrique du MNT (modèle numérique de terrain) et la cote du niveau maximal interpolée est négative ;
 - « Zones potentiellement sujettes aux inondations de cave » : lorsque la différence entre la cote altimétrique du MNT et la cote du niveau maximal interpolée est comprise entre 0 et 5 m ;
 - « Pas de débordement de nappe ni d'inondation de cave » : lorsque la différence entre la cote altimétrique du MNT et la cote du niveau maximal interpolée est supérieure à 5 m.

Les données fournies par le BRGM mettent en évidence que les risques d'inondation par remontée de nappe qui se localisent plus particulièrement au niveau du vallon. Effectivement, ces secteurs reposent sur une assise alluvionnaire/colluvionnaire et sont traversés par des cours d'eau, ce qui les rend plus vulnérables à ce risque. Les trois éoliennes du projet sont localisées en dehors des zones d'inondations par remontée de nappe. Il ne s'agit toutefois que de données théoriques sujettes à de fortes incertitudes, le BRGM ne garantissant pas ni leur exactitude ni leur exhaustivité. Les études géotechniques menées en amont de la construction du parc devront donc confirmer ou non ce risque. Si celui-ci est avéré, des mesures visant à réduire le risque de pollution des eaux devront être mises en œuvre (Cf. étude d'impact).

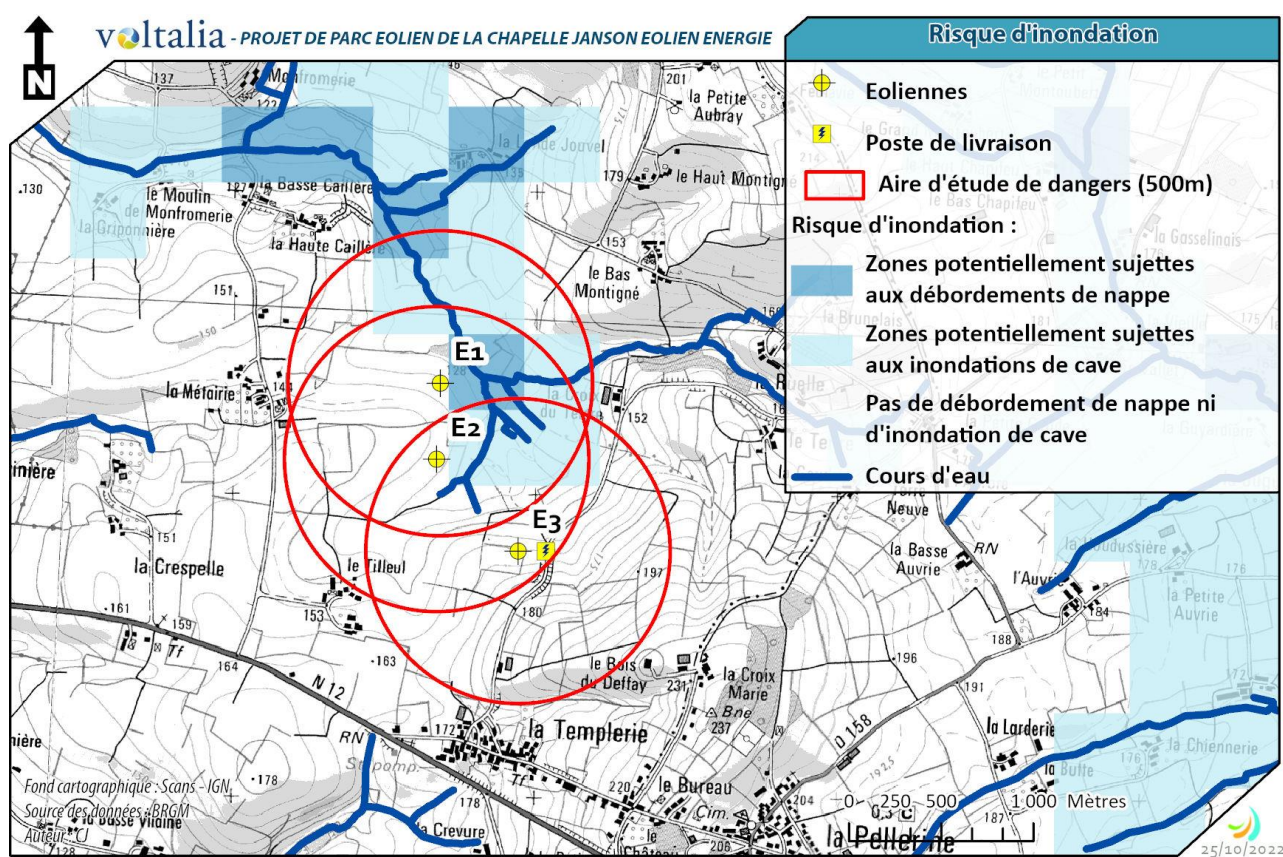


Figure 23 : Cartographie du risque d'inondation au niveau du projet (Source : BRGM, Géorisques)

IV.3. ENVIRONNEMENT MATERIEL

IV.3.1. VOIES DE COMMUNICATION

Au sein de l'aire d'étude de dangers, la voirie est très peu dense et constituée principalement de chemins ruraux sillonnant l'espace agricole et desservant les différentes parcelles.

On ne recense aucune route départementale, route nationale ou autoroute.

Aucune voie ferrée en activité n'est recensée au sein de ces aires d'étude de dangers.

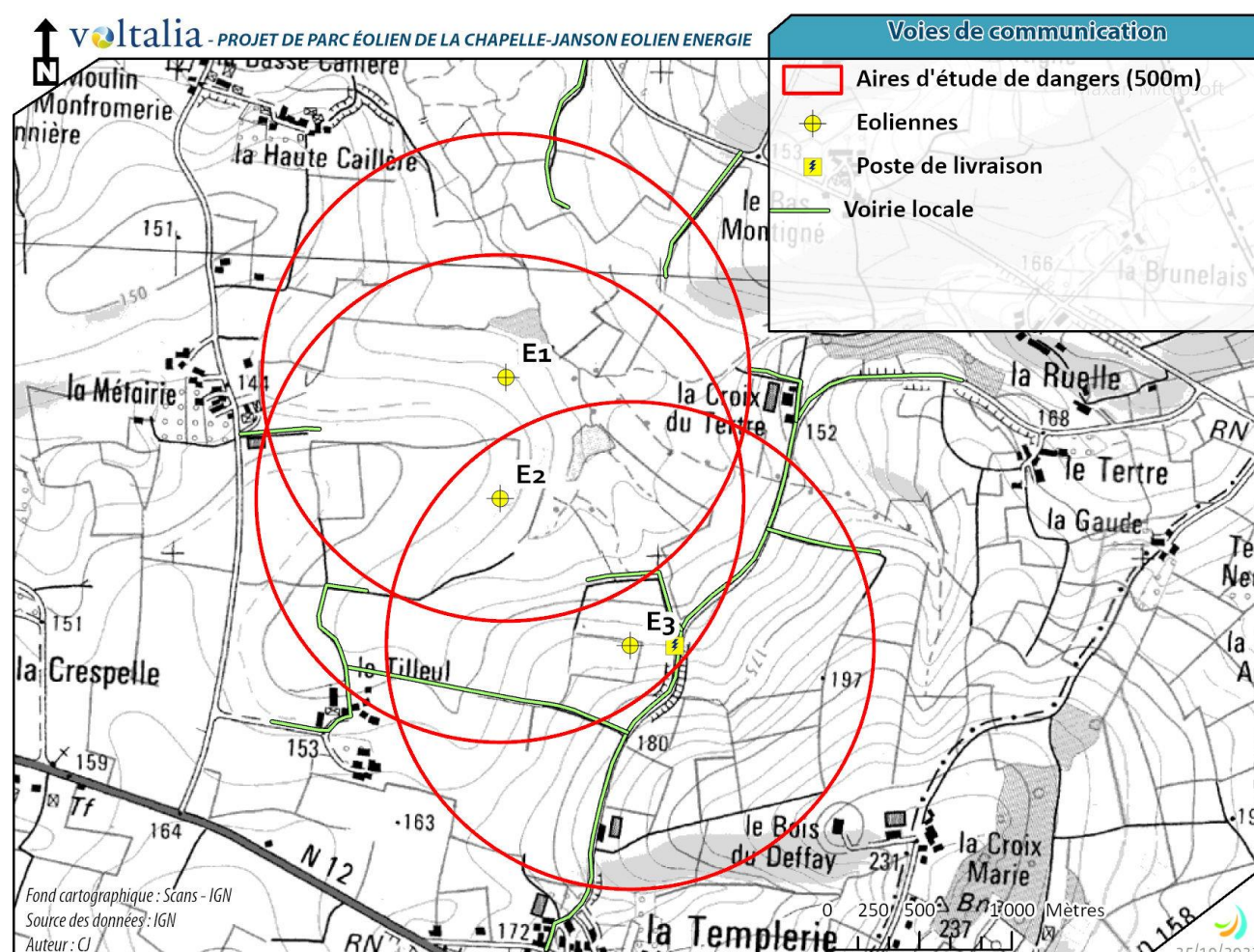


Figure 24 : Voirie au niveau du projet

IV.3.2. RESEAUX PUBLICS ET PRIVES

On ne recense aucune canalisation de transport d'hydrocarbures, de transport de gaz ou produits chimiques, ni aucune infrastructure d'assainissement (stations d'épurations...) au sein de l'aire d'étude de dangers.

De plus, aucune ligne électrique HTB du gestionnaire de réseau RTE ENEDIS ne traverse les aires d'étude de dangers des trois éoliennes. On retrouve en revanche une ligne électrique HTA du gestionnaire de réseau passant entre les éoliennes E2 et E3.

IV.3.3. AUTRES OUVRAGES PUBLICS

Il n'a pas été observé d'autres ouvrages publics majeurs tels que les barrages, digues, bassins de rétention, ou autres au sein de la zone d'étude.

IV.4. CARTOGRAPHIE DE SYNTHESE

Les cartes présentées sur les pages qui suivent permettent de restituer les différents enjeux liés à l'environnement du projet du **projet du Parc éolien de La Chapelle-Janson Eolian Energie**, à savoir :

- La localisation des biens, infrastructures et autres établissements,
- Le nombre de personnes exposées par secteur (champs, routes, habitations...) dans un rayon de 500m autour des éoliennes.
- A titre indicatif, figurent aussi sur ces cartes les rayons des différents phénomènes de dangers qui seront détaillés dans les parties suivantes.

La méthode de comptage des enjeux humains dans chaque secteur est présentée en Annexe 1. Elle se base sur la fiche n°1 de la circulaire du 10 mai 2010 relative aux règles méthodologiques applicables aux études de dangers. A noter que le détail des calculs du nombre de personnes exposées par type de scénario est quant à lui fourni en Annexe 2. Le tableau ci-dessous résume le nombre de personnes exposées comptabilisé⁴ pour chaque éolienne dans un rayon de 500m.

E1	E2	E3
6,33	6,98	3,93

Tableau 12 : Synthèse du nombre de personnes exposées dans un rayon de 500m par éolienne

⁴ Il convient de noter qu'un très léger écart peut apparaître (de l'ordre de 0.01 personne) entre les chiffres détaillés sur les cartographies de synthèse et ceux présentés dans les tableaux de détails de calculs annexés au présent rapport. Cet écart est induit par les arrondis, les chiffres les plus près de la réalité étant ceux des tableaux.

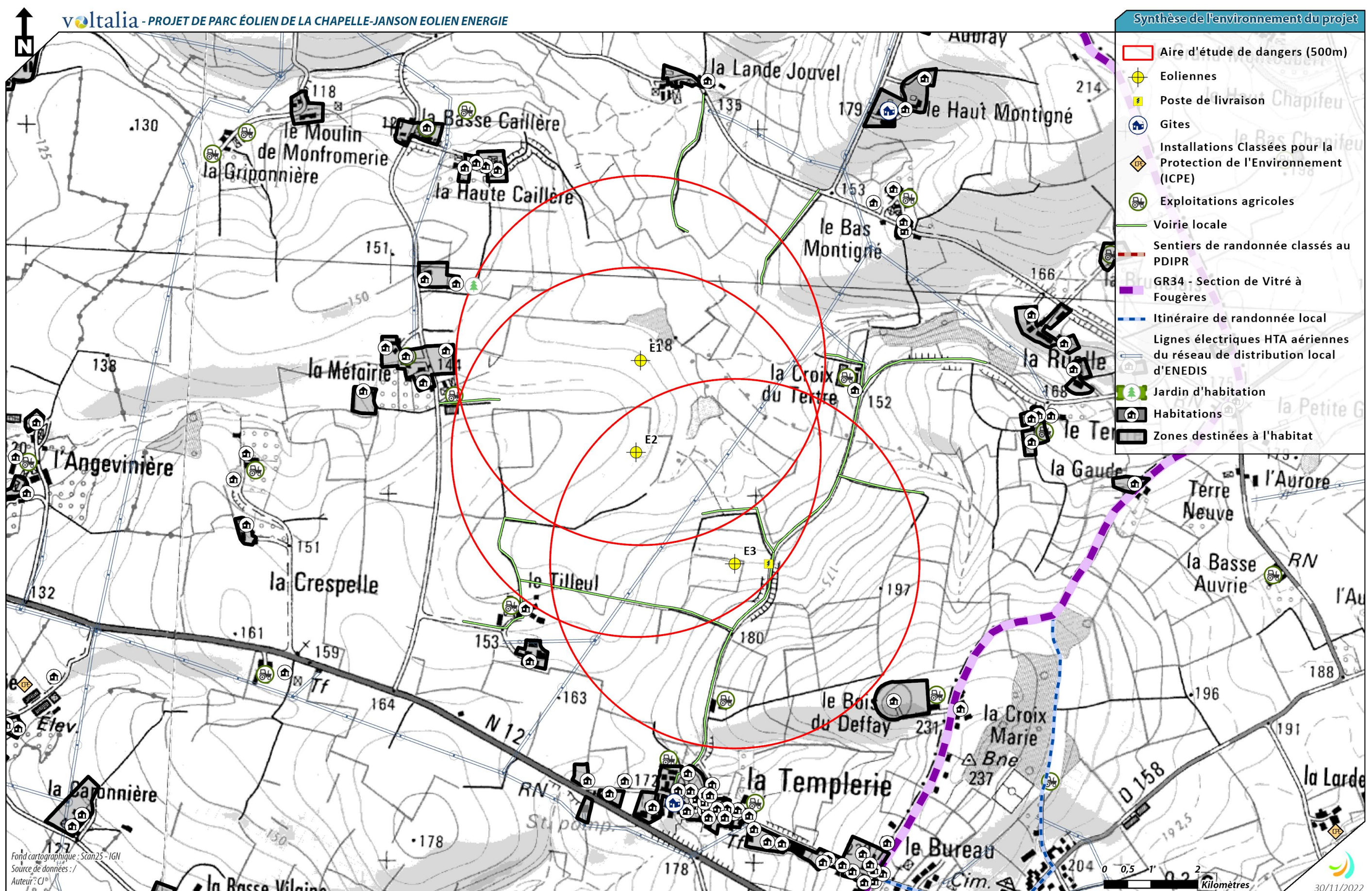


Figure 25 : Synthèse de l'environnement du projet

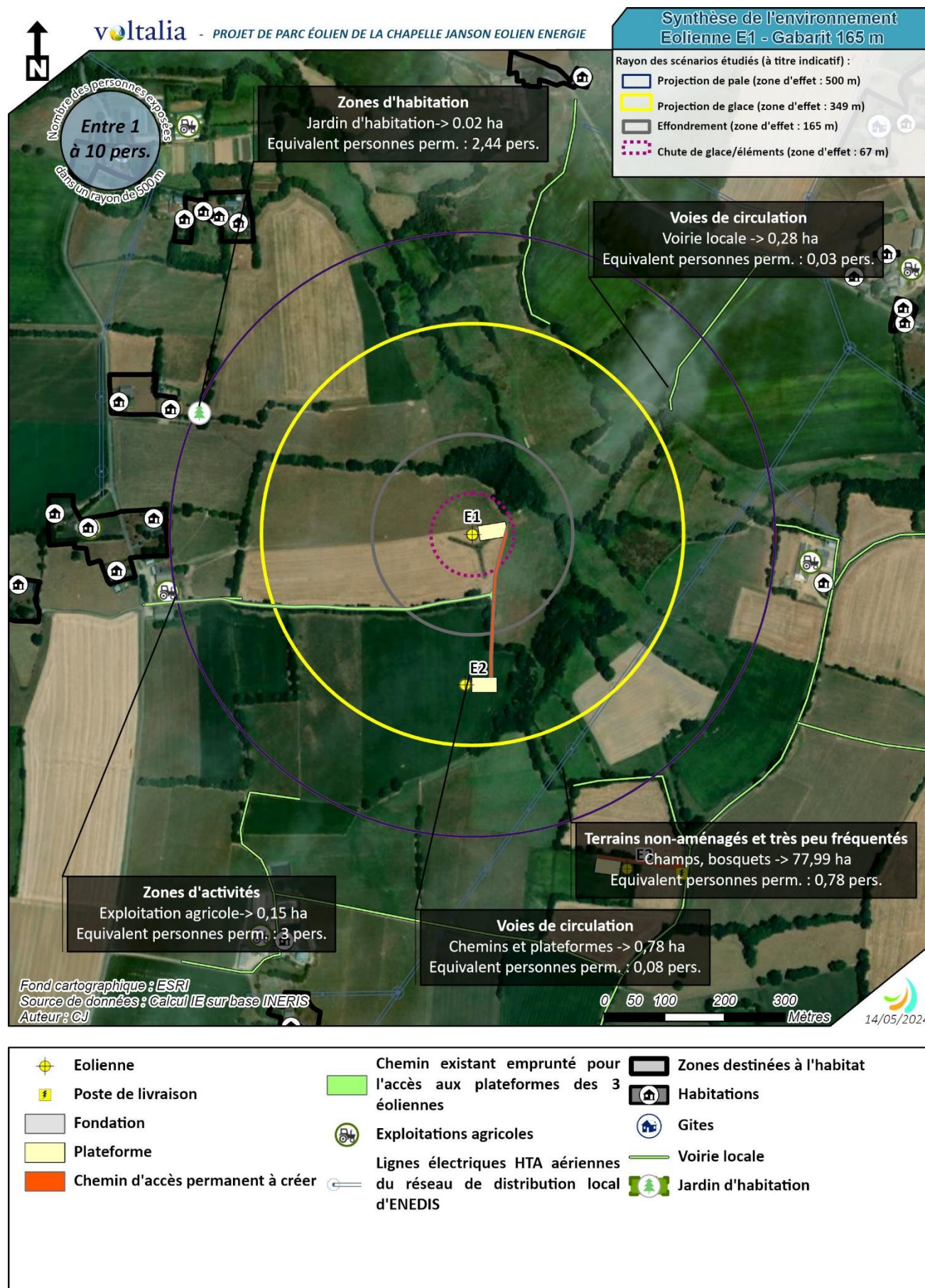


Figure 26 : Synthèse de l'environnement - Éolienne E1

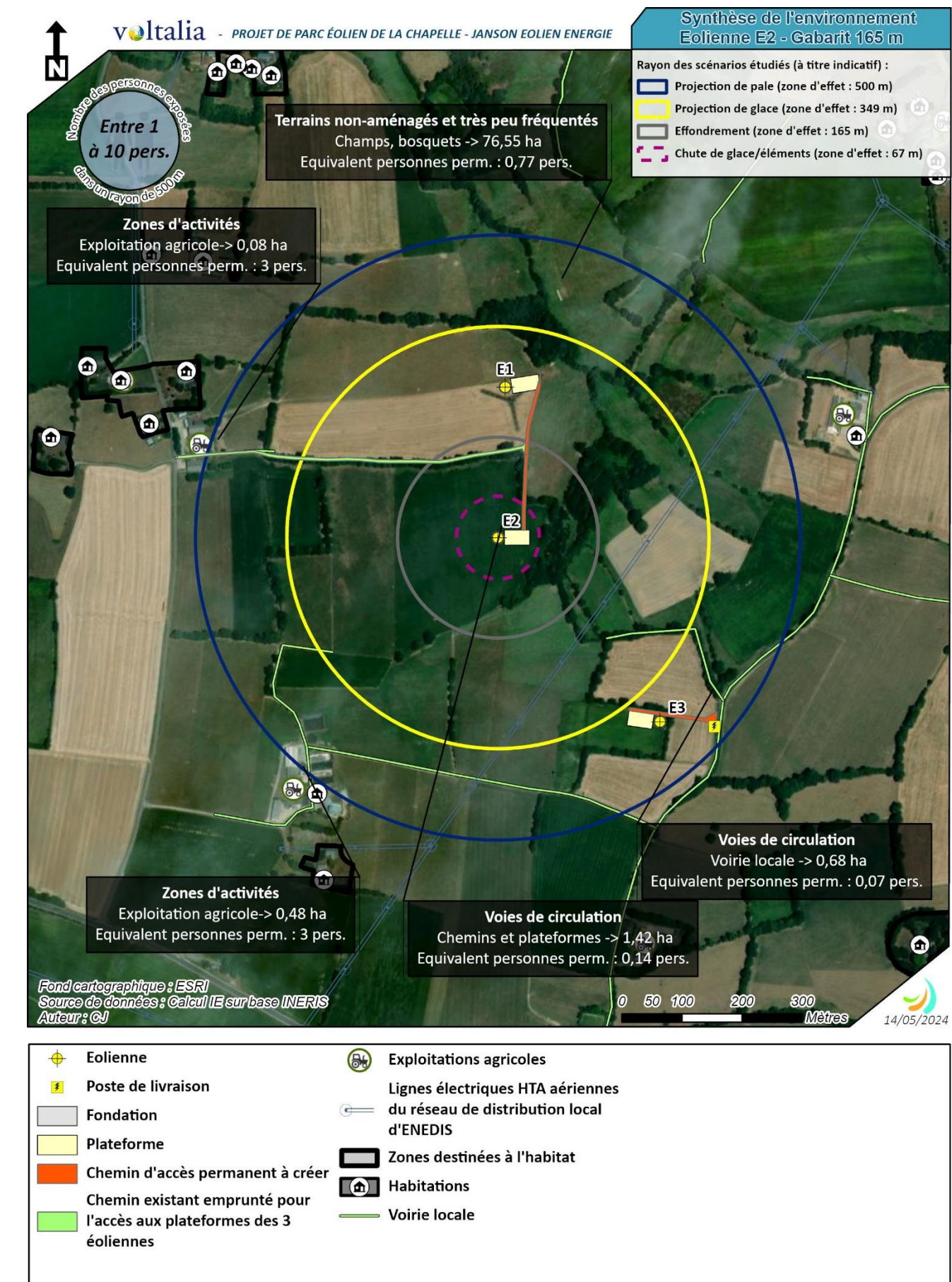


Figure 27 : Synthèse de l'environnement - Éolienne E2

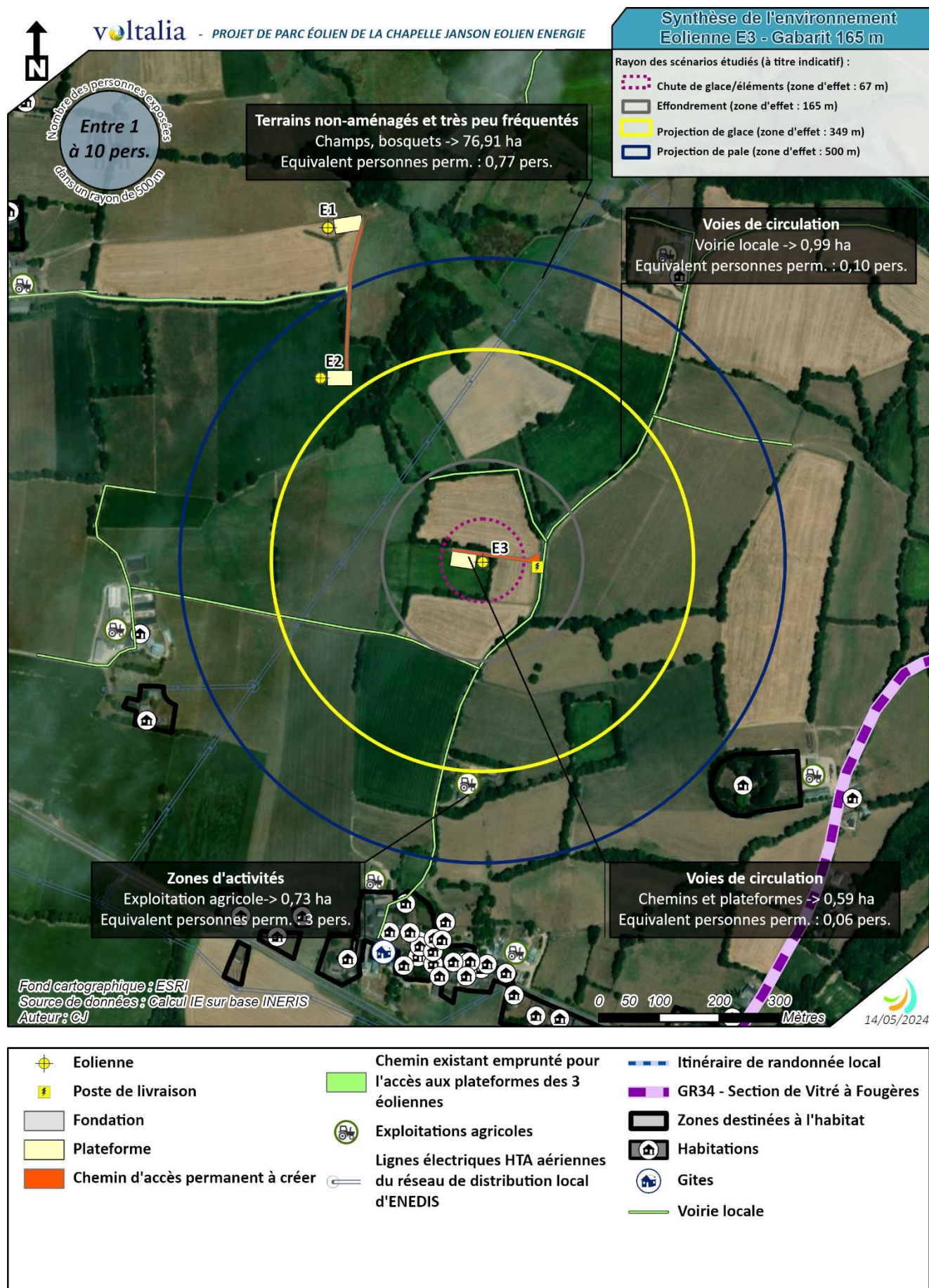


Figure 28 : Synthèse de l'environnement - Éolienne E3

V. DESCRIPTION DE L'INSTALLATION

Ce chapitre a pour objectif de caractériser l'installation envisagée ainsi que son organisation et son fonctionnement, afin de permettre d'identifier les principaux potentiels de danger qu'elle représente (chapitre V), au regard notamment de la sensibilité de l'environnement décrit précédemment.

V.1. CARACTERISTIQUES DE L'INSTALLATION

V.1.1. CARACTERISTIQUES GENERALES D'UN PARC EOLIEN

Un parc éolien est une centrale de production d'électricité à partir de l'énergie du vent. Il est composé de plusieurs aérogénérateurs et de leurs annexes (cf. schéma du raccordement électrique au paragraphe dédié) :

- Plusieurs éoliennes fixées sur une fondation adaptée, accompagnée d'une aire stabilisée appelée « plateforme » ou « aire de grutage » ;
- Un réseau de câbles électriques enterrés permettant d'évacuer l'électricité produite par chaque éolienne vers le ou les poste(s) de livraison électrique (appelé « réseau inter-éolien ») ;
- Un ou plusieurs poste(s) de livraison électrique, concentrant l'électricité des éoliennes et organisant son évacuation vers le réseau public d'électricité au travers du poste source local (point d'injection de l'électricité sur le réseau public) ;
- Un réseau de câbles enterrés permettant d'évacuer l'électricité regroupée au(x) poste(s) de livraison vers le poste source (appelé « réseau externe ») et appartenant le plus souvent au gestionnaire du réseau de distribution d'électricité) ;
- Un réseau de chemins d'accès ;
- Éventuellement des éléments annexes type mât de mesure de vent, aire d'accueil du public, aire de stationnement, etc.

V.1.1.1. Eléments constitutifs d'un aérogénérateur

Au sens du l'arrêté du 26 août 2011 relatif aux installations de production d'électricité utilisant l'énergie mécanique du vent au sein d'une installation soumise à autorisation au titre de la rubrique 2980 de la législation des installations classées pour la protection de l'environnement, les aérogénérateurs (ou éoliennes) sont définis comme un dispositif mécanique destiné à convertir l'énergie du vent en électricité, composé des principaux éléments suivants : un mât, une nacelle, le rotor auquel sont fixées les pales, ainsi que, le cas échéant, un transformateur.

Les aérogénérateurs se composent de trois principaux éléments :

- **Le rotor** qui est composé de trois pales construites en matériaux composites et réunies au niveau du moyeu. Il se prolonge dans la nacelle pour constituer l'arbre lent.
- **Le mât** est généralement composé de 3 à 4 tronçons en acier ou 15 à 20 anneaux de béton surmonté d'un ou plusieurs tronçons en acier. Dans la plupart des éoliennes, il abrite le transformateur qui permet d'élever la tension électrique de l'éolienne au niveau de celle du réseau électrique.
- **La nacelle** abrite plusieurs éléments fonctionnels :
 - le générateur qui transforme l'énergie de rotation du rotor en énergie électrique ;
 - le multiplicateur ;
 - le système de freinage mécanique ;
 - le système d'orientation de la nacelle qui place le rotor face au vent pour une production optimale d'énergie ;
 - les outils de mesure du vent (anémomètre, girouette) ;
 - le balisage diurne et nocturne nécessaire à la sécurité aéronautique.

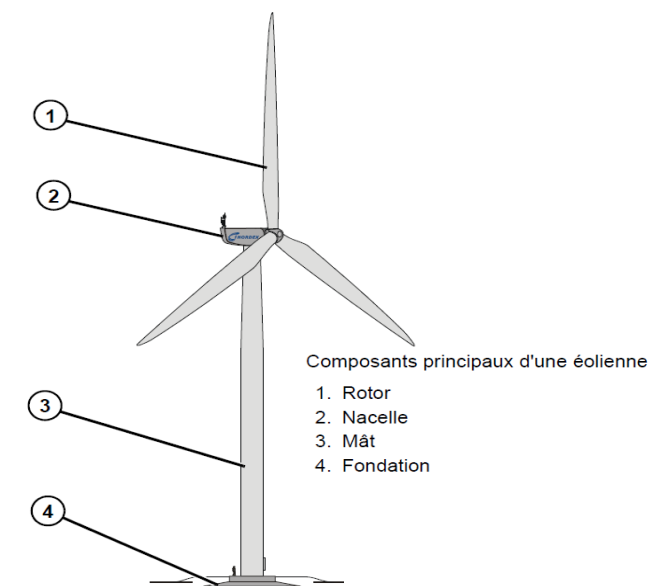


Figure 29 : Schéma simplifié d'un aérogénérateur

V.1.1.2. Emprise au sol

Plusieurs emprises au sol sont nécessaires pour la construction et l'exploitation des parcs éoliens :

- **La surface de chantier** est une surface temporaire, durant la phase de construction, destinée aux manœuvres des engins et au stockage au sol des éléments constitutifs des éoliennes.
- **La fondation de l'éolienne** est recouverte de remblai. Ses dimensions exactes sont calculées en fonction des aérogénérateurs et des propriétés du sol.
- **La zone de surplomb ou de survol** correspond à la surface au sol au-dessus de laquelle les pales sont situées, en considérant une rotation à 360° du rotor par rapport à l'axe du mât.
- **La plateforme** correspond à une surface permettant le positionnement de la grue destinée au montage et aux opérations de maintenance liées aux éoliennes. Sa taille varie en fonction des éoliennes choisies et de la configuration du site d'implantation.

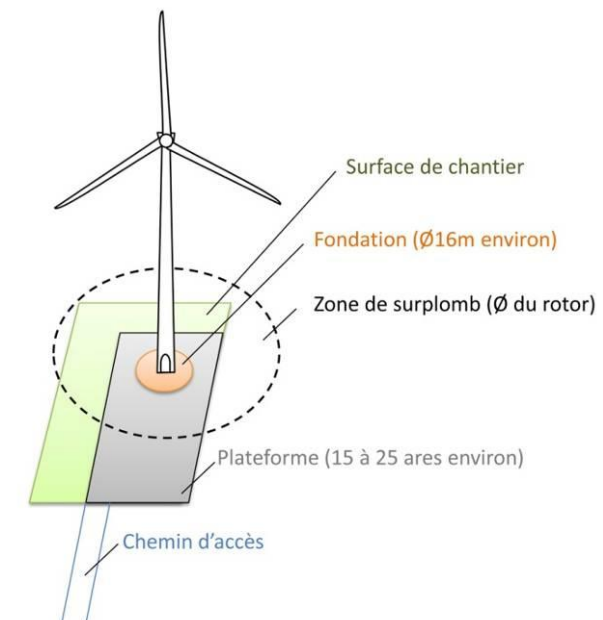


Figure 30 : Illustration des emprises au sol d'une éolienne

(Les dimensions sont données à titre d'illustration pour une éolienne d'environ 150m de hauteur totale)

V.1.1.3. Chemins d'accès

Pour accéder à chaque aérogénérateur, des pistes d'accès sont aménagées pour permettre aux véhicules d'accéder aux éoliennes, aussi bien pour les opérations de construction du parc éolien que pour les opérations de maintenance liées à l'exploitation du parc éolien. Durant la phase de construction et de démantèlement, les engins empruntent ces chemins pour acheminer les éléments constituant les éoliennes et leurs annexes.

Durant la phase d'exploitation, les chemins sont utilisés par des véhicules légers (maintenance régulière) ou par des engins permettant d'importantes opérations de maintenance (ex : changement de pale).

V.1.2. ACTIVITE DE L'INSTALLATION

L'activité principale du projet de **Parc éolien de La Chapelle-Janson Eolien Energie** est la production d'électricité à partir de l'énergie mécanique du vent avec une hauteur (mât + nacelle) de 101 m. Cette installation est donc soumise à la rubrique 2980 des installations classées pour la protection de l'environnement.

V.1.3. COMPOSITION DE L'INSTALLATION

Le projet de **Parc éolien de La Chapelle-Janson Eolien Energie** est composé de 3 aérogénérateurs d'une puissance unitaire de 3,6 MW (soit une puissance totale de 10,8 MW) et d'un poste de livraison. Le tableau suivant indique les coordonnées géographiques des aérogénérateurs et du poste de livraison dans les systèmes de coordonnées Lambert 93 et WGS 84 :

Tableau 13 : Coordonnées des éoliennes et du poste de livraison

	Commune	N° parcelle	Altitude NGF (sol)	Altitude NGF (bout de pale)	Coord. Lambert 93	Coord. WGS 84 (DMS)
E1	LA CHAPELLE JANSON	AO66 (Surplomb des pale AO66 et AO64)	135,83	300,83	X = 398 689,65 Y = 6 810 825,53	1°4'1.4578" O 48°19'40.4238" N
E2	LA CHAPELLE JANSON	AS11 (Surplomb des pale AS10 et AS11)	143,01	308,01	X = 398 677,51 Y = 6 810 575,41	1°4'1.4214" O 48°19'32.3130" N
E3	LA CHAPELLE JANSON	AS19 (Surplomb des pale AS19 et AS68)	159,04	324,04	X = 398 947,04 Y = 6 810 269,26	1°3'47.5830" O 48°19'22.8594" N
Poste de livraison	LA CHAPELLE JANSON	AS68	/	/	X = 399 038,27 Y = 6 810 271,20	1°3'43.1629" O 48°19'23.0740" N

Concernant le choix du modèle d'éolienne qui sera installé sur ce parc éolien, le développeur s'est tourné vers le constructeur NORDEX. Le modèle d'aérogénérateur correspond à des machines NORDEX 131 TS99 3,6 MW d'une hauteur de moyeu de 99 mètres (hauteur de la tour de 96,9 m, hauteur en haut de nacelle de 100,9 mètres). Son diamètre de rotor est de 131 mètres à l'arrêt. Ce dernier augmente en fonctionnement, les pales se courbant sous la pression du vent pour atteindre un diamètre de 133,3 mètres. La hauteur en bout de pale de ce modèle d'éolienne est de 164,5 mètres à l'arrêt et de 164,9 mètres en fonctionnement.

Le plan disposé sur la page suivante permet de localiser les différents éléments composant le **projet de Parc éolien de La Chapelle-Janson Eolien Energie** (éoliennes, postes de livraison, plateformes, chemins d'accès et câbles électriques).

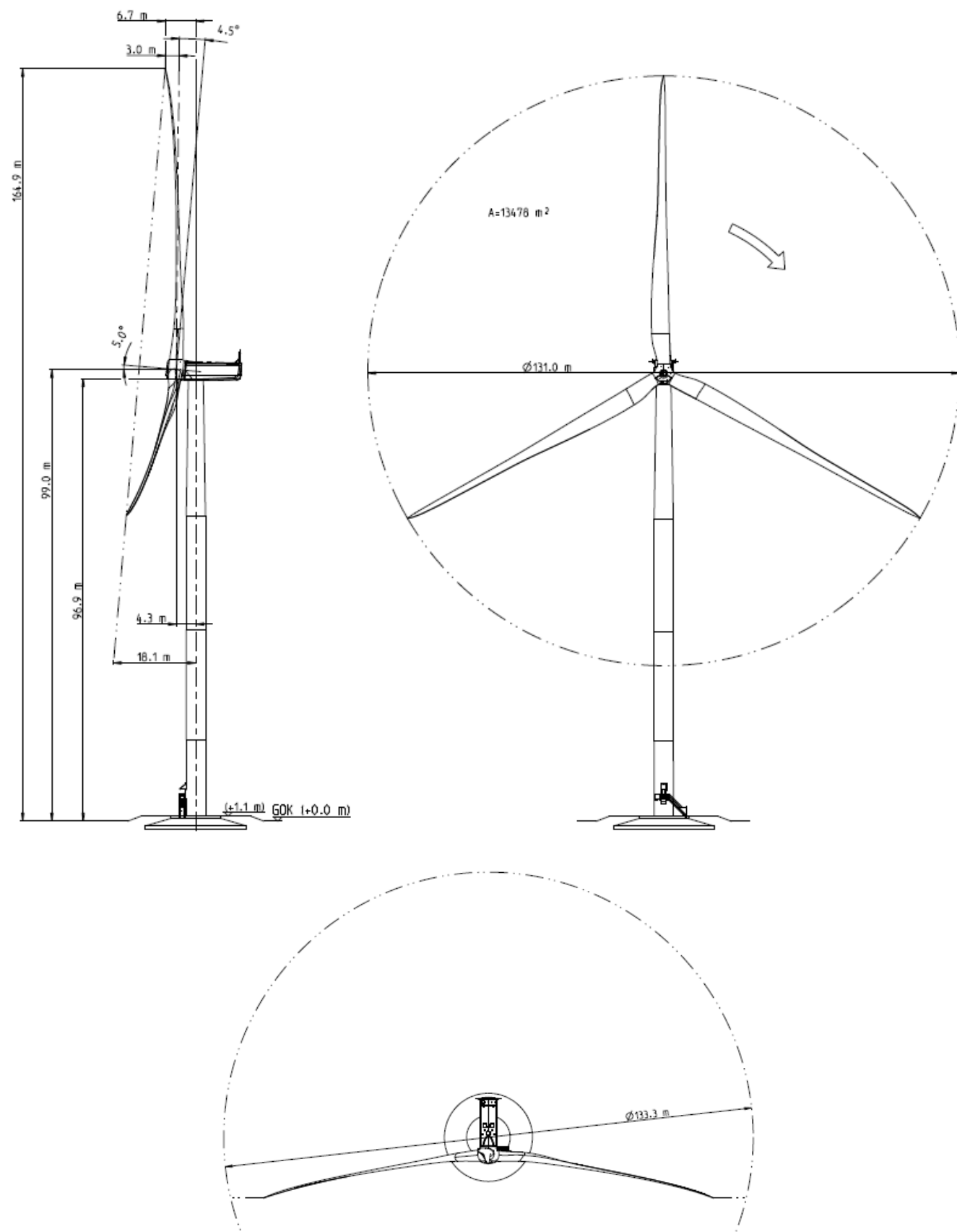


Figure 31 : Plan d'élévation d'une éolienne N131 – 3,6 MW – 165m

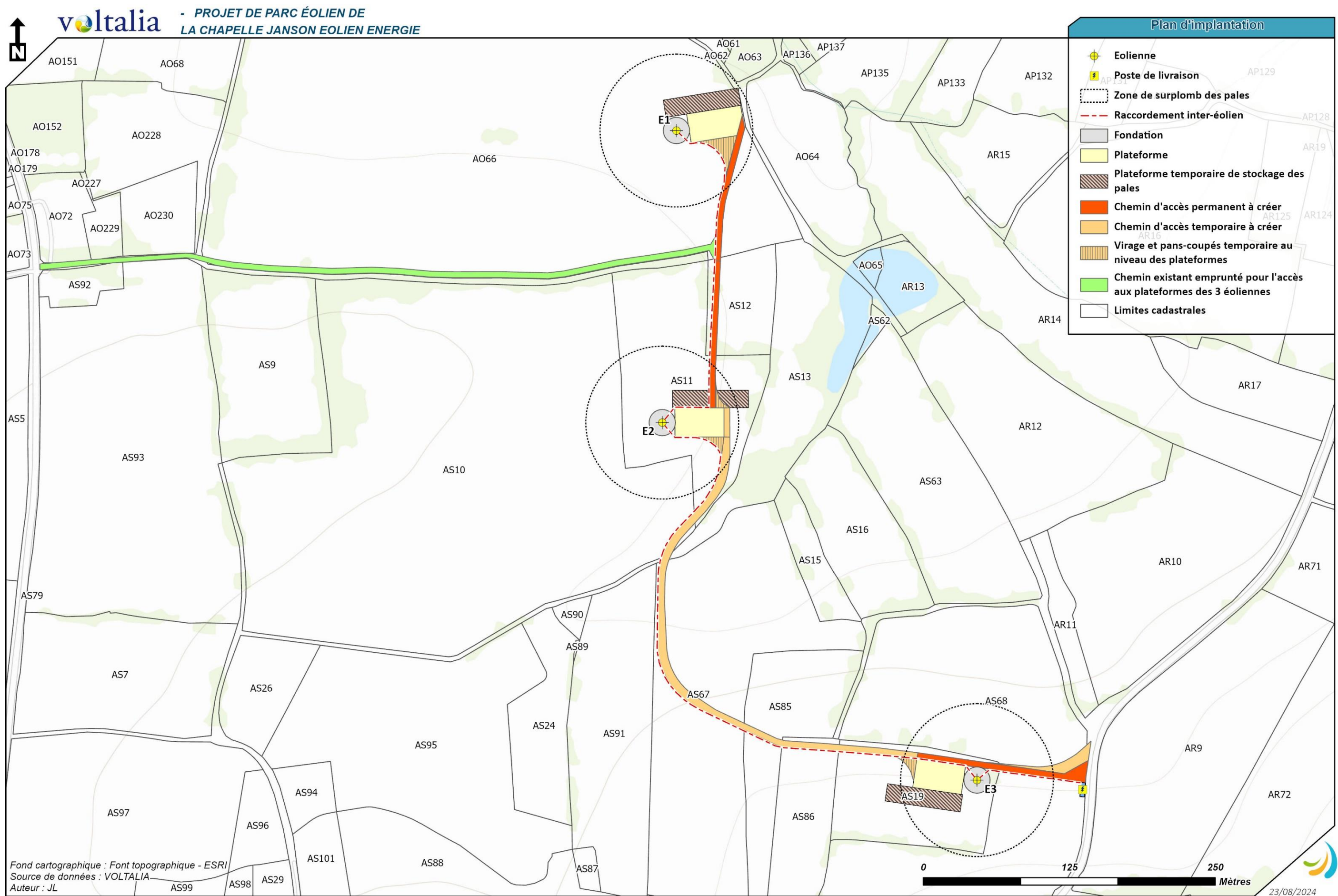


Figure 32 : Plan d'implantation du projet de Parc éolien de La Chapelle-Janson Eolien Energie

V.2. FONCTIONNEMENT DE L'INSTALLATION

V.2.1. PRINCIPE DE FONCTIONNEMENT D'UN AEROGENERATEUR

Les instruments de mesure de vent placés au-dessus de la nacelle conditionnent le fonctionnement de l'éolienne. Grâce aux informations transmises par la **girouette** qui détermine la direction du vent, le rotor se positionnera pour être continuellement face au vent.

Les pales se mettent en mouvement lorsque l'**anémomètre** (positionné sur la nacelle) indique une vitesse de vent d'environ 10 km/h et c'est seulement à partir de 12 km/h que l'éolienne peut être couplée au réseau électrique. Le rotor et l'arbre dit « lent » transmettent alors l'énergie mécanique à basse vitesse (entre 5 et 20 tr/min) aux engrenages du multiplicateur, dont l'arbre dit « rapide » tourne environ 100 fois plus vite que l'arbre lent. Certaines éoliennes sont dépourvues de multiplicateur et la génératrice est entraînée directement par l'arbre « lent » lié au rotor. La génératrice transforme l'énergie mécanique captée par les pales en énergie électrique.

La puissance électrique produite varie en fonction de la vitesse de rotation du rotor. Dès que le vent atteint environ 50 km/h à hauteur de nacelle, l'éolienne fournit sa puissance maximale. Cette puissance est dite « nominale ».

Pour un aérogénérateur de 2,5 MW par exemple, la production électrique atteint 2 500 kWh dès que le vent atteint environ 50 km/h. L'électricité produite par la génératrice correspond à un courant alternatif de fréquence 50 Hz avec une tension de 400 à 690 V. La tension est ensuite élevée jusqu'à 20 000 V par un transformateur placé dans chaque éolienne pour être ensuite injectée dans le réseau électrique public.

Lorsque la mesure de vent, indiquée par l'anémomètre, atteint des vitesses de plus de 100 km/h (variable selon le type d'éoliennes), l'éolienne cesse de fonctionner pour des raisons de sécurité. Deux systèmes de freinage permettront d'assurer la sécurité de l'éolienne :

- le premier par la mise en drapeau des pales, c'est-à-dire un freinage aérodynamique : les pales prennent alors une orientation parallèle au vent ;
- le second par un frein mécanique sur l'arbre de transmission à l'intérieur de la nacelle.

Une présentation détaillée des différents éléments constitutifs du type d'aérogénérateur utilisé pour ce projet est effectuée au sein de l'étude d'impact. Le tableau ci-dessous résume les principales caractéristiques des éoliennes retenues pour ce projet :

Tableau 14 : Description des différents éléments constitutifs d'une éolienne N131 – 3,6MW – 165m

Elément de l'installation	Fonction	EOLIENNE N131 – 3,6MW – 165m
Rotor / pales	Capter l'énergie mécanique du vent et la transmettre à la génératrice	<p>Structure : plastique renforcé de fibre de verre et de fibre de carbone Nombre de pales : 3 Diamètre du rotor : 131 m Surface balayée : 13 478 m² Hauteur de moyeu : 99 m</p> <p>Axe et orientation : Orientation active des pales face au vent avec sens de rotation horaire</p>
Nacelle	Supporter le rotor. Abriter le dispositif de conversion de l'énergie mécanique en électricité (générateur, etc.) ainsi que les dispositifs de contrôle et de sécurité.	<p>Hauteur en haut de nacelle : 100,9 m Arbre de rotor entraîné par les pales.</p> <p>Multiplicateur à engrenage planétaire à plusieurs étages + étage à roue dentée droite ou entraînement différentiel</p> <p>Générateur asynchrone à double alimentation délivrant une tension à 660V Frein principal de type aérodynamique (orientation individuelle des pales par activation électromécanique avec alimentation de secours) et frein auxiliaire mécanique (frein à disque à actionnement actif sur l'arbre rapide)</p>
Transformateur	Elever la tension de sortie de la génératrice avant l'acheminement du courant électrique par le réseau	<p>Positionnement : intégré dans la base du mât Tension transformée : 20 kV</p>

Elément de l'installation	Fonction	EOLIENNE N131 – 3,6MW – 165m
Mât	Supporter la nacelle et le rotor	<p>Structure : Tubulaire acier (4 sections) Protection contre la corrosion : Revêtement multicouche résine époxy Diamètre de la base : 4,3 m Diamètre en haut : 3,26 m Hauteur du mât seul : 96,9 m</p>
Fondation	Ancrer et stabiliser l'éolienne dans le sol	<p>Forme : Circulaire Nature : Béton armé Diamètre total* : 22,5 m Profondeur : 2,25 m Volume de la fondation : 560 m³</p>

* Variable suivant la nature du sol (présence d'eau notamment).

V.2.2. SECURITE DE L'INSTALLATION – CONFORMITE AUX PRESCRIPTIONS DE L'ARRETE MINISTERIEL DU 26 AOUT 2011 MODIFIE

V.2.2.1. Règles de conception et système qualité

La description détaillée des différents systèmes de sécurité de l'installation sera effectuée au stade de l'analyse préliminaire des risques, dans la partie IX.6. Mise en place des mesures de sécurité. L'installation est conforme aux prescriptions de l'arrêté ministériel du 26 août 2011 relatif aux installations soumises à autorisation au titre de la rubrique 2980 des installations classées relatives à la sécurité de l'installation ainsi qu'aux principales normes et certifications applicables à l'installation (modifié par l'arrêté du 22 juin 2020). Cela concerne notamment :

▪ Article 3 : Éloignement des habitations/zones d'habitats et installation nucléaire

→ Les éoliennes se situeront à plus de 500 mètres de toute construction à usage d'habitation, de tout immeuble habité ou de toute zone destinée à l'habitation telle que définie dans les documents d'urbanisme opposables en vigueur au 13 juillet 2010 (Cf. IV.1.1. Zones urbanisées). Par ailleurs, elles seront aussi situées à plus de 300m d'une installation nucléaire de base visée par l'article 28 de la loi n° 2006-686 du 13 juin 2006 relative à la transparence et à la sécurité en matière nucléaire, ou d'une installation classée pour l'environnement relevant de l'article L. 515-32 du code de l'environnement.

▪ Article 4 : Protection des radars et aides à la navigation

→ Les éoliennes seront implantées de façon à ne pas perturber de manière significative le fonctionnement des radars et des aides à la navigation utilisés dans le cadre des missions de sécurité de la navigation aérienne et de sécurité météorologique des personnes et des biens.

Pour les **radars de navigation maritime et fluviale**, les aérogénérateurs sont implantés dans le respect des distances minimales d'éloignement réglementaires indiquées ci-dessous, sauf si l'exploitant dispose de l'accord écrit de l'établissement public en charge de l'exploitation du radar.

Radar des ports (navigation maritime et fluviale)	Distance minimale d'éloignement (en kilomètre)
Radar de centre régional de surveillance et de sauvetage	10
Radar portuaire	20

Pour les **radars météorologiques**, deux périmètres sont définis autour des infrastructures. Pour le premier, dénommé « distance minimale d'éloignement », l'implantation est possible uniquement suite à la réalisation d'une étude des impacts cumulés prévue par le point 12° d de l'article D. 181-15-2 du code de l'environnement démontrant le respect des critères définis.

Pour le second, plus proche et dénommé « distance minimale de protection », en complément de l'étude des impacts cumulés, l'implantation est autorisée uniquement en cas d'avis conforme de l'établissement public chargé des

missions de l'Etat en matière de sécurité météorologique des personnes et des biens. Cet établissement public est en mesure de demander des compléments à l'étude des impacts cumulés si nécessaire.

	<i>Distance de protection (en kilomètre)</i>	<i>Distance minimale d'éloignement (en kilomètre)</i>
Radar météorologique	Bande de fréquence X	4
	Bande de fréquence C	5
	Bande de fréquence S	10
		30

Pour les **installations liées à l'aviation civile (radars et aides à la navigation)**, conformément au 1^o de l'article R.181-32 du code de l'environnement, l'implantation des éoliennes demeure soumise à l'avis conforme du ministre en charge de l'aviation civile si elle est localisée en deçà des distances d'éloignement définies ci-dessous :

	<i>Distance minimale d'éloignement (en kilomètre)</i>
Radar de l'aviation civile	VOR (Visual Omni Range)
	Radar secondaire
	Radar primaire
	30

Pour les **installations militaires (radars et aides à la navigation)**, le principe reste celui selon lequel l'implantation d'aérogénérateurs demeure soumise à l'avis conforme de l'autorité militaire conformément au 3^o de l'article R.181-32 du code de l'environnement. Les règles sont établies selon l'instruction n°1050/DSAE/DIRCAM relative aux traitements des dossiers obstacles.

	<i>Distance d'exclusion</i>	<i>Distance nécessitant avis conforme de l'Armée</i>
Radar et aide à la navigation militaire	5 km	70 km

Les services de Météo-France ont été consultés par le biais du portail internet destiné aux porteurs de projet et aux services de l'Etat. Ce site internet met à disposition une information générale sur le réseau radar de Météo-France et la réglementation applicable en matière de cohabitation entre radars météorologiques et parcs éoliens. Il permet également la délivrance du certificat Radeol de situation réglementaire Radars, qui renseigne les porteurs de projets éoliens sur les contraintes applicables à un projet. La réponse à cette consultation permet de s'assurer que le site du projet n'est soumis à aucune contrainte réglementaire spécifique du fait de la distance séparant la ZIP au radar de Météo-France le plus proche. Effectivement, le radar le plus proche est celui de Falaise, situé à plus de 94 km du projet, c'est-à-dire, au-delà de toute distance minimale d'éloignement réglementaire.

Les services de la Direction Générale de l'Aviation Civil (DGAC) et de la Sous-Direction de la Circulation Aérienne Militaire Nord (SDRCAM Nord), qui ont également été consultés dans le cadre du projet, n'ont identifié aucune servitude radar susceptible de contraindre le projet.

▪ Articles 5&6 : Ombres projetées et champs électromagnétiques

→ Non concerné par le cadre de l'étude de dangers (Cf. étude d'impact)

▪ Article 7 : Accès extérieurs

→ Le parc éolien disposera de voies d'accès carrossables entretenues permettant l'intervention des services d'incendie et de secours.

▪ Article 8 : Normes

→ Les éoliennes prévues sont conformes à la norme NF EN 61 400-1 ou CEI 61 400-1 dans leur version en vigueur à la date de dépôt du dossier de demande d'autorisation environnementale ou toute norme équivalente en vigueur dans l'Union européenne. L'installation sera aussi conforme aux dispositions de l'article R. 111-38 du code de la construction et de l'habitation. Un rapport de contrôle d'un organisme compétent atteste de la conformité de chaque aérogénérateur de l'installation avant leur mise en service industrielle.

▪ Article 9 : Foudre

→ Cf. Fonction de sécurité N°6 « **Prévenir les effets de la foudre** »

▪ Article 10 : Installations électriques

→ Les installations électriques internes seront conformes aux dispositions de la directive du 17 mai 2006 susvisée qui leur sont applicables. Les installations électriques extérieures seront conformes aux normes NFC 15-100, NFC 13-100 et NFC 13-200 dans leur version en vigueur à la date de dépôt du dossier de demande d'autorisation environnementale. Un rapport de contrôle d'un organisme compétent atteste de la conformité de l'installation pour prévenir les risques électriques, avant sa mise en service industrielle.

▪ Article 11 : Balisage

→ Le balisage de l'installation sera conforme aux dispositions prises en application des articles L. 6351-6 et L. 6352-1 du code des transports et des articles R. 243-1 et R. 244-1 du code de l'aviation civile. Il respecte ainsi les dispositions exposées au sein de l'arrêté du 23 avril 2018 relatif à la réalisation du balisage des obstacles à la navigation aérienne.

▪ Article 12 : Suivi Avifaune/Chiroptères

→ Non concerné par le cadre de l'étude de dangers (Cf. étude d'impact)

▪ Article 13 : Accès interne aux installations

→ Les accès à l'intérieur de chaque aérogénérateur, du poste de transformation, de raccordement ou de livraison sont bien fermés à clef.

▪ Article 14 : Affichage sécurité

→ Les prescriptions à observer par les tiers sont affichées soit en caractères lisibles soit au moyen de pictogrammes sur des panneaux positionnés sur le chemin d'accès de chaque aérogénérateur, sur le poste de livraison et, le cas échéant, sur le poste de raccordement. Elles concernent notamment :

- les consignes de sécurité à suivre en cas de situation anormale ;
- l'interdiction de pénétrer dans l'aérogénérateur ;
- la mise en garde face aux risques d'électrocution ;
- la mise en garde, le cas échéant, face au risque de chute de glace (Cf. Fonction de sécurité N°2 « **Prévenir l'atteinte des personnes par la chute de glace** »).

Par ailleurs, chaque aérogénérateur est identifié par un numéro affiché sur son mât en caractères lisibles. Ce numéro est identique à celui généré à l'issue de la déclaration issue de l'article 2.2 de l'arrêté du 26 août 2011.

▪ Article 15 : Formation du personnel

→ Le personnel amené à travailler sur le site éolien sera formé sur les risques présentés par l'installation, les moyens mis en œuvre pour les éviter et les procédures d'urgence à appliquer. La réalisation des exercices d'entraînement, les conditions de réalisations de ceux-ci, et le cas échéant les accidents/incidents survenus dans l'installation, sont consignés dans un registre. Le registre contient également l'analyse de retour d'expérience réalisée par l'exploitant et les mesures correctives mises en place (Cf. Fonction de sécurité N°10 « **Prévenir les erreurs de maintenance** »).

■ **Article 16 : Entretien – stockage de matériaux combustibles/inflammables**

→ L'entreposage de ce type de matériaux est interdit dans les éoliennes.

■ **Article 17 : Procédure d'arrêt et survitesse**

→ Avant la mise en service industrielle d'un aérogénérateur, l'exploitant réalisera des essais permettant de s'assurer du fonctionnement correct de l'ensemble des équipements. Ces essais comprennent :

- un arrêt ;
- un arrêt d'urgence ;
- un arrêt depuis un régime de survitesse ou une simulation de ce régime.

Suivant une périodicité qui ne pourra excéder un an, l'exploitant réalisera une vérification de l'état fonctionnel des équipements de mise à l'arrêt, de mise à l'arrêt d'urgence et de mise à l'arrêt depuis un régime de survitesse en application des préconisations du constructeur de l'aérogénérateur. Les résultats de ces tests sont consignés dans le registre de maintenance visé à l'article 19.

Avant la mise en service industrielle des aérogénérateurs et des équipements connexes, les installations électriques visées à l'article 10 sont contrôlées par une personne compétente. Par ailleurs elles sont entretenues, elles sont maintenues en bon état et elles sont contrôlées à fréquence annuelle après leur installation ou leur modification. L'objet et l'étendue des vérifications des installations électriques ainsi que le contenu des rapports de contrôle sont fixés par l'arrêté du 10 octobre 2000 susvisé. Les rapports de contrôle des installations électriques sont annexés au registre de maintenance visé à l'article 19.

■ **Article 18 : Contrôle de l'aérogénérateur**

→ Trois mois puis un an après la mise en service industrielle, puis suivant une périodicité qui ne peut excéder trois ans, un contrôle de l'aérogénérateur est effectué (contrôle des brides de fixations, brides de mâts, fixations des pales, contrôle visuel du mât). Le contrôle de l'ensemble des brides et des fixations de chaque aérogénérateur peut être lissé sur trois ans tant que chaque bride respecte la périodicité de trois ans. (Cf. Fonction de sécurité N°9 « **Prévenir les défauts de stabilité de l'éolienne et les défauts d'assemblage (construction – exploitation)** »).

Selon une périodicité définie en fonction des conditions météorologiques et qui ne peut excéder 6 mois, l'exploitant procède à un contrôle visuel des pales et des éléments susceptibles d'être endommagés, notamment par des impacts de foudre, au regard des limites de sécurité de fonctionnement et d'arrêt spécifiées dans les consignes établies en application de l'article 22 de l'arrêté du 26 août 2011 modifié. L'installation est équipée de systèmes instrumentés de sécurité, de détecteurs et de systèmes de détection destinés à identifier tout fonctionnement anormal de l'installation, notamment en cas d'incendie, de perte d'intégrité d'un aérogénérateur ou d'entrée en survitesse. L'exploitant tient à jour la liste de ces équipements de sécurité, précisant leurs fonctionnalités, leurs fréquences de tests et les opérations de maintenance destinées à garantir leur efficacité dans le temps. Selon une fréquence qui ne peut excéder un an, l'exploitant procède au contrôle de ces équipements de sécurité afin de s'assurer de leur bon fonctionnement.

■ **Article 19 : Suivi maintenance/entretien**

→ L'exploitant dispose d'un manuel d'entretien de l'installation dans lequel sont précisées la nature et les fréquences des opérations de maintenance qui doivent être effectuées afin d'assurer le bon fonctionnement de l'installation, ainsi que les modalités de réalisation des tests et des contrôles de sécurité, notamment ceux visés par le présent arrêté.

L'exploitant tient à jour, pour son installation, un registre dans lequel sont consignées les opérations de maintenance qui ont été effectuées, leur nature, les défaillances constatées et les opérations préventives et correctives engagées.

■ **Articles 20&21 : Déchets**

→ Non concerné par le cadre de l'étude de dangers (Cf. étude d'impact).

■ **Article 22 : Consignes de sécurité du personnel**

→ Des consignes de sécurité sont déjà établies et portées à connaissance du personnel. Elles indiqueront :

- les procédures d'arrêt d'urgence et de mise en sécurité de l'installation ;
- les limites de sécurité de fonctionnement et d'arrêt (notamment pour les défauts de structures des pales et du mât, pour les limites de fonctionnement des dispositifs de secours notamment les batteries, pour les défauts de serrages des brides) ;
- les précautions à prendre avec l'emploi et le stockage de produits incompatibles ;
- les procédures d'alertes avec les numéros de téléphone du responsable d'intervention de l'établissement, des services d'incendie et de secours ;
- le cas échéant, les informations à transmettre aux services de secours externes (procédures à suivre par les personnels afin d'assurer l'accès à l'installation aux services d'incendie et de secours et de faciliter leur intervention).

Les consignes de sécurité indiqueront également les mesures à mettre en œuvre afin de maintenir les installations en sécurité dans les situations suivantes : survitesse, conditions de gel, orages, tremblements de terre, haubans rompus ou relâchés, défaillance des freins, balourd du rotor, fixations détendues, défauts de lubrification, tempêtes de sables, incendie ou inondation.

■ **Article 23 : Détection incendie/survitesse**

→ Cf. Fonctions de sécurité N°4 « **Prévenir la survitesse** » et N°7 « **Protection et intervention incendie** ».

■ **Article 24 : Lutte incendie**

→ Cf. Fonction de sécurité N°7 « **Protection et intervention incendie** ».

■ **Article 25 : Détection glace**

→ Cf. Fonction de sécurité N°1 « **Prévenir la mise en mouvement de l'éolienne lors de la formation de glace** ».

■ **Article 26, 27 & 28 : Bruit**

→ Non concerné par le cadre de l'étude de dangers (Cf. étude d'impact).

V.3. MOYENS DE SUIVI, DE SURVEILLANCE ET D'INTERVENTION PREVUS

Ce chapitre décrit les moyens de suivi et de surveillance de l'installation, et les moyens d'intervention en cas d'incident ou d'accident, demandés par l'article R.181-13 4°.

L'installation sera conforme aux dispositions de l'arrêté du 26 août 2011, relatif aux installations de production d'électricité utilisant l'énergie mécanique du vent au sein d'une installation soumise à autorisation au titre de la rubrique 2980 de la législation des installations classées pour la protection de l'environnement.

V.3.1. ORGANISATION DU SUIVI ET DE LA SURVEILLANCE PREVUS

Les aérogénérateurs et installations connexes disposent d'une série de capteurs mesurant en continu différents paramètres techniques. En cas d'anomalie, une alarme est déclenchée. Cette alerte peut se faire de manière automatique et quasi instantanée par les différents capteurs et instruments de mesure équipant l'éolienne (Cf. Chapitre Fonction de sécurité). Ces alarmes sont envoyées en fonction de leur niveau d'importance à l'exploitant et/ou au mainteneur.

A noter que les centres de contrôle collectant les données transmises par le système de contrôle et d'acquisition de données (SCADA) équipant les éoliennes fonctionnent de manière continue, 24h/24h. Le personnel en charge de l'exploitation est soumis à une astreinte afin de garantir une continuité dans le suivi et un soutien technique ou opérationnel immédiat en cas de besoin. Le personnel d'astreinte est formé aux situations d'urgence et dispose de protocoles à suivre en cas de sinistre.

En cas de détection d'un incident pas un tiers, les panneaux d'information permettent au témoin de contacter les intervenants et de localiser avec précision le lieu de l'incident.



Figure 33 : Exemple de panneau d'information permettant l'alerte des secours

Tout au long de la vie du parc éolien, des échanges réguliers sont effectués entre le maître d'ouvrage et les services de secours.

V.3.2. MOYENS D'INTERVENTION EN CAS D'INCIDENT ET D'ACCIDENT

V.3.2.1. Accident/Incident lors de la maintenance

Lors d'un incident survenant pendant une opération de maintenance et impliquant le personnel de l'installation, les techniciens disposent de moyens d'intervention immédiate, tels que des extincteurs et des kits anti-pollution, et d'alerte en cas de blessure. Tous les aérogénérateurs ont un système d'étiquetage des dangers dans les nacelles et les mâts des éoliennes.

Cet étiquetage prévient les risques de chutes, d'écrasement, d'électrocution et d'incendie dans les machines. De plus, chaque machine est pourvue d'un plan d'évacuation, d'une ou plusieurs trousse de premiers secours et d'un panneau indiquant les numéros et lieux des médecins, hôpitaux et urgences les plus proches ainsi que le numéro de la personne responsable à appeler en cas d'urgence. Le personnel de maintenance dispose également de la formation aux premiers secours.

V.3.2.2. Accident/Incident sur l'installation

En cas de nécessité, l'intervention du Service Départemental Incendie Secours (SDIS) sera sollicitée. L'appel arrivera au Centre de Traitement des Appels (CTA). Après analyse de la situation, ce dernier transmet automatiquement l'alerte aux sapeurs-pompiers (volontaires ou professionnels) les plus proches de l'intervention et disposant des moyens nécessaires, en relation avec l'importance du sinistre. Pour un projet défini, la désignation d'une caserne et d'un temps d'intervention moyen reste en revanche un exercice compliqué, le choix étant opéré le moment venu par les opérateurs en fonction de différents paramètres (équipe à proximité, autres interventions en cours...).

→ A titre informatif, sur la figure ci-après sont représentés sur les centres de secours situés à proximité du projet. Le plus proche est celui de Larchamp situé à 6 km environ.



Figure 34 : Localisation des casernes de pompiers et centres de secours autour du projet

Les opérations de secours et les communications sont alors coordonnées, en temps réel, par le personnel du Centre Opérationnel Départemental d'Incendie et de Secours (CODIS). Situé dans les mêmes locaux que le CTA, le CODIS veille à la synchronisation des moyens humains et matériels puis engage, si nécessaire, des renforts disponibles dans les Centres d'Incendies et de Secours (CIS). Les opérateurs du CODIS informent l'Etat-Major du Service Départemental d'Incendie et de Secours (SDIS) et les autorités de tutelles. Les opérateurs sont ainsi en liaison avec le centre 15, les forces de l'ordre, police ou gendarmerie, la mairie ou la préfecture, le Conseil Départemental en fonction du lieu et de l'importance du sinistre ou de l'accident.

Tout au long de l'intervention, des échanges réguliers sont opérés entre les services de secours mobilisés et le personnel en charge de l'exploitation du parc éolien afin de définir les moyens de protection à mettre en œuvre sur le site afin de limiter les risques.

Ainsi, si besoin l'exploitant peut par exemple, à distance, stopper les éoliennes et les découpler du réseau. Il convient de souligner que ces mesures peuvent aussi être prises sur demande du SDIS en cas d'événement extérieur à l'installation, comme par exemple lors d'un incendie à proximité du site afin de faciliter le largage d'eau par des canadairs.



Figure 35 : Exercice de sauvetage par les pompiers sur une éolienne (Source : SDIS17, Ouest-France, Le Télégramme)

V.3.3. OPERATIONS DE MAINTENANCE DE L'INSTALLATION

Les opérations de maintenance de l'installation seront conformes aux prescriptions de l'arrêté ministériel relatif aux installations soumises à autorisation au titre de la rubrique 2980 des installations classées [9] en matière d'exploitation. Elles seront réalisées par un personnel compétent disposant d'une formation portant sur les risques présentés par l'installation, ainsi que sur les moyens mis en œuvre pour les éviter. Celui-ci connaîtra de plus les procédures à suivre en cas d'urgence et procèdera à des exercices d'entraînement, le cas échéant, en lien avec les services de secours.

Il s'agira notamment d'effectuer :

- un contrôle visuel des pales et des éléments susceptibles d'être impactés par la foudre suivant une périodicité qui ne peut excéder six mois.
- un entretien visant à maintenir en bon état et propres les installations électriques ainsi que l'intérieur de l'aérogénérateur. Ces installations seront contrôlées avant la mise en service industrielle puis à une fréquence annuelle, après leur installation ou leur modification par une personne compétente. La périodicité, l'objet et l'étendue des vérifications des installations électriques ainsi que le contenu des rapports relatifs auxdites vérifications sont fixés par l'arrêté du 10 octobre 2000 susvisé.
- une vérification de l'état fonctionnel des équipements de mise à l'arrêt, de mise à l'arrêt d'urgence et de mise à l'arrêt depuis un régime de survitesse en application des préconisations du constructeur de l'aérogénérateur suivant une périodicité qui ne peut excéder un an.
- un contrôle des brides de fixations, des brides de mât, de la fixation des pales et un contrôle visuel du mât trois mois, puis un an après la mise en service industrielle puis suivant une périodicité qui ne peut excéder trois ans. Ce contrôle se fera ensuite suivant une périodicité qui ne peut excéder trois ans.
- un contrôle des systèmes instrumentés de sécurité selon une périodicité qui ne peut excéder un an.

L'exploitant dispose d'un manuel d'entretien de l'installation dans lequel sont précisées la nature et les fréquences des opérations de maintenance qui doivent être effectuées afin d'assurer le bon fonctionnement de l'installation, ainsi que les modalités de réalisation des tests et des contrôles de sécurité, notamment ceux visés par le présent arrêté. L'exploitant tient à jour, pour son installation, un registre dans lequel sont consignées les opérations de maintenance qui ont été effectuées, leur nature, les défaillances constatées et les opérations préventives et correctives engagées.

En phase exploitation, une maintenance prédictive et préventive des éoliennes sera mise en place. Celle-ci porte essentiellement sur l'analyse des niveaux d'huile, l'analyse vibratoire des éléments en mouvement et l'analyse électrique des éoliennes. La maintenance préventive des éoliennes a pour but de réduire les coûts d'intervention et d'immobilisation des éoliennes. En effet, grâce à la maintenance préventive, les arrêts de maintenance sont programmés et optimisés afin d'intervenir sur les pièces d'usure avant que n'intervienne une panne. Les arrêts de production d'énergie éolienne sont anticipés pour réduire leur durée et leurs coûts. Une première inspection est prévue au bout de 3 mois de fonctionnement des éoliennes. Ces opérations de maintenance courante seront répétées lors de l'inspection après la première année de fonctionnement, puis régulièrement selon le calendrier de maintenance.

Enfin, une maintenance curative est prévue dès lors qu'un défaut a été identifié lors d'une analyse. Les techniciens de maintenance éolienne se chargent alors de réparer et de remettre en fonctionnement les machines lors des pannes et assurent les reconnexions aux réseaux.

A noter que le centre de maintenance du constructeur NORDEX est localisé à Boufféré (85), à 180 kilomètres du projet.

V.3.4. STOCKAGE ET FLUX DE PRODUITS DANGEREUX

Conformément à l'article 16 de l'arrêté du 26 août 2011, aucun produit combustible ou inflammable ne sera stocké dans les éoliennes du **Parc éolien de La Chapelle-Janson Eolien Energie**.

V.3.5. AUTRES RESEAUX

Par ailleurs, le **Parc éolien de La Chapelle-Janson Eolien Energie** ne comporte aucun réseau d'alimentation en eau potable ni aucun réseau d'assainissement. De même, les éoliennes ne sont reliées à aucun réseau de gaz.

VI. RACCORDEMENT ELECTRIQUE ET CONFORMITE

VI.1. RACCORDEMENT ELECTRIQUE

Le raccordement électrique d'un parc éolien se compose de plusieurs éléments :

- le réseau interne qui relie les éoliennes au(x) poste(s) de livraison ;
- le(s) poste(s) de livraison ;
- le raccordement externe qui relie le(s) poste(s) de livraison au réseau électrique public existant.

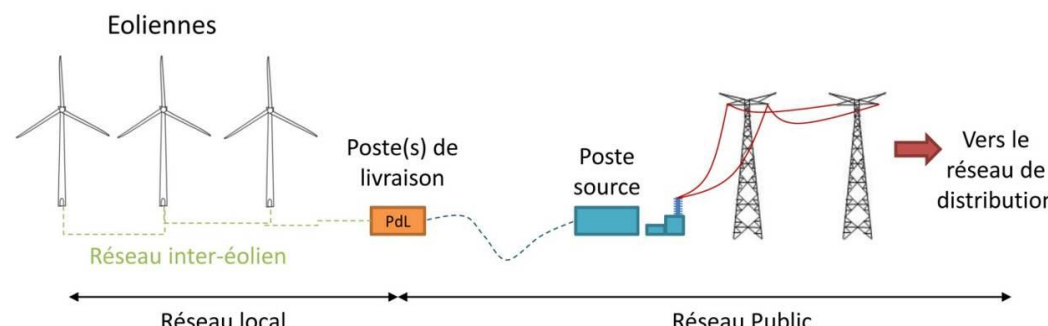
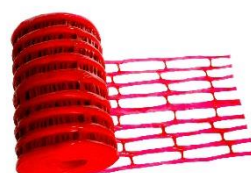


Figure 36 : Raccordement électrique des installations

I.1.1.2. Le raccordement interne : des éoliennes au poste de livraison

Ce raccordement électrique interne est composé de plusieurs éléments :

- une ligne ou deux lignes de câbles Moyenne Tension (MT) permettant l'évacuation de l'électricité produite par les éoliennes,
- un câble de Fibre Optique (FO) permettant la liaison entre les éoliennes et le centre de pilotage via le Système de contrôle et d'acquisition de données (SCADA),
- un filet avertisseur positionné au-dessus des câbles MT pour avertir lors d'éventuels travaux (Cf. image ci-contre).



Concernant le câble de Moyenne Tension (MT), la coupe ci-dessous fournit un aperçu de sa composition :

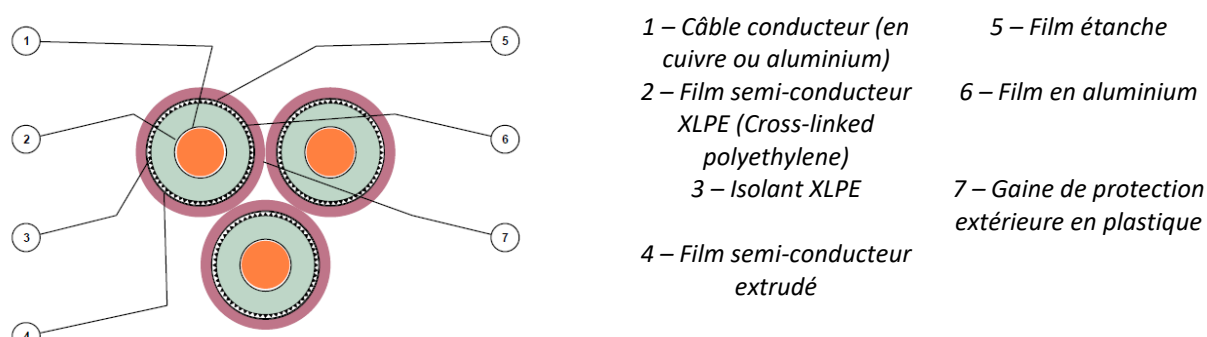
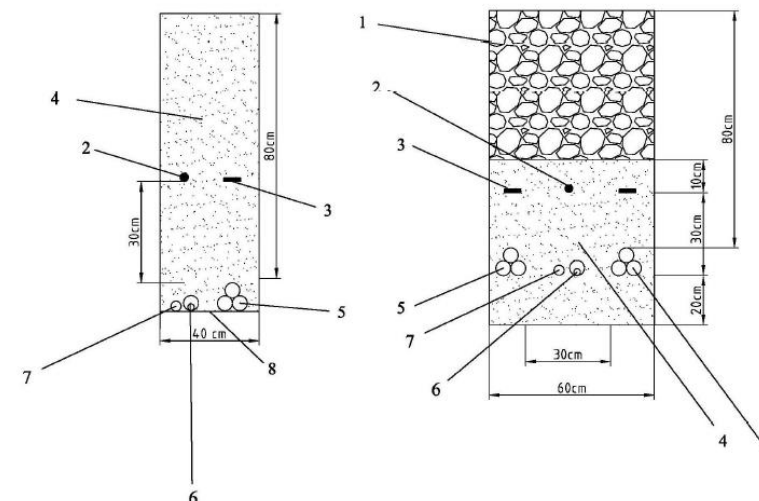


Figure 37 : Exemple de câbles MT pour raccordement électrique interne



Figure 38 : Exemple de câble de raccordement électrique interne type NF C33-226

Le schéma ci-dessous présente deux coupes-type de tranchée possible pour le raccordement électrique interne d'un parc éolien :



Liaison simple en milieu agricole

- 1 – Sol compacté
- 2 – Câble conducteur en cuivre pour mise en terre
- 3 – Filet avertisseur
- 4 – Sol exempt de toute pierre (exemple : sable)

Liaison double sous voirie

- 5 – Câbles de Haute Tension (HTA)
- 6 – Câble de fibre optique (FO)
- 7 – Câble de basse tension (BT) (Le projet n'en utilise pas)
- 8 – Fond de tranchée exempt de toute pierre

Figure 39 : Exemple de tranchée de raccordement électrique interne à une seule ligne ou à deux lignes

Le raccordement électrique des éoliennes jusqu'au poste de livraison, réalisé par le maître d'ouvrage, représentera une distance de câble enterré d'environ 974 m. L'itinéraire probable du raccordement est présenté sur le plan de masse disposé précédemment dans ce rapport ainsi que sur le plan présenté ci-après.

Longueur des différentes sections du raccordement interne (m)		
PDL – E3	E3 – E2	E2 – E1
101	563	310
TOTAL	974	

La totalité du cheminement du raccordement interne empruntera le tracé des chemins qui seront créés pour l'accès aux plateformes des éoliennes. Le passage de câble fera l'objet des procédures de sécurité en vigueur. En cas de passage sous les voies de circulation, des mesures de sécurité seront prises afin de garantir la sécurité des ouvriers et celle des automobilistes (ex : signalisation, circulation alternée...). Suite aux travaux, la voirie sera restaurée au-dessus de l'emprise de la tranchée réalisée.

Par ailleurs, conformément à l'arrêté du 26 août 2011, il est rappelé que les installations électriques extérieures respecteront les normes :

- NFC 15-100 (version compilée de 2008) - Installations électriques à basse tension,
- NFC 13-200 (version de 2009) - Installations électriques à haute tension.

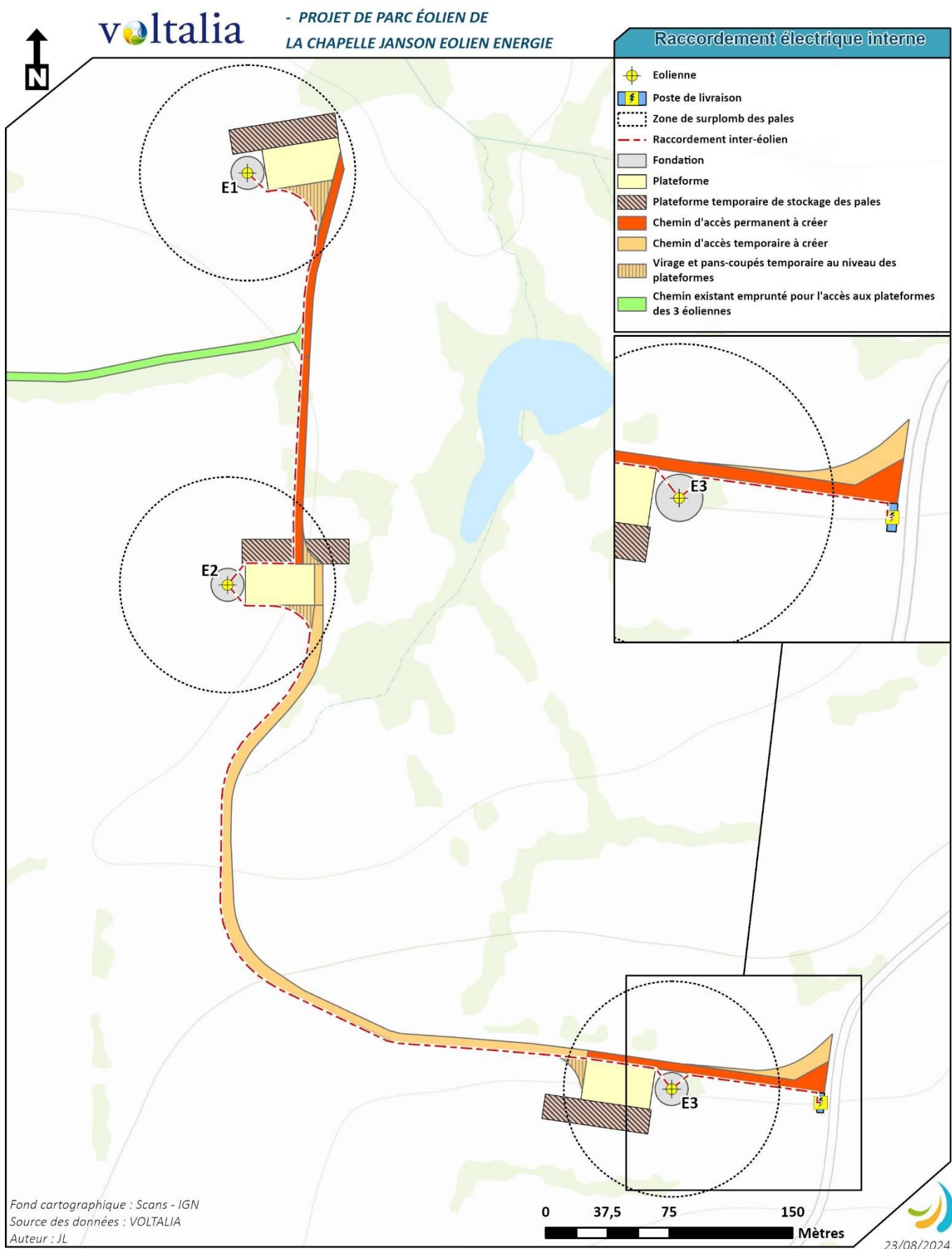


Figure 40 : Plan de raccordement électrique interne

I.1.1.3. Le poste de livraison

Le poste de livraison est le récepteur de la production électrique du parc. Il constitue donc le nœud de raccordement de l'ensemble des éoliennes, avant que l'électricité ne soit injectée sur le réseau électrique public. Il est donc à l'interface entre le parc éolien et son réseau électrique interne, et le réseau électrique public. Il marque ainsi la limite entre le réseau de l'exploitant du parc éolien et le réseau de l'opérateur national ou régional (ENEDIS). Il permet également de comptabiliser la quantité d'énergie apportée au réseau par le parc.

Cet équipement est souvent séparé en trois compartiments distincts : le premier est dédié au local HTA et contient les éléments de protection ainsi que ceux permettant de respecter les contraintes de raccordement au réseau électrique public. La tension limitée de cet équipement est de l'ordre de 20 000 Volts, ce qui correspond à la tension des lignes électriques sur pylônes ERDF bétonnés standards. Le second compartiment abrite un bureau ainsi que les éléments de télécommunication du parc éolien : SCADA PC... Le troisième compartiment est dédié aux filtres passifs. Ce local est maintenu fermé et des contacteurs de porte permettent de prévenir en cas d'intrusion.

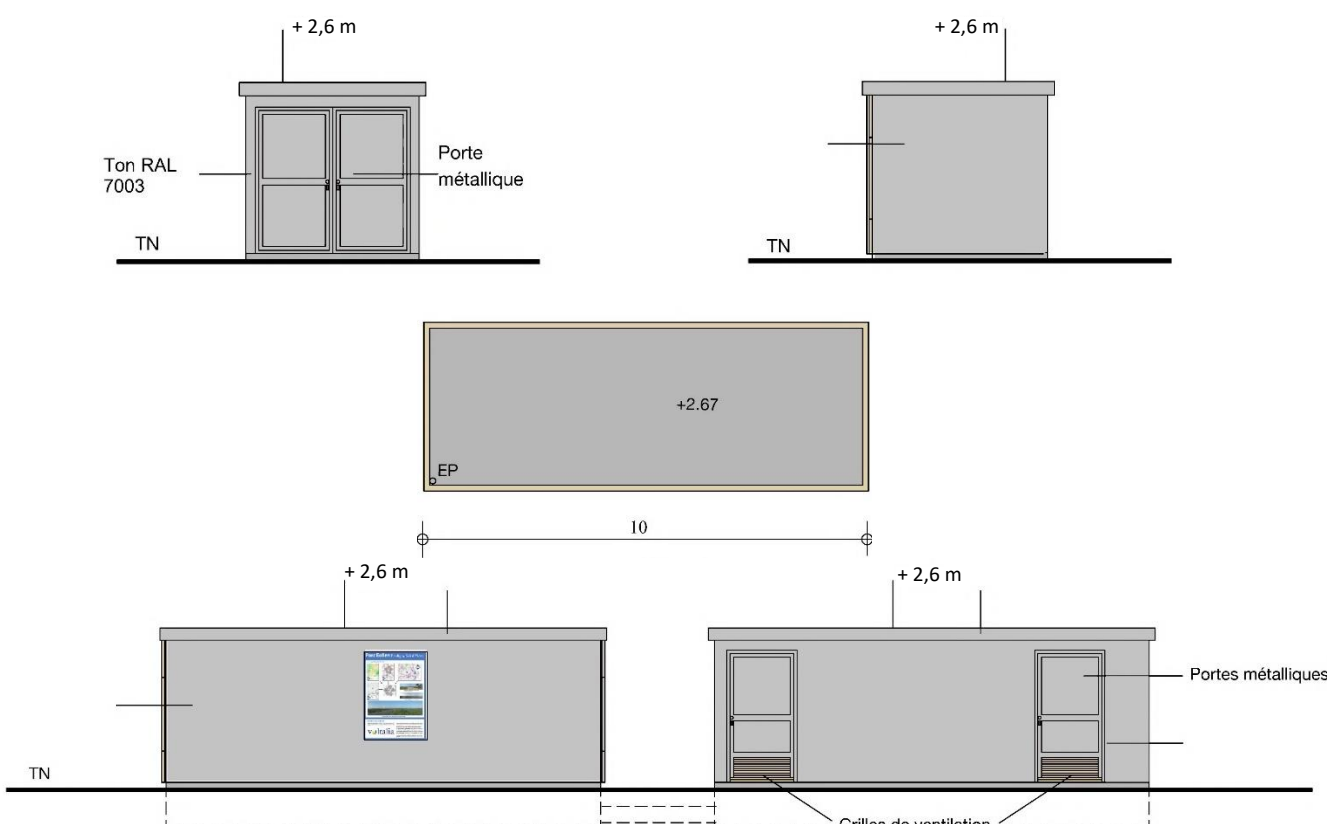


Figure 41 : Coupe-type du poste de livraison (Source : VOLTALIA)

Sa localisation varie en fonction de la proximité du réseau inter-éolien et de la localisation du poste source vers lequel l'électricité est ensuite acheminée. Le poste doit être accessible en voiture pour la maintenance et l'entretien. Des critères paysagers peuvent aussi entrer en ligne de compte afin d'intégrer au mieux ces éléments dans le paysage.

Dans le cas du **projet de Parc éolien de La Chapelle Janson Eolien Energie**, le poste de livraison sera implanté à environ 90 m à l'Est de l'éolienne E3, directement en bordure de la voie communale n°14 de la Croix du Terte et en limite Sud du chemin permanent créé pour l'accès à E3.

Tout le matériel installé répond aux normes NFC13-100 et NFC13-200. Le poste de livraison disposera par ailleurs d'extincteurs CO₂.

I.1.1.4. Le raccordement externe : du poste de livraison au réseau électrique public

Le tracé et les caractéristiques de l'offre de raccordement seront définis avec précision lors de l'étude détaillée, qui ne pourra être réalisée par le gestionnaire de réseau qu'après obtention de l'Autorisation Environnementale. Deux types de raccordements peuvent être envisagés :

- **Raccordement via un poste électrique existant du réseau de transport ou de distribution**

La solution de raccordement envisagée par défaut par les gestionnaires de réseaux est celle du raccordement au poste du réseau public d'électricité le plus proche pouvant accueillir la production (communément appelé « poste-source »). En fonction de leur puissance, les parcs éoliens peuvent ainsi être raccordés au réseau public de distribution (géré par ENEDIS ou un distributeur non nationalisé local) ou de transport (géré par RTE).

- **Raccordement direct au réseau existant**

D'autres parcs, du fait de leur situation et des caractéristiques locales des réseaux publics, peuvent être préférablement raccordés sur le réseau existant (au niveau d'une ligne ou d'un câble). Dans ce cas de figure, deux solutions sont envisageables :

- Soit une connexion directe à une ligne Haute Tension du Réseau Public de Transport (RPT) géré par Réseau de Transport de l'Électricité (RTE), via un poste de transformation/livraison privé.
- Soit une connexion via un nouveau poste de livraison créé en « coupure » sur le réseau HTA existant.

- **Solution de raccordement envisagé dans le cas du Parc éolien de La Chapelle-Janson Eolien Energie**

La définition du poste, du mode et du tracé du raccordement au réseau public, ainsi que sa réalisation même, sont de la compétence du gestionnaire dudit réseau (généralement ENEDIS) et sont étudiées à partir d'une demande de PTF (proposition technique et financière) qui ne peut être réalisée qu'une fois l'autorisation environnementale acceptée par le Préfet. Il est donc peu opportun de fixer d'ores et déjà le poste source sur lequel sera connecté le **Parc éolien de La Chapelle Janson Eolien Energie**.

A ce stade, il est néanmoins possible d'identifier les postes source les plus proches du projet éolien. Ainsi, pour le **projet de Parc éolien de La Chapelle Janson Eolien Energie**, selon les données mises à disposition par RTE/ENEDIS, le raccordement du projet pourrait se faire au niveau de deux postes sources distincts :

- ➔ au poste-source de « FOUGERES » localisé sur la commune de FOUGERES à environ 10,7 kilomètres au Nord-Ouest du projet ;
- ➔ au poste-source de « ERNEE » localisé sur la commune de ERNEE à environ 10,8 kilomètres à l'Est du projet.

Les caractéristiques du poste-source de « FOUGERES » sont décrites dans le tableau ci-après.

Tableau 15 : Caractéristiques du poste-source de FOUGERE (Source : RTE/ENEDIS)

Nom	Département	Puissance EnR déjà raccordée (MW)	Puissance des projets en développement (MW)	Capacité d'accueil réservée au titre du S3REnR qui reste à affecter (MW)	Quote-Part S3REnR (k€/MW)
FOUGERE	35	6,5	2,1	0,0	11,70
ERNEE	53	15,0	1,1	0,0	14,77

Selon les Schémas Régionaux de Raccordement au Réseau des Énergies Renouvelables de la Bretagne et des Pays de la Loire, ainsi que des données diffusées par les gestionnaires de réseau RTE et ENEDIS, la capacité d'accueil réservée de ces deux postes sources est actuellement insuffisante pour accueillir le projet du **Parc éolien de La Chapelle Janson Eolien Energie**. Des travaux devront donc être réalisés afin de permettre l'accueil de la production électrique du parc éolien. Par ailleurs, précisons que les files d'attente et les travaux de renforcement effectués sur le réseau peuvent amener à une modification de ces données prochainement. A noter de plus que la quote-part fixée par le S3REnR de Bretagne est de 11,70 €/MW alors que celle fixée par le S3REnR des Pays de la Loire est de 14,77 €/MW. L'exploitant du parc se chargera de souscrire à cette quote-part quelle que soit sa valeur au moment de la mise en service du parc. Par ailleurs, il convient de préciser que les S3REnR de Bretagne et des Pays de la Loire sont actuellement en cours d'adaptation. L'objectif est d'adapter le réseau électrique de ces

Régions à l'horizon 2030 pour accompagner la transition énergétique encadrée par la Programmation pluriannuelle de l'énergie et par les SRADDET. Pour le moment ces documents sont en phase de réalisation et n'ont pas encore été adoptés. Toutefois, l'exploitant du **Parc éolien de La Chapelle Janson Eolien Energie** s'engage à souscrire à une hypothétique nouvelle valeur de la quote-part.

Pour ce qui est du tracé et des caractéristiques du raccordement électrique, ceux-ci seront définis avec précision lors de l'étude détaillée, qui ne pourra être réalisée par ENEDIS qu'après l'autorisation obtenue. Si ce dernier ne peut être à ce jour présenté, les tracés pressentis sont toutefois proposés sur la carte présentée en page suivante.

Il est fort probable que le raccordement du projet au poste source soit réalisé essentiellement sous voirie ou en accotement à l'aide d'une trancheuse comme illustré ci-après. Dans ce cadre, il n'est actuellement pas attendu d'impact compte tenu de son passage sous voirie existante.



Figure 42 : Illustration d'un passage de câbles électriques sous voirie (Source : La Voix du Nord, Ouest France)

Le passage de câble fera l'objet des procédures de sécurité en vigueur. Pour la traversée des départementales et des voies communales, des mesures de sécurité seront prises afin de garantir la sécurité des ouvriers et celle des automobilistes. A noter qu'une circulation alternée sera mise en place pour la traversée des routes.

Le câble sera enterré en tranchée selon les standards du gestionnaire de réseau.

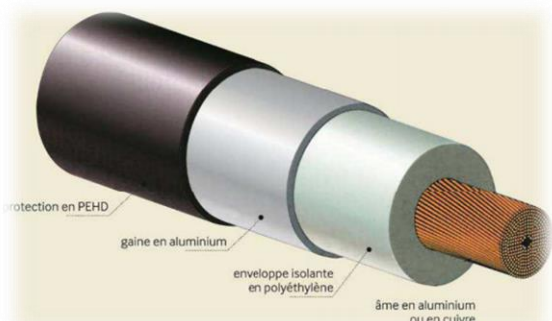


Figure 43 : Exemple de câble de raccordement électrique souterrain (Source : RTE)

Pour ces tranchées de raccordement externe, si les détails techniques ne sont pas encore connus, il est généralement envisagé les caractéristiques énoncées ci-dessous :

- une largeur de 40 cm,
- une profondeur totale de tranchée de 1,10 m,
- une épaisseur de sable à amener de 20 cm.

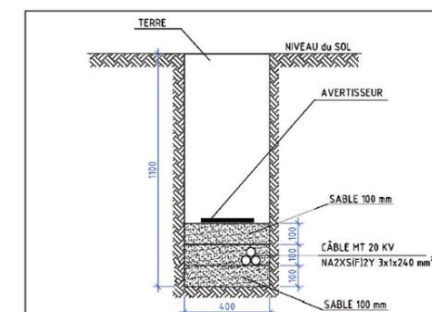


Figure 44 : Vue en coupe de la tranchée de liaison électrique au poste source

VI.2. SECURITE ET ENGAGEMENT DU PORTEUR DE PROJET

- *Le respect des règles de l'art*

Les installations seront exécutées conformément aux dispositions des articles L.323-1 et R.323-28 du Code de l'Énergie et selon les règles de l'art. Elles répondront aux prescriptions du dernier Arrêté Interministériel connu, déterminant les conditions techniques auxquelles doivent satisfaire les lignes d'énergie électrique (Arrêté du 17 mai 2001 modifié par l'arrêté du 26 avril 2002 et celui du 10 mai 2006).

- *Contrôle de conformité*

En référence à l'article R.323-40 du Code de l'Énergie et à l'arrêté du 25 février 2019 relatif aux modalités du contrôle de conformité, le porteur de projet s'engage à diligenter un contrôle de conformité.

- *L'information auprès de l'INERIS*

Le porteur de projet atteste s'être fait connaître auprès de l'INERIS qui gère le « guichet unique » en application des dispositions des articles L.554-1 à L.554-4 et R.554-1 et suivants du code de l'environnement, qui sont relatives à la sécurité des travaux souterrains, aériens ou subaquatiques de transport et de distribution.

VI.3. BILAN DES DT/DICT

Selon les informations transmises par le demandeur, un seul exploitant apparaît d'après la consultation de l'INERIS / réseaux-et-canalisations : il s'agit d'ENEDIS qui gère la ligne HTA traversant le site d'étude.

VII. IDENTIFICATION DES POTENTIELS DE DANGERS DE L'INSTALLATION

Ce chapitre de l'étude de dangers a pour objectif de mettre en évidence les éléments de l'installation pouvant constituer un danger potentiel, que ce soit au niveau des éléments constitutifs des éoliennes, des produits contenus dans l'installation, des modes de fonctionnement, etc. L'ensemble des causes externes à l'installation pouvant entraîner un phénomène dangereux, qu'elles soient de nature environnementale, humaine ou matérielle, seront traitées dans l'analyse de risques.

VII.1. POTENTIELS DE DANGERS LIES AUX PRODUITS

L'activité de production d'électricité par les éoliennes ne consomme pas de matières premières, ni de produits pendant la phase d'exploitation. De même, cette activité ne génère pas de déchet, ni d'émission atmosphérique, ni d'effluent potentiellement dangereux pour l'environnement.

Toutefois, comme dans tout parc éolien, des produits seront utilisés pour le bon fonctionnement des installations, leur maintenance et leur entretien. Il s'agit notamment de :

- Produits nécessaires au bon fonctionnement : graisses et huiles de transmission, huiles hydrauliques pour systèmes de freinage... Une fois usagés sont traités en tant que déchets industriels spéciaux ;
- Produits de nettoyage et d'entretien (solvants, dégraissants, nettoyants...) ainsi que les déchets industriels banals associés (pièces usagées non souillées, cartons d'emballage...).

Le choix du modèle d'aérogénérateur n'étant pas encore acté, il ne nous est pas possible de lister avec précision l'ensemble des produits concernés. Il s'agit pour la grande majorité de graisses et lubrifiants permettant le bon fonctionnement des machines et qui sont rarement considérés comme substance dangereuse au titre de la Directive Européenne 1999/45/CE.

La nature de ces produits ainsi que leur volume limité rendent le potentiel de danger négligeable, d'autant plus que des mesures sont prévues en cas de pollution et d'incendie (Cf. Fonctions de sécurité N°7 « **Protection et intervention incendie** » et N°8 « **Prévention et rétention des fuites** »).

Il est de plus rappelé que, conformément à l'article 16 de l'arrêté du 26 août 2011 relatif aux installations éoliennes soumises à autorisation, aucun produit inflammable ou combustible n'est stocké dans les aérogénérateurs ou les postes de livraison.

VII.2. POTENTIELS DE DANGERS LIES AU FONCTIONNEMENT DE L'INSTALLATION

Les dangers liés au fonctionnement du projet de **Parc éolien de La Chapelle-Janson Eolien Energie** sont de cinq types :



Ces dangers potentiels sont recensés dans la figure suivante.

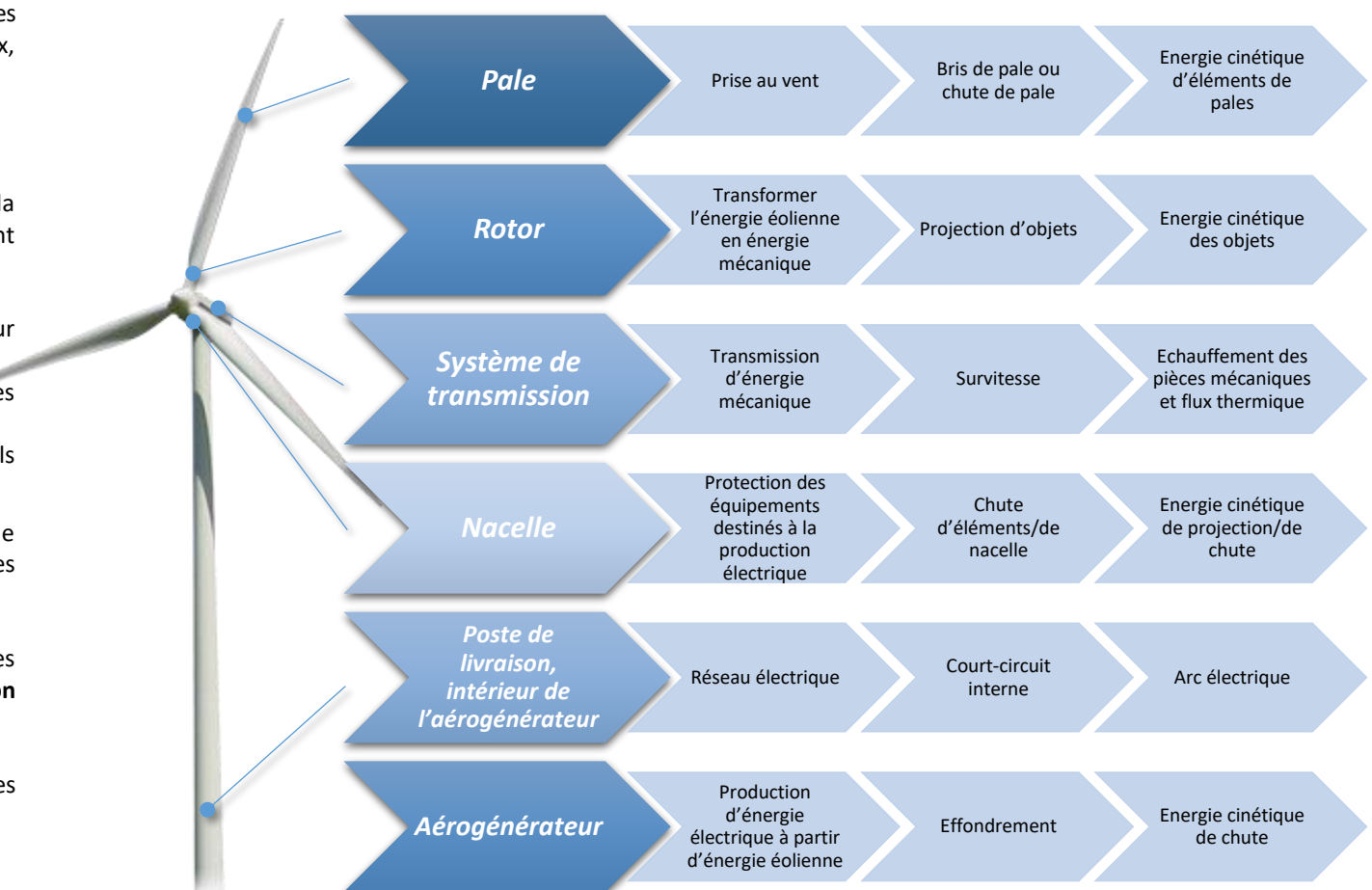


Figure 45 : Dangers potentiels liés au fonctionnement de l'installation

VII.3. REDUCTION DES POTENTIELS DE DANGERS A LA SOURCE

VII.3.1. PRINCIPALES ACTIONS PREVENTIVES

VII.3.1.1. Réduction des dangers liés aux produits

Comme évoqué précédemment, les produits présents dans les éoliennes modernes sont ceux classiquement utilisés dans ce type d'activité : huiles et lubrifiants, fluide de refroidissement, nettoyants...

Les produits représentant le plus gros volume sont les lubrifiants et huiles qui ne présentent pas de caractère dangereux marqué. Nécessaires au bon fonctionnement des aérogénérateurs, ces produits, dont les quantités mises en œuvre sont adaptées aux volumes des équipements, ne peuvent être ni diminués en volume ni substitués par d'autres produits. A noter la présence de bacs collecteurs dans les éoliennes permettant de récupérer les écoulements, ainsi que de capteurs alertant en cas de fuite. Les produits de nettoyage de type solvant, dont la dangerosité est plus importante, ne sont utilisés que de manière ponctuelle et ne sont pas présents continuellement sur le site. Les volumes utilisés restent limités.

VII.3.1.2. Réduction des dangers liés aux installations

Dans le cadre de la réglementation des ICPE, une distance d'éloignement de 500m de toute construction à usage d'habitation, de tout immeuble habité ou de toute zone destinée à l'habitation telle que définie dans les documents d'urbanisme opposables en vigueur au 13 juillet 2010 a été respectée. Cette règle induit de fait une réduction du nombre de personnes

potentiellement exposées. Le contexte majoritairement agricole de l'environnement du projet réduit les possibilités de mise en œuvre d'autres actions préventives.

Sur le site même du projet et au sein des installations, le danger repose sur la présence de mécanisme en fonctionnement (pièces en rotation) et d'installations électriques. Ces éléments sont essentiels au fonctionnement des éoliennes et ne peuvent être substitués. Il convient toutefois de souligner que des mesures seront mises en œuvre afin de réduire tout risque d'accident (ex : formation du personnel, procédure de maintenance spécifique...).

Pour ce projet, la réduction des potentiels de danger à la source sera donc principalement liée au choix d'aérogénérateurs fiables, disposant de différents systèmes de sécurité performants, conformes à la réglementation en vigueur et à leur implantation en dehors des zones sensibles autour des infrastructures à risque.

VII.3.2. UTILISATION DES MEILLEURES TECHNIQUES DISPONIBLES

L'Union Européenne a adopté un ensemble de règles communes au sein directive 2010/75/UE relative aux émissions industrielles (dite « IED ») adoptée en 2010. Cette directive IED est une refonte de plusieurs directives existantes, dont la directive 2008/1/CE relative à la prévention et à la réduction intégrées de la pollution (dite « directive IPPC »).

La directive IED vise à faire en sorte que les émissions industrielles soient traitées de manière intégrée et réduites au minimum. Les installations concernées doivent obtenir des autorisations délivrées par les autorités nationales sur la base de conditions fondées sur les meilleures techniques disponibles (MTD). Ces meilleures techniques disponibles sont élaborées sur le fondement de documents élaborés à l'échelle européenne avec l'ensemble des parties prenantes pour les secteurs industriels concernés : les BREFs (Best REference Documents)

Les installations éoliennes, ne consommant pas de matières premières et ne rejetant aucune émission dans l'atmosphère, ne sont pas soumises à cette directive.

VIII. ANALYSE DES RETOURS D'EXPERIENCE

Il n'existe actuellement aucune base de données officielle recensant l'accidentologie dans la filière éolienne. Néanmoins, il a été possible d'analyser les informations collectées en France et dans le monde par plusieurs organismes divers (associations, organisations professionnelles, littérature spécialisée, etc.). Ces bases de données sont cependant très différentes tant en termes de structuration des données qu'en termes de détail de l'information.

L'analyse des retours d'expérience vise donc ici à faire émerger des typologies d'accidents rencontrés tant au niveau national qu'international. Ces typologies apportent un éclairage sur les scénarios les plus rencontrés. D'autres informations sont également utilisées dans la partie VIII. pour l'analyse détaillée des risques.

VIII.1. INVENTAIRE DES ACCIDENTS ET INCIDENTS EN FRANCE

Un inventaire des incidents et accidents en France a été réalisé afin d'identifier les principaux phénomènes dangereux potentiels pouvant affecter le projet de **Parc éolien de La Chapelle-Janson Eolian Energie**. Cet inventaire se base sur le retour d'expérience de la filière éolienne.

Plusieurs sources ont été utilisées pour effectuer le recensement des accidents et incidents au niveau français (Cf. Annexe 3) :

- **Avant 2012** : le recensement a été effectué dans le Guide technique de l'INERIS (mars 2012). Ce dernier utilise des sources officielles, des articles de presse locale, ou des bases de données mises en place par des associations :

- Rapport du Conseil Général des Mines (juillet 2004)
- Base de données ARIA du Ministère du Développement Durable
- Communiqués de presse du SER-FEE et/ou des exploitants éoliens
- Site Internet de l'association « Vent de Colère »
- Site Internet de l'association « Fédération Environnement Durable »
- Articles de presse divers
- Données diverses fournies par les exploitants de parcs éoliens en France

- **A partir de 2012** : le recensement utilise la consultation de la base de données ARIA⁵. En effet, suite au classement des parcs éoliens en tant qu'Installations Classées pour la Protection de l'Environnement, les exploitants de parcs éoliens doivent déclarer leur accident au Bureau d'Analyse des Risques et Pollutions Industriels (BARPI).

L'ensemble de ces sources permet d'arriver à un inventaire aussi complet que possible des incidents survenus en France. Un total de 130 incidents a pu être recensé entre 2000 et 2021.

Il apparaît dans ce recensement que les aérogénérateurs accidentés sont principalement des modèles anciens ne bénéficiant généralement pas des dernières avancées technologiques.

Le graphique suivant montre la répartition des événements accidentels sur le parc d'aérogénérateur français entre 2000 et 2021. Cette synthèse inclut les accidents du travail (maintenance, chantier de construction, etc.) et les événements qui n'ont pas conduit à des effets sur les zones autour des aérogénérateurs.

Par ordre d'importance, les accidents les plus recensés sont les projections/chute de pale (37%), les incendies (23%), les fuites d'huile (10%) et effondrement (9%).

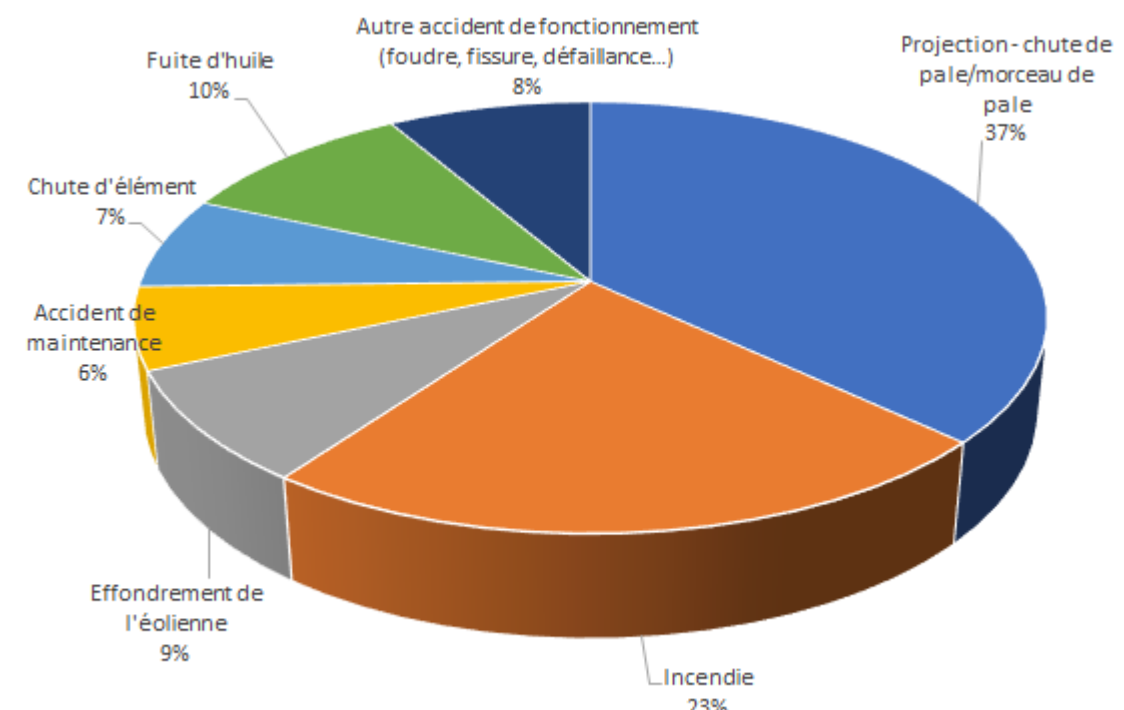


Figure 46 : Répartition des événements accidentels sur le parc d'aérogénérateurs français entre 2000 et 2021

Une analyse des causes des principaux types d'accidents recensés (Projection/chute de pale, incendie et effondrement) est proposée ci-après. Celle-ci se base sur l'accidentologie recensée de 2000 à 2021. À noter que certains accidents peuvent avoir des causes multiples (ex : tempête et défaillance de régulation).

L'observation de ces graphiques permet de s'apercevoir que les tempêtes et vents forts représentent les principales causes de l'effondrement des aérogénérateurs et de la projection/chute de pale, cette dernière étant souvent associée à un défaut de régulation. Les incendies déclarés sur les parcs éoliens sont quant à eux principalement liés à des défaillances électriques.

⁵ La base de données ARIA rassemble les informations sur les accidents technologiques survenus en France, notamment au niveau des ICPE.

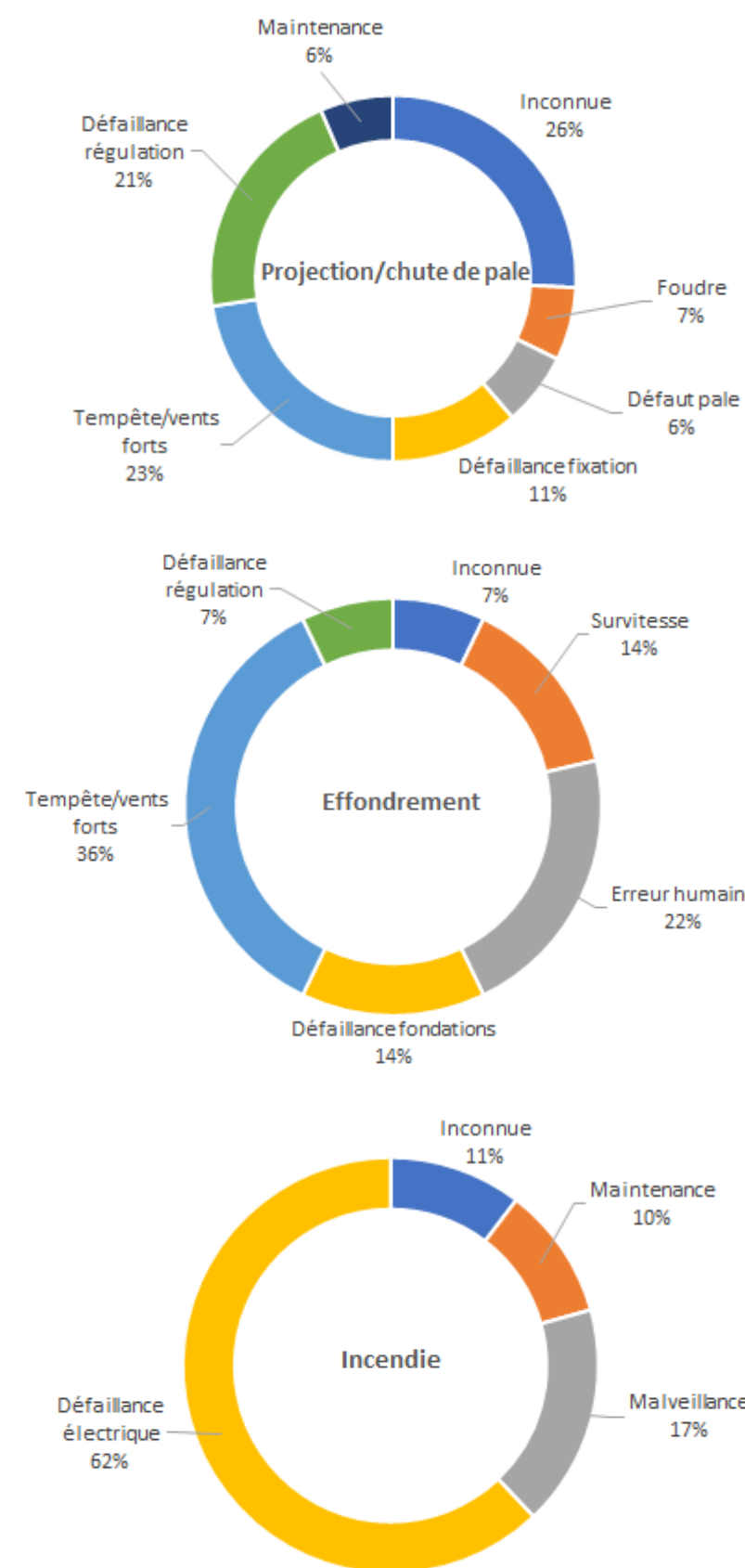


Figure 47 : Répartition par causes des principaux accidents recensés sur le parc éolien français de 2000 à 2021 (Source : INERIS, ARIA)

VIII.2. INVENTAIRE DES ACCIDENTS ET INCIDENTS A L'INTERNATIONAL

Un inventaire des incidents et accidents à l'international a également été réalisé. Il se base lui sur le retour d'expérience de la filière éolienne fin 2010. La synthèse ci-dessous provient de l'analyse de la base de données réalisée par l'association Caithness Wind Information Forum (CWIF). Sur les 994 accidents décrits dans la base de données au moment de sa consultation par le groupe de travail précédemment mentionné, seuls 236 sont considérés comme des « accidents majeurs ». Les autres concernent plutôt des accidents du travail, des presque-accidents, des incidents, etc. et ne sont donc pas pris en compte dans l'analyse suivante.

Le graphique suivant montre la répartition des événements accidentels par rapport à la totalité des accidents analysés.

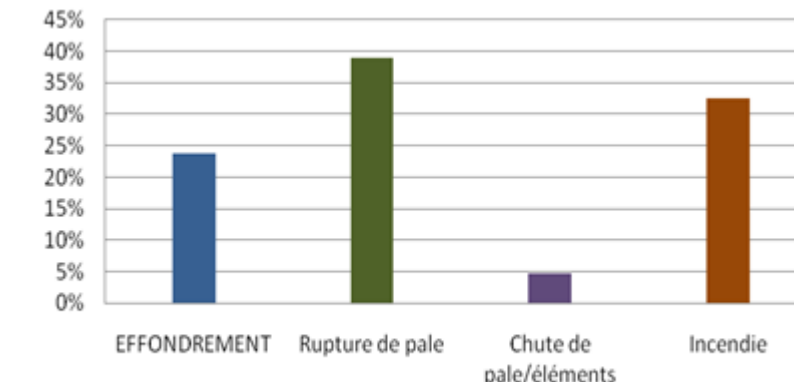
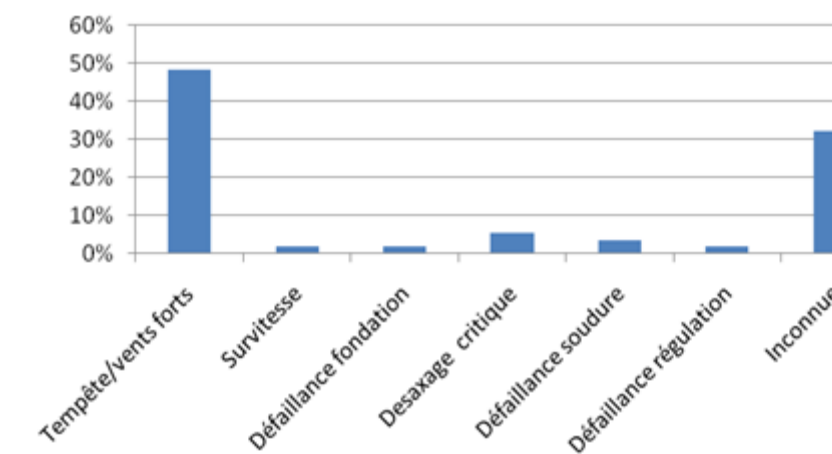


Figure 48 : Répartition des événements accidentels dans le monde entre 2000 et 2011

Ci-après, est présenté le recensement des causes premières pour chacun des événements accidentels recensés (données en répartition par rapport à la totalité des accidents analysés).



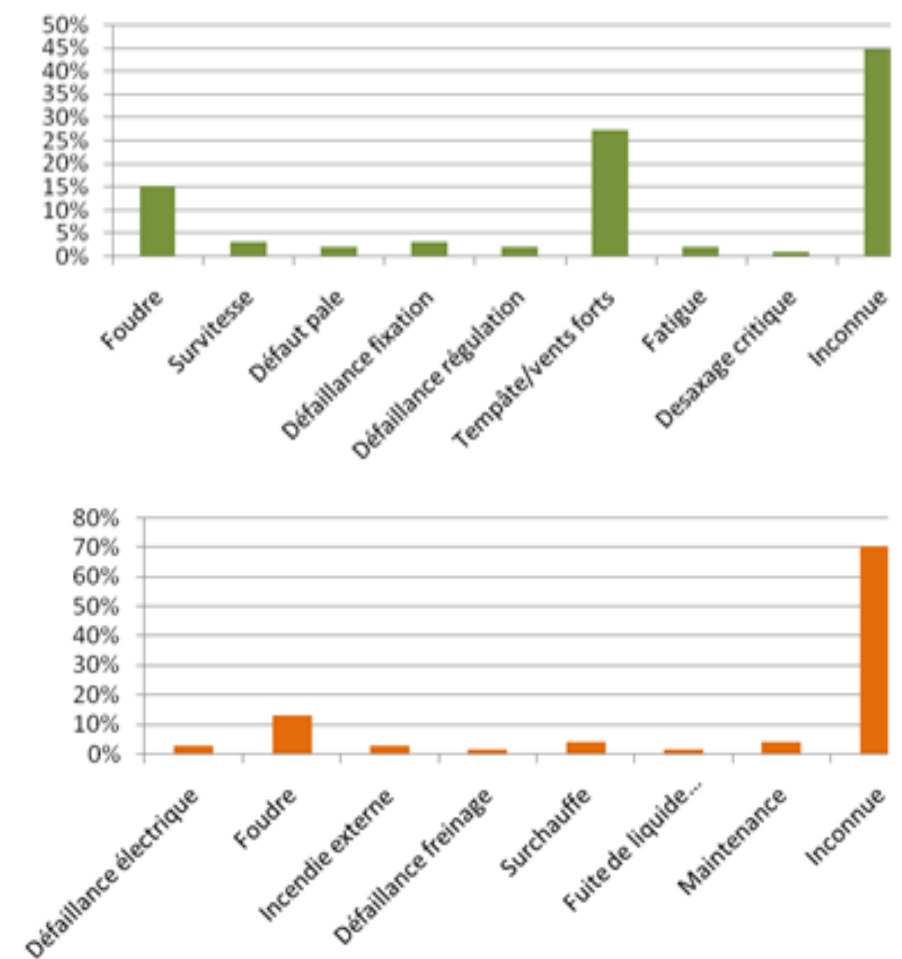


Figure 49 : Répartition des causes premières d'effondrement, de rupture de pale et d'incendie (de haut en bas)

Tout comme pour le retour d'expérience français, ce retour d'expérience montre l'importance des causes « tempêtes et vents forts » dans les accidents. Il souligne également le rôle de la foudre dans les accidents.

VIII.3. SYNTHESE DES PHENOMENES DANGEREUX REDOUTES ISSUS DU RETOUR D'EXPERIENCE

VIII.3.1. ANALYSE DE L'EVOLUTION DES ACCIDENTS EN FRANCE

À partir de l'ensemble des phénomènes dangereux qui ont été recensés, il est possible d'étudier leur évolution en fonction de la puissance éolienne installée.

La figure ci-après montre cette évolution. Ainsi il apparaît que, bien que le nombre d'incidents augmente légèrement depuis quelques années, cette augmentation n'est pas proportionnelle à la puissance et donc au nombre d'éoliennes installées. En effet, si depuis 2005 l'énergie éolienne s'est en effet fortement développée en France avec une puissance installée multipliée par plus de 20, le nombre d'incidents par an est resté quant à lui relativement stable, voire a diminué comparativement au début des années 2000. En témoigne le nombre moyen d'accident par MW installé qui est passé de 0,0063 accident/MW sur la période 2000-2010 à 0,0006 accident/MW sur la période 2011-2021, et ce malgré un recensement renforcé des accidents depuis 2012 et le passage au régime ICPE. Cette tendance s'explique principalement par un parc éolien français assez récent, qui utilise majoritairement des éoliennes de nouvelle génération, équipées de technologies plus fiables et plus sûres. Par ailleurs, soumises au régime ICPE, les installations éoliennes font l'objet d'une attention particulière quant à leur sécurité et elles sont contrôlées régulièrement.

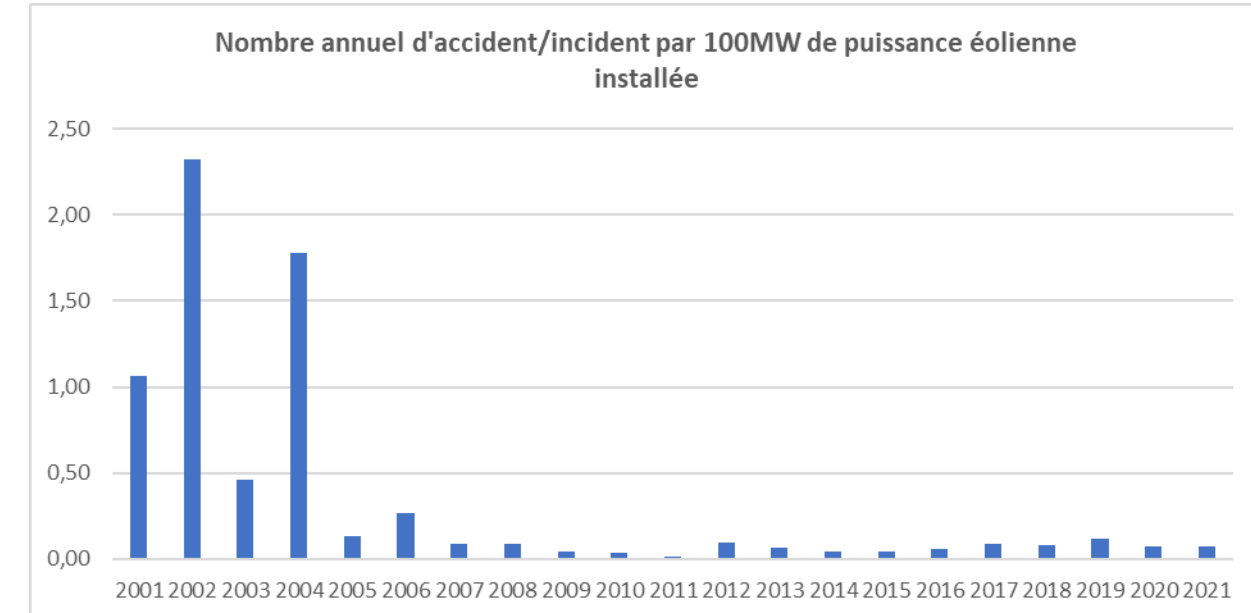


Figure 50 : Évolution du nombre annuel d'accident/incident par tranche de 100 MW de puissance éolienne installée en France entre 2001 et 2021 (Source : INERIS, ARIA)

VIII.3.2. ANALYSE DES TYPOLOGIES D'ACCIDENTS LES PLUS FREQUENTS

Le retour d'expérience de la filière éolienne française et internationale permet d'identifier les principaux événements redoutés suivants :

- Effondrements,
- Ruptures de pales,
- Chutes de pales et d'éléments de l'éolienne,
- Incendies.

VIII.4. LIMITES D'UTILISATION DE L'ACCIDENTOLOGIE

Ces retours d'expérience doivent être pris avec précaution. Ils comportent notamment les biais suivants :

- La non-exhaustivité des événements : ce retour d'expérience, constitué à partir de sources variées, ne provient pas d'un système de recensement organisé et systématique. Dès lors certains événements ne sont pas reportés. En particulier, les événements les moins spectaculaires peuvent être négligés : chutes d'éléments, projections et chutes de glace ;
- La non-homogénéité des aérogénérateurs inclus dans ce retour d'expérience : les aérogénérateurs observés n'ont pas été construits aux mêmes époques et ne mettent pas en œuvre les mêmes technologies. Les informations sont très souvent manquantes pour distinguer les différents types d'aérogénérateurs (en particulier concernant le retour d'expérience mondial) ;
- Les importantes incertitudes sur les causes et sur la séquence qui a mené à un accident : de nombreuses informations sont manquantes ou incertaines sur la séquence exacte des accidents ;

L'analyse du retour d'expérience permet ainsi de dégager de grandes tendances, mais à une échelle détaillée, elle comporte de nombreuses incertitudes.

IX. ANALYSE PRELIMINAIRE DES RISQUES

IX.1. OBJECTIF DE L'ANALYSE PRELIMINAIRE DES RISQUES

L'analyse des risques a pour objectif principal d'identifier les scénarios d'accident majeurs et les mesures de sécurité qui empêchent ces scénarios de se produire ou en limitent les effets. Cet objectif est atteint au moyen d'une identification de tous les scénarios d'accidents potentiels pour une installation (ainsi que des mesures de sécurité), basée sur un questionnement systématique des causes et conséquences possibles des événements accidentels, ainsi que sur le retour d'expérience disponible.

Les scénarios d'accidents sont ensuite hiérarchisés en fonction de leur intensité et de l'étendue possible de leurs conséquences. Cette hiérarchisation permet de « filtrer » les scénarios d'accidents qui présentent des conséquences limitées, et les scénarios d'accidents majeurs – ces derniers pouvant avoir des conséquences sur les personnes.

IX.2. RECENSEMENT DES EVENEMENTS INITIATEURS EXCLUS DE L'ANALYSE DES RISQUES

Conformément à la circulaire du 10 mai 2010, les événements initiateurs (ou agressions externes) suivants sont exclus de l'analyse des risques :



- chute de météorite ;
- séisme d'amplitude supérieure aux séismes maximums de référence éventuellement corrigés de facteurs, tels que définis par la réglementation applicable aux installations classées considérées ;



- crues d'amplitude supérieure à la crue de référence, selon les règles en vigueur ;
- événements climatiques d'intensité supérieure aux événements historiquement connus ou prévisibles pouvant affecter l'installation, selon les règles en vigueur ;
- chute d'avion hors des zones de proximité d'aéroport ou aérodrome (rayon de 2 km des aéroports et aérodromes) ;
- rupture de barrage de classe A ou B au sens de l'article R.214-112 du code de l'environnement ou d'une digue de classe A, B ou C au sens de l'article R. 214-113 du même code ;
- actes de malveillance.



D'autre part, plusieurs autres agressions externes, qui ont été détaillées dans l'état initial, peuvent être exclues de l'analyse préliminaire des risques, car les conséquences propres de ces événements, en termes de gravité et d'intensité, sont largement supérieures aux conséquences potentielles de l'accident qu'ils pourraient entraîner sur les aérogénérateurs.

Le risque de sur-accident lié à l'éolienne est considéré comme négligeable dans le cas des événements suivants :

- inondations ;
- séismes d'amplitude suffisante pour avoir des conséquences notables sur les infrastructures ;
- incendies de cultures ou de forêts ;
- pertes de confinement de canalisations de transport de matières dangereuses ;
- explosions ou incendies générés par un accident sur une activité voisine de l'éolienne.

IX.3. RECENSEMENT DES AGRESSIONS EXTERNES POTENTIELLES

La première étape de l'analyse des risques consiste à recenser les « agressions externes potentielles ». Ces agressions provenant d'une activité ou de l'environnement extérieur sont des événements susceptibles d'endommager ou de détruire les aérogénérateurs de manière à initier un accident qui peut à son tour impacter des personnes. Par exemple, un séisme peut endommager les fondations d'une éolienne et conduire à son effondrement. Traditionnellement, deux types d'agressions externes sont identifiés :

- les agressions externes liées aux activités humaines ;
- les agressions externes liées à des phénomènes naturels.

IX.3.1. AGRESSIONS EXTERNES LIES AUX ACTIVITES HUMAINES

Seules les agressions externes liées aux activités humaines présentes dans un rayon de 200 m (distance à partir de laquelle l'activité considérée ne constitue plus un agresseur potentiel) seront recensées ici, à l'exception de la présence des aérodromes, qui sera reportée lorsque ceux-ci sont implantés dans un rayon de 2 km, et des autres aérogénérateurs qui seront reportés dans un rayon de 500 mètres. Le tableau ci-dessous synthétise les principales agressions externes liées aux activités humaines :

Tableau 16 : Principales agressions externes liées aux activités humaines

Infrastructure	Fonction	Evénement redouté	Danger potentiel	Périmètre	Distance par rapport au mât des éoliennes (en mètre)		
					E1	E2	E3
Autres aérogénérateurs	Production d'électricité	Accident générant des projections d'éléments	Energie cinétique des éléments projetés	500 m	<i>Pas d'aérogénérateur dans le périmètre de 500m</i>		
Ligne Haute Tension	Transport d'électricité	Rupture de câble	Arc électrique, surtensions	200 m	> 200 m	> 200 m	185m
Voies de circulation*	Transport	Accident entraînant la sortie de voie d'un ou plusieurs véhicules	Energie cinétique des véhicules et flux thermiques	200 m	<i>Pas de voie de circulation dans le périmètre de 200m</i>		
Conduite de gaz	Transport d'hydrocarbures	Explosion	Effet de souffle (blast)	200 m	<i>Pas de conduite de gaz dans le périmètre de 200m</i>		
Aérodrome	Transport aérien	Chute d'aéronef	Energie cinétique de l'aéronef, flux thermique	2 000 m	<i>Pas d'aérodrome dans le périmètre de 2000m</i>		

* Sont considérées comme voies de circulation les voies structurantes au sens de l'INERIS.

Selon ce tableau, peu d'infrastructures existantes peuvent être considérées comme des sources d'agression extérieure vis-à-vis du projet de parc éolien. Concernant la présence de la ligne électrique HTA à 185m de l'éolienne E3, compte tenu de la distance séparant cette ligne de l'éolienne et de la probabilité limitée de survenue d'un accident à cet endroit précis de son tracé, le risque d'agression externe engendrée par une rupture de câble apparaît négligeable.

IX.3.2. AGRESSIONS EXTERNES LIES AUX PHENOMENES NATURELS

Le tableau ci-dessous synthétise les principales agressions externes liées aux phénomènes naturels :

Tableau 17 : Description des agressions externes potentielles de l'installation éolienne

Agression externe	Intensité
 Vents et tempête	Intensité maximale des vents observée dans le secteur : <140 km/h Zone non-affectée par des cyclones tropicaux.
 Foudre ⁶	Densité foudroiement Ng = 0.57 arc/km ² /an (Moyenne France = 1.12) Les éoliennes respecteront la norme IEC 61 400-24 dans sa version en vigueur à la date de dépôt du dossier de demande d'autorisation environnementale
 Glissement de sols/ affaissement miniers ⁷	Aléa retrait-gonflement d'argile : NUL A FAIBLE Absence de mouvements de terrain recensés par le BRGM sur la zone directement concernée par le projet.
Comme il a été précisé précédemment, les agressions externes liées à des inondations, à des incendies de forêt ou de cultures ou à des séismes ne sont pas considérées dans ce tableau dans le sens où les dangers qu'elles pourraient entraîner sont largement inférieurs aux dommages causés par le phénomène naturel lui-même.	Concernant les vents et tempête, les éoliennes installées correspondront à la catégorie de la norme internationale IEC-61400-1 (International Electrotechnical Commission) adaptées aux régimes de vents du secteur. Par ailleurs les éoliennes sont équipées de dispositifs permettant de garantir leur mise en sécurité en cas de vents forts (Cf. partie suivante sur les fonctions de sécurité).
De plus, le cas spécifique des effets directs de la foudre et du risque de « tension de pas » n'est pas traité dans l'analyse des risques et dans l'étude détaillée des risques dès lors qu'il est vérifié que la norme IEC 61 400-24 (Juin 2010) ou la norme EN 62 305-3 (Décembre 2006) est respectée. Ces conditions sont reprises dans la fonction de sécurité n°6 ci-après. En ce qui concerne la foudre, on considère que le respect des normes rend le risque d'effet direct de la foudre négligeable (risque électrique, risque d'incendie, etc.). En effet, le système de mise à la terre permet d'évacuer l'intégralité du courant de foudre. Cependant, les conséquences indirectes de la foudre, comme la possible fragilisation progressive de la pale, sont prises en compte dans les scénarios de rupture de pale.	Pour terminer, il convient aussi de rappeler que la construction des éoliennes sera précédée par la réalisation d'une étude géotechnique visant à définir le type de fondations adaptées à la nature du terrain. Celles-ci doivent répondre à la norme établie.
IX.4. SCENARIOS ETUDES DANS L'ANALYSE PRELIMINAIRE DES RISQUES	
Le tableau ci-dessous présente une proposition d'analyse générique des risques. Celui-ci est construit de la manière suivante :	
<ul style="list-style-type: none"> une description des causes et de leur séquençage (événements initiateurs et événements intermédiaires) ; une description des événements redoutés centraux qui marquent la partie incontrôlée de la séquence d'accident ; une description des fonctions de sécurité permettant de prévenir l'événement redouté central ou de limiter les effets du phénomène dangereux ; une description des phénomènes dangereux dont les effets sur les personnes sont à l'origine d'un accident une évaluation préliminaire de la zone d'effets attendue de ces événements. L'échelle utilisée pour l'évaluation de l'intensité des événements a été adaptée au cas des éoliennes : <ul style="list-style-type: none"> « 1 » correspond à un phénomène limité ou se cantonnant au surplomb de l'éolienne ; « 2 » correspond à une intensité plus importante et impactant potentiellement des personnes autour de l'éolienne. 	

- « 2 » correspond à une intensité plus importante et impactant potentiellement des personnes autour de l'éolienne.

Les différents scénarios listés dans le tableau générique de l'APR sont regroupés et numérotés par thématique, en fonction des typologies d'événements redoutés centraux identifiés grâce au retour d'expérience du groupe de travail précédemment cité (« G » pour les scénarios concernant la glace, « I » pour ceux concernant l'incendie, « F » pour ceux concernant les fuites, « C » pour ceux concernant la chute d'éléments de l'éolienne, « P » pour ceux concernant les risques de projection, « E » pour ceux concernant les risques d'effondrement).

Tableau 18 : Analyse générique des risques

N°	Événement initiateur	Événement intermédiaire	Événement redouté central	Fonction de sécurité (intitulé générique)	Phénomène dangereux	Qualification de la zone d'effet
G01	Conditions climatiques favorables à la formation de glace	Dépôt de glace sur les pales, le mât et la nacelle	Chute de glace lorsque les éoliennes sont arrêtées	Prévenir l'atteinte des personnes par la chute de glace (N°2)	Impact de glace sur les enjeux	1
G02	Conditions climatiques favorables à la formation de glace	Dépôt de glace sur les pales	Projection de glace lorsque les éoliennes sont en mouvement	Prévenir la mise en mouvement de l'éolienne lors de la formation de la glace (N°1)	Impact de glace sur les enjeux	2
I01	Humidité / Gel	Court-circuit	Incendie de tout ou partie de l'éolienne	Prévenir les courts-circuits (N°5)	Chute/projection d'éléments enflammés Propagation de l'incendie	2
I02	Dysfonctionnement électrique	Court-circuit	Incendie de tout ou partie de l'éolienne	Prévenir les courts-circuits (N°5)	Chute/projection d'éléments enflammés Propagation de l'incendie	2
I03	Survitesse	Echauffement des parties mécaniques et inflammation	Incendie de tout ou partie de l'éolienne	Prévenir l'échauffement significatif des pièces mécaniques (N°3) Prévenir la survitesse (N°4)	Chute/projection d'éléments enflammés Propagation de l'incendie	2
I04	Désaxage de la génératrice / Pièce défectueuse / Défaut de lubrification	Echauffement des parties mécaniques et inflammation	Incendie de tout ou partie de l'éolienne	Prévenir l'échauffement significatif des pièces mécaniques (N°3)	Chute/projection d'éléments enflammés Propagation de l'incendie	2
I05	Conditions climatiques humides	Surtension	Court-circuit	Prévenir les courts-circuits (N°5) Protection et intervention incendie (N°7)	Incendie poste de livraison (flux thermiques + fumées toxiques SF6) Propagation de l'incendie	2

⁶ Données issues du site METEORAGE : <http://www.meteorage.fr/>

⁷ Données issues des sites web développés par le BRGM : <http://www.argiles.fr/> et <http://www.mouvementsdeterrain.fr/>

N°	Événement initiateur	Événement intermédiaire	Événement redouté central	Fonction de sécurité (intitulé générique)	Phénomène dangereux	Qualification de la zone d'effet	N°	Événement initiateur	Événement intermédiaire	Événement redouté central	Fonction de sécurité (intitulé générique)	Phénomène dangereux	Qualification de la zone d'effet
I06	Rongeur	Surtenion	Court-circuit	Prévenir les courts-circuits (N°5) Protection et intervention incendie (N°7)	Incendie poste de livraison (flux thermiques + fumées toxiques SF6) Propagation de l'incendie	2	P03	Serrage inapproprié Erreur maintenance – desserrage	Chute de fragment de pale	Projection de tout ou partie pale	Prévenir les défauts de stabilité de l'éolienne et les défauts d'assemblage (construction – exploitation) (N° 9)	Impact sur cible	2
I07	Défaut d'étanchéité	Perte de confinement	Fuites d'huile isolante	Prévention et rétention des fuites (N°8)	Incendie au poste de transformation Propagation de l'incendie	2	E01	Effets dominos autres installations	Agression externe et fragilisation structure	Effondrement éolienne	Prévenir les défauts de stabilité de l'éolienne et les défauts d'assemblage (construction – exploitation) (N° 9)	Projection/chute fragments et chute mât	2
F01	Fuite système de lubrification Fuite convertisseur Fuite transformateur	Ecoulement hors de la nacelle et le long du mât, puis sur le sol avec infiltration	Infiltration d'huile dans le sol	Prévention et rétention des fuites (N°8)	Pollution environnement	1	E02	Glissement de sol	Agression externe et fragilisation structure	Effondrement éolienne	Prévenir les défauts de stabilité de l'éolienne et les défauts d'assemblage (construction – exploitation) (N° 9)	Projection/chute fragments et chute mât	2
F02	Renversement de fluides lors des opérations de maintenance	Ecoulement	Infiltration d'huile dans le sol	Prévention et rétention des fuites (N°8)	Pollution environnement	1	E05	Crash d'aéronef	Agression externe et fragilisation structure	Effondrement éolienne	Prévenir les défauts de stabilité de l'éolienne et les défauts d'assemblage (construction – exploitation) (N° 9)	Projection/chute fragments et chute mât	2
C01	Défaut de fixation	Chute de trappe	Chute d'élément de l'éolienne	Prévenir les erreurs de maintenance (N°10)	Impact sur cible	1	E07	Effondrement engin de levage travaux	Agression externe et fragilisation structure	Effondrement éolienne	Prévenir les défauts de stabilité de l'éolienne et les défauts d'assemblage (construction – exploitation) (N° 9)	Chute fragments et chute mât	2
C02	Défaillance fixation anémomètre	Chute anémomètre	Chute d'élément de l'éolienne	Prévenir les défauts de stabilité de l'éolienne et les défauts d'assemblage (construction – exploitation) (N° 9)	Impact sur cible	1	E08	Vents forts	Défaillance fondation	Effondrement éolienne	Prévenir les défauts de stabilité de l'éolienne et les défauts d'assemblage (construction – exploitation) (N° 9)	Projection/chute fragments et chute mât	2
C3	Défaut fixation nacelle – pivot central – mât	Chute nacelle	Chute d'élément de l'éolienne	Prévenir les défauts de stabilité de l'éolienne et les défauts d'assemblage (construction – exploitation) (N° 9)	Impact sur cible	1					Prévenir les risques de dégradation de l'éolienne en cas de vent fort (N°11)		
P01	Survitesse	Contraintes trop importantes sur les pales	Projection de tout ou partie pale	Prévenir la survitesse (N°4)	Impact sur cible	2	E09	Fatigue	Défaillance mât	Effondrement éolienne	Prévenir les défauts de stabilité de l'éolienne et les défauts d'assemblage (construction – exploitation) (N° 9)	Projection/chute fragments et chute mât	2
P02	Fatigue Corrosion	Chute de fragment de pale	Projection de tout ou partie pale	Prévenir les défauts de stabilité de l'éolienne et les défauts d'assemblage (construction – exploitation) (N° 9)	Impact sur cible	2	E10	Désaxage critique du rotor	Impact pale – mât	Effondrement éolienne	Prévenir les défauts de stabilité de l'éolienne et les défauts d'assemblage	Projection/chute fragments et chute mât	2

N°	Événement initiateur	Événement intermédiaire	Événement redouté central	Fonction de sécurité (intitulé générique)	Phénomène dangereux	Qualification de la zone d'effet
				(construction – exploitation) (N°9) Prévenir les erreurs de maintenance (N°10)		

Ce tableau présentant le résultat d'une analyse des risques peut être considéré comme représentatif des scénarios d'accident pouvant potentiellement se produire sur les éoliennes. Des précisions sur les différents scénarios décrits dans ce tableau sont disponibles en annexe.

IX.5. EFFETS DOMINOS

Lors d'un accident majeur sur une éolienne, une possibilité est que les effets de cet accident endommagent d'autres installations. Ces dommages peuvent conduire à un autre accident. Par exemple, la projection de pale impactant les canalisations d'une usine à proximité peut conduire à des fuites de combustibles (gaz...) et à une explosion. Celle-ci peut alors avoir des conséquences humaines et/ou matérielles. Ce phénomène est appelé « effet domino ».

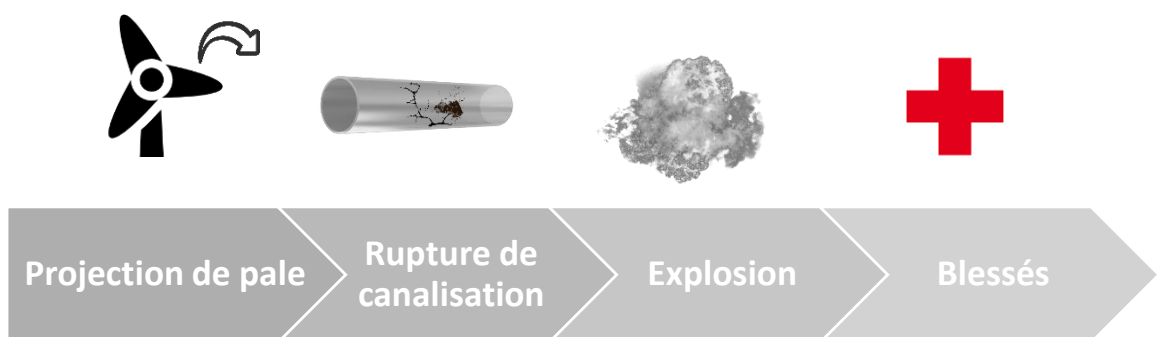


Figure 51 : Exemple d'effet domino

Les effets dominos susceptibles d'impacter les éoliennes sont décrits dans le tableau d'analyse des risques génériques présenté ci-dessus. En ce qui concerne les accidents sur des aérogénérateurs qui conduiraient à des effets dominos sur d'autres installations, le paragraphe 1.2.2 de la circulaire du 10 mai 2010 précise : « [...] seuls les effets dominos générés par les fragments sur des installations et équipements proches ont vocation à être pris en compte dans les études de dangers [...]. Pour les effets de projection à une distance plus lointaine, l'état des connaissances scientifiques ne permet pas de disposer de prédictions suffisamment précises et crédibles de la description des phénomènes pour déterminer l'action publique ».

Dans le cadre des études de dangers des éoliennes, il est proposé de limiter l'évaluation de la probabilité d'impact d'un élément de l'aérogénérateur sur une autre installation ICPE que lorsque celle-ci se situe dans un rayon de 100 mètres.

Aucune de ces installations n'est présente à proximité du site d'étude du projet de **Parc éolien de La Chapelle-Janson Eolien Energie**.

IX.6. MISE EN PLACE DES MESURES DE SECURITE

Les tableaux suivants ont pour objectif de synthétiser les fonctions de sécurité identifiées et mises en œuvre sur les éoliennes du projet de **Parc éolien de La Chapelle-Janson Eolien Energie**. Dans le cadre de la présente étude de dangers, les fonctions de sécurité sont détaillées selon les critères suivants :

- **Fonction de sécurité** : il est proposé ci-dessous un tableau par fonction de sécurité. Cet intitulé décrit l'objectif de la ou des mesure(s) de sécurité : il s'agira principalement « d'empêcher, éviter, détecter, contrôler ou limiter » et sera

en relation avec un ou plusieurs événements conduisant à un accident majeur identifié dans l'analyse des risques. Plusieurs mesures de sécurité peuvent assurer une même fonction de sécurité.

- **Numéro de la fonction de sécurité** : ce numéro vise à simplifier la lecture de l'étude de dangers en permettant des renvois à l'analyse de risque par exemple.
- **Mesures de sécurité** : cette ligne permet d'identifier les mesures assurant la fonction concernée. Dans le cas de systèmes instrumentés de sécurité, tous les éléments de la chaîne de sécurité sont présents (déttection + traitement de l'information + action).
- **Description** : cette ligne permet de préciser la description de la mesure de maîtrise des risques, lorsque des détails supplémentaires sont nécessaires.
- **Indépendance** (« oui » ou « non ») : cette caractéristique décrit le niveau d'indépendance d'une mesure de maîtrise des risques vis-à-vis des autres systèmes de sécurité et des scénarios d'accident. Cette condition peut être considérée comme remplie (renseigner « oui ») ou non (renseigner « non »).
- **Temps de réponse** (en secondes ou en minutes) : cette caractéristique mesure le temps requis entre la sollicitation et l'exécution de la fonction de sécurité.
- **Efficacité** (100% ou 0%) : l'efficacité mesure la capacité d'une mesure de maîtrise des risques à remplir la fonction de sécurité qui lui est confiée pendant une durée donnée et dans son contexte d'utilisation.
- **Test (fréquence)** : dans ce champ sont rappelés les tests/essais qui seront réalisés sur les mesures de maîtrise des risques. Conformément à la réglementation, un essai d'arrêt, d'arrêt d'urgence et d'arrêt à partir d'une situation de survitesse seront réalisés avant la mise en service de l'aérogénérateur. Dans tous les cas, les tests effectués sur les mesures de maîtrise des risques seront tenus à la disposition de l'inspection des installations classées pendant l'exploitation de l'installation.
- **Maintenance (fréquence)** : ce critère porte sur la périodicité des contrôles qui permettront de vérifier la performance de la mesure de maîtrise des risques dans le temps. Pour rappel, la réglementation demande qu'à minima : un contrôle tous les ans soit réalisé sur la performance des mesures de sécurité permettant de mettre à l'arrêt, à l'arrêt d'urgence et à l'arrêt à partir d'une situation de survitesse et sur tous les systèmes instrumentés de sécurité.

Note 1 : Pour certaines mesures de maîtrise des risques, certains de ces critères peuvent ne pas être applicables. Il convient alors de renseigner le critère correspondant avec l'acronyme « NA » (Non Applicable).

Note 2 : Certaines mesures de maîtrise des risques ne remplissent pas les critères « efficacité » ou « indépendance » : elles ont une fiabilité plus faible que d'autres mesures de maîtrise des risques. Celles-ci peuvent néanmoins être décrites dans le tableau ci-dessous dans la mesure où elles concourent à une meilleure sécurité sur le site d'exploitation.

Tableau 19 : Fonctions de sécurité de l'installation

Fonction de sécurité :	PREVENIR LA MISE EN MOUVEMENT DE L'EOLIENNE LORS DE LA FORMATION DE GLACE	N° de la fonction de sécurité
Mesures de sécurité Description Indépendance Temps de réponse Efficacité Tests Maintenance	1 <i>Système de détection ou de déduction de la formation de glace sur les pales de l'aérogénérateur. Procédure adéquate de redémarrage.</i> <i>Système de détection redondant du givre permettant, en cas de détection de glace, une mise à l'arrêt rapide de l'aérogénérateur.</i> <i>Le redémarrage peut ensuite se faire soit automatiquement après disparition des conditions de givre, soit manuellement après inspection visuelle sur site.</i> <i>Non.</i> <i>Les systèmes traditionnels s'appuient généralement sur des fonctions et des appareils propres à l'exploitation du parc. En cas de danger particulièrement élevé sur site (survol d'une zone fréquentée sur site soumis à des conditions de gel importantes), des systèmes additionnels peuvent être envisagés.</i> <i>Quelques minutes (<60 min.) conformément à l'article 25 de l'arrêté du 26 août 2011</i> <i>100 %</i> <i>Tests menés par le concepteur au moment de la construction de l'éolienne</i> <i>Vérification du système au bout de 3 mois de fonctionnement puis maintenance de remplacement en cas de dysfonctionnement de l'équipement.</i>	

Fonction de sécurité :	PREVENIR L'ATTEINTE DES PERSONNES PAR LA CHUTE DE GLACE	N° de la fonction de sécurité
Mesures de sécurité	Panneautage en pied de machine Eloignement des zones habitées et fréquentées	2
Description	Mise en place de panneaux informant de la possible formation de glace en pied de machines (conformément à l'article 14 de l'arrêté du 26 août 2011).	
Indépendance	Oui	
Temps de réponse	NA	
Efficacité	100 % (Nous considérerons que compte tenu de l'implantation des panneaux et de l'entretien prévu, l'information des promeneurs sera systématique.)	
Tests	NA	
Maintenance	Vérification de l'état général du panneau, de l'absence de détérioration, entretien de la végétation afin que le panneau reste visible lors des différentes visites d'entretien/maintenance.	
Fonction de sécurité	PREVENIR L'ECHAUFFEMENT SIGNIFICATIF DES PIECES MECANIQUES	N° de la fonction de sécurité
Mesures de sécurité	Capteurs de température des pièces mécaniques Définition de seuils critiques de T° pour chaque type de composant avec alarmes	3
Description	Mise à l'arrêt ou bridage jusqu'à refroidissement	
Indépendance	/	
Temps de réponse	Oui	
Efficacité	NA	
Tests	100 %	
Maintenance	Suivi des courbes de températures Vérification du système au bout de 3 mois de fonctionnement puis contrôle annuel conformément à l'article 18 de l'arrêté du 26 août 2011. Maintenance de remplacement en cas de dysfonctionnement de l'équipement.	
Fonction de sécurité	PREVENIR LA SURVITESSE	N° de la fonction de sécurité
Mesures de sécurité	Détection de survitesse et système de freinage. Systèmes de coupure s'enclenchant en cas de dépassement des seuils de vitesse prédefinis, indépendamment du système de contrôle commande. NB : Le système de freinage est généralement constitué d'un frein aérodynamique principal (mise ne drapeau des pales) et / ou d'un frein mécanique auxiliaire.	4
Description	Oui	
Indépendance	Temps de détection < 1 minute	
Temps de réponse	L'exploitant ou l'opérateur désigné sera en mesure de transmettre l'alerte aux services d'urgence compétents dans un délai de 15 minutes suivant l'entrée en fonctionnement anormal de l'aérogénérateur conformément aux dispositions de l'arrêté du 26 août 2011.	
Efficacité	100 %	
Tests	Test d'arrêt simple, d'arrêt d'urgence et de la procédure d'arrêt en cas de survitesse avant la mise en service des aérogénérateurs conformément à l'article 17 de l'arrêté du 26 août 2011.	
Maintenance	Vérification du système au bout de 3 mois de fonctionnement puis contrôle annuel conformément à l'article 18 de l'arrêté du 26 août 2011 (notamment de l'usure du frein et de pression du circuit de freinage d'urgence.) Maintenance de remplacement en cas de dysfonctionnement de l'équipement.	

Fonction de sécurité	PREVENIR LES COURTS-CIRCUITS	N° de la fonction de sécurité
Mesures de sécurité	Coupe de la transmission électrique en cas de fonctionnement abnormal d'un composant électrique.	5
Description	Les organes et armoires électriques de l'éolienne sont équipés d'organes de coupures et de protection adéquats et correctement dimensionnés. Tout fonctionnement abnormal des composants électriques est suivi d'une coupure de la transmission électrique et à la transmission d'un signal d'alerte vers l'exploitant qui prend alors les mesures appropriées.	
Indépendance	Oui	
Temps de réponse	De l'ordre de la seconde	
Efficacité	100 %	
Tests	Un rapport de contrôle d'un organisme compétent atteste de la conformité de l'installation pour prévenir les risques électriques, avant sa mise en service industrielle.	
Maintenance	Des vérifications de tous les composants électriques ainsi que des mesures d'isolement et de serrage des câbles sont intégrées dans la plupart des mesures de maintenance préventive mises en œuvre. Etablissement d'une liste type indiquant les points à contrôler selon les prescriptions du constructeur.	
	Les installations électriques sont contrôlées avant la mise en service du parc puis à une fréquence annuelle, conformément à l'article 10 de l'arrêté du 26 août 2011.	
Fonction de sécurité	PREVENIR LES EFFETS DE LA FOUDRE	N° de la fonction de sécurité
Mesures de sécurité	Mise à la terre et protection des éléments de l'aérogénérateur.	6
Description	Respect de la norme IEC 61 400 – 24 dans sa version en vigueur à la date de dépôt du dossier de demande d'autorisation environnementale.	
Indépendance	Dispositif de capture + mise à la terre. Parasurtenseurs sur les circuits électriques	
Temps de réponse	Oui	
Efficacité	NA	
Tests	100 %	
Maintenance	Un rapport de contrôle d'un organisme compétent atteste de la mise à la terre de l'installation avant sa mise en service industrielle.	
	Contrôle visuel des pales et des éléments susceptibles d'être impactés par la foudre inclus dans les opérations de maintenance, conformément à l'article 9 de l'arrêté du 26 août 2011.	

Fonction de sécurité	PROTECTION ET INTERVENTION INCENDIE	N° de la fonction de sécurité
Mesures de sécurité	<i>Capteurs de températures sur les principaux composants de l'éolienne pouvant permettre, en cas de dépassement des seuils, la mise à l'arrêt de la machine.</i> <i>Système de détection incendie relié à une alarme transmise à un poste de contrôle</i> <i>Intervention des services de secours</i> <i>Détecteurs d'incendie qui lors de leur déclenchement conduisent à la mise en arrêt de la machine et au découplage du réseau électrique. De manière concomitante, un message d'alarme est envoyé au centre de télésurveillance.</i>	7
Description	L'éolienne est également équipée d'extincteurs qui peuvent être utilisés par les personnels d'intervention (cas d'un incendie se produisant en période de maintenance).	
Indépendance	Oui <i>< 1 minute pour les détecteurs et l'enclenchement de l'alarme.</i>	
Temps de réponse	L'exploitant ou l'opérateur désigné sera en mesure de transmettre l'alerte aux services d'urgence compétents dans un délai de 15 minutes suivant l'entrée en fonctionnement anormal de l'aérogénérateur. Le temps d'intervention des services de secours est quant à lui dépendant de la zone géographique.	
Efficacité	100 %	
Tests	/	
Maintenance	Vérification du système au bout de 3 mois de fonctionnement puis contrôle annuel conformément à l'article 18 de l'arrêté du 26 août 2011.	

Fonction de sécurité	PREVENIR LES DEFATS DE STABILITE DE L'EOILIENNE ET LES DEFATS D'ASSEMBLAGE (CONSTRUCTION – EXPLOITATION)	N° de la fonction de sécurité
Mesures de sécurité	<i>Contrôles réguliers des fondations et des différentes pièces d'assemblages (ex : brides ; joints, etc.)</i> <i>Procédures qualité</i> <i>La norme IEC 61 400-1 « Exigence pour la conception des aérogénérateurs » fixe les prescriptions propres à fournir « un niveau approprié de protection contre les dommages résultant de tout risque durant la durée de vie » de l'éolienne.</i> <i>Ainsi la nacelle, le nez, les fondations et la tour répondent au standard IEC 61 400-1. Les pales respectent le standard IEC 61 400-1 ; 12 ; 23.</i> <i>Les éoliennes sont protégées contre la corrosion due à l'humidité de l'air, selon la norme ISO 9223.</i>	9
Description		
Indépendance	Oui	
Temps de réponse	NA	
Efficacité	100 %	
Tests	Un rapport de contrôle d'un organisme compétent atteste de la conformité de chaque aérogénérateur de l'installation avant leur mise en service industrielle.	
Maintenance	Les couples de serrage (brides sur les diverses sections de la tour, bride de raccordement des pales au moyeu, bride de raccordement du moyeu à l'arbre lent, éléments du châssis, éléments du pitch system, couronne du Yam Gear, boulons de fixation de la nacelle...) sont vérifiés au bout de 3 mois de fonctionnement puis tous les 3 ans, conformément à l'article 18 de l'arrêté du 26 août 2011.	

Fonction de sécurité	PREVENTION ET RETENTION DES FUITES	N° de la fonction de sécurité
Mesures de sécurité	Détecteurs de niveau d'huiles Procédure d'urgence Kit antipollution Nombreux détecteurs de niveau d'huile permettant de prévenir les éventuelles fuites d'huile et d'arrêter l'éolienne en cas d'urgence. Les opérations de vidange font l'objet de procédures spécifiques. Dans tous les cas, le transfert des huiles s'effectue de manière sécurisée via un système de tuyauterie et de pompes directement entre l'élément à vidanger et le camion de vidange. Des kits de dépollution d'urgence composés de grandes feuilles de textile absorbant pourront être utilisés afin :	8
Description	- de contenir et arrêter la propagation de la pollution ; - d'absorber jusqu'à 20 litres de déversements accidentels de liquides (huile, eau, alcools ...) et produits chimiques (acides, bases, solvants ...); - de récupérer les déchets absorbés. Si ces kits de dépollution s'avèrent insuffisants, une société spécialisée récupérera et traitera le gravier souillé via les filières adéquates, puis le remplacera par un nouveau revêtement.	
Indépendance	Oui	
Temps de réponse	Dépendant du débit de fuite	
Efficacité	100 %	
Tests	/	
Maintenance	Inspection des niveaux d'huile plusieurs fois par an	

Fonction de sécurité	PREVENIR LES ERREURS DE MAINTENANCE	N° de la fonction de sécurité
Mesures de sécurité	Procédure maintenance et formation du personnel Préconisations du manuel de maintenance Formation du personnel	10
Description		
Indépendance	Oui	
Temps de réponse	NA	
Efficacité	100 %	
Tests	La réalisation des exercices d'entraînement, les conditions de réalisations de ceux-ci, et le cas échéant les accidents/incidents survenus dans l'installation, sont consignés dans un registre. Le registre contient également l'analyse de retour d'expérience réalisée par l'exploitant et les mesures correctives mises en place.	
Maintenance	La liste des équipements de sécurité ainsi que les résultats de l'ensemble des contrôles prévus par les articles 17 et 18 de l'arrêté du 26 août 2011 sont consignés dans le registre de maintenance.	

Fonction de sécurité	PREVENIR LES RISQUES DE DEGRADATION DE L'EOILIENNE EN CAS DE VENT FORT	N° de la fonction de sécurité	11
Mesures de sécurité	<i>Classe d'éolienne adaptée au site et au régime de vents. Détection et prévention des vents forts et tempêtes Arrêt automatique et diminution de la prise au vent de l'éolienne (mise en drapeau progressive des pales) par le système de conduite L'éolienne est mise à l'arrêt si la vitesse de vent mesurée dépasse la vitesse maximale pour laquelle elle a été conçue.</i>		
Description			
Indépendance	<i>Oui</i>		
Temps de réponse	<i>< 1 min</i>		
Efficacité	<i>100 %.</i>		
Tests	<i>Test d'arrêt simple, d'arrêt d'urgence et de la procédure d'arrêt en cas de survitesse avant la mise en service des aérogénérateurs conformément à l'article 17 de l'arrêté du 26 août 2011. Test over speed (préventif annuel)</i>		
Maintenance	<i>RAS</i>		

L'ensemble des procédures de maintenance et des contrôles d'efficacité des systèmes sera conforme à l'arrêté du 26 août 2011. Notamment, suivant une périodicité qui ne peut excéder un an, l'exploitant réalise une vérification de l'état fonctionnel des équipements de mise à l'arrêt, de mise à l'arrêt d'urgence et de mise à l'arrêt depuis un régime de survitesse en application des préconisations du constructeur de l'aérogénérateur.

IX.7. CONCLUSION DE L'ANALYSE PRELIMINAIRE DES RISQUES

Dans le cadre de l'analyse préliminaire des risques génériques des parcs éoliens, trois catégories de scénarios sont a priori exclues de l'étude détaillée, en raison de leur faible intensité :

Tableau 20 : Liste des scénarios exclus

Nom du scénario exclu	Justification
 Incendie de l'éolienne (effets thermiques)	En cas d'incendie de nacelle, et en raison de la hauteur des nacelles, les effets thermiques ressentis au sol seront mineurs. Par exemple, dans le cas d'un incendie de nacelle située à 50 mètres de hauteur, la valeur seuil de 3 kW/m ² n'est pas atteinte. Dans le cas d'un incendie au niveau du mât les effets sont également mineurs et l'arrêté du 26 Août 2011 encadre déjà largement la sécurité des installations. Ces effets ne sont donc pas étudiés dans l'étude détaillée des risques.
 Incendie du poste de livraison ou du transformateur	Néanmoins il peut être redouté que des chutes d'éléments (ou des projections) interviennent lors d'un incendie. Ces effets sont étudiés avec les projections et les chutes d'éléments.
 Infiltration d'huile dans le sol	En cas d'incendie de ces éléments, les effets ressentis à l'extérieur des bâtiments (poste de livraison) seront mineurs ou inexistant du fait notamment de la structure en béton. De plus, la réglementation encadre déjà largement la sécurité de ces installations (l'arrêté du 26 août 2011 [9] et impose le respect des normes NFC 15-100, NFC 13-100 et NFC 13-200)

Ce scénario peut ne pas être détaillé dans le chapitre de l'étude détaillée des risques sauf en cas d'implantation dans un périmètre de protection rapprochée d'une nappe phréatique.

Dans notre cas, les éventuelles infiltrations accidentelles d'huiles dans le sol restent peu probables compte tenu des mesures mises en place (Cf. mesure de sécurité n°8) et pour des volumes de substances libérées dans le sol très faibles.

Les cinq catégories de scénarios étudiés dans l'étude détaillée des risques sont les suivantes :



Ces scénarios regroupent plusieurs causes et séquences d'accident. En estimant la probabilité, gravité, cinétique et intensité de ces événements, il est possible de caractériser les risques pour toutes les séquences d'accidents.

X. ETUDE DETAILLEE DES RISQUES

L'étude détaillée des risques vise à caractériser les scénarios retenus à l'issue de l'analyse préliminaire des risques en termes de probabilité, cinétique, intensité et gravité. Son objectif est donc de préciser le risque généré par l'installation et d'évaluer les mesures de maîtrise des risques mises en œuvre. L'étude détaillée permet de vérifier l'acceptabilité des risques potentiels générés par l'installation.

X.1. RAPPEL DES DEFINITIONS

Les règles méthodologiques applicables pour la détermination de l'intensité, de la gravité et de la probabilité des phénomènes dangereux sont précisées dans l'arrêté ministériel du 29 septembre 2005. Cet arrêté ne prévoit de détermination de l'intensité et de la gravité que pour les effets de surpression, de rayonnement thermique et toxique.

Cet arrêté est complété par la circulaire du 10 mai 2010 récapitulant les règles méthodologiques applicables aux études de dangers, à l'appréciation de la démarche de réduction du risque à la source et aux plans de prévention des risques technologiques (PPRT) dans les installations classées, en application de la loi du 30 juillet 2003.

Cette circulaire précise en son point 1.2.2 qu'à l'exception de certains explosifs pour lesquels les effets de projection présentent un comportement caractéristique à faible distance, les projections et chutes liées à des ruptures ou fragmentations ne sont pas modélisées en intensité et gravité dans les études de dangers.

Force est néanmoins de constater que ce sont les seuls phénomènes dangereux susceptibles de se produire sur des éoliennes. Afin de pouvoir présenter des éléments au sein de cette étude de dangers, il est proposé de recourir à la méthode ad hoc préconisée par le guide technique national relatif à l'étude de dangers dans le cadre d'un parc éolien dans sa version de mai 2012. Cette méthode est inspirée des méthodes utilisées pour les autres phénomènes dangereux des installations classées, dans l'esprit de la loi du 30 juillet 2003.

Cette première partie de l'étude détaillée des risques consiste donc à rappeler les définitions de chacun de ces paramètres, en lien avec les références réglementaires correspondantes.

X.1.1. CINETIQUE

La cinétique d'un accident est la vitesse d'enchaînement des événements constituant une séquence accidentelle, de l'événement initiateur aux conséquences sur les éléments vulnérables.

Selon l'article 8 de l'arrêté du 29 septembre 2005 [13], la cinétique peut être qualifiée de « lente » ou de « rapide ». Dans le cas d'une cinétique lente, les personnes ont le temps d'être mises à l'abri à la suite de l'intervention des services de secours. Dans le cas contraire, la cinétique est considérée comme rapide.

Dans le cadre d'une étude de dangers pour des aérogénérateurs, il est supposé, de manière prudente, que tous les accidents considérés ont une cinétique rapide. Ce paramètre ne sera donc pas détaillé à nouveau dans chacun des phénomènes redoutés étudiés par la suite.

X.1.2. INTENSITE

L'intensité des effets des phénomènes dangereux est définie par rapport à des valeurs de référence exprimées sous forme de seuils d'effets toxiques, d'effets de surpression, d'effets thermiques et d'effets liés à l'impact d'un projectile, pour les hommes et les structures (article 9 de l'arrêté du 29 septembre 2005 [13]).

On constate que les scénarios retenus au terme de l'analyse préliminaire des risques pour les parcs éoliens sont des scénarios de projection (de glace ou de toute ou partie de pale), de chute d'éléments (glace ou toute ou partie de pale) ou d'effondrement de machine.

Or, les seuils d'effets proposés dans l'arrêté du 29 septembre 2005 [13] caractérisent des phénomènes dangereux dont l'intensité s'exerce dans toutes les directions autour de l'origine du phénomène, pour des effets de surpression, toxiques ou thermiques. Ces seuils ne sont donc pas adaptés aux accidents générés par les aérogénérateurs.

Dans le cas de scénarios de projection, l'annexe II de cet arrêté précise : « *Compte tenu des connaissances limitées en matière de détermination et de modélisation des effets de projection, l'évaluation des effets de projection d'un phénomène dangereux nécessite, le cas échéant, une analyse, au cas par cas, justifiée par l'exploitant. Pour la délimitation des zones d'effets sur l'homme ou sur les structures des installations classées, il n'existe pas à l'heure actuelle de valeur de référence. Lorsqu'elle s'avère nécessaire, cette délimitation s'appuie sur une analyse au cas par cas proposée par l'exploitant* ».

C'est pourquoi, pour chacun des événements accidentels retenus (chute d'éléments, chute de glace, effondrement et projection), deux valeurs de référence ont été retenues :

- 5% d'exposition : seuil d'exposition très forte
- 1% d'exposition : seuil d'exposition forte

Le degré d'exposition est défini comme le rapport entre la surface atteinte par un élément chutant ou projeté, et la surface de la zone exposée à la chute ou à la projection.

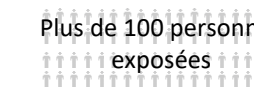
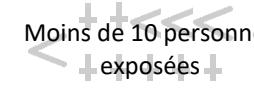
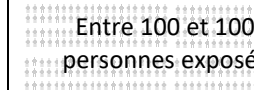
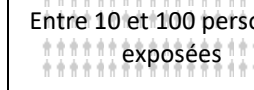
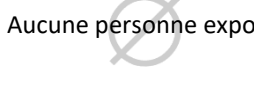
Intensité	Degré d'exposition
Exposition très forte	Supérieur à 5 %
Exposition forte	Compris entre 1 % et 5 %
Exposition modérée	Inférieur à 1 %

Les zones d'effets sont définies pour chaque événement accidentel comme la surface exposée à cet événement.

X.1.3. GRAVITE

Par analogie aux niveaux de gravité retenus dans l'annexe III de l'arrêté du 29 septembre 2005, les seuils de gravité sont déterminés en fonction du nombre équivalent de personnes permanentes dans chacune des zones d'effet définies dans le paragraphe précédent.

Tableau 21 : Seuils de gravité et d'intensité en fonction du nombre équivalent de personnes permanentes

Gravité \ Intensité	Zone d'effet d'un événement accidentel engendrant une exposition très forte	Zone d'effet d'un événement accidentel engendrant une exposition forte	Zone d'effet d'un événement accidentel engendrant une exposition modérée
« Désastreux »	 Plus de 10 personnes exposées	 Plus de 100 personnes exposées	 Plus de 1000 personnes exposées
« Catastrophique »	 Moins de 10 personnes exposées	 Entre 10 et 100 personnes exposées	 Entre 100 et 1000 personnes exposées
« Important »	 Au plus 1 personne exposée	 Entre 1 et 10 personnes exposées	 Entre 10 et 100 personnes exposées
« Sérieux »	 Aucune personne exposée	 Au plus 1 personne exposée	 Moins de 10 personnes exposées
« Modéré »	Pas de zone de légalité en dehors de l'établissement	Pas de zone de légalité en dehors de l'établissement	Présence humaine exposée inférieure à « une personne »

X.1.4. PROBABILITÉ

L'annexe I de l'arrêté du 29 septembre 2005 définit les classes de probabilité qui doivent être utilisées dans les études de dangers pour caractériser les scénarios d'accident majeur :

Tableau 22 : Classes de probabilité

Niveaux	Echelle qualitative	Echelle quantitative (probabilité annuelle)
A	Courant Se produit sur le site considéré et/ou peut se produire à plusieurs reprises pendant la durée de vie des installations, malgré d'éventuelles mesures correctives.	$P > 10^{-2}$
B	Probable S'est produit et/ou peut se produire pendant la durée de vie des installations.	$10^{-3} < P \leq 10^{-2}$
C	Improbable Evénement similaire déjà rencontré dans le secteur d'activité ou dans ce type d'organisation au niveau mondial, sans que les éventuelles corrections intervenues depuis apportent une garantie de réduction significative de sa probabilité.	$10^{-4} < P \leq 10^{-3}$
D	Rare S'est déjà produit mais a fait l'objet de mesures correctives réduisant significativement la probabilité.	$10^{-5} < P \leq 10^{-4}$
E	Extrêmement rare Possible mais non rencontré au niveau mondial. N'est pas impossible au vu des connaissances actuelles.	$\leq 10^{-5}$

Dans le cadre de l'étude de dangers des parcs éoliens, la probabilité de chaque événement accidentel identifié pour une éolienne est déterminée en fonction :

- de la bibliographie relative à l'évaluation des risques pour des éoliennes
- du retour d'expérience français
- des définitions qualitatives de l'arrêté du 29 septembre 2005

Il convient de noter que la probabilité qui sera évaluée pour chaque scénario d'accident correspond à la probabilité qu'un événement redouté se produise sur l'éolienne (probabilité de départ), et non à la probabilité que cet événement produise un accident suite à la présence d'un véhicule ou d'une personne au point d'impact (probabilité d'atteinte). En effet, l'arrêté du 29 septembre 2005 impose une évaluation des probabilités de départ uniquement.

Cependant, on pourra rappeler que la probabilité qu'un accident sur une personne ou un bien se produise est très largement inférieure à la probabilité de départ de l'événement redouté.

La probabilité d'accident est en effet le produit de plusieurs probabilités :

$$P_{\text{accident}} = P_{\text{ERC}} \times P_{\text{orientation}} \times P_{\text{rotation}} \times P_{\text{atteinte}} \times P_{\text{présence}}$$

P_{ERC} = probabilité que l'événement redouté central (défaillance) se produise = probabilité de départ

$P_{\text{orientation}}$ = probabilité que l'éolienne soit orientée de manière à projeter un élément lors d'une défaillance dans la direction d'un point donné (en fonction des conditions de vent notamment)

P_{rotation} = probabilité que l'éolienne soit en rotation au moment où l'événement redouté se produit (en fonction de la vitesse du vent notamment)

P_{atteinte} = probabilité d'atteinte d'un point donné autour de l'éolienne (sachant que l'éolienne est orientée de manière à projeter un élément en direction de ce point et qu'elle est en rotation)

$P_{\text{présence}}$ = probabilité de présence d'un enjeu donné au point d'impact sachant que l'élément est projeté en ce point donné
Dans le cadre des études de dangers des éoliennes, une approche majorante assimilant la probabilité d'accident (P_{accident}) à la probabilité de l'événement redouté central (P_{ERC}) a été retenue.

En dernier lieu, les paramètres liés à la probabilité et à la gravité seront croisés afin de définir l'acceptabilité ou non du projet selon la matrice définie par l'INERIS et présentée ci-dessous :

Tableau 23 : Exemple de la matrice d'acceptabilité du risque selon l'INERIS

Gravité	Classe de Probabilité				
	E	D	C	B	A
Désastreux	Jaune	Orange	Orange	Orange	Orange
Catastrophique	Jaune	Jaune	Orange	Orange	Orange
Important	Jaune	Jaune	Jaune	Orange	Orange
Sérieux	Verte	Verte	Jaune	Jaune	Orange
Modéré	Verte	Verte	Verte	Verte	Jaune

Niveau de risque	Acceptabilité
Risque très faible	ACCEPTABLE
Risque faible	ACCEPTABLE
Risque important	NON ACCEPTABLE

X.2. CARACTERISATION DES SCENARIOS RETENUS

La société **La Chapelle-Janson Eolien Energie** projette d'implanter 3 éoliennes d'une hauteur totale de 165m. Le tableau ci-dessous présente leurs caractéristiques qui ont été utilisées pour les calculs présentés ci-après :

	E1	E2	E3
R : Longueur de pale	66,65	66,65	66,65
D : Diamètre de rotor	133,30	133,30	133,30
H : Hauteur de mât*	101,00	101,00	101,00
Hm : Hauteur de moyeu	99,00	99,00	99,00
Lbm : Largeur base de mât	4,30	4,30	4,30
Lhm : Largeur haut de mât	3,50	3,50	3,50
Lmm : Largeur moyenne de mât	3,90	3,90	3,90
LB : Largeur base de pale	4,50	4,50	4,50
Longueur en bout de pale	165,00	165,00	165,00

*nacelle comprise conformément à la réglementation ICPE

Remarque : la longueur de pale ici considérée sera égale à un demi-rotor en fonctionnement.

Figure 52 : Données utilisées pour le calcul des risques

X.2.1. PROJECTION DE PALES OU DE FRAGMENTS DE PALES

• Zone d'effet

Dans l'accidentologie française rappelée en annexe, la distance maximale relevée et vérifiée par le groupe de travail précédemment mentionné pour une projection de fragment de pale, est de 380 mètres par rapport au mât de l'éolienne. On constate que les autres données disponibles dans cette accidentologie montrent des distances d'effet inférieures. L'accidentologie éolienne mondiale manque de fiabilité car la source la plus importante (en termes statistiques) est une base de données tenue par une association écossaise majoritairement opposée à l'énergie éolienne [3]. Pour autant, des études de risques déjà réalisées dans le monde ont utilisé une distance de 500 mètres, en particulier les études [5] et [6].

Sur la base de ces éléments, et de façon conservatrice, une distance d'effet de 500 mètres est considérée comme distance raisonnable pour la prise en compte des projections de pales, ou de fragments de pales, dans le cadre des études de dangers des parcs éoliens. Conformément aux indications du chapitre III.3. Définition de l'aire d'étude, cette distance est prise depuis l'emprise du mât de l'éolienne, soit une distance d'effet de 502,15 m depuis le centre du mât de l'éolienne.

• Intensité

Le tableau ci-dessous permet d'évaluer l'intensité du phénomène de projection d'éléments de l'éolienne dans le cas du **projet de Parc éolien de La Chapelle-Janson Eolien Energie**. Pour le phénomène de projection de pale ou de fragment de pale, le degré d'exposition correspond au ratio entre la surface d'un élément (cas majorant d'une pale entière) et la superficie de la zone d'effet du phénomène (500 m depuis l'emprise du mât). Cela peut être traduit de la sorte :

$$d = Z_I / Z_E$$

$$Z_I = R * LB / 2$$

$$Z_E = \pi \times (500)^2$$

Avec d : degré d'exposition, Z_I : zone d'impact, Z_E : zone d'effet, R : la longueur de pale, LB : largeur de la base de la pale⁸.

Tableau 24 : Calcul de l'intensité du phénomène de projection de pale/fragments de pale

Projection de pale ou de fragment de pale (Zone de 500 m autour du mât de l'éolienne)			
Zone d'impact en m^2	Zone d'effet du phénomène étudié en m^2	Degré d'exposition du phénomène étudié en %	Intensité
$Z_I = 66,65 * 4,5 / 2$ = 150	$Z_E = \pi \times 502,15^2$ = 792 167	$d = Z_I / Z_E$ 0,02% (< 1%)	Exposition modérée

• Gravité

En fonction de cette intensité et des définitions issues du paragraphe VIII.1.3 de l'arrêté du 29 septembre 2005, il est possible de définir les différentes classes de gravité pour le phénomène de projection, dans la zone de 500 m autour de l'éolienne.

Si le phénomène engendre une zone d'exposition modérée :

- Plus de 1000 personnes exposées → « Désastreux »
- Entre 100 et 1000 personnes exposées → « Catastrophique »
- Entre 10 et 100 personnes exposées → « Important »
- Moins de 10 personnes exposées → « Sérieux »
- Présence humaine exposée inférieure à « une personne » → « Modéré »

Le tableau suivant indique, pour chaque aérogénérateur, le nombre de personnes exposées dans la zone d'effet du phénomène de projection et la gravité associée (pour les détails des calculs, se référer à l'Annexe 2) :

Tableau 25 : Calcul de la gravité du phénomène de projection de pale/fragments de pale

Projection de pale ou de fragment de pale (Zone de 500 m autour du mât de l'éolienne)		
Eolienne	Nombre de personnes permanentes (ou équivalent personnes permanentes)	Niveau de gravité
E1	Entre 1 à 10 personnes (6,33 pers.)	Sérieux
E2	Entre 1 à 10 personnes (6,98 pers.)	Sérieux
E3	Entre 1 à 10 personnes (3,93 pers.)	Sérieux

• Probabilité

Les valeurs retenues dans la littérature pour une rupture de tout ou partie de pale sont détaillées dans le tableau suivant :

Tableau 26 : Calcul de la probabilité du phénomène de projection de pale/fragments de pale

Source	Fréquence	Justification
Site specific hazard assessment for a wind farm project [4]	1×10^{-6}	Respect de l'Eurocode EN 1990 – Basis of structural design
Guide for risk based zoning of wind turbines [5]	$1,1 \times 10^{-3}$	Retour d'expérience au Danemark (1984-1992) et en Allemagne (1989-2001)
Specification of minimum distances [6]	$6,1 \times 10^{-4}$	Recherche Internet des accidents entre 1996 et 2003

Ces valeurs correspondent à des classes de probabilité de « B », « C » ou « E ». Le retour d'expérience français montre également une classe de probabilité « C » (12 événements pour 15 667 années d'expérience, soit $7,66 \times 10^{-4}$ événement par éolienne et par an). Ces événements correspondent également à la définition qualitative de l'arrêté du 29 Septembre 2005 d'une probabilité « C » : « *Evénement similaire déjà rencontré dans le secteur d'activité ou dans ce type d'organisation au niveau mondial, sans que les éventuelles corrections intervenues depuis apportent une garantie de réduction significative de sa probabilité* ».

Une probabilité de classe « C » est donc retenue par défaut pour ce type d'événement. Néanmoins, les dispositions constructives des éoliennes ayant fortement évolué, le niveau de fiabilité est aujourd'hui bien meilleur. Des mesures de maîtrise des risques supplémentaires ont été mises en place, notamment :

⁸ Il s'agit de la largeur la plus importante à la base de la pale, et non de la largeur de la base raccordée à la nacelle

- les dispositions de la norme IEC 61 400-1
- les dispositions des normes IEC 61 400-24 et EN 62 305-3 relatives à la foudre
- système de détection des survitesses et un système redondant de freinage
- système de détection des vents forts et un système redondant de freinage et de mise en sécurité des installations – un système adapté est installé en cas de risque cyclonique
- utilisation de matériaux résistants pour la fabrication des pales (fibre de verre ou de carbone, résines, etc.)

De manière générale, le respect des prescriptions de l'arrêté du 26 août 2011, relatif aux installations éoliennes soumises à autorisation, permet de s'assurer que les éoliennes font l'objet de mesures réduisant significativement la probabilité de projection.

Il est considéré que la classe de probabilité de l'accident est « D » : « S'est produit mais a fait l'objet de mesures correctrices réduisant significativement la probabilité ».

- Acceptabilité**

Cadrage INERIS :

Avec une classe de probabilité de « D », le risque de projection de tout ou partie de pale pour chaque aérogénérateur est évalué comme acceptable dans le cas d'un nombre équivalent de personnes permanentes inférieur à 1000 dans la zone d'effet. Si le nombre de personnes permanentes (ou équivalent) est supérieur à ces chiffres, l'exploitant peut engager une étude supplémentaire pour déterminer le risque d'atteinte de l'enjeu à l'origine de ce niveau de gravité, et vérifier l'acceptabilité du risque.

Le cas échéant, des mesures de sécurité supplémentaires pourront être mises en place pour améliorer l'acceptabilité du risque.

Le tableau suivant rappelle, pour chaque aérogénérateur du **projet de Parc éolien de La Chapelle-Janson Eolien Energie**, la gravité associée et le niveau de risque (acceptable/inacceptable) :

Tableau 27 : Calcul de l'acceptabilité du phénomène de projection de pale/fragments de pale

Projection de pale ou de fragment de pale (Zone de 500 m autour du mât de l'éolienne)		
Eolienne	Niveau de gravité	Niveau de risque
E1	Sérieux	Acceptable
E2	Sérieux	Acceptable
E3	Sérieux	Acceptable

Ainsi, pour le **projet de Parc éolien de La Chapelle-Janson Eolien Energie**, le phénomène de projection de tout ou partie de pale des éoliennes constitue un risque acceptable pour les personnes.

X.2.2. PROJECTION DE GLACE

- Zone d'effet**

L'accidentologie rapporte quelques cas de projection de glace. Ce phénomène est connu et possible, mais reste difficilement observable et n'a jamais occasionné de dommage sur les personnes ou les biens.

En ce qui concerne la distance maximale atteinte par ce type de projectiles, il n'existe pas d'information dans l'accidentologie. La référence [15] propose une distance d'effet fonction de la hauteur et du diamètre de l'éolienne, dans les cas où le nombre de jours de glace est important et où l'éolienne n'est pas équipée de système d'arrêt des éoliennes en cas de givre ou de glace :

$$\text{Distance d'effet} = 1,5 \times (\text{hauteur de moyeu} + \text{diamètre de rotor})$$

Cette distance de projection est jugée conservative dans des études postérieures [17]. A défaut de données fiables, il est proposé de considérer cette formule pour le calcul de la distance d'effet pour les projections de glace. **Dans le cas du projet de Parc éolien de La Chapelle-Janson Eolien Energie, cela équivaut donc à une distance de } 1,5 \times (99+133,3) = 348,45 \text{ m.**

Conformément aux indications du chapitre III.3. Définition de l'aire d'étude, cette distance est prise depuis l'emprise du mât de l'éolienne, soit une distance d'effet de 350,6 m depuis le centre du mât de l'éolienne.

- Intensité**

Le tableau ci-dessous permet d'évaluer l'intensité du phénomène de projection de glace dans le cas du **projet de Parc éolien de La Chapelle-Janson Eolien Energie**. Pour le phénomène de projection de glace, le degré d'exposition correspond au ratio entre la surface d'un morceau de glace (cas majorant de 1 m²) et la superficie de la zone d'effet du phénomène. Cela peut être traduit de la sorte :

$$d = Z_I / Z_E$$

$$Z_I = SG$$

$$Z_E = \pi \times (1.5 \times (H+2 \times R))^2$$

Avec d : degré d'exposition, Z_I : zone d'impact, Z_E : zone d'effet, SG : la surface majorante d'un morceau de glace, R : la longueur de pale, H : la hauteur au moyeu.

Tableau 28 : Calcul de l'intensité du phénomène de glace

Projection de morceaux de glace (Zone de 349 m autour du mât de l'éolienne)			
Zone d'impact en m ²	Zone d'effet du phénomène étudié en m ²	Degré d'exposition du phénomène étudié en %	Intensité
$Z_I = 1$	$Z_E = \pi \times (350,6)^2 = 386\,165,7$	$2,6 \times 10^{-4}\% < 1\%$	Exposition modérée

- Gravité**

En fonction de cette intensité et des définitions issues du paragraphe VIII.1.3., il est possible de définir les différentes classes de gravité pour le phénomène de projection de glace, dans la zone d'effet de ce phénomène. Si le phénomène engendre **une zone d'exposition modérée** :

- Plus de 1000 personnes exposées → « Désastreux »
- Entre 100 et 1000 personnes exposées → « Catastrophique »
- Entre 10 et 100 personnes exposées → « Important »
- Moins de 10 personnes exposées → « Sérieux »
- Présence humaine exposée inférieure à « une personne » → « Modéré »

Il a été observé dans la littérature disponible [17] qu'en cas de projection, les morceaux de glace se cassent en petits fragments dès qu'ils se détachent de la pale. La possibilité de l'impact de glace sur des personnes abritées par un bâtiment ou un véhicule est donc négligeable, et ces personnes ne doivent pas être comptabilisées pour le calcul de la gravité.

Le tableau suivant indique, pour chaque aérogénérateur, le nombre de personnes exposées dans la zone d'effet du phénomène de projection de glace et la gravité associée (pour les détails des calculs, se référer à l'Annexe 2) :

Tableau 29 : Calcul de la gravité du phénomène de projection de glace

Projection de morceaux de glace (Zone de 349 m autour du mât de l'éolienne)		
Eolienne	Nombre de personnes permanentes (ou équivalent personnes permanentes)	Niveau de gravité
E1	< 1 personne (0,39 pers.)	Modéré
E2	< 1 personne (0,39 pers.)	Modéré
E3	Entre 1 à 10 personnes (3,38 pers.)	Sérieux

- **Probabilité**

Au regard de la difficulté d'établir un retour d'expérience précis sur cet événement et considérant les éléments suivants :

- les mesures de prévention de projection de glace imposées par l'arrêté du 26 août 2011 ;
- le recensement d'aucun accident lié à une projection de glace ;

Une probabilité forfaitaire « B – événement probable » est proposée pour cet événement.

- **Acceptabilité**

Cadrage INERIS :

Le risque de projection pour chaque aérogénérateur est évalué comme acceptable dans le cas d'un niveau de gravité « Sérieux ». Cela correspond pour cet événement à un nombre équivalent de personnes permanentes inférieures à 10 dans la zone d'effet.

Le tableau suivant rappelle, pour chaque aérogénérateur du **projet de Parc éolien de La Chapelle-Janson Eolien Energie**, la gravité associée et le niveau de risque (acceptable/inacceptable) :

Tableau 30 : Calcul de l'acceptabilité du phénomène de projection de glace

Projection de morceaux de glace (Zone de 349 m autour du mât de l'éolienne)			
Eolienne	Niveau de gravité	Présence de système d'arrêt en cas de détection ou déduction de glace et de procédure de redémarrage	Niveau de risque
E1	Modéré	oui	Acceptable
E2	Modéré	oui	Acceptable
E3	Sérieux	oui	Acceptable

Ainsi, pour le **projet de Parc éolien de La Chapelle-Janson Eolien Energie**, le phénomène de projection de glace constitue un risque acceptable pour les personnes.

X.2.3. EFFONDREMENT DE L'EOLIENNE

- **Zone d'effet**

La zone d'effet de l'effondrement d'une éolienne correspond à une surface circulaire de rayon égal à la hauteur totale de l'éolienne en bout de pale, soit **165 m** dans le cas des éoliennes du **projet de Parc éolien de La Chapelle-Janson Eolien Energie**. Conformément aux indications du chapitre III.3. Définition de l'aire d'étude, cette distance est prise depuis l'emprise du mât de l'éolienne, soit une distance d'effet de **167,15 m** depuis le centre du mât de l'éolienne. Cette méthodologie se rapproche de celles utilisées dans la bibliographie (références [5] et [6]). Les risques d'atteinte d'une personne ou d'un bien en dehors de cette zone d'effet sont négligeables et ils n'ont jamais été relevés dans l'accidentologie ou la littérature spécialisée.

- **Intensité**

Le tableau ci-dessous permet d'évaluer l'intensité du phénomène d'effondrement dans le cas du **projet de Parc éolien de La Chapelle-Janson Eolien Energie**. Le phénomène d'effondrement de l'éolienne peut être d'intensité variable compte tenu des nombreuses variables possibles : localisation du point de rupture (premier tiers, milieu, nacelle) et rotation ou non des pales lors de l'effondrement. Dans notre cas, le choix a été fait de calculer un degré d'exposition correspond au ratio entre la surface du rotor et la surface du mat, d'une part, et la superficie de la zone d'effet du phénomène, d'autre part. Cela peut être traduit de la sorte :

$$\begin{aligned} d &= Z_I / Z_E \\ Z_I &= H * Lbm + 3 * R * LB/2 \\ Z_E &= \pi * (Hm + R)^2 \end{aligned}$$

Avec d : degré d'exposition, Z_I : zone d'impact, Z_E : zone d'effet, H : la hauteur du mât (nacelle incluse), Lbm : la largeur de la base du mât, R : la longueur de pale, LB : la largeur de la base de la pale et Hm : la hauteur de moyeu.

Tableau 31 : Calcul de l'intensité du phénomène d'effondrement

Effondrement de l'éolienne (Zone de 165 m autour du mât de l'éolienne)			
Zone d'impact en m^2	Zone d'effet du phénomène étudié en m^2	Degré d'exposition du phénomène étudié en %	Intensité
$Z_I = 101 * 4,3 + 3 * 66,65 * 4,5 / 2 = 884$	$Z_E = \pi * (167,15)^2 = 87\,773$	$d = Z_I / Z_E = 1\%$ ($1\% < d < 5\%$)	Exposition forte

L'intensité du phénomène d'effondrement est nulle au-delà de la zone d'effondrement.

- **Gravité**

En fonction de cette intensité et des définitions issues de l'arrêté du 29 septembre 2005 (voir paragraphe VIII.1.3.), il est possible de définir les différentes classes de gravité pour le phénomène d'effondrement, dans le rayon inférieur ou égal à la hauteur totale de l'éolienne.

Si le phénomène engendre une **zone d'exposition forte** :

- Plus de 100 personnes exposées → « Désastreux »
- Entre 10 et 100 personnes exposées → « Catastrophique »
- Entre 1 et 10 personnes exposées → « Important »
- Au plus 1 personne exposée → « Sérieux »
- Pas de zone de létalité en dehors de l'établissement → « Modéré »

Le tableau suivant indique, pour chaque aérogénérateur, le nombre de personnes exposées dans la zone d'effet du phénomène d'effondrement et la gravité associée (pour les détails des calculs, se référer à l'Annexe 2) :

Tableau 32 : Calcul de la gravité du phénomène d'effondrement

Effondrement de l'éolienne (Zone de 165 m autour du mât de l'éolienne)		
Eolienne	Nombre de personnes permanentes (ou équivalent personnes permanentes)	Niveau de gravité
E1	< 1 personne (0,11 pers.)	Sérieux
E2	< 1 personne (0,12 pers.)	Sérieux
E3	Entre 1 à 10 personnes (0,13 pers.)	Sérieux

- **Probabilité**

Pour l'effondrement d'une éolienne, les valeurs retenues dans la littérature sont détaillées dans le tableau suivant :

Tableau 33 : Calcul de la probabilité du phénomène d'effondrement

Source	Fréquence	Justification
Guide for risk based zoning of wind turbines [5]	$4,5 \times 10^{-4}$	Retour d'expérience
Specification of minimum distances [6]	$1,8 \times 10^{-4}$ (effondrement de la nacelle et de la tour)	Retour d'expérience

Ces valeurs correspondent à une classe de probabilité « C » selon l'arrêté du 29 septembre 2005. Le retour d'expérience français montre également une classe de probabilité « C ». En effet, il a été recensé seulement 7 événements pour 15 667

années d'expérience⁹, soit une probabilité de $4,47 \times 10^{-4}$ par éolienne et par an. Ces événements correspondent également à la définition qualitative de l'arrêté du 29 septembre 2005 d'une probabilité « C », à savoir : « *Evénement similaire déjà rencontré dans le secteur d'activité ou dans ce type d'organisation au niveau mondial, sans que les éventuelles corrections intervenues depuis apportent une garantie de réduction significative de sa probabilité* ». Néanmoins, les dispositions constructives des éoliennes ayant fortement évolué, le niveau de fiabilité est aujourd'hui bien meilleur. Des mesures de maîtrise des risques supplémentaires ont été mises en place sur les machines récentes, et permettent de réduire significativement la probabilité d'effondrement. Ces mesures de sécurité sont notamment :

- respect intégral des dispositions de la norme IEC 61 400-1
- contrôles réguliers des fondations et des différentes pièces d'assemblages
- système de détection des survitesses et un système redondant de freinage
- système de détection des vents forts et un système redondant de freinage et de mise en sécurité des installations – un système adapté est installé en cas de risque cyclonique

On note d'ailleurs, dans le retour d'expérience français, seuls trois effondrements ont eu lieu sur les éoliennes mises en service après 2005 (éolienne de Bouin – janvier 2018 ; Guigneville – novembre 2018 et Boutavent – janvier 2019). De manière générale, le respect des prescriptions de l'arrêté du 26 août 2011 relatif aux installations éoliennes soumises à autorisation, permet de s'assurer que les éoliennes font l'objet de mesures réduisant significativement la probabilité d'effondrement. Il est considéré que la classe de probabilité de l'accident est « D », à savoir : « *S'est produit mais a fait l'objet de mesures correctives réduisant significativement la probabilité* ».

- **Acceptabilité**

Cadrage INERIS :

Dans le cas d'implantation d'éoliennes équipées des technologies récentes, compte tenu de la classe de probabilité d'un effondrement, on pourra conclure à l'acceptabilité de ce phénomène si moins de 10 personnes sont exposées et, dans le cas où plus de dix personnes sont exposées dans la zone d'effet d'un aérogénérateur, l'exploitant pourra démontrer que des mesures de sécurité supplémentaires sont mises en place.

Il est également rappelé que la bonne pratique est de préserver une distance d'isolement égale à la hauteur totale de l'éolienne entre l'aérogénérateur et les autoroutes.

Le tableau suivant rappelle, pour chaque aérogénérateur du **projet de Parc éolien de La Chapelle-Janson Eolien Energie**, la gravité associée et le niveau de risque (acceptable/inacceptable) :

Tableau 34 : Calcul de l'acceptabilité du phénomène d'effondrement

Effondrement de l'éolienne (Zone de 165 m autour du mât de l'éolienne)		
Eolienne	Niveau de gravité	Niveau de risque
E1	Sérieux	Acceptable
E2	Sérieux	Acceptable
E3	Sérieux	Acceptable

Ainsi, pour le **projet de Parc éolien de La Chapelle-Janson Eolien Energie**, le phénomène d'effondrement constitue un risque acceptable pour les personnes.

X.2.4. CHUTE DE GLACE

- **Considérations générales**

Les périodes de gel et l'humidité de l'air peuvent entraîner, dans des conditions de température et d'humidité de l'air bien particulières, une formation de givre ou de glace sur l'éolienne, ce qui induit des risques potentiels de chute de glace.

Selon l'étude WECO [15], une grande partie du territoire français (hors zones de montagne) est concerné par moins d'un jour de formation de glace par an. Certains secteurs du territoire comme les zones côtières affichent des moyennes variant entre 2 et 7 jours de formation de glace par an. Lors des périodes de dégel qui suivent les périodes de grand froid, des chutes de glace peuvent se produire depuis la structure de l'éolienne (nacelle, pales). Normalement, le givre qui se forme en fine pellicule sur les pales de l'éolienne fond avec le soleil. En cas de vents forts, des morceaux de glace peuvent se détacher. Ils se désagrègent généralement avant d'arriver au sol. Ce type de chute de glace est similaire à ce qu'on observe sur d'autres bâtiments et infrastructures.

- **Zone d'effet**

Le risque de chute de glace est cantonné à la zone de survol des pales, soit un disque de rayon égal à un demi-diamètre de rotor autour du mât de l'éolienne. Pour le projet de **Parc éolien de La Chapelle-Janson Eolien Energie**, la zone d'effet a donc un rayon de 66,65 mètres. Conformément aux indications du chapitre III.3. Définition de l'aire d'étude cette distance est prise depuis l'emprise du mât de l'éolienne, soit une distance d'effet de 68,8 m depuis le centre du mât de l'éolienne. Cependant, il convient de noter que, lorsque l'éolienne est à l'arrêt, les pales n'occupent qu'une faible partie de cette zone.

- **Intensité**

Le tableau ci-dessous permet d'évaluer l'intensité du phénomène de chute de glace dans le cas du **projet de Parc éolien de La Chapelle-Janson Eolien Energie**. Pour le phénomène de chute de glace, le degré d'exposition correspond au ratio entre la surface d'un morceau de glace et la superficie de la zone d'effet du phénomène (zone de survol). Cela peut être traduit de la sorte :

$$d=Z_I/Z_E$$

$$Z_I = SG$$

$$Z_E = \pi \times R^2$$

Avec d : degré d'exposition, Z_I : zone d'impact, Z_E : zone d'effet, SG : la surface d'un morceau de glace majorant, R : la longueur de pale.

Tableau 35 : Calcul de l'intensité du phénomène de chute de glace

Chute de glace (Zone de 67 m autour du mât de l'éolienne)			
Zone d'impact en m²	Zone d'effet du phénomène étudié en m²	Degré d'exposition du phénomène étudié en %	Intensité
$Z_I = 1$	$Z_E = \pi \times 68,8^2$ $= 14 870$	$d=Z_I/Z_E$ $0,006\%$ (< 1 %)	Exposition modérée

L'intensité est nulle hors de la zone de survol.

- **Gravité**

En fonction de cette intensité et des définitions issues de l'arrêté du 29 septembre 2005 (voir paragraphe VIII.1.3.), il est possible de définir les différentes classes de gravité pour le phénomène de chute de glace, dans la zone de survol de l'éolienne.

Si le phénomène engendre une **zone d'exposition modérée** :

- Plus de 1000 personnes exposées → « Désastreux »
- Entre 100 et 1000 personnes exposées → « Catastrophique »
- Entre 10 et 100 personnes exposées → « Important »
- Moins de 10 personnes exposées → « Sérieux »
- Présence humaine exposée inférieure à « une personne » → « Modéré »

Le tableau suivant indique, pour chaque aérogénérateur, le nombre de personnes exposées dans la zone d'effet du phénomène de chute de glace et la gravité associée (pour les détails des calculs, se référer à l'Annexe 2) :

⁹ Une année d'expérience correspond à une éolienne observée pendant une année. Ainsi, si on a observé une éolienne pendant 5 ans et une autre pendant 7 ans, on aura au total 12 années d'expérience.

Tableau 36 : Calcul de la gravité du phénomène de chute de glace

Chute de glace (Zone de 67 m autour du mât de l'éolienne)		
Eolienne	Nombre de personnes permanentes (ou équivalent personnes permanentes)	Niveau de gravité
E1	< 1 personne (0,03 pers.)	Modéré
E2	< 1 personne (0,03 pers.)	Modéré
E3	< 1 personne (0,02 pers.)	Modéré

- **Probabilité**

De façon conservatrice, il est considéré que la probabilité est de classe « A », c'est-à-dire une probabilité supérieure à 10^{-2} .

- **Acceptabilité**

Cadrage INERIS :

Avec une classe de probabilité de A, le risque de chute de glace pour chaque aérogénérateur est évalué comme acceptable dans le cas d'une gravité « Modérée », qui correspond pour cet événement à un nombre de personnes permanentes (ou équivalent) inférieur à 1.

Dans le cas contraire, l'exploitant devra démontrer que des mesures de sécurité supplémentaires sont mises en place afin d'améliorer l'acceptabilité de ce risque.

Le tableau suivant rappelle, pour chaque aérogénérateur du **projet de Parc éolien de La Chapelle-Janson Eolien Energie**, la gravité associée et le niveau de risque (acceptable/inacceptable) :

Tableau 37 : Calcul de l'acceptabilité du phénomène de chute de glace

Chute de glace (Zone de 67 m autour du mât de l'éolienne)		
Eolienne	Niveau de gravité	Niveau de risque
E1	Modéré	Acceptable
E2	Modéré	Acceptable
E3	Modéré	Acceptable

Ainsi, pour le **projet de Parc éolien de La Chapelle-Janson Eolien Energie**, le phénomène de chute de glace des éoliennes constitue un risque acceptable pour les personnes.

Il convient également de rappeler que, conformément à l'article 14 de l'arrêté du 26 août 2011 relatif aux installations éoliennes soumises à autorisation, un panneau informant le public des risques (et notamment des risques de chute de glace) sera installé sur le chemin d'accès de chaque aérogénérateur, c'est-à-dire en amont de la zone d'effet de ce phénomène. Cette mesure permettra de réduire les risques pour les personnes potentiellement présentes sur le site lors des épisodes de grand froid.

X.2.5. CHUTE D'ELEMENTS DE L'ÉOLIENNE

- **Zone d'effet**

La chute d'éléments comprend la chute de tous les équipements situés en hauteur : trappes, boulons, morceaux de pales ou pales entières. Le cas majorant est ici le cas de la chute de pale. Il est retenu dans l'étude détaillée des risques pour représenter toutes les chutes d'éléments. Le risque de chute d'élément est cantonné à la zone de survol des pales, c'est-à-dire une zone

d'effet correspondant à un disque de rayon égal à un demi-diamètre de rotor. Pour le **projet de Parc éolien de La Chapelle-Janson Eolien Energie**, la zone d'effet a donc un rayon de 66,65 mètres. Conformément aux indications du chapitre III.3. Définition de l'aire d'étude, cette distance est prise depuis l'emprise du mât de l'éolienne, soit une distance d'effet de 68,8 m depuis le centre du mât de l'éolienne.

- **Intensité**

Le tableau ci-dessous permet d'évaluer l'intensité du phénomène de chute d'éléments de l'éolienne dans le cas du **projet de Parc éolien de La Chapelle-Janson Eolien Energie**. Pour le phénomène de chute d'éléments, le degré d'exposition correspond au ratio entre la surface d'un élément (cas majorant d'une pale entière se détachant de l'éolienne) et la superficie de la zone d'effet du phénomène (zone de survol). Cela peut être traduit de la sorte :

$$d = Z_I / Z_E$$

$$Z_I = R * LB / 2$$

$$Z_E = \pi * R^2$$

Avec d : degré d'exposition, Z_I : zone d'impact, Z_E : zone d'effet, R : la longueur de pale, LB : la largeur de la base de la pale.

Tableau 38 : Calcul de l'intensité du phénomène de chute d'éléments

Chute d'éléments de l'éolienne (Zone de 67 m autour du mât de l'éolienne)			
Zone d'impact en m^2	Zone d'effet du phénomène étudié en m^2	Degré d'exposition du phénomène étudié en %	Intensité
$Z_I = 66,65 * 4,5 / 2$ = 150	$Z_E = \pi * 68,8^2$ = 14 870	$d = Z_I / Z_E$ 1 % (1% < d < 5%)	Exposition forte

L'intensité en dehors de la zone de survol est nulle.

- **Gravité**

En fonction de cette intensité et des définitions issues de l'arrêté du 29 septembre 2005 (voir paragraphe VIII.1.3.), il est possible de définir les différentes classes de gravité pour le phénomène de chute de glace, dans la zone de survol de l'éolienne.

Si le phénomène engendre une **zone d'exposition forte** :

- Plus de 100 personnes exposées → « Désastreux »
- Entre 10 et 100 personnes exposées → « Catastrophique »
- Entre 1 et 10 personnes exposées → « Important »
- Au plus 1 personne exposée → « Sérieux »
- Pas de zone de légalité en dehors de l'établissement → « Modéré »

Le tableau suivant indique, pour chaque aérogénérateur, le nombre de personnes exposées dans la zone d'effet du phénomène de chute de glace et la gravité associée (pour les détails des calculs, se référer à l'Annexe 2) :

Tableau 39 : Calcul de la gravité du phénomène de chute d'éléments

Chute d'éléments de l'éolienne (Zone de 67 m autour du mât de l'éolienne)		
Eolienne	Nombre de personnes permanentes (ou équivalent personnes permanentes)	Niveau de gravité
E1	< 1 personne (0,03 pers.)	Sérieux
E2	< 1 personne (0,03 pers.)	Sérieux
E3	< 1 personne (0,02 pers.)	Sérieux

- **Probabilité**

Peu d'éléments sont disponibles dans la littérature pour évaluer la fréquence des événements de chute de pales ou d'éléments d'éoliennes.

Le retour d'expérience connu en France montre que ces événements ont une classe de probabilité « C » (2 chutes et 5 incendies pour 15 667 années d'expérience, soit 4.47×10^{-4} événement par éolienne et par an).

Ces événements correspondent également à la définition qualitative de l'arrêté du 29 Septembre 2005 d'une probabilité « C » : « *Evénement similaire déjà rencontré dans le secteur d'activité ou dans ce type d'organisation au niveau mondial, sans que les éventuelles corrections intervenues depuis apportent une garantie de réduction significative de sa probabilité* ».

Une probabilité de classe « C » est donc retenue par défaut pour ce type d'événement.

- **Acceptabilité**

Cadrage INERIS :

Avec une classe de probabilité « C », le risque de chute d'éléments pour chaque aérogénérateur est évalué comme acceptable dans le cas d'un nombre de personnes permanentes (ou équivalent) inférieur à 10 dans la zone d'effet. Dans le cas contraire, l'exploitant devra démontrer que des mesures de sécurité supplémentaires sont mises en place afin d'améliorer l'acceptabilité de ce risque.

Le tableau suivant rappelle, pour chaque aérogénérateur du **projet de Parc éolien de La Chapelle-Janson Eolien Energie**, la gravité associée et le niveau de risque (acceptable/inacceptable) :

Tableau 40 : Calcul de l'acceptabilité du phénomène de chute d'éléments

Chute d'éléments de l'éolienne (Zone de 67 m autour du mât de l'éolienne)		
Eolienne	Niveau de gravité	Niveau de risque
E1	Sérieux	Acceptable
E2	Sérieux	Acceptable
E3	Sérieux	Acceptable

Ainsi, pour le **projet de Parc éolien de La Chapelle-Janson Eolien Energie**, le phénomène de chute d'éléments des éoliennes constitue un risque acceptable pour les personnes.

X.3. SYNTHESE DE L'ETUDE DETAILLEE DES RISQUES

X.3.1. TABLEAUX DE SYNTHESE DES SCENARIOS ETUDES

Les tableaux suivants récapitulent, pour chaque événement redouté central retenu, les paramètres de risques : la cinétique, l'intensité, la gravité et la probabilité.

Tableau 41 : Synthèse des paramètres de risques pour chaque scénario retenu

Scénario	Zone d'effet autour du mât	Cinétique	Intensité	Probabilité	Niveau de gravité
Projection de pale/morceaux de pale	500 m	Rapide	Exposition modérée	D	Sérieux (pour toutes les éoliennes)
Projection de glace	349 m	Rapide	Exposition modérée	B	Sérieux (E3) Modéré (E1/E2)
Effondrement de l'éolienne	165 m	Rapide	Exposition forte	D	Sérieux (pour toutes les éoliennes)
Chute de glace	67 m	Rapide	Exposition modérée	A	Modéré (pour toutes les éoliennes)
Chute d'élément de l'éolienne	67 m	Rapide	Exposition forte	C	Sérieux (pour toutes les éoliennes)

X.3.2. SYNTHESE DE L'ACCEPTABILITE DES RISQUES

Enfin, la dernière étape de l'étude détaillée des risques consiste à rappeler l'acceptabilité des accidents potentiels pour chacun des phénomènes dangereux étudiés.

Pour conclure à l'acceptabilité, la matrice de criticité ci-après, adaptée de la circulaire du 29 septembre 2005 reprise dans la circulaire du 10 mai 2010 mentionnée ci-dessus, a été utilisée.

Tableau 42 : Synthèse de l'acceptabilité des risques pour les éoliennes du projet

Gravité	Classe de Probabilité				
	E	D	C	B	A
Désastreux					
Catastrophique					
Important					
Sérieux		Projection de pale (toutes éoliennes) Effondrement de l'éolienne (toutes éoliennes)	Chute éléments des éoliennes (toutes éoliennes)	Projection de glace (E3)	
Modéré				Projection de glace (E1/E2)	Chute de glace (toutes éoliennes)
					Niveau de risque
					Acceptabilité
					Risque très faible
					Acceptable
					Risque faible
					Acceptable
					Risque important
					Non-acceptable

Il apparaît au regard de la matrice ainsi complétée que tous les risques sont acceptables. Certains scénarios présentent un niveau de risque faible. Pour les scénarios d'accidents de chute d'éléments ou de glace en particulier, les fonctions de sécurité n° 1, 2, 9 et 10 (détaillées dans le paragraphe IX.6. Mise en place des mesures de sécurité) sont appliquées. A savoir :

- Pour prévenir l'atteinte aux personnes par chute/projection de glace :
 - Le panneautage sur les chemins d'accès, à l'entrée des plates-formes de chaque éolienne ;
 - L'éloignement des zones habitées et fréquentées ;
 - Système de détection de la formation de glace avec procédure spécifique d'arrêt et de redémarrage.
- Pour le risque de chute d'éléments de l'éolienne :
 - Le contrôle régulier des fondations et des pièces d'assemblage ;
 - La mise en place de procédures de maintenance et de qualité ;
 - Formation du personnel et préconisations du manuel de maintenance.

X.3.3. CARTOGRAPHIE DES RISQUES

A l'issue de la démarche d'analyse des risques, une carte de synthèse des risques par éolienne est présentée. Elle fait apparaître, pour les scénarios détaillés dans le tableau de synthèse :

- les enjeux étudiés dans l'étude détaillée des risques,
- les zones d'effet de chaque phénomène dangereux,
- l'intensité et la probabilité des différents phénomènes dangereux dans chaque zone d'effet,
- le nombre de personnes permanentes (ou équivalent personnes permanentes) exposées par zone d'effet et la gravité qui en découle,
- le niveau d'acceptabilité du risque.

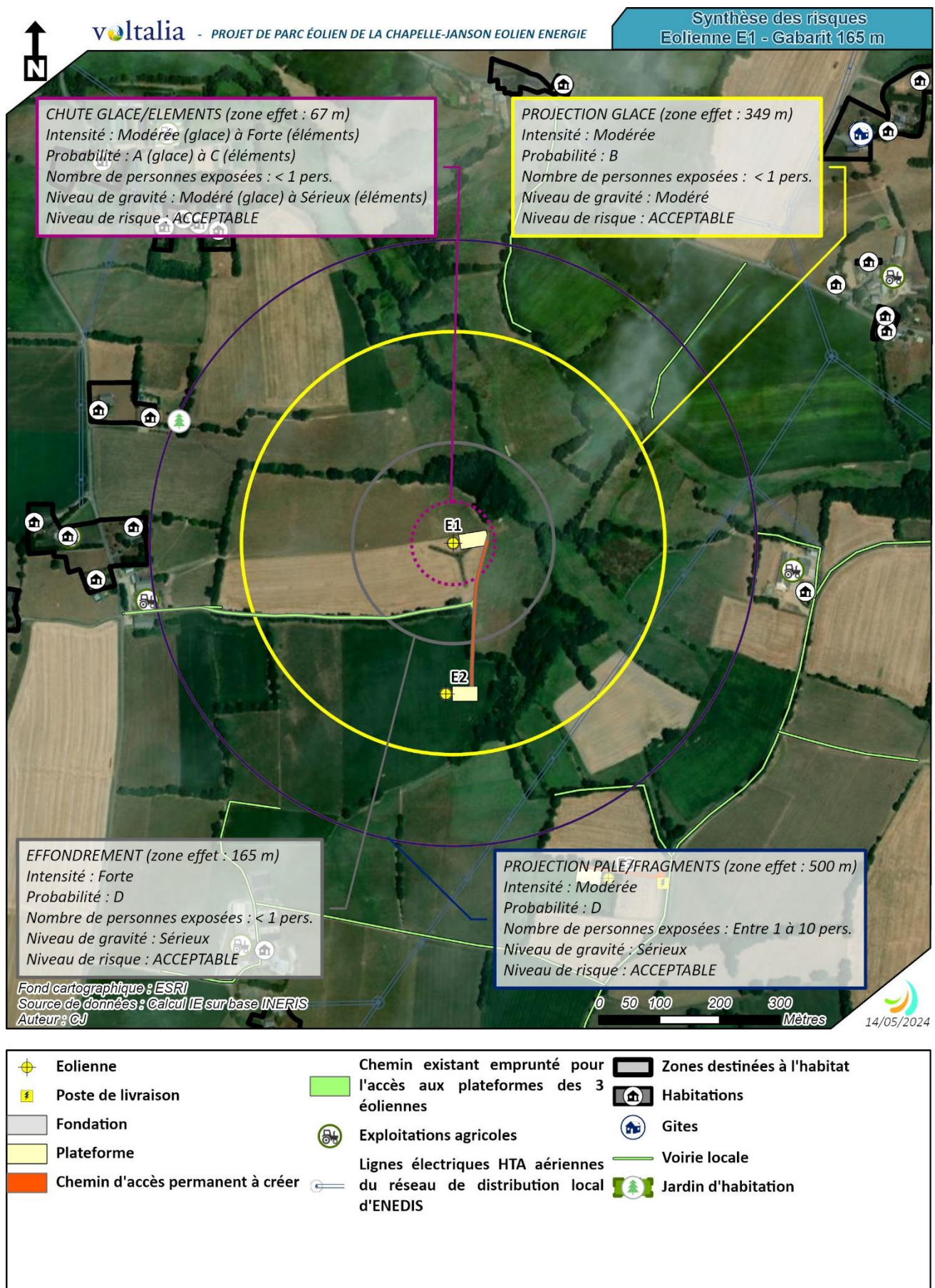


Figure 53 : Synthèse des risques - Eolienne E1

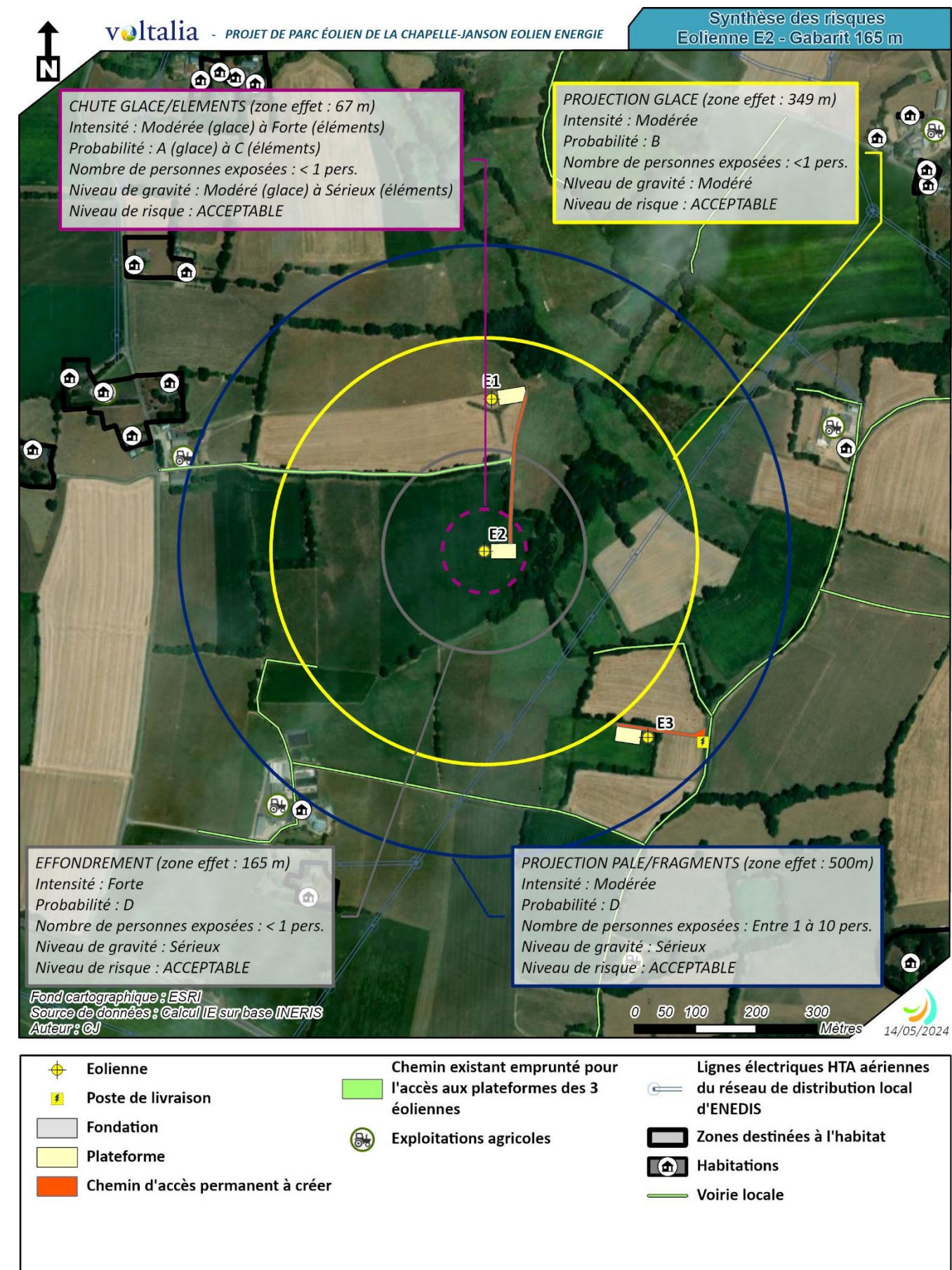


Figure 54 : Synthèse des risques - Eolienne E2

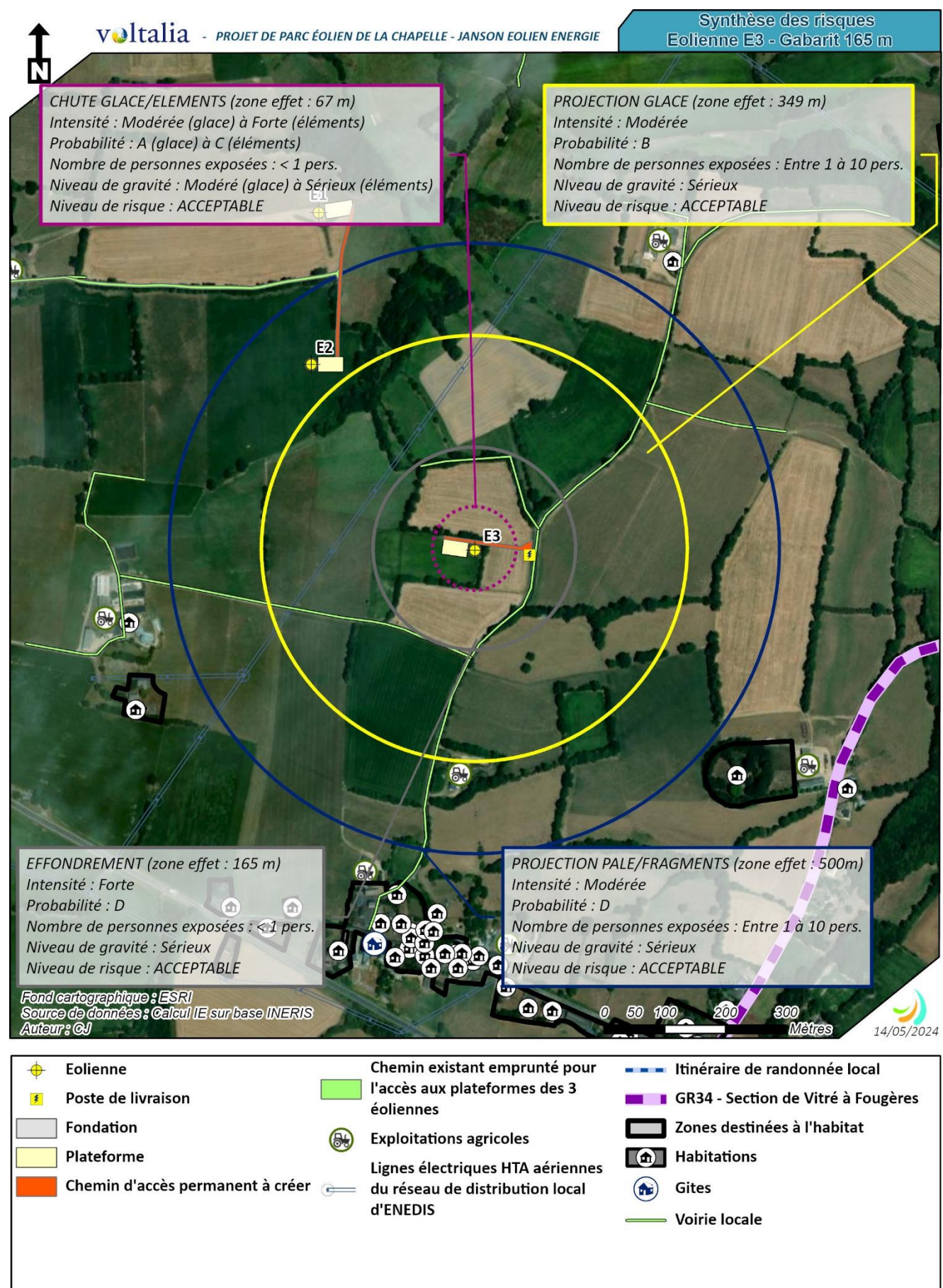


Figure 55 : Synthèse des risques - Eolienne E3

XI. CONCLUSION

L'analyse du retour d'expérience recensant les accidents et les incidents survenus sur les installations éoliennes, et l'analyse préliminaire des risques ont permis d'identifier cinq principaux scénarios d'accidents majeurs pour le projet de **projet de Parc éolien de La Chapelle-Janson Eolian Energie**, prévoyant l'implantation de 3 éoliennes d'une hauteur en bout de pale de 165m et d'une puissance unitaire de 3,6 MW. Ces derniers sont détaillés ci-dessous au travers de leurs principales caractéristiques (Intensité, probabilité et gravité) :

- Projection de pales ou morceaux de pale (500 m)** : Compte tenu de l'accidentologie analysée et des mesures correctives déployées depuis de nombreuses années pour réduire ce risque (système de détection de l'échauffement/bridge, système de détection de la survitesse/bridge voire arrêt, système parafoudre, système de détection incendie/alarme et extincteur, procédure contrôle fondations et maintenance), la probabilité de ce type d'accident est estimée à « Rare » (D). Son intensité est « Modérée ». Pour ce parc éolien, le niveau de gravité est estimé comme « Sérieux » pour les éoliennes du fait des enjeux identifiés (terrains agricoles, exploitations agricoles, jardin d'habitation, routes non-structurantes et chemins ruraux, plateformes de maintenance et chemins d'accès).
- Projection de glace (349 m)** : Ce type d'accident présente une probabilité jugée comme « Probable » (B). On notera toutefois qu'un panneautage est mis en place au niveau de chaque éolienne afin de prévenir du risque de chute ou projection de glace. De plus, les éoliennes disposent d'un système de détection du givre et de mise à l'arrêt avec procédure de redémarrage adaptée. Son intensité est « Modérée ». Pour ce parc éolien, le niveau de gravité est estimé comme « Sérieux » pour l'éolienne E3, du fait des enjeux identifiés (terrains agricoles, routes non-structurantes et chemins ruraux, exploitation agricole, plateformes de maintenance et chemins d'accès). Le niveau de gravité est estimé comme « Modéré » pour les éoliennes E1 et E2.
- Effondrement de l'aérogénérateur (165 m)** : Compte tenu de l'accidentologie analysée et des mesures correctives déployées depuis de nombreuses années pour réduire ce risque (système de détection de l'échauffement/bridge, système de détection de la survitesse/bridge voire arrêt, système parafoudre, système de détection incendie/alarme et extincteur, procédure contrôle fondations et maintenance), la probabilité de ce type d'accident est estimée à « Rare » (D). Son intensité est « Forte ». Pour ce parc éolien, le niveau de gravité est estimé comme « Sérieux » pour les éoliennes du fait des enjeux identifiés (terrains agricoles, routes non-structurantes et chemins ruraux, plateformes de maintenance et chemins d'accès).
- Chute de glace (67 m)** : Ce type d'accident présente une probabilité jugée comme « Courante » (A). On notera toutefois qu'un panneautage est mis en place au niveau de chaque éolienne afin de prévenir du risque de chute ou projection de glace. De plus les éoliennes disposent d'un système de détection du givre et de mise à l'arrêt avec procédure de redémarrage adaptée. Son intensité est « Modérée ». Pour ce parc éolien, le niveau de gravité est estimé comme « Modéré » pour les éoliennes, du fait des enjeux identifiés (terrains agricoles, plateformes et chemins d'accès).
- Chute d'éléments (67 m)** : Ce type d'accident présente une probabilité jugée comme « Improbable » (C). On notera que les éoliennes sont soumises à des procédures de maintenance et de contrôle régulières réduisant le risque. Son intensité est « Forte ». Pour ce parc éolien, le niveau de gravité est estimé comme « Sérieux » pour les éoliennes, du fait des enjeux identifiés (terrains agricoles, plateformes et chemins d'accès).

Pour conclure à l'acceptabilité des risques, la matrice de criticité, adaptée de la circulaire du 29 septembre 2005 reprise dans la circulaire du 10 mai 2010, a été utilisée. Les différents risques ont tous été jugés acceptables. Il convient de noter que, bien que les risques liés à l'incendie de l'éolienne / poste de livraison ou à l'infiltration d'huile dans le sol n'aient pas été détaillés du fait de leur faible importance, des mesures de sécurité sont toutefois prévues en cas d'accident.

Dans ce cadre, il est donc possible de dire que les mesures de maîtrise des risques mises en place sur l'installation, ainsi que les distances séparant le projet des lieux de vie les plus proches sont suffisants pour garantir un risque acceptable pour chacun des phénomènes dangereux identifiés.

ANNEXE 1 – METHODE DE COMPTAGE DES PERSONNES POUR LA DETERMINATION DE LA GRAVITE POTENTIELLE D'UN ACCIDENT A PROXIMITE D'UNE EOLIENNE

La détermination du nombre de personnes permanentes (ou équivalent personnes permanentes) présentes dans chacune des zones d'effet se base sur la fiche n°1 de la circulaire du 10 mai 2010 relative aux règles méthodologiques applicables aux études de dangers. Cette fiche permet de compter aussi simplement que possible, selon des règles forfaitaires, le nombre de personnes exposées dans chacune des zones d'effet des phénomènes dangereux identifiés.

Dans le cadre de l'étude de dangers des parcs éoliens, cette méthode permet, tout d'abord, au stade de la description de l'environnement de l'installation (partie III.4), de comptabiliser les enjeux humains présents dans les ensembles homogènes (terrains non bâtis, voies de circulation, zones habitées, ERP, zones industrielles, commerces...) situés dans l'aire d'étude de l'éolienne considérée.

D'autre part, cette méthode permet ensuite de déterminer la gravité associée à chaque phénomène dangereux retenu dans l'étude détaillée des risques (partie VIII).

Terrains non bâtis

Terrains non aménagés et très peu fréquentés (champs, prairies, forêts, friches, marais...) : compter 1 personne par tranche de 100 ha.

Terrains aménagés mais peu fréquentés (voies de circulation non structurantes, chemins agricoles, plateformes de stockage, vignes, jardins et zones horticoles, gares de triage...) : compter 1 personne par tranche de 10 hectares.

Terrains aménagés et potentiellement fréquentés ou très fréquentés (parkings, parcs et jardins publics, zones de baignades surveillées, terrains de sport (sans gradin néanmoins...)) : compter la capacité du terrain et a minima 10 personnes à l'hectare.

Voies de circulation

Les voies de circulation n'ont à être prises en considération que si elles sont empruntées par un nombre significatif de personnes. En effet, les voies de circulation non structurantes (< 2000 véhicule/jour) sont déjà comptées dans la catégorie des terrains aménagés mais peu fréquentés.

Voies de circulation automobiles

Dans le cas général, on comptera 0,4 personne permanente par kilomètre exposé par tranche de 100 véhicules/jour.

Exemple : $20\ 000 \text{ véhicules/jour} \text{ sur une zone de } 500 \text{ m} = 0,4 \times 0,5 \times 20\ 000 / 100 = 40 \text{ personnes.}$

Nombre de personnes exposées sur voies de communication structurantes en fonction du linéaire et du trafic											
		Linéaire de route compris dans la zone d'effet (en m)									
		100	200	300	400	500	600	700	800	900	1000
2 000		0,8	1,6	2,4	3,2	4	4,8	5,6	6,4	7,2	8
3 000		1,2	2,4	3,6	4,8	6	7,2	8,4	9,6	10,8	12
4 000		1,6	3,2	4,8	6,4	8	9,6	11,2	12,8	14,4	16
5 000		2	4	6	8	10	12	14	16	18	20
7 500		3	6	9	12	15	18	21	24	27	30
10 000		4	8	12	16	20	24	28	32	36	40
20 000		8	16	24	32	40	48	56	64	72	80
30 000		12	24	36	48	60	72	84	96	108	120
40 000		16	32	48	64	80	96	112	128	144	160
50 000		20	40	60	80	100	120	140	160	180	200
60 000		24	48	72	96	120	144	168	192	216	240
70 000		28	56	84	112	140	168	196	224	252	280
80 000		32	64	96	128	160	192	224	256	288	320
90 000		36	72	108	144	180	216	252	288	324	360
100 000		40	80	120	160	200	240	280	320	360	400

Voies ferroviaires

Train de voyageurs : compter 1 train équivalent à 100 véhicules (soit 0,4 personne exposée en permanence par kilomètre et par train), en comptant le nombre réel de trains circulant quotidiennement sur la voie.

Voies navigables

Compter 0,1 personne permanente par kilomètre exposé et par péniche/jour.

Chemins et voies piétonnes

Les chemins et voies piétonnes ne sont pas à prendre en compte, sauf pour les chemins de randonnée, car les personnes les fréquentant sont généralement déjà comptées comme habitants ou salariés exposés.

Pour les chemins de promenade, de randonnée : compter 2 personnes pour 1 km par tranche de 100 promeneurs/jour en moyenne.

Logements

Pour les logements : compter la moyenne INSEE par logement (par défaut : 2,5 personnes), sauf si les données locales indiquent un autre chiffre.

Etablissements recevant du public (ERP)

Compter les ERP (bâtiments d'enseignement, de service public, de soins, de loisir, religieux, grands centres commerciaux etc.) en fonction de leur capacité d'accueil (au sens des catégories du Code de la Construction et de l'Habitation), le cas échéant sans compter leurs routes d'accès (cf. paragraphe sur les voies de circulation automobile).

Les commerces et ERP de catégorie 5 dont la capacité n'est pas définie peuvent être traités de la façon suivante :

- compter 10 personnes par magasin de détail de proximité (boulangerie et autre alimentation, presse et coiffeur) ;
- compter 15 personnes pour les tabacs, cafés, restaurants, supérettes et bureaux de poste.

Les chiffres précédents peuvent être remplacés par des chiffres issus du retour d'expérience local pour peu qu'ils restent représentatifs du maximum de personnes présentes et que la source du chiffre soit soigneusement justifiée.

Une distance d'éloignement de 500 m aux habitations est imposée par la loi. La présence d'habititations ou d'ERP ne se rencontreront peu en pratique.

Zones d'activité

Zones d'activités (industries et autres activités ne recevant pas habituellement de public) : prendre le nombre de salariés (ou le nombre maximal de personnes présentes simultanément dans le cas de travail en équipes), le cas échéant sans compter leurs routes d'accès.

ANNEXE 2 – DETAILS DU COMPTAGE DE PERSONNES PAR SCENARIO ET PAR EOLIENNE

Les tableaux ci-après détaillent les calculs permettant d'aboutir au nombre de personnes exposées pour chaque scénario de risque et chaque éolienne.

Les hypothèses qui ont été retenues pour ces calculs sont les suivantes :

- *Largeur route communale/chemin rural : 5 mètres*

PROJECTION DE PALE

	Rayon d'effet depuis centroïde (m) :	E1			E2			E3		
		Unités	Longueur (m)	Surface (ha)	Nombre de personnes exposées	Longueur (m)	Surface (ha)	Nombre de personnes exposées	Longueur (m)	Surface (ha)
TERRAINS NON-BATIS	Terrains non-aménagés et très peu fréquentés		77,99	0,78		76,55	0,77		76,91	0,77
	Terrains aménagés mais peu fréquentés		0,00	0,00		0,00	0,00		0,00	0,00
	Terrains aménagés et fréquentés voire très fréquentés		0,00	0,00		0,00	0,00		0,00	0,00
VOIES DE CIRCULATION	Non-structurante (< 2000 véh./jour)									
	Chemin rural	560	0,28	0,03	1140,00	0,57	0,06	970,00	0,49	0,05
	Chemin d'accès/Plateforme		0,78	0,08		1,42	0,14		0,59	0,06
	Route communale		0,00	0,00	225,00	0,11	0,01	1000,00	0,50	0,05
	Route départementale		0,00	0,00		0,00	0,00		0,00	0,00
	Structurante (> 2000 véh./jour)									
	Autoroute		0,00	0,00		0,00	0,00		0,00	0,00
	Route structurante (2*2 voies)		0,00	0,00		0,00	0,00		0,00	0,00
	Route structurante (2*1 voie)		0,00	0,00		0,00	0,00		0,00	0,00
	Voie ferrée (2 voies)		0,00	0,00		0,00	0,00		0,00	0,00
LOGEMENTS	Voie ferrée (1 voie)		0,00	0,00		0,00	0,00		0,00	0,00
	Voie navigable		0,00	0,00		0,00	0,00		0,00	0,00
ERP	Chemins de randonnées		0,00	0,00		0,00	0,00		0,00	0,00
	Moyenne INSEE		0,00	0,00		0,00	0,00		0,00	0,00
	Commerces et ERP de catégorie 5 : magasin de détail de proximité (boulangerie, presse, coiffeur...)		0,00	0		0,00	0		0,00	0
ZONES D'ACTIVITE	Commerces et ERP de catégorie 5 : tabacs, café, restaurants, supérettes, bureaux de poste		0,00	0		0,00	0		0,00	0
	Autres		0,00	0,00		0,00	0,00		0,00	0,00
TOTAL DU NOMBRE DE PERSONNES EXPOSEES	Jardin d'habitation		0,02	2,44		0,00	0,00		0,00	0,00
	Exploitation agricole		0,15	3,00		0,56	6,00		0,73	3,00
			6,33			6,98			3,93	

PROJECTION DE GLACE

	Rayon d'effet depuis centroïde (m) :	E1			E2			E3			
		Unités	Longueur (m)	Surface (ha)	Nombre de personnes exposées	Longueur (m)	Surface (ha)	Nombre de personnes exposées	Longueur (m)	Surface (ha)	Nombre de personnes exposées
TERRAINS NON-BATIS	Terrains non-aménagés et très peu fréquentés			38,62	0,39		38,62	0,39		38,44	0,38
	Terrains aménagés mais peu fréquentés			0,00	0,00		0,00	0,00		0,00	0,00
	Terrains aménagés et fréquentés voire très fréquentés			0,00	0,00		0,00	0,00		0,00	0,00
VOIES DE CIRCULATION	Non-structurante (< 2000 véh./jour)										
	Chemin rural										
	Chemin d'accès/Plateforme										
	Route communale										
	Route départementale										
	Structurante (> 2000 véh./jour)										
	Autoroute										
	Route structurante (2*2 voies)										
	Route structurante (2*1 voie)										
	Voie ferrée (2 voies)										
LOGEMENTS	Voie ferrée (1 voie)										
	Voie navigable										
	Chemins de randonnées			0,00	0,00		0,00	0,00		0,00	0,00
ERP	Moyenne INSEE										
	Commerce et ERP de catégorie 5 : magasin de détail de proximité (boulangerie, presse, coiffeur...)										
	Commerce et ERP de catégorie 5 : tabacs, café, restaurants, supérettes, bureaux de poste										
ZONES D'ACTIVITE	Autres										
	Exploitaion agricole			0,00	0,00		0,00	0,00		0,18	3,00
TOTAL DU NOMBRE DE PERSONNES EXPOSEES		0,39			0,39			3,38			

EFFONDREMENT

		E1			E2			E3		
	Rayon d'effet depuis centroïde (m) :	167			167			167		
	Unités	Longueur (m)	Surface (ha)	Nombre de personnes exposées	Longueur (m)	Surface (ha)	Nombre de personnes exposées	Longueur (m)	Surface (ha)	Nombre de personnes exposées
TERRAINS NON-BATIS	Terrains non-aménagés et très peu fréquentés	8,48	0,08	0,08	8,40	0,08	0,08	8,29	0,08	0,08
	Terrains aménagés mais peu fréquentés	0,00	0,00	0,00	0,00	0,00	0,00	0,00	0,00	0,00
	Terrains aménagés et fréquentés voire très fréquentés	0,00	0,00	0,00	0,00	0,00	0,00	0,00	0,00	0,00
VOIES DE CIRCULATION	Non-structurante (< 2000 véh./jour)									
	Chemin rural	0,00	0,00	0,00	0,00	0,00	0,00	280,00	0,14	0,01
	Chemin d'accès/Plateforme	0,30	0,03	0,03	0,38	0,04	0,04		0,20	0,02
	Route communale	0,00	0,00	0,00	0,00	0,00	0,00	300,00	0,15	0,02
	Route départementale	0,00	0,00	0,00	0,00	0,00	0,00		0,00	0,00
	Structurante (> 2000 véh./jour)									
	Autoroute	0,00	0,00	0,00	0,00	0,00	0,00		0,00	0,00
	Route structurante (2*2 voies)	0,00	0,00	0,00	0,00	0,00	0,00		0,00	0,00
	Route structurante (2*1 voie)	0,00	0,00	0,00	0,00	0,00	0,00		0,00	0,00
	Voie ferrée (2 voies)	0,00	0,00	0,00	0,00	0,00	0,00		0,00	0,00
	Voie ferrée (1 voie)	0,00	0,00	0,00	0,00	0,00	0,00		0,00	0,00
LOGEMENTS	Voie navigable	0,00	0,00	0,00	0,00	0,00	0,00		0,00	0,00
	Chemins de randonnées	0,00	0,00	0,00	0,00	0,00	0,00		0,00	0,00
ERP	Moyenne INSEE	0,00	0,00	0,00	0,00	0,00	0,00	0,00	0,00	0,00
	Commerces et ERP de catégorie 5 : magasin de détail de proximité (boulangerie, presse, coiffeur...)	0,00	0	0	0,00	0	0	0,00	0	0
	Commerces et ERP de catégorie 5 : tabacs, café, restaurants, supérettes, bureaux de poste	0,00	0	0	0,00	0	0	0,00	0	0
ZONES D'ACTIVITE	Autres	0,00	0,00	0,00	0,00	0,00	0,00	0,00	0,00	0,00
		0,00	0,00	0,00	0,00	0,00	0,00	0,00	0,00	0,00
TOTAL DU NOMBRE DE PERSONNES EXPOSEES		0,11			0,12			0,13		

CHUTE DE GLACE

	Rayon d'effet depuis centroïde (m) :	E1			E2			E3			
		Unités	Longueur (m)	Surface (ha)	Nombre de personnes exposées	Longueur (m)	Surface (ha)	Nombre de personnes exposées	Longueur (m)	Surface (ha)	Nombre de personnes exposées
TERRAINS NON-BATIS	Terrains non-aménagés et très peu fréquentés		1,32		0,01	1,30		0,01	1,34		0,01
	Terrains aménagés mais peu fréquentés		0,00		0,00	0,00		0,00	0,00		0,00
	Terrains aménagés et fréquentés voire très fréquentés		0,00		0,00	0,00		0,00	0,00		0,00
VOIES DE CIRCULATION	Non-structurante (< 2000 véh./jour)										
	Chemin rural		0,00		0,00	0,00		0,00	0,00		0,00
	Chemin d'accès/Plateforme		0,17		0,02	0,19		0,02	0,15		0,02
	Route communale		0,00		0,00	0,00		0,00	0,00		0,00
	Route départementale		0,00		0,00	0,00		0,00	0,00		0,00
	Structurante (> 2000 véh./jour)										
	Autoroute		0,00		0,00	0,00		0,00	0,00		0,00
	Route structurante (2*2 voies)		0,00		0,00	0,00		0,00	0,00		0,00
	Route structurante (2*1 voie)		0,00		0,00	0,00		0,00	0,00		0,00
	Voie ferrée (2 voies)		0,00		0,00	0,00		0,00	0,00		0,00
LOGEMENTS	Voie ferrée (1 voie)		0,00		0,00	0,00		0,00	0,00		0,00
	Voie navigable		0,00		0,00	0,00		0,00	0,00		0,00
ERP	Chemins de randonnées		0,00		0,00	0,00		0,00	0,00		0,00
	Moyenne INSEE		0,00		0,00	0,00		0,00	0,00		0,00
	Commerce et ERP de catégorie 5 : magasin de détail de proximité (boulangerie, presse, coiffeur...)		0,00		0	0,00		0	0,00		0
ZONES D'ACTIVITE	Commerce et ERP de catégorie 5 : tabacs, café, restaurants, supérettes, bureaux de poste		0,00		0	0,00		0	0,00		0
	Autres		0,00		0,00	0,00		0,00	0,00		0,00
TOTAL DU NOMBRE DE PERSONNES EXPOSEES		0,03			0,03			0,03			

CHUTE D'ELEMENTS

	Rayon d'effet depuis centroïde (m) :	E1			E2			E3			
		Unités	Longueur (m)	Surface (ha)	Nombre de personnes exposées	Longueur (m)	Surface (ha)	Nombre de personnes exposées	Longueur (m)	Surface (ha)	Nombre de personnes exposées
TERRAINS NON-BATIS	Terrains non-aménagés et très peu fréquentés		1,32	0,01		1,30	0,01		1,34	0,01	
	Terrains aménagés mais peu fréquentés		0,00	0,00		0,00	0,00		0,00	0,00	
	Terrains aménagés et fréquentés voire très fréquentés		0,00	0,00		0,00	0,00		0,00	0,00	
VOIES DE CIRCULATION	Non-structurante (< 2000 véh./jour)										
	Chemin rural		0,00	0,00		0,00	0,00		0,00	0,00	
	Chemin d'accès/Plateforme		0,17	0,02		0,19	0,02		0,15	0,02	
	Route communale		0,00	0,00		0,00	0,00		0,00	0,00	
	Route départementale		0,00	0,00		0,00	0,00		0,00	0,00	
	Structurante (> 2000 véh./jour)										
	Autoroute		0,00	0,00		0,00	0,00		0,00	0,00	
	Route structurante (2*2 voies)		0,00	0,00		0,00	0,00		0,00	0,00	
	Route structurante (2*1 voie)		0,00	0,00		0,00	0,00		0,00	0,00	
	Voie ferrée (2 voies)		0,00	0,00		0,00	0,00		0,00	0,00	
	Voie ferrée (1 voie)		0,00	0,00		0,00	0,00		0,00	0,00	
LOGEMENTS	Voie navigable		0,00	0,00		0,00	0,00		0,00	0,00	
	Chemins de randonnées		0,00	0,00		0,00	0,00		0,00	0,00	
ERP	Moyenne INSEE		0,00	0,00		0,00	0,00		0,00	0,00	
	Commerces et ERP de catégorie 5 : magasin de détail de proximité (boulangerie, presse, coiffeur...)		0,00	0		0,00	0		0,00	0	
	Commerces et ERP de catégorie 5 : tabacs, café, restaurants, supérettes, bureaux de poste		0,00	0		0,00	0		0,00	0	
ZONES D'ACTIVITE	Autres		0,00	0,00		0,00	0,00		0,00	0,00	
			0,00	0,00		0,00	0,00		0,00	0,00	
TOTAL DU NOMBRE DE PERSONNES EXPOSÉES		0,03			0,03			0,03			

ANNEXE 3 – TABLEAU DE L'ACCIDENTOLOGIE FRANÇAISE

Le tableau ci-dessous a été établi par le groupe de travail constitué pour la réalisation du guide technique de l'INERIS. Il recense l'ensemble des accidents et incidents connus en France concernant la filière éolienne entre 2000 et fin 2011. L'analyse de ces données est présentée dans l'étude de dangers.

Type d'accident	Date	Nom du parc	Département	Puissance (en MW)	Année de mise en service	Technologie récente	Description sommaire de l'accident et dégâts	Cause probable de l'accident	Source(s) de l'information	Commentaire par rapport à l'utilisation dans l'étude de dangers
Effondrement	Novembre 2000	Port la Nouvelle	Aude	0,5	1993	Non	Le mât d'une éolienne s'est plié lors d'une tempête suite à la perte d'une pale (coupe courant prolongée pendant 4 jours suite à la tempête)	Tempête avec foudre répétée	Rapport du CGM Site Vent de Colère	-
Rupture de pale	2001	Sallèles-Limousis	Aude	0,75	1998	Non	Bris de pales en bois (avec inserts)	?	Site Vent de Colère	Information peu précise
Effondrement	01/02/2002	Wormhout	Nord	0,4	1997	Non	Bris d'hélice et mât plié	Tempête	Rapport du CGM Site Vent du Bocage	-
Maintenance	01/07/2002	Port la Nouvelle – Sigean	Aude	0,66	2000	Oui	Grave électrisation avec brûlures d'un technicien	Lors de mesures pour caractériser la partie haute d'un transformateur 690V/20kV en tension. Le mètre utilisé par la victime, déroulé sur 1,46m, s'est soudainement plié et est entré dans la zone du transformateur, créant un arc électrique.	Rapport du CGM	Ne concerne pas directement l'étude de dangers (accident sur le personnel de maintenance)
Effondrement	28/12/2002	Névian - Grande Garrigue	Aude	0,85	2002	Oui	Effondrement d'une éolienne suite au dysfonctionnement du système de freinage	Tempête + dysfonctionnement du système de freinage	Rapport du CGM Site Vent de Colère Article de presse (Midi Libre)	-
Rupture de pale	25/02/2002	Sallèles-Limousis	Aude	0,75	1998	Non	Bris de pale en bois (avec inserts) sur une éolienne bipale	Tempête	Article de presse (La Dépêche du 26/03/2003)	Information peu précise
Rupture de pale	05/11/2003	Sallèles-Limousis	Aude	0,75	1998	Non	Bris de pales en bois (avec inserts) sur trois éoliennes. Morceaux de pales disséminés sur 100 m.	Dysfonctionnement du système de freinage	Rapport du CGM Article de presse (Midi Libre du 15/11/2003)	-
Effondrement	01/01/2004	Le Portel – Boulogne sur Mer	Pas de Calais	0,75	2002	Non	Cassure d'une pale, chute du mât et destruction totale. Une pale tombe sur la plage et les deux autres dérivent sur 8 km.	Tempête	Base de données ARIA Rapport du CGM Site Vent de Colère Articles de presse (Windpower Monthly May 2004, La Voix du Nord du 02/01/2004)	-
Effondrement	20/03/2004	Loon Plage – Port de Dunkerque	Nord	0,3	1996	Non	Couchage du mât d'une des 9 éoliennes suite à l'arrachement de la fondation	Rupture de 3 des 4 micropieux de la fondation, erreur de calcul (facteur de 10)	Base de données ARIA Rapport du CGM Site Vent de Colère Articles de presse (La Voix du Nord du 20/03/2004 et du 21/03/2004)	-
Rupture de pale	22/06/2004	Pleyber-Christ - Site du Télégraphe	Finistère	0,3	2001	Non	Survitesse puis éjection de bouts de pales de 1,5 et 2,5 m à 50 m, mât intact	Tempête + problème d'allongement des pales et retrait de sécurité (débridage)	Rapport du CGM Articles de presse (Le Télégramme, Ouest France du 09/07/2004)	-
Rupture de pale	08/07/2004	Pleyber-Christ - Site du Télégraphe	Finistère	0,3	2001	Non	Survitesse puis éjection de bouts de pales de 1,5 et 2,5m à 50m, mat intact	Tempête + problème d'allongement des pales et retrait de sécurité (débridage)	Rapport du CGM Articles de presse (Le Télégramme, Ouest France du 09/07/2004)	Incident identique à celui s'étant produit 15 jours auparavant
Rupture de pale	2004	Escales-Conilhac	Aude	0,75	2003	Non	Bris de trois pales		Site Vent de Colère	Information peu précise

Type d'accident	Date	Nom du parc	Département	Puissance (en MW)	Année de mise en service	Technologie récente	Description sommaire de l'accident et dégâts	Cause probable de l'accident	Source(s) de l'information	Commentaire par rapport à l'utilisation dans l'étude de dangers
Rupture de pale + incendie	22/12/2004	Montjoyer-Rochefort	Drôme	0,75	2004	Non	Bris des trois pales et début d'incendie sur une éolienne (survitesse de plus de 60 tr/min)	Survitesse due à une maintenance en cours, problème de régulation, et dysfonctionnement du système de freinage	Base de données ARIA Article de presse (La Tribune du 30/12/2004) Site Vent de Colère	-
Rupture de pale	2005	Wormhout	Nord	0,4	1997	Non	Bris de pale		Site Vent de Colère	Information peu précise
Rupture de pale	08/10/2006	Pleyber-Christ - Site du Télégraphe	Finistère	0,3	2004	Non	Chute d'une pale de 20 m pesant 3 tonnes	Allongement des pales et retrait de sécurité (débridage), pas de REX suite aux précédents accidents sur le même parc	Site FED Articles de presse (Ouest France) Journal FR3	-
Incendie	18/11/2006	Roquetaillade	Aude	0,66	2001	Oui	Acte de malveillance: explosion de bonbonne de gaz au pied de 2 éoliennes. L'une d'entre elles a mis le feu en pieds de mat qui s'est propagé jusqu'à la nacelle.	Malveillance / incendie criminel	Communiqués de presse exploitant Articles de presse (La Dépêche, Midi Libre)	-
Effondrement	03/12/2006	Bondues	Nord	0,08	1993	Non	Sectionnement du mât puis effondrement d'une éolienne dans une zone industrielle	Tempête (vents mesurés à 137Kmh)	Article de presse (La Voix du Nord)	-
Rupture de pale	31/12/2006	Ally	Haute-Loire	1,5	2005	Oui	Chute de pale lors d'un chantier de maintenance visant à remplacer les rotors	Accident faisant suite à une opération de maintenance	Site Vent de Colère	Ne concerne pas directement l'étude de dangers (accident pendant la phase chantier)
Rupture de pale	03/2007	Clitourps	Manche	0,66	2005	Oui	Rupture d'un morceau de pale de 4 m et éjection à environ 80 m de distance dans un champ	Cause pas éclaircie	Site FED Interne exploitant	-
Chute d'élément	11/10/2007	Plouvier	Finistère	1,3	2007	Non	Chute d'un élément de la nacelle (trappe de visite de 50 cm de diamètre)	Défaut au niveau des charnières de la trappe de visite. Correctif appliqué et retrofit des boulons de charnières effectué sur toutes les machines en exploitation.	Article de presse (Le Télégramme)	-
Emballement	03/2008	Dinéault	Finistère	0,3	2002	Non	Emballement de l'éolienne mais pas de bris de pale	Tempête + système de freinage hors service (boulon manquant)	Base de données ARIA	Non utilisable directement dans l'étude de dangers (événement unique et sans répercussion potentielle sur les personnes)
Collision avion	04/2008	Plouguin	Finistère	2	2004	Non	Léger choc entre l'aile d'un bimoteur Beechcraftch (liaison Ouessant-Brest) et une pale d'éolienne à l'arrêt. Perte d'une pièce de protection au bout d'aile. Mise à l'arrêt de la machine pour inspection.	Mauvaise météo, conditions de vol difficiles (sous le plafond des 1000m imposé par le survol de la zone) et faute de pilotage (altitude trop basse)	Articles de presse (Le Télégramme, Le Post)	Ne concerne pas directement l'étude de dangers (accident aéronautique)
Rupture de pale	19/07/2008	Erize-la-Brûlée - Voie Sacrée	Meuse	2	2007	Oui	Chute de pale et projection de morceaux de pale suite à un coup de foudre	Foudre + défaut de pale	Communiqué de presse exploitant Article de presse (l'Est Républicain 22/07/2008)	-
Incendie	28/08/2008	Vauvillers	Somme	2	2006	Oui	Incendie de la nacelle	Problème au niveau d'éléments électroniques	Dépêche AFP 28/08/2008	-
Rupture de pale	26/12/2008	Raival - Voie Sacrée	Meuse	2	2007	Oui	Chute de pale		Communiqué de presse exploitant Article de presse (l'Est Républicain)	-
Maintenance	26/01/2009	Clastres	Aisne	2,75	2004	Oui	Accident électrique ayant entraîné la brûlure de deux agents de maintenance	Accident électrique (explosion d'un convertisseur)	Base de données ARIA	Ne concerne pas directement l'étude de dangers (accident sur le personnel de maintenance)
Rupture de pale	08/06/2009	Bollène	Vaucluse	2,3	2009	Oui	Bout de pale d'une éolienne ouvert	Coup de foudre sur la pale	Interne exploitant	Non utilisable dans les chutes ou les projections (la pale est restée accrochée)

Type d'accident	Date	Nom du parc	Département	Puissance (en MW)	Année de mise en service	Technologie récente	Description sommaire de l'accident et dégâts	Cause probable de l'accident	Source(s) de l'information	Commentaire par rapport à l'utilisation dans l'étude de dangers
Incendie	21/10/2009	Froidfond - Espinassière	Vendée	2	2006	Oui	Incendie de la nacelle	Court-circuit dans transformateur sec embarqué en nacelle ?	Article de presse (Ouest-France) Communiqué de presse exploitant Site FED	-
Incendie	30/10/2009	Freyssenet	Ardèche	2	2005	Oui	Incendie de la nacelle	Court-circuit faisant suite à une opération de maintenance (problème sur une armoire électrique)	Base de données ARIA Site FED Article de presse (Le Dauphiné)	-
Maintenance	20/04/2010	Toufflers	Nord	0,15	1993	Non	Décès d'un technicien au cours d'une opération de maintenance	Crise cardiaque	Article de presse (La Voix du Nord 20/04/2010)	Ne concerne pas directement l'étude de dangers (accident sur le personnel de maintenance)
Effondrement	30/05/2010	Port la Nouvelle	Aude	0,2	1991	Non	Effondrement d'une éolienne	Le rotor avait été endommagé par l'effet d'une survitesse. La dernière pale (entière) a pris le vent créant un balourd. Le sommet de la tour a plié et est venu buter contre la base entraînant la chute de l'ensemble.	Interne exploitant	-
Incendie	19/09/2010	Montjoyer-Rochefort	Drôme	0,75	2004	Non	Emballage de deux éoliennes et incendie des nacelles.	Maintenance en cours, problème de régulation, freinage impossible, évacuation du personnel, survitesse de +/- 60 tr/min	Articles de presse Communiqué de presse SER-FEE	-
Maintenance	15/12/2010	Pouillé-les-Côteaux	Loire Atlantique	2,3	2010	Oui	Chute de 3 m d'un technicien de maintenance à l'intérieur de l'éolienne. L'homme de 22 ans a été secouru par le GRIMP de Nantes. Aucune fracture ni blessure grave.		Interne SER-FEE	Ne concerne pas directement l'étude de dangers (accident sur le personnel de maintenance)
Transport	31/05/2011	Mesvres	Saône-et-Loire	-	-	-	Collision entre un train régional et un convoi exceptionnel transportant une pale d'éolienne, au niveau d'un passage à niveau Aucun blessé		Article de presse (Le Bien Public 01/06/2011)	Ne concerne pas directement l'étude de dangers (accident de transport hors site éolien)
Rupture de pale	14/12/2011	Non communiqué	Non communiqué	2,5	2003	Oui	Pale endommagée par la foudre. Fragments retrouvés par l'exploitant agricole à une distance n'excédant pas 300 m.	Foudre	Interne exploitant	Information peu précise sur la distance d'effet
Incendie	03/01/2012	Non communiqué	Non communiqué	2,3	2006	Oui	Départ de feu en pied de tour. Acte de vandalisme : la porte de l'éolienne a été découpée pour y introduire des pneus et de l'huile que l'on a essayé d'incendier. Le feu ne s'est pas propagé, dégâts très limités et restreints au pied de la tour.	Malveillance / incendie criminel	Interne exploitant	Non utilisable directement dans l'étude de dangers (pas de propagation de l'incendie)
Rupture de pale	05/01/2012	Widehem	Pas-de-Calais	0,75	2000	Non	Bris de pales, dont des fragments ont été projetés jusqu'à 380 m. Aucun blessé et aucun dégât matériel (en dehors de l'éolienne).	Tempête + panne d'électricité	Article de presse (La Voix du Nord 06/01/2012) Vidéo DailyMotion Interne exploitant	-

Voici la liste complémentaire de l'accidentologie INERIS basée sur la consultation de la base de données ARIA en date du 27/10/2022 et recensant des accidents survenus¹⁰ du 01/01/2012 au 30/04/2022 :

- **04/01/2012 - WIDEHEM (62) – Projection de pale/morceau de pale** : Vers 20h50, alors que le vent souffle en rafales à plus de 100 km/h, les 6 éoliennes d'un parc se mettent en arrêt de sécurité. Sur l'une d'elles, une pale se disloque, percute le mât puis une seconde pale. Des débris sont projetés à 160° jusqu'à 380 m sur 4,3 ha. Des usagers de l'A16 voisine signalent l'accident à l'aube. Sur place à 8h30, la force publique met en place un périmètre de sécurité. La vitesse sur l'autoroute est localement réduite à 90 km/h. La dépose des pales endommagées débute le 09/01. Les 5,4 t de déchets industriels banals, soit 35 m³, sont éliminées par la filière adaptée. Un arrêté préfectoral impose le maintien à l'arrêt des installations dans l'attente d'une réparation et d'essais confirmant leur sécurité. Les pertes matérielles sont estimées à 800 kEuros. Le manque à gagner se chiffre à 20 kEuros par semaine d'arrêt. Juste avant l'accident, une perte d'alimentation sur le réseau 20 kV pendant 300 ms a provoqué l'indisponibilité prolongée du poste source alimentant le site. Cette coupure électrique a déclenché la mise en sécurité passive des éoliennes (ouverture des électrovannes commandant le circuit hydraulique de freinage). Selon l'exploitant, les violentes rafales instantanées (150 km/h) enregistrées le 3/01 ont pu endommager la pale en générant des efforts excédant les valeurs admissibles. Les fortes contraintes mécaniques lors de l'arrêt brutal de la rotation auraient alors déclenché sa dislocation. L'intrados de la pale se serait séparé de l'extrados avant de percuter le mât puis l'autre pale. L'éolienne détruite était également la seule du parc dépourvue de dispositif de freinage aérodynamique en bout de pale actionné par la force centrifuge. Elle en sera désormais équipée. Ce système protège mécaniquement les pales en réduisant la vitesse de rotation avant l'activation du frein hydraulique. Suite à l'accident, la vitesse de bridage des éoliennes est par ailleurs temporairement abaissée de 25 à 19 m/s. Ce modèle d'éolienne installé au début des années 2000 est impliqué dans au moins 2 autres accidents (ARIA 29385 et 38999).
- **06/02/2012 – LEHAUCOURT (02) – Accident de maintenance** : Vers 11 h au cours d'une opération de maintenance dans la nacelle d'une éolienne de 100 m de hauteur, un arc électrique (690 V) blesse deux sous-traitants, l'un gravement (brûlures aux mains et au visage) et l'autre légèrement (brûlures aux mains). Les 2 victimes descendent par leurs propres moyens. Les pompiers hospitalisent l'employé le plus gravement atteint et s'assurent qu'il n'y a plus de risque dans la nacelle. Le maire s'est rendu sur place. La gendarmerie et l'inspection du travail effectuent des enquêtes. Les victimes portaient leurs EPI lors des faits. Un accident similaire s'était produit en 2009 (ARIA 35814).
- **11/04/2012 - SIGEAN (11) – Projection de pale/morceau de pale** : Une éolienne se met en arrêt automatique suite à l'apparition d'un défaut à 10 h. Des agents de maintenance la réarment à 12h14. Un défaut de vibration apparaît 11 minutes plus tard. Sur place, les techniciens constatent la présence d'un impact sur le mât et la projection à 20 m d'un débris de pale long de 15 m. Un périmètre de sécurité de 100 m est mis en place et l'éolienne est mise en sécurité (pales en drapeau). Au moment de l'accident, la vitesse du vent était de 10 à 12 m/s. L'inspection des installations classées a été informée. L'expertise d'assurance attribue l'accident à un impact de foudre sur l'éolienne. Un an plus tard, celle-ci est toujours arrêtée.
- **18/05/2012 – FRESNAY-L'EVEQUE (28) – Chute de pale** : Dans un parc de 26 éoliennes de 2 MW mis en service en 2008, un aérogénérateur est mis à l'arrêt vers 3 h suite à la détection d'une oscillation anormale. L'équipe de maintenance d'astreinte constate à 8 h la chute d'une pale (9 t, 46 m) au pied de l'installation et la rupture du roulement qui raccordait la pale au hub. Le pied de mat se situe à 190 m de la D389 et à 400 m de l'A10. L'analyse des relevés des capteurs et des comptes-rendus d'entretien ne révèle aucune anomalie ni signe précurseur (contraintes anormales qui auraient pu endommager le roulement, vibration suspecte avant la rupture, différence d'orientation des pales, défaut d'aspect visuel lors des contrôles...). Des traces de corrosion sont détectées dans les trous d'alésages traversant une des bagues du roulement reliant pale et hub. Selon le fabricant, cette corrosion proviendrait des conditions de production et de stockage des pièces constitutives du roulement. L'installation est remise en service fin octobre après remplacement de la pale endommagée et mise en place de nouveaux roulements possédant une protection contre la corrosion. L'exploitant demande à l'entreprise en charge de la maintenance, et fabricante, des éoliennes du parc de :
 - procéder au contrôle visuel des roulements de l'ensemble des éoliennes tous les 3 mois.
 - procéder au contrôle acoustique des roulements et de mesurer le niveau de corrosion.
 - supprimer la corrosion des alésages à risque.
 - contrôler l'absence de fissures résiduelles par courant de Foucault.
- Les roulements de toutes les éoliennes du parc sont remplacés au cours de l'été 2018.
- **30/05/2012 – PORT-LA-NOUVELLE (11) – Effondrement d'éolienne** : Les rafales de vent à 130 km/h observées durant la nuit ont provoqué l'effondrement de la tour en treillis de 30 m de haut et la chute d'une éolienne. Construit en 1991, l'aérogénérateur de 200 kW faisait partie des premières installations de ce type en France. Il était à l'arrêt pour réparations au moment des faits. Le site, ouvert au public, est sécurisé.
- **01/11/2012 – VIEILLESPESE (15) – Chute d'un élément** : Un élément de 400 g constitutif d'une pale d'éolienne est projeté à 70 m du mât, à l'intérieur de la parcelle clôturée du parc de 4 aérogénérateurs de 2,5 MW mis en service en 2011.
- **05/11/2012 – SIGEAN (11) – Incendie** : Un feu se déclare vers 17 h sur une éolienne de 660 kW au sein d'un parc éolien ; un voisin donne l'alerte à 17h30. Des projections incandescentes enflamme 80 m² de garrigue environnante. Les pompiers éteignent l'incendie vers 21h30. L'exploitant met en place un balisage de sécurité à l'aube le lendemain. A la suite de la chute d'une pale à 15h20, un gardiennage 24 h / 24 est mis en place. Le 08/11, la municipalité interdit par arrêté l'accès au chemin menant à l'éolienne. Le feu s'est déclaré en partie basse de l'éolienne (transformateur ou armoire basse tension). Les flammes ont ensuite atteint la nacelle, sans doute en se propageant le long des câbles électriques (non résistants au feu) à l'intérieur du mât. Un dysfonctionnement du frein de l'éolienne à la suite de la perte des dispositifs de pilotage résultant de l'incendie en pied pourrait avoir agi comme circonstance aggravante. Cet accident met en lumière la nécessaire tenue au feu des câbles, les possibilités de suraccident (propagation de l'incendie à la végétation environnante, chute de pale) et des pistes d'amélioration dans la détection et la localisation des incendies d'éoliennes, ainsi que dans la réduction des délais d'intervention.
- **06/03/2013 CONILHAC-DE-LA-MONTAGNE (11) – Chute de pale** : A la suite d'un défaut de vibration détecté à 19h05, une éolienne se met automatiquement à l'arrêt. Sur place le lendemain à 9 h, des techniciens du constructeur trouvent au sol l'une des 3 pales qui s'est décrochée avant de percer le mât. L'éolienne est mise en sécurité (2 pales restantes mises en drapeau, blocage du rotor, inspection du moyeu). Un périmètre de sécurité de 30 m est établi au pied de l'éolienne et la municipalité interdit l'accès à la zone. L'accident est déclaré à l'inspection des installations classées 48 h plus tard. L'une des pales de cette éolienne avait déjà connu un problème de fixation en novembre 2011. Les fixations de cette pale au moyeu avaient été remplacées et le serrage des vis des 2 autres avait été contrôlé en avril 2012. La veille du défaut de vibration, la machine s'était arrêtée après la détection d'un échauffement du frein et d'une vitesse de rotation excessive de la génératrice. Un technicien l'avait remise en service le matin même de l'accident sans avoir constaté de défaut.
- **17/03/2013 EUVY (51) – Incendie** : Des usagers de la N4 signalent vers 15h30 un feu dans la nacelle d'une éolienne. L'exploitant arrête 7 des 18 aérogénérateurs du parc. Un périmètre de sécurité de 150 m est mis en place. Le sinistre émet une importante fumée. Une des pales tombe au sol, une autre menace de tomber. Des pompiers spécialisés dans l'intervention en milieux périlleux éteignent le feu en 1 h. 450 l d'huile de boîte de vitesse s'écoulent, conduisant l'exploitant à faire réaliser une étude de pollution des sols. Les maires des communes voisines se sont rendus sur place. Au moment du départ de feu, le vent soufflait à 11 m/s. La puissance de l'éolienne était proche de sa puissance nominale. La gendarmerie évoque une défaillance électrique après avoir écarté la malveillance. Le parc, mis en service en 2011, avait déjà connu un incendie quelques mois plus tôt selon la presse. Les 18 machines sont inspectées. A la suite de l'accident, l'exploitant et la société chargée de la maintenance étudient la possibilité d'installer des détecteurs de fumées dans les éoliennes.
- **20/06/2013 - LABASTIDE-SUR-BESORGUES (07) – Foudre** : Un impact de foudre endomme vers 15h30 une éolienne : une pale est déchirée sur 6 m de longueur, le boîtier basse tension et le parafoudre en tête d'installation au poste de livraison sont détruits. Des installations du réseau électrique et téléphonique sont également endommagées. L'éolienne est mise en sécurité et un périmètre de sécurité est établi. La municipalité, l'aviation civile (défaut de balisage), les services de l'électricité et du téléphone, la société en charge de la maintenance et l'inspection des installations classées sont informés. L'impact enregistré le plus proche de l'éolienne au moment de l'orage est donné avec une intensité de 94 kA. L'exploitant change les 3 pales et redémarre l'éolienne le 02/08/13. Le fabricant de l'éolienne indique que ce type d'incident est exceptionnel (incursion d'un arc électrique dans la pale conduisant à une montée en pression de l'air intérieur), aucune dérive fonctionnelle du système parafoudre n'ont été trouvées.
- **01/07/2013 CAMBON-ET-SALVERGUES (34) – Accident de maintenance** : Un opérateur remplissant un réservoir d'azote sous pression dans une éolienne est blessé par la projection d'un équipement. Alors qu'il vient de faire l'appoint en gaz d'un cylindre sous pression faisant partie du dispositif d'arrêt d'urgence des pales d'une éolienne, un technicien de maintenance démonte l'embout d'alimentation visseable. Une partie de la visserie de la vanne de fermeture reste solidaire de l'embout et se dévisse avec lui. L'ensemble démonté est projeté au visage de l'opérateur et lui brise le nez et plusieurs dents. Le jet de gaz affecte ses voies respiratoires. Descendue de la nacelle de l'éolienne avec l'assistance de son collègue, la victime est hospitalisée. La gendarmerie place l'accumulateur de gaz sous scellé pour être expertisé. Afin d'éviter de tels accidents, la visserie de la vanne présentait une petite perforation destinée à alerter l'opérateur : un sifflement et une formation de glace liée à la détente du gaz se produisent 4 tours et demi avant le dévissage total. La survenue de l'accident malgré ce dispositif amène l'exploitant à repenser la procédure d'alimentation de l'accumulateur de gaz dans la configuration exigüe de la nacelle d'éolienne : 8 000 machines sont potentiellement concernées. Dans l'attente des résultats d'expertise, les accumulateurs seront remplis en usine après démontage.
- **03/08/2013 MOREAC (56) – Fuite d'huile** : Une nacelle élévatrice utilisée pour une intervention de maintenance sur une éolienne perd 270 l d'huile hydraulique. Le produit pollue le sol sur 80 m². 25 t de terres polluées sont excavées et envoyées en filière spécialisée.
- **09/01/2014 ANTHENY (08) - Incendie** : Un feu se déclare vers 18 h au niveau de la partie moteur d'une éolienne de 2,5 MW. Le parc éolien est isolé électriquement. Un périmètre de sécurité de 300 m est instauré. Le feu s'éteint de lui-même vers 20 h. La nacelle est détruite, le rotor est intact. Le balise aéronautique de la machine étant hors-service, les services de l'aviation civile

¹⁰ Les accidents liés à la mortalité d'espèces protégées ne sont ici pas pris en compte du fait de leur intérêt limité dans le cadre la présente étude de dangers (Cf. ARIA 55824, ARIA 55778, ARIA 55823, ARIA 55461).

sont alertés. La presse évoque un incident électrique pour expliquer le départ de feu. L'éolienne sinistrée est démantelée le 17/06 par basculement à l'explosif. Cette opération nécessite la mise en place d'un périmètre de sécurité d'un kilomètre.

- **20/01/2014 SIGEAN (11) - Chute de pale :** Une des éoliennes d'un parc s'arrête automatiquement à 3h09 à la suite d'un défaut « vibration ». Sur place à 9h30, les techniciens de maintenance (assurée par le fabricant des éoliennes) retrouvent une pale de 20 m au pied du mât. Les 2 autres pales sont toujours en place. Un périmètre de sécurité de 100 m est établi autour de l'éolienne et surveillé par une société de gardiennage pour éviter l'intrusion de tiers. L'ensemble des machines du parc est mis à l'arrêt pour inspection puis redémarré, à l'exception de l'éolienne endommagée dont la pale sera remplacée. L'exploitant informe l'inspection des installations classées ainsi que la mairie et déclare le sinistre auprès de ses assureurs dans l'après-midi. Le morceau de pale détaché est évacué du site en vue d'une expertise. Lors de l'accident le vent soufflait entre 18 m/s et 22 m/s. L'expertise identifie la cause directe de la chute de la pale : des fissures sont détectées sur la pièce en aluminium appelée « alu ring », située à la base de la pale. Cette pièce sert de jonction entre la pale en fibre de verre et le moyeu métallique. Toutes les éoliennes du parc, sauf une, sont équipées de cette pièce. Avant remise en service du parc (qui avait été mis à l'arrêt suite à l'incident), des contrôles ultrasonores sont réalisés sur l'ensemble des pièces « alu ring ». 2 pales sont maintenues à l'arrêt à cause de la découverte d'une fissuration avancée de cette pièce. L'exploitant prévoit le remplacement, d'ici fin 2014, des pales des éoliennes à l'arrêt par des pièces faisant l'objet d'un nouveau design. Les autres feront l'objet d'un contrôle périodique afin de suivre l'évolution des fissures et de pouvoir programmer, le cas échéant, le remplacement ou la réparation des pales défectueuses.
- **14/11/2014 SAINT-CIRGUES-EN-MONTAGNE (07) - Projection de pale/morceau de pale :** La pale d'une éolienne chute vers 15h10 lors d'un orage. Des rafales de vent atteignent les 130 km/h. L'élément principal chute au pied de l'éolienne, mais certains débris sont projetés à 150 m. Les secours établissent un périmètre de sécurité et ferment la voie d'accès. L'exploitant sécurise la pale endommagée et bloque la rotation de la nacelle. L'installation est expertisée et les 8 autres éoliennes du parc sont inspectées.
- **05/12/2014 FITOU (11) - Projection de pale/morceau de pale :** A leur arrivée dans un parc éolien, des techniciens de maintenance constatent que l'extrémité d'une pale d'une éolienne est au sol. Il s'agit d'une des 2 parties de l'aérofrein de la pale. Cette partie, en fibre de verre, mesure 3 m de long. Elle est retrouvée à 80 m du mât. La seconde partie de l'aérofrein constitue sa partie mécanique interne. Ces éléments-là sont encore en place sur la pale. L'éolienne est arrêtée et mise en sécurité, la pale endommagée vers le bas. L'exploitant effectue une inspection visuelle des pales des 8 autres éoliennes du parc. En première approche, l'exploitant attribue l'incident à une défaillance matérielle ou à un décollage sur les plaques en fibre de verre. Les morceaux récupérés au sol sont envoyés au centre de maintenance de l'exploitant pour expertise.
- **29/01/2015 REMIGNY (02) – Incendie :** A 6h25 un feu se déclare dans une éolienne. Celle-ci est automatiquement mise à l'arrêt sur alarme du détecteur de fumée. Sur place à 7h30, des employés constatent la présence de flammes et de fumée. Ils alertent les pompiers. A cause des fumées, ces derniers ne parviennent pas à approcher de la source de l'incendie. Ils doivent attendre leur dissipation. A 9h20 ils réussissent à progresser dans l'éolienne et éteignent l'incendie. Les dommages matériels sont estimés à 150 k€. Les 1 500 l d'eau utilisés pour le nettoyage sont pompés. Un défaut d'isolation au niveau des connexions des conducteurs de puissance serait à l'origine du sinistre. Le câble mis en cause assure la jonction entre la base et le haut de la tour. Ce défaut aurait provoqué un arc électrique entre 2 phases ce qui aurait initié l'incendie. L'éolienne n'était pas encore en exploitation, mais en phase de test. L'exploitant prévoit de tester la qualité de l'isolation de tous les câbles de puissance avant la mise en service. Il prévoit également de réaliser des mesures thermiques sur tous les câbles de puissance à 80% de leur charge nominale.
- **06/02/2015 LUSSERAY (79) - Incendie :** Vers 15h30, un feu se déclare dans une éolienne, au niveau d'une armoire électrique où interviennent 2 techniciens. Ces derniers éteignent l'incendie avec 2 extincteurs. L'éolienne est hors service le temps des réparations.
- **24/08/2015 SANTILLY (28) – Incendie :** Un feu se déclare vers 13h30 sur le moteur d'une éolienne situé à 90 m de hauteur. La nacelle étant trop haute pour la grande échelle des pompiers, ces derniers décident de laisser brûler le foyer sous surveillance. Les chemins menant à l'éolienne sont interdits à la circulation.
- **10/11/2015 MENIL-LA-HORGNE (55) - Chute de pales :** Vers 22h30, les 3 pales et le rotor d'une éolienne, dont la nacelle se situe à 85 m de haut, chutent au sol. Le transformateur électrique, à son pied, est endommagé. De l'huile s'en écoule mais reste confinée dans la rétention. Le centre de supervision à distance du parc constate la perte de communication avec l'éolienne. Il la découpe du réseau. Le lendemain, les agents de maintenance constatent sur place la rupture du rotor. Ils sécurisent la zone. Les 6 autres éoliennes du parc sont mises à l'arrêt. Les débris, disséminés sur 4000 m², sont ramassés. Selon l'exploitant, les premières constatations indiqueraient une défaillance de l'arbre lent, qui assure la jonction entre le rotor et la multiplicatrice. Elle trouverait son origine dans un défaut de fabrication de la pièce. Une non-conformité dans le processus de moulage de cette pièce de fonderie en acier est suspectée. Un défaut métallurgique, de type inclusion de laitier, aurait fragilisé la pièce et conduit à sa rupture par fatigue. Les contrôles réalisés sur les autres éoliennes du parc ont mis en évidence que ce type de défaut était présent sur un des autres arbres lents, au même niveau que celui accidenté. Au total 54 éoliennes du même modèle sont installées en France. Les services du ministère du développement durable demandent au fabricant d'établir un programme de contrôle adapté. A la suite des contrôles effectués sur les autres arbres lents du même parc d'éolienne, 2 d'entre eux sont remplacés.
- **07/02/2016 CONILHAC-CORBIERES (11) – Chute de pale/morceau de pale :** Vers 11h30, l'aérofrein d'une des 3 pales d'une éolienne se rompt et chute au sol. L'exploitant procède à l'arrêt de l'ensemble du parc éolien à distance. Les secours sécurisent les lieux. Les premières investigations indiqueraient qu'un point d'attache du système mécanique de commande de l'aérofrein (système à câble) se serait rompu, ce qui aurait actionné l'ouverture de l'aérofrein. Du fait des fortes charges présentes sur le rotor, l'axe en carbone qui maintient l'aérofrein à la pale et/ou le point d'ancrage de cet axe, se serait alors rompu. Une campagne de contrôle des pales, aérofreins et de la chaîne de sécurité de chaque éolienne est réalisée.
- **08/02/2016 DINEAULT (29) - Projection de pale/morceau de pale:** Lors d'une tempête, des vents à 160 km/h endommagent une éolienne : une pale chute au sol, une autre se déchire. La pale rompue est retrouvée à 40 m du pied du mat. Dans les 2 cas, les manchons des pales sont restés arrimés au moyeu. L'exploitant met en sécurité les 4 éoliennes du parc. Les secours établissent un périmètre de sécurité de 350 m. L'éolienne, de 29 m de hauteur, datait de 1999 (puissance unitaire de 300 kW).
- **07/03/2016 CALANHEL (22) - Chute de pale :** Vers 18 h, une des pales d'une éolienne se rompt et chute à 5 m du pied du mât. La turbine s'arrête automatiquement. L'exploitant est alerté par un agriculteur. Un intervenant se rend sur place et constate les dégâts. Le mât est endommagé dans sa partie haute, causé par un choc avec la pale, sans présenter de risque de chute. Il balise la zone pour prévenir des chutes possibles d'éléments du rotor. 8 autres turbines du parc sont mises à l'arrêt. Les 2 dernières, ayant fait l'objet d'une révision intégrale récente, sont maintenues en fonctionnement. Le lendemain, le site est sécurisé. La pale est déplacée, en dehors de la zone de culture. Les gros débris composés de matériaux composites et d'éléments mécaniques métalliques, projetés sur 50 m, sont regroupés pour expertise. La totalité des 54 billes de roulement est récupérée. Les débris de petite taille ne pouvant être retirés intégralement, les exploitants des parcelles agricoles concernées sont informés. La zone d'entreposage est balisée. L'inspection des éléments mécaniques au sol et du rotor permet d'envisager une défaillance du système d'orientation de la pale. Celle-ci aurait entraîné la rupture de la couronne extérieure du roulement à bille puis la libération de la couronne intérieure solidaire de la pale. L'éolienne avait fait l'objet d'une maintenance complète en septembre 2015. Son roulement ne présentait pas d'usure anormale. Cependant, une série d'alarmes était survenue le matin de l'événement. Une panne sur un groupe hydraulique avait nécessité l'intervention des équipes de maintenance. Après réparation, l'éolienne avait été redémarrée vers 14 h. L'exploitant prend les mesures immédiates suivantes :
 - démantèlement de l'éolienne impactée ;
 - réalisation d'un protocole de contrôle, par le fabricant, du roulement et de la boulonnnerie de toutes les pales avant redémarrage des unités arrêtées ;
 - inhibition du réarmement automatique de la turbine sur apparition d'une alarme de dysfonctionnement du système d'orientation des pales ;
 - limitation de la puissance produite à 650 kW (au lieu de 800 kW) pour une période d'observation de 7 jours.
- **28/05/2016 JANVILLE (28) - Fuite d'huile :** À 15h15, un employé constate un écoulement d'huile sous la nacelle d'une éolienne. Il arrête celle-ci et contacte l'équipe de maintenance. Arrivés à 17 h, les agents mettent en place des absorbants. L'écoulement d'huile est récupéré avant d'avoir atteint le sol. La défaillance d'un raccord sur le circuit de refroidissement de l'huile de la boîte de vitesse de l'éolienne est à l'origine de la fuite. L'installation est réparée 2 jours plus tard. L'exploitant engage une campagne de remplacement des raccords identiques du parc.
- **10/08/2016 HESCAMPS (80) - Incendie :** Vers 15 h, un feu se déclare dans la partie haute d'une éolienne, au niveau du rotor. Un technicien maîtrise l'incendie avant l'arrivée des pompiers. Il redescend seul les 70 m de l'échelle intérieure de l'éolienne. Il est légèrement intoxiqué par les fumées. Les pompiers contrôlent l'extinction complète et procèdent à la ventilation. Une défaillance électrique serait à l'origine du départ de feu.
- **18/08/2016 DARGIES (60) - Incendie :** Un technicien de maintenance d'un parc éolien constate vers 9 h qu'une éolienne ne tourne plus. Il découvre que de la fumée s'échappe de la tête de l'éolienne, à 80 m de haut. Des pompiers spécialisés dans les interventions en milieux périlleux effectuent une reconnaissance en partie haute de la machine. Ils ouvrent une trappe de ventilation. Une défaillance électrique serait à l'origine de l'incendie. L'armoire électrique ou le pupitre de commande en serait le point de départ.
- **14/09/2016 LES GRANDES CHAPELLES (10) – Accident de maintenance :** Vers 15 h, un employé est électrisé alors qu'il intervient dans le nez d'une éolienne. Les pompiers spécialisés dans les interventions en hauteur évacuent la victime consciente.
- **11/01/2017 - LE QUESNOY (59) - Fissure sur une pale d'éolienne :** Une fissure est constatée sur une pale d'une éolienne. L'exploitant arrête l'installation. L'expertise de la pale conclut que le dommage est suffisamment réduit pour être réparable. Il n'est donc pas nécessaire de procéder à son remplacement. L'exploitant envisage d'effectuer cette réparation au printemps, lorsque les conditions météorologiques permettront d'intervenir sans la déposer. Selon l'exploitant, le défaut ne présente pas de caractère générique.
- **12/01/2017 - TUCHAN (11) – Chute de pale :** Vers 4 h, au cours d'un épisode de vents violents, les 3 pales d'une éolienne chutent au sol. L'exploitant collecte les morceaux de fibre de carbone répartis autour du mat de 40 m de l'éolienne. Des impacts sur le mat sont visibles. Il met en place des barrières et un gardiennage pour en sécuriser l'accès. L'éolienne, de 600 kW mise en service en 2002, était à l'arrêt pour maintenance suite à la casse totale de son arbre lent quelques jours auparavant. Cette rupture a eu

pour conséquence le désaccouplement du rotor avec le multiplicateur, donc de rendre inopérant le frein mécanique. Bien que mise en position de sécurité (parallèle au vent et aérofrein des pales activé), les vents à 25 m/s ont provoqué la rupture des pales à cause d'une vitesse de rotation excessive. Après expertise, l'exploitant conclut que la cause la plus probable de la casse de l'arbre lent est un endommagement du roulement avant sur lequel l'arbre est posé. Cette défaillance aurait induit une contrainte importante en flexion sur la partie arrière, à l'entrée dans le multiplicateur, provoquant sa rupture. Aucune faiblesse n'est identifiée dans la structure de la matière de l'arbre. Les contrôles réalisés sur les autres installations de son parc ne détectent pas d'anomalie. Afin d'éviter le renouvellement de cet incident, l'exploitant prévoit d'équiper tous ses aérogénérateurs d'un capteur inductif de présence. Couplé au système de contrôle/commande de l'éolienne, ceci permettrait de mettre l'éolienne en sécurité dès que le roulement avant viendrait à s'affaisser de plus de 1 mm. Dans pareil cas, un contrôle visuel et fonctionnel de l'ensemble roulement/arbre lent serait engagé. De plus, un contrôle vibratoire de la chaîne d'entrainement est planifié à intervalles réguliers afin de détecter un éventuel défaut d'alignement ou une contrainte particulière.

L'éolienne accidentée est remise en service après réparation de son mât et remplacement des pièces endommagées (pales, multiplicateur, arbre lent).

- **18/01/2017 - NURLU (80) - Chute de pale :** Un particulier constate qu'une pale d'éolienne est tombée au sol et s'est brisée en plusieurs morceaux. Il informe l'exploitant qui arrête toutes les machines du parc en activité. Arrivés sur site à 11h30, des agents demandent la mise en sécurité de l'éolienne et mettent en place un périmètre de sécurité autour de la zone. Selon la presse, la tempête survenue quelques jours auparavant pourrait être à l'origine de la chute. Sur place le lendemain, l'inspection des installations classées constate que les 2/3 de la pale sont brisés, mais que son armature est toujours en place. L'essentiel des débris se situe à moins de 90 m du mât. Les débris les plus lourds sont à moins de 27 m.
- **27/02/2017 LAVALLEE (55) – Projection de pale/morceau de pale :** Lors d'un orage, la pointe d'une pale d'éolienne se rompt. L'extrémité, de 7 à 10 m, est retrouvée au sol, en 3 morceaux, à 200 m de l'éolienne. L'ensemble du parc éolien, qui compte 4 éoliennes de 2 MW et 80 m de haut, est mis à l'arrêt. Les débris sont ramassés et traités par une société spécialisée, pour expertise. Un orage violent s'est abattu sur la zone de 18 h à 18h30. À 18h07, l'alarme "vent fort" de l'éolienne voisine s'est déclenchée. L'alarme "capteur de vibration" de l'éolienne endommagée s'est déclenchée à la même heure. À 18h10, le réseau électrique a été coupé, provoquant la perte de liaison avec le parc éolien. L'exploitant a découvert la casse le lendemain en se rendant sur place pour remettre le parc en service. Le parc a été mis en service en février 2011.
- **27/02/2017 TRAYES (79) - Projection de pale/morceau de pale :** Vers 22 h, le système d'exploitation d'un parc éolien émet des alertes portant sur l'éolienne n°4 : mise à l'arrêt de l'éolienne et incohérence entre les vitesses de rotation du rotor et de l'arbre de la génératrice électrique. Le lendemain matin, l'exploitant constate sur place que les 7 derniers mètres d'une pale de 44 m, se sont désolidarisés. Plusieurs fragments de la pale sont projetés jusqu'à 150 m du mât, haut lui-même de 78 m. L'exploitant place les 5 éoliennes en position de sécurité et initie des expertises. Il collecte les débris et sécurise le site. L'exploitant envisage les facteurs suivants, seuls ou combinés, comme cause du bris de pale :
 - défaut au niveau du bord d'attaque de la pale ;
 - impact de la foudre ;
 - fortes rafales de vent.

À l'issue des contrôles sur les 4 autres éoliennes du parc, 2 d'entre elles sont remises en service. Des défauts sont découverts sur les 2 autres :

- les plans de collages entre la poutre structurelle interne (le spar) et les demi-coques aérodynamiques (blade shells) présentent par endroits d'importantes zones de décohésion ;
- des fissurations, portant atteinte aux structures des coques aérodynamiques et des plans de collages des bords d'attaque et bords de fuite des pales, sont présentes ;
- des collecteurs de foudre (diverter strip) sont manquants ou endommagés à la pointe de certaines pales.

L'exploitant s'engage à réaliser les réparations nécessaires avant la remise en service de ces 2 éoliennes.

- **06/06/2017 ALLONNES (28) - Incendie :** Vers 18 h, un feu se déclare dans la nacelle d'une éolienne. L'exploitant met en sécurité les 17 machines du parc éolien. Les secours coupent la circulation sur la N154. L'incendie s'éteint seul, à la fin de la combustion de la nacelle, vers 19h30. La nacelle et le rotor sont totalement calcinés. Une partie des pales ainsi que le haut du mât ont été touchés par l'incendie. Des éléments sont tombés au sol. L'exploitant met en place un gardiennage. Le lendemain, l'inspection des installations classées se rend sur les lieux. Des coulures d'hydrocarbures sont constatées sur le mât. Les dégâts sont de nature à compromettre la stabilité mécanique du mât, de la nacelle, des pales et du rotor de l'éolienne. En première hypothèse, l'exploitant indique qu'un défaut des condensateurs du boîtier électrique, situé dans la nacelle, pourrait être à l'origine du sinistre. Il exclut la piste d'un impact de foudre. Un arrêté préfectoral d'urgence demande à l'exploitant :
 - la mise en sécurité de l'éolienne avec démontage des éléments risquant de chuter et matérialisation d'un périmètre de sécurité de 300 m ;
 - une surveillance de l'environnement avec analyse de la pollution des sols et évacuations des déchets.

L'éolienne est démantelée le 17/06/17.

- **08/06/2017 - AUSSAC-VADALLE (16) - Chute de pale :** Durant la nuit lors d'un orage, une partie d'une pale d'une éolienne chute au sol. Le lendemain matin, l'exploitant arrête les 4 éoliennes de son parc. Il collecte les débris tombés dans une zone de 50 à 100 m du mât et met en place un balisage. Il avertit l'exploitant agricole propriétaire du champ où est installée l'éolienne. L'expertise réalisée par le fabricant de la pale conclut qu'un impact de foudre est à l'origine de sa rupture. Survenu à 35 cm de l'extrémité, il a entraîné la rupture du bord de fuit, puis une déchirure du fragment. Le dispositif de protection contre la foudre ne montre pas de défaut.
- **24/06/2017 CONCHY-SUR-CANCHE (62) - Chute de pale :** Vers 23h30, une pale d'une éolienne se brise au niveau de sa jonction avec le rotor dans un parc éolien. La pale chute à la verticale, au pied du mât. Les quelques débris projetés sont présents dans un rayon de 20 m. L'exploitant arrête l'installation ainsi que les 4 autres aérogénérateurs du site, du même modèle. Il met en place un périmètre de sécurité et condamne l'accès au site. Le vent était faible au moment de l'événement.
- **17/07/2017 FECAMP (76) - Chute de pale/morceau de pale :** Vers 23h30, un aérofrein se détache d'une pale d'éolienne dans un parc éolien. Le lendemain matin, un agent de maintenance découvre l'équipement au pied du mât de 49 m. La clôture du site est endommagée. L'éolienne est arrêtée. Un arrêt pour maintenance étant programmé 6 jours après, les autres aérogénérateurs du site sont maintenus en fonctionnement. Durant cet arrêt, les mécanismes d'aérofreins et les pales de toutes les machines sont inspectées. L'aérofrein défectueux est remplacé. L'installation redémarre le 16/08/17. L'exploitant conclut que le desserrage d'une vis anti-rotation a provoqué la chute de l'aérofrein. Un problème de montage, ou des vibrations en fonctionnement, en serait à l'origine. Il étudie l'opportunité d'augmenter la fréquence d'inspection des mécanismes de fixation des aérofreins ou leur modification, notamment pour fiabiliser l'action de la vis anti-rotation.
- **24/07/2017 MAURON (56) - Fuite d'huile :** Une fuite d'huile est détectée vers 17 h sur une éolienne. La rupture d'un flexible du circuit hydraulique de l'aérogénérateur en est à l'origine. Le rejet, estimé à 5 l, s'est écoulé le long du mât et quelques gouttes sont tombées au sol. L'éolienne est arrêtée et des absorbants sont disposés au sol. Le flexible est remplacé. L'éolienne redémarre le lendemain. Une société spécialisée réalise un diagnostic de l'état des milieux sur 3 500 m² en réalisant 7 sondages du sol. Seule une zone de pollution de 2 m² sur 10 cm de profondeur est identifiée au pied du mât. Une société de traitement évacue ces graviers impactés. La vétusté du flexible serait à l'origine de la fuite.
- **05/08/2017 - PRIEZ (02) – Chute de pale :** Vers 3 h une pale d'éolienne se brise en son milieu et tombe au sol. Les débris sont retrouvés par l'exploitant au pied du mât le matin. Il en sécurise l'accès et fait surveiller la zone. L'inspection des installations classées demande la mise à l'arrêt de tous les aérogénérateurs du parc dans l'attente de la compréhension de l'événement.
- **08/11/2017 - ROMAN (27) - Chute d'éléments :** En fin d'après-midi, le carénage de la pointe de la nacelle d'une éolienne tombe au sol dans un parc éolien. Cette pièce, en matériaux composites, mesure 2 m de diamètre et pèse plusieurs dizaines de kg. Elle supporte une armoire électrique. Les agents de maintenance, avertis par une alarme "arrêt automatique turbine" à 17h30, se rendent sur place le lendemain matin. Ils sécurisent l'accès à la zone et préviennent l'exploitant agricole de la parcelle. L'ensemble du parc éolien est mis à l'arrêt. L'exploitant conclut que la chute du carénage est due à un défaut d'assemblage de ses boulonnages. La procédure n'aurait pas été respectée lors du montage des turbines. La tête de chaque boulon doit reposer sur 2 rondelles (l'une en vinyle, l'autre métallique) permettant de répartir les efforts. Il s'avère que les rondelles métalliques étaient absentes. Les contraintes étaient donc mal réparties et la fibre de verre s'est arrachée autour des rondelles vinyles. L'exploitant procède au contrôle des carénages des autres aérogénérateurs du parc. Aucun défaut n'est découvert. Il intègre la vérification des boulonnages de fixation du carénage à son plan d'inspection hebdomadaire. L'exploitation du parc éolien reprend le lundi 13. Le carénage accidenté est remplacé.
- **01/01/2018 - BOUIN (85) – Effondrement d'une éolienne :** En début de matinée lors d'une tempête, le mât d'une éolienne de 60 m de haut se brise en 2. Les 55 m supérieurs de l'éolienne chutent au sol. Des débris s'éparpillent sur une surface assez importante. Le rotor est enfoncé dans le sol. Les pompiers mettent en place un périmètre de sécurité. L'exploitant arrête les 7 autres éoliennes du parc. Il met en place un gardiennage. L'exploitant réalise une expertise de l'éolienne mise en service en 2003, conjointement avec son fabricant. 3 jours avant l'accident, alors que le vent souffle à plus de 40 m/s, le contrôle de l'orientation des 3 pales de l'éolienne est perdu. Le système de contrôle des pales stoppe automatiquement la turbine. Les conditions météorologiques ne permettant pas d'intervention directe sur l'aérogénérateur, la situation est diagnostiquée à distance. À la suite d'une erreur d'interprétation des données, un opérateur place l'éolienne dans une position qui entraîne une augmentation rapide de la vitesse du rotor, dépassant la limite de sécurité. Les dispositifs de protection contre la survitesse s'activent, mais la machine ne s'arrête pas à cause d'une usure anormale des blocs de frein du système d'orientation des pales. Les charges mécaniques exercées sur le mât excèdent alors largement les limites de conception de l'éolienne, qui s'effondre. Les investigations de l'exploitant lui permettent de découvrir que le protocole des inspections de maintenance ne couvrait pas la liaison mécanique entre le moteur et les freins. L'usure de cet équipement n'a pas été détectée lors des contrôles annuels. Les autres éoliennes du site redémarrent après des vérifications spécifiques et le remplacement de leurs blocs de frein du système d'orientation des pales. L'exploitant :
 - révise la procédure d'intervention en cas de défaillance du système d'orientation des pales et y forme ses agents ;
 - met à jour les instructions de maintenance de ce système : le remplacement de tout ou partie des blocs de frein est planifié tous les 5 ans ;
 - met en place un outil spécifique pour le diagnostic d'une défaillance potentielle des blocs de frein qui compare la position effective des pales à la consigne ;

- adresse une note de sécurité aux exploitants des parcs équipés du même type d'éolienne.
- **04/01/2018 - NIXEVILLE-BLERCOURT (55) – Projection de pale/morceau de pale :** Dans un parc éolien, l'extrémité d'une pale d'une éolienne de 2 MW se rompt, lors d'un épisode venteux. Un morceau de 20 m chute au sol. L'exploitant sécurise la zone. Les morceaux les plus éloignés sont ramassés à 200 m. Un gardiennage est mis en place 24 h/24.
- **06/02/2018 - CONILHAC-CORBIERES (11) - Chute de pale/morceau de pale :** Vers 11h30, l'aérofrein d'une pale d'éolienne chute au sol dans un parc éolien. L'équipe technique présente sur site arrête l'aérogénérateur. La zone est sécurisée, les débris ramassés. À la suite d'un défaut sur l'électronique de puissance, l'éolienne est passée en arrêt automatique par sollicitation du freinage aérodynamique. Lors de l'ouverture de l'aérofrein en bout de pale, son axe de fixation en carbone s'est rompu provoquant sa chute. Un accident similaire est survenu sur ce parc 2 ans auparavant (ARIA 47675).
- **08/03/2018 - VILLERS-GRELOT (25) – Défaillance mécanique :** Dans un parc de 14 éoliennes, l'alarme de suivi des vibrations de composants mobiles de l'une d'elle s'active. La machine s'arrête automatiquement. Une équipe de l'exploitant se rend sur place. Elle constate qu'une dent de l'arbre rapide, situé entre le multiplicateur et la génératrice, est cassée. Aucune conséquence n'est relevée sur d'autres composants ou l'environnement. L'exploitant contacte le fabricant de l'éolienne. Ce dernier détecte un défaut de fabrication au niveau de la couronne dentée de l'arbre rapide : une inclusion de bulle d'air est découverte dans l'acier. L'exploitant demande à son fournisseur des améliorations organisationnelles dans ses processus de fabrication ainsi que dans la disponibilité des pièces et des intervenants. La pièce défectueuse est remplacée. La production de l'aérogénérateur reprend après 39 jours d'arrêt.
- **01/06/2018 – MARSANNE (26) – Incendie :** Vers 2h30, un feu se déclare au pied d'une éolienne dans un parc composé de 8 aérogénérateurs. L'incendie se propage jusqu'à sa nacelle. Les pompiers placent des lances en prévention de l'extension du sinistre à la végétation car des morceaux incandescents chutent au sol. Ils maîtrisent l'incendie. La nacelle est entièrement brûlée ainsi que la base des pales mais celles-ci restent en place. Une deuxième éolienne fait également l'objet d'un départ de feu, mais celui-ci est resté confiné à sa base. Des barrières sont posées sur les accès et un gardiennage est effectué. La gendarmerie conclut que l'origine de l'événement est criminelle : les portes d'accès aux éoliennes impliquées ont été fracturées et du combustible est découvert. L'exploitant estime les dégâts à 2 M€.
- **05/06/2018 – AUMELAS (34) – Incendie :** Un feu se déclare vers 18h45 dans la nacelle d'une éolienne de 70 m de haut. 10 minutes plus tard, l'exploitant décuple à distance le parc éolien du réseau électrique. Des éléments de l'éolienne en feu chutent au sol. Les flammes se propagent en partie basse de l'aérogénérateur. Les pompiers laissent l'incendie se terminer sous surveillance mais placent des lances en prévention d'une propagation du sinistre à la végétation. La nacelle de l'aérogénérateur est presque totalement détruite. 50m² de végétation ont brûlé. L'accès à la zone est interdit et surveillé. Les débris sont ramassés. Selon la presse, un dysfonctionnement électrique serait à l'origine de l'incendie.
- **04/07/2018 – PORT-LA-NOUVELLE (11) - Chute de pale/morceau de pale :** Vers 18 h, une avarie est constatée sur 2 des pales d'une éolienne : leurs extrémités se sont disloquées. Des éléments ont été projetés à 150 m du mât après s'être décrochées. L'exploitant met en place un périmètre de sécurité. L'aérogénérateur est mis en position de sécurité. Un gardiennage permanent est mis en œuvre le temps de l'évacuation de tous les débris (jusqu'au 08/07 20 h).
L'inspection des installations classées se rend sur place 2 jours après et demande à l'exploitant de :
 - nettoyer la zone pour évacuer l'ensemble des débris et les remettre à une filière agréée ;
 - maintenir un gardiennage jusqu'à la mise en place d'un balisage renforcé autour de l'éolienne ;
 - maintenir le parc éolien à l'arrêt jusqu'aux résultats des investigations menées pour connaître l'origine de l'incident et la mise en œuvre d'actions préventives / correctives préconisées sur les 4 autres éoliennes du parc.
- **28/09/2018 – SAUVETERRE (81) – Incendie :** Vers 2h, un feu se déclare au niveau de la nacelle d'une éolienne dans un parc éolien. Un riverain donne l'alerte. L'exploitant arrête les 4 aérogénérateurs du site. Les pompiers interviennent. Ils rencontrent des difficultés d'accès à la zone sinistrée. Des éléments enflammés chutent au sol. Le feu se propage à la végétation voisine. Les pompiers maîtrisent le sinistre à 6h30. Ils maintiennent une surveillance en raison des risques de reprise de feu. L'exploitant met en place un balisage et un gardiennage de la zone. La nacelle, les pales et des armoires de commande en pied de mât sont détruits. La machine est démantelée début novembre. 2,5 ha de végétation, essentiellement une plantation de résineux, ont brûlé. La gendarmerie effectue une enquête. La présence de 2 foyers et de traces d'effraction sur la porte d'accès les amènent à conclure à un acte de malveillance.
- **17/10/2018 – FLERS-SUR-NOYE (80) – Fuite d'huile :** Vers midi, un technicien de maintenance détecte une fuite d'huile hydraulique depuis la nacelle d'une éolienne. L'aérogénérateur est arrêté. Environ 150 l d'huiles sont récupérés. L'exploitant du parc éolien estime que 50 l ont été perdus. Sous l'effet du vent, la zone impactée au pied de l'éolienne, ainsi que des terrains cultivés adjacents, est d'environ 2 000 m². Une partie des cultures est perdue. Les terres polluées sont décapées sur une dizaine de cm. Elles sont stockées sur une bâche étanche, avant leur retraitement. De la terre végétale est mise en œuvre pour permettre la reprise de l'activité agricole. Un contrôle des prochaines récoltes est planifié. La mauvaise réalisation d'une activité de maintenance annuelle préventive, la veille de l'événement, en est à l'origine. Selon le prestataire en charge de l'opération, un premier technicien n'a pas suffisamment serré le nouveau filtre hydraulique qu'il venait de mettre en place sur le circuit du
- multiplicateur de vitesse. Le contrôle de cette opération, prévu par un second technicien, n'a pas été effectué. Un superviseur du prestataire intervient sur le site afin de suivre la qualité du travail et de réaliser la formation des techniciens.
- **06/11/2018 – GUIGNEVILLE (45) – Effondrement d'une éolienne :** Vers 6 h, une éolienne, d'une hauteur en bout de pale de 140 m, s'effondre dans un parc éolien composé de 2 aérogénérateurs (3 MW). Des riverains donnent l'alerte. L'exploitant arrête les autres éoliennes de même type, dans 5 parcs éoliens. Un balisage et une surveillance sont mis en place. L'inspection des installations classées constate sur site que le mat s'est arraché de sa base en béton. Les filetages des boulons de fixation du mât sont arasés et les écrous sont arrachés. Des fissures circulaires sont présentes au niveau de la base en béton. L'équipement est expertisé. L'expertise conclut qu'une sur-vitesse de rotation des pales de l'éolienne a conduit à une surcharge de contraintes sur la structure, provoquant son effondrement. Cet emballement est consécutif au déclenchement d'un arrêt d'urgence alors que l'alimentation (par batterie) des 3 pales était en défaut, sachant que le passage d'une seule pale en position d'arrêt aurait permis d'arrêter l'éolienne. Les causes de la défaillance simultanée des alimentations électriques des 3 pales de l'éolienne relèvent de :
 - la conception de l'éolienne :
 - chaque pale est alimentée par 24 batteries montées en série : la défaillance d'une seule met en défaut l'alimentation électrique de l'arrêt d'urgence de la pale ;
 - le déclenchement de l'arrêt d'urgence désactive la boucle de régulation, rendant indisponible le contrôle de la vitesse de l'éolienne ;
 - la fiabilité des batteries : leur durée de vie est inférieure à celle annoncée par le fournisseur ;
 - le paramétrage et la gestion des alarmes : acquittements automatiques avec tentatives de redémarrage et insuffisance de la détection des alarmes ;
 - la gestion de la maintenance et de l'usure des batteries : les procédures n'ont pas été appliquées de manière correcte et les multiples alarmes sur l'aérogénérateur impliqué n'ont pas donné lieu à une analyse particulière des batteries.
- L'exploitant prend les mesures suivantes :
 - remplacement des batteries ;
 - installation de diodes de by-pass sur les batteries afin de palier un ou plusieurs défauts sur un rack ;
 - modification de la procédure de redémarrage après une alarme ;
 - vérification mensuelle de l'arrêt d'urgence par test sur site.
- **18/11/2018 – CONILHAC-CORBIERES (11) - Chute de pale/morceau de pale :** Les 3 aérofreins en extrémité des pales d'une éolienne chutent au sol, au pied du mât. L'équipe technique constate l'incident en se rendant sur site le lendemain en raison de l'arrêt de l'aérogénérateur. L'installation est mise en sécurité. Les débris, contenus dans un rayon de 150 m au pied du mât, sont ramassés et stockés avant traitement et recyclage en filaire agréée. L'éolienne s'est arrêtée à la suite de l'ouverture de la chaîne de sécurité. La rupture des parties en fibre de verre ainsi que de l'axe en carbone de fixation de l'aérofrein est constatée. Un accident similaire est survenu sur ce parc au début 2018 (ARIA 51122).
- **19/11/2018 – OLLEZY (11) - Chute de pale/morceau de pale :** À 11h30, un agent de surveillance d'un parc éolien constate la rupture d'une pale d'une éolienne. Des 40 m de l'équipement, les 30 derniers sont tombés au sol. L'exploitant arrête les 9 aérogénérateurs du site. Les communes environnantes sont prévenues. La zone est sécurisée et un balisage du pied de la turbine et de la pale au sol est mis en place. Le site est placé sous surveillance. Les 8 autres éoliennes du parc, mis en exploitation l'année précédente, redémarrent un mois et demi plus tard.
- **03/01/2019 - LA LIMOUZINIERE (44) – Incendie :** Vers minuit, un feu se déclare au niveau de la nacelle d'une éolienne de 78 m de haut. Des riverains donnent l'alerte. L'exploitant arrête les 4 autres éoliennes du parc à 2h05. De nombreux débris enflammés tombent au sol. Un feu se déclare au pied de l'aérogénérateur. Les pompiers mettent en place un périmètre de sécurité de 150 m. Ils quittent le site à l'arrivée de la société de maintenance vers 3h35 puis de l'exploitant vers 5h15. Un kit anti-pollution est mis en place par l'exploitant afin de contenir les coulures d'huile le long du mât. Ces huiles s'enflamme au niveau du sol. L'exploitant parvient à éteindre le départ de feu à l'aide de l'extincteur située dans son véhicule. La nacelle de l'éolienne est détruite ainsi que la base des 3 pales. Une incertitude majeure plane sur leur tenue mécanique. Des traces d'huile hydraulique sont présentes jusqu'à 100 m du pied du mât. L'exploitant met en place un balisage et un gardiennage. Le périmètre de sécurité est porté à 200 m. L'exploitant envisage de démanteler la machine mais l'opération s'avère compliquée en raison du risque de chute d'éléments. Début février, l'essentiel des déchets de fibre de verre sont ramassés.
- Selon les premiers éléments de l'enquête, une avarie sur la génératrice de l'éolienne semble à l'origine de l'incendie. Celle-ci avait été bridée à 50 % de sa puissance depuis une quinzaine de jours à la suite de la détection d'une usure de roulement par le système de surveillance vibratoire. Une intervention de maintenance, effectuée le 28/12, avait mis fin à ces vibrations caractéristiques d'un défaut de roulement. Cependant, des signes de délinéage avaient fait leur apparition. Selon l'exploitant, l'analyse du système de surveillance mettrait en évidence un phénomène harmonique à la fréquence de rotation de la génératrice.
- **17/01/2019 – BAMBIDERSTROFF (57) – Projection de pale/morceau de pale :** Vers 15 h dans un parc éolien, une pale d'éolienne se rompt. 2 morceaux chutent au sol, l'un de 5 m (coque) et l'autre de 28 m (fibre de verre). Ce dernier est projeté à 100 m de l'éolienne. L'exploitant arrête les 5 autres aérogénérateurs du parc à 15h17. Il met en place un périmètre de sécurité et ramasse

la totalité des débris. Selon les premiers éléments d'analyse, un défaut d'adhérence (manque de matière) entre la coque en fibre de verre et le cœur de la pale serait à l'origine de cette rupture.

- **20/01/2019 - ROUSSAS (26) – Incendie** : Dans la nuit, un feu se déclare sur 2 éoliennes d'un parc composé de 12 aérogénérateurs. Les éoliennes sont lourdement endommagées. D'après la presse, il s'agit d'un acte criminel. Un accident similaire était survenu en juin 2018, dans un parc éolien proche appartenant au même exploitant
- **23/01/2019 - BOUTAVENT (60) – Effondrement** : Vers 14h40, le mât de 66 m d'une éolienne se plie en 2 en son milieu. Des débris sont projetés dans un rayon de 300 m. Les pompiers mettent en place un périmètre de sécurité de 500 m. Une coupure de courant impacte vers 13h30 le parc éolien, comptant 2 aérogénérateurs. Les pales de l'éolienne accidentée ne se sont pas mises en drapeau et sont restées en position de production, alors que le générateur était à l'arrêt. La machine est entrée en survitesse jusqu'à la dislocation d'une pale. Le balourd en résultant aurait conduit au pliage du mât. Le fabricant met les 21 autres éoliennes du même modèle à l'arrêt. Selon l'exploitant, l'absence de passage en position de sécurité des pales est dû à une chute de tension au niveau des batteries pilotant la rotation des pales en cas de coupure de l'alimentation électrique. Il effectue des tests sur toutes les batteries des éoliennes du même constructeur et effectue les remplacements nécessaires. Il modifie également son plan de maintenance : tous les 2 ans, une des 3 pales sera équipée de batteries neuves. Il fixe l'âge maximal d'une batterie en exploitation à 6 ans.
- **30/01/2019 – ROQUETAILLADE (11) – Chute de pale/morceau de pale** : Vers 13 h, une pale d'une éolienne se rompt et chute au sol. Un périmètre de sécurité est mis en place autour de l'éolienne. L'exploitant arrête les 27 autres aérogénérateurs du parc. Un arrêté préfectoral d'urgence soumet leur redémarrage à l'accord de l'inspection des installations classées. Le parc éolien a connu des événements similaires, notamment en 2013 (ARIA 43576). Selon la presse, le site aurait également été victime d'un acte de malveillance en 2006.
- **12/02/2019 – AUTECHAUX (25) - Fissurations sur des roulements de pales d'éoliennes** : A la suite d'une fissuration constatée sur une bague extérieure de roulement de pale d'une éolienne d'un parc éolien de même technologie hors de France, l'exploitant réalise des inspections de cette pièce sur 3 de ses parcs éoliens comprenant 43 éoliennes. Ces contrôles mettent en évidence 6 fissurations sur des roulements de pale, positionnés entre la base de la pale et le moyeu. Ces roulements permettent la rotation de la pale sur elle-même pour les orienter face au vent et lancer, ajuster ou stopper la production. Les 6 fissures sont précisément localisées au niveau des goupilles coniques et trous de remplissage du roulement utilisés lors de l'assemblage des billes de roulement pendant la fabrication de la pièce. Sur les 6 fissures, 5 sont partielles (bague extérieure fissurée sur une partie seulement de sa section transversale) et 1 complète (bague extérieure fissurée sur l'ensemble de sa section transversale). Pour ces 6 éoliennes, le constructeur a prévu de déposer le rotor afin de remplacer les roulements par des roulements neufs. Dans l'attente de pouvoir réaliser ces remplacements, l'exploitant réalisera une inspection visuelle toutes les 2 semaines afin de vérifier si l'épaisseur de la fissuration reste inférieure à 3 mm et si le couple de serrage des goujons est toujours bon. Il mettra également en place une plaque de renfort stabilisatrice destinée à réduire les contraintes au niveau de la bague extérieure, centrée sur les goupilles coniques et trous de remplissage et s'étendant sur 16 goujons des bagues. La même plaque de renfort stabilisatrice sera mise en place sur l'ensemble des éoliennes des 3 parcs, qu'une fissure ait été détectée ou non lors de ces contrôles. Ces plaques constituent une réparation définitive et sont vouées à rester durant la vie de l'éolienne. L'origine des fissurations serait un défaut d'assemblage qui, sous contrainte, conduirait à une fissuration par fatigue de la bague au niveau d'une zone d'amorçage propice constituée par les trous d'introduction des billes dans les roulements.
- **23/03/2019 – ARGENTONNAY (79) – Fuite d'huile** : A 19h37, une fuite d'huile se produit depuis le multiplicateur au niveau de la nacelle d'une éolienne. L'éolienne se met automatiquement à l'arrêt à la suite d'une défaillance au niveau d'un composant tournant du multiplicateur. La majorité de l'huile est contenue dans la partie basse de la nacelle. Le reste s'écoule par débordement le long du mat par l'extérieur jusqu'au socle en béton au pied de l'éolienne. Le lendemain à partir de 10 h, l'exploitant intervient au niveau :
 - du multiplicateur pour éviter tout risque d'écoulement supplémentaire ;
 - de la nacelle pour pomper l'huile contenue ;
 - du pied de la fondation afin de déposer des absorbants pour éviter une pollution au-delà du socle béton ;
- Sur les 450 l d'huile mécanique présents dans le multiplicateur :
 - 230 l étaient contenus dans les compartiments étanches du multiplicateur ;
 - 120 l ont été récupérés par l'exploitant directement depuis le compartiment fuyard du multiplicateur ;
 - 100 l étaient dans le fond de la nacelle. 10 à 20 l ont débordé le long du mat en face extérieure ;
 - 5 à 10 l ont été absorbés en pied de mat par l'exploitant ;
 - 1 à 2 l ont débordé sur la végétation jouxtant la plate-forme.
- L'exploitant stocke l'huile absorbée dans des bidons sur rétention dans l'attente d'une prise en charge pour évacuation par une société agréée. L'intérieur de la nacelle et le mat sont nettoyés. La terre végétale entourant le socle du mat et potentiellement polluée par l'huile est retirée.
- **La rupture d'un composant tournant du multiplicateur est à l'origine de l'incident. Un plan d'intervention pour le remplacement du multiplicateur est mis en place. Son démontage en atelier devrait permettre de découvrir les causes de la rupture du composant.**
- **02/04/2019 - EQUANCOURT (80) – Foudre** : Dans l'après-midi, lors d'un épisode orageux, la foudre touche une des 12 éoliennes d'un parc éolien. Un éléphant constate une trace noire sur une des pales de la machine. Il alerte le gestionnaire du site. Après constat sur place, l'éolienne est arrêtée à distance à 18h30. Une équipe technique, arrivée sur place à 20h37, place les pales en drapeau et positionne la pale impactée vers le bas, le long du mât, pour éviter tout risque complémentaire. La zone au pied de l'éolienne est balisée pour prévenir tout risque d'accident. L'impact de foudre a endommagé le revêtement de la pale, proche de la base, sur 5 000 cm². Le lendemain matin, un expert de la société de fabrication et maintenance de l'éolienne inspecte l'équipement et la pale endommagée. Il estime qu'il n'y a pas de risque d'aggravation des dégâts ni de chute de composants tant que l'éolienne reste à l'arrêt avec les pales mises en drapeau. Une autre inspection les jours suivants permet de confirmer qu'aucune autre des éoliennes n'a été touchée par la foudre. La pale est déposée pour la réparer.
- **15/04/2019 - CHAILLY-SUR-ARMANCON (21) – Accident Maintenance** : Vers 12h15, un sous-traitant est électrisé par un courant de 20 000 V dans une éolienne. Les pompiers interviennent sur les lieux. Un technicien effectue des reconnaissances au sommet de l'éolienne afin de vérifier si celle-ci est endommagée. L'éolienne est sécurisée par le personnel de maintenance. La victime est légèrement blessée. Elle est transportée en centre hospitalier.
- **18/06/2019 - QUESNOY-SUR-AIRAINES (80) – Incendie** : Vers 17 h, un feu se déclare sur une éolienne située dans un parc éolien qui en compte 5. Les équipes de maintenance du site maîtrisent l'incendie. Les pompiers alertés par le parc éolien réalisent des contrôles thermiques pour confirmer l'extinction. Le lendemain, des pièces déposées au pied de l'éolienne à la suite de l'incendie sont dérobées. D'après la presse, un court-circuit sur un condensateur est à l'origine du sinistre.
- **25/06/2019 - AMBON (56) – Incendie** : Vers 15h45, lors d'une opération de maintenance au niveau du système d'orientation des pales d'une éolienne, un feu se déclare au niveau de la nacelle de cette éolienne dans un parc mis en service en 2008 comportant 6 machines de 120 m pour une puissance totale de 10,02 MW. Voyant des étincelles, les techniciens alertent les secours. Un périmètre de sécurité de 500 m est mis en place. Le parc est mis à l'arrêt. Des éléments structurels de l'éolienne chutent au sol. L'incendie est maîtrisé vers 18h50. Des fuites d'huile avaient été constatées en 2015 et 2018 sans avoir été nettoyées.
- **27/06/2019 - CHARLY-SUR-MARNE (02) – Chute de pale/morceau de pale** : Vers 9 h, deux techniciens intervenant sur une éolienne pour maintenance constatent qu'une pale d'une autre éolienne présente un angle anormal. Ils demandent au centre de maintenance l'arrêt à distance de cette éolienne. Vers 9h30, lors de la mise à l'arrêt, le bout de la pale abîmée est projeté en 2 morceaux, l'un à 15 m de l'éolienne, l'autre à 100 m dans l'enceinte du parc éolien. Chaque morceau correspond à une face de la pale. À la demande des techniciens, l'éolienne est arrêtée à distance. Un périmètre de sécurité de 100 m est mis en place autour de l'éolienne. L'exploitant arrête l'ensemble des éoliennes du parc. Un arrêté municipal interdit, dès le lendemain, l'accès à l'ensemble du parc éolien pour une durée indéterminée. La vitesse du vent au moment du détachement était comprise entre 6 et 7 m/s. La température extérieure était de 22 °C sachant que de très fortes chaleurs sévissaient pendant la période. En septembre 2016, les pales de l'éolienne avaient été inspectées. Des reprises de peinture et la réparation d'une fissure avaient été réalisées. Ces défauts avaient été classés comme mineurs. En octobre 2018, une inspection visuelle n'avait révélé aucun défaut.
- **03/07/2019 – SIGEAN (11) – Foudre** : A 18 h, une éolienne d'un parc s'arrête automatiquement à la suite d'une alarme vibration provoquée par un impact de foudre. Le lendemain, à 10 h, l'exploitant constate un impact sur le milieu de la pale et une ouverture du bout de pale sur 2 m. L'exploitant découpe l'extrémité de la pale endommagée pour éviter sa rupture complète. Le morceau de pale est stocké en vue d'une expertise. La machine est à l'arrêt et le rotor en position de sécurité.
- **04/09/2019 – ESCALES (11) – Chute de pale/morceau de pale** : A 19h38, l'arrêt d'urgence d'une éolienne se déclenche sans cause identifiée. L'arrêt de l'éolienne est anormalement brutal si bien que deux aérofreins se détachent d'une des pales de l'éolienne, l'un étant retrouvé à 5 m du pied de l'éolienne, l'autre à 65 m. L'exploitant procède à l'arrêt de l'ensemble des éoliennes du parc. Le rotor de l'éolienne incriminée est bloqué mécaniquement. Un périmètre de sécurité de 20 m est mis en place. Les débris ramassés sont envoyés vers une filière de recyclage agréée.
- **28/11/2019 – HANGEST-EN-SANTERRE (80) – Chute d'éléments** : Dans un parc éolien, le capot se situant à l'extrémité de la nacelle d'une éolienne se décroche et tombe au sol. L'éolienne concernée ainsi que l'ensemble du parc sont mis à l'arrêt. L'exploitant et l'opérateur de maintenance inspectent l'éolienne et l'ensemble du parc.
- **06/12/2019 – AVELANGES (21) – Perte de contrôle** : Vers 15 h, alors qu'une équipe d'installation réalise un travail d'étiquetage sur une éolienne, cette dernière commence à tourner malgré l'absence de raccordement électrique. L'équipe évacue en urgence par l'échelle. Les secours mettent en place un périmètre de sécurité de 800 m autour de l'équipement. Les gendarmes stoppent la circulation sur la route voisine. Les conditions climatiques, vent violent, empêchent l'équipe d'intervenir pour mettre en sécurité la machine. Le lendemain vers 11 h, l'équipe bloque le rotor et remet les pales en position de sécurité. L'incident se produit au cours de la préparation à la mise en service de l'éolienne. La mise en mouvement non contrôlée est due à une erreur de

positionnement des angles des pales la veille de l'accident à 18 h et à la présence de vent violent. L'exploitant renforce la procédure de positionnement des pales avec un contrôle extérieur obligatoire malgré le brouillard ou l'obscurité.

- **09/12/2019 - LA FORET-DE-TESSE (16) – Projection de pale/morceau de pale :** Vers 18 h, un riverain constate la chute d'un bout de pale de 7 m d'une des 12 éoliennes du parc. L'éolienne concernée s'arrête. L'exploitant met en sécurité les 11 autres éoliennes. Un périmètre de sécurité de 150 m et une surveillance sont mis en place pour interdire l'accès au public. La pale s'est brisée en 3 morceaux principaux (2 points de rupture à 16,5 m et 47 m de la racine de la pale). Des débris solides (fibres de verre, fibres de carbone, PVC) sont projetés sur 2 parcelles agricoles aux alentours. Un morceau de 30 m initialement resté accroché à la racine de la pale tombe 48 h plus tard suite aux forts vents. Le ramassage des débris ainsi que le bâchage des 2 plus gros morceaux de pale au sol afin d'éviter l'éparpillement de nouveaux débris sont réalisés. L'exploitant recherche les causes de cette rupture sachant qu'aucun emballement du rotor n'a été détecté dans les secondes qui ont précédé l'incident. Le lot de fabrication de la pale sinistrée est identifié par le constructeur. Les contrôles réalisés le lendemain du sinistre sur l'ensemble des 11 autres éoliennes n'identifient pas de dommage, d'imperfection ou de trace de foudre. La dernière inspection du constructeur réalisée par drone 8 mois plus tôt n'avait révélé aucun défaut.
- **16/12/2019 - POINVILLE (28) – Incendie :** Vers 12h30, un feu sans flamme se déclare sur une éolienne d'un parc éolien. A 13h10, de la fumée blanche est constatée. Les pompiers mettent en place un périmètre de sécurité et surveillent l'équipement. Vers 16 h, il n'y a plus de fumée, les pompiers inspectent la machine en pied et quittent le site vers 17 h. Seules les gaines protectrices des câbles de puissance ont brûlé sur 10 m de long. L'expert en assurance suppose une combustion sans flamme et estime la température atteinte en nacelle en dessous de 100 °C. L'exploitant inspecte toutes les autres éoliennes du même type. Il transmet l'information au fabricant et à la filière.
- **17/12/2019 – AMBONVILLE – Incendie :** A 14h20, un feu se déclare en partie basse d'une éolienne. Les pompiers interviennent à l'aide d'un extincteur à poudre. L'origine du départ de feu serait liée à une défaillance électrique.
- **22/01/2020 – SAINT-SEINE-L'ABBAYE – Chute d'éléments :** Au cours d'une patrouille de routine à 11 h, un gendarme trouve un joint de pale au pied d'une éolienne. Il contacte l'exploitant par le numéro d'urgence. L'entreprise de maintenance se rend sur place pour récupérer l'équipement. L'incident est sans conséquence, le joint permet principalement de diminuer les turbulences au niveau du rotor. Ce joint de pale avait glissé sur le premier mètre de la pale 2 semaines plus tôt et une intervention était prévue la semaine de l'événement. L'événement est causé par une défaillance du collier de serrage sous dimensionné par rapport aux contraintes dans le temps. Le joint de pale se compose de trois parties distinctes. Chaque partie est boulonnée à la plaque d'à côté afin d'envelopper tout le tour de la pale. L'ensemble est fixé par un collier métallique autour de la pale et des colliers auto-serrant en plastique. Le collier métallique englobant la pale a "travaillé" avec le temps et n'a plus rempli son rôle de serrage. L'exploitant précise que l'événement peut être lié aux conditions de vent élevées lors de la rupture. L'exploitant programme une intervention pour remettre en place le joint de pale avec une nouvelle fixation et renforce l'information des techniciens sur la vérification du serrage des fixations lors des maintenances périodiques. Il améliore également le délai d'intervention lors de la détection de glissement des joints.
- **09/02/2020 - BEAUREVOIR (02) – Projection de pale/morceau de pale :** Dans la nuit, une pale d'une éolienne située dans un parc composée de 5 machines, se brise lors du passage de la tempête Ciara. L'exploitant se rend sur place pour sécuriser la zone. L'éolienne était à l'arrêt, pour une opération de maintenance, au moment de la tempête. L'exploitant place la pale endommagée en position basse, ôte les débris qui peuvent se détacher et met à l'arrêt les autres machines du parc. Il informe la mairie et les propriétaires fonciers de l'incident. Une inspection externe de l'ensemble des pales du parc par télescopiques est réalisée. Quelques jours plus tard, l'inspection des installations classées constate la mise en place de barrières pour interdire l'accès aux différentes éoliennes du parc. Elle demande à l'exploitant de maintenir les éoliennes à l'arrêt et d'établir un périmètre de sécurité dans l'aire de survol des éoliennes jusqu'à l'identification de l'origine de la rupture. Elle préconise le démantèlement complet de la pale afin d'éviter toute chute d'éléments et la réalisation d'investigations internes des autres pales du site. Des débris de pales en fibre de verre sont projetés dans les champs jusqu'à plusieurs centaines de mètres en raison des vents importants au moment de la rupture. Certains débris traversent une route départementale. L'exploitant mandate une société spécialisée pour collecter les différents fragments, estimés à environ 800 kg, et les envoyer dans la filière de traitement dédiée. Un traitement des sols est aussi envisagé pour s'assurer de l'absence totale de résidus. D'après l'exploitant, les conditions météorologiques durant le week-end sont à l'origine de la rupture de la pale.
- **09/02/2020 – WANCOURT (62) - Endommagement nacelle :** Le lendemain du passage de la tempête Ciara, des dommages sont visibles au niveau de l'aileron de la nacelle d'une éolienne. L'exploitant sécurise l'accès au site par la mise en place d'un périmètre de sécurité. L'aileron est sanglé par les pompiers puis le lendemain par le maintenancier. L'éolienne ne redémarrera pas avant que les causes profondes de l'incident ne soient déterminées.
- **26/02/2020 - THEIL-RABIER (16) – Chute d'éléments :** Une pale d'éolienne se rompt sur un parc comportant 12 éoliennes. L'éolienne s'arrête en sécurité et le reste des machines du parc sont mises à l'arrêt à distance par l'exploitant. Un périmètre de sécurité est mis en place. Le morceau principal reste accroché à la base de la pale. Des fragments de fibre sont retrouvés au sol au pied de la machine. L'exploitant fait intervenir le constructeur pour réaliser une expertise. Le lot de fabrication de la pale

sinistrée est identifié par le constructeur. L'hypothèse de rupture est liée à un défaut interne de la pale. Une pale d'une autre éolienne s'est brisée sur le même site 2 mois auparavant, provoquant l'arrêt du parc pendant près d'un mois (ARIA 54810). Le contrôle visuel réalisé à la suite de cet événement sur l'ensemble du parc n'avait rien révélé sur la pale impliquée.

- **29/02/2020 – BOISBERGUES (80) – Incendie :** Vers 13h25, un feu se déclare au niveau du moteur d'une éolienne. L'électricité est coupée et l'éolienne est mise à l'arrêt. Un technicien et le groupe d'intervention en milieu périlleux des pompiers sont sur place. Le feu est resté sur le mât sans atteindre les pales. L'éolienne est hors-service. L'incendie est probablement dû à une fuite d'huile.
 - **24/03/2020 - FLAVIN (12) – Incendie :** A 9h40, un feu se déclare au niveau de la nacelle d'une éolienne. Un riverain alerte les pompiers qui préviennent l'exploitant. A 9h42, l'exploitant perd la communication avec l'éolienne. La caméra du site confirme l'incendie. Le disjoncteur est ouvert à distance. Les pompiers mettent en place un périmètre de sécurité. A 12 h, l'incendie est terminé. Les 4 autres éoliennes sont arrêtées. Dès le lendemain, l'exploitant met en place un gardiennage par une société extérieure et une surveillance permanente à distance via une caméra. Il analyse les systèmes de surveillance du fonctionnement de l'éolienne pour identifier l'origine de l'incendie et définir les mesures à mettre en œuvre. L'éolienne était en fonctionnement normal et les conditions météorologiques peu contraignantes au moment de l'incident. Des coulures d'huiles sont visibles sur la partie supérieure du mât mais aucune pollution du sol n'est constatée. L'incendie est limité à la nacelle et au rotor. Une route départementale est interdite à la circulation pour 2 semaines. Des pertes d'exploitation sont à prévoir.
- A la suite de la visite sur site de l'inspection des installations classées 3 jours après l'incendie, l'exploitant doit, pour la mise en sécurité du site :
- élargir le périmètre de sécurité et mettre en place des panneaux d'information, car le risque de chute d'éléments n'est pas écarté ;
 - démonter les éléments susceptibles de chuter ;
 - collecter les débris générés par l'incendie et les éliminer en filière de traitement ;
 - réaliser une analyse des sols afin de caractériser un éventuel impact.
- **31/03/2020 – LEHAUCOURT (02) – Fissuration de pale :** A 14h30, à l'occasion d'un contrôle visuel effectué depuis le sol, un technicien constate une fissure sur la pale d'une éolienne. Le défaut, identifié pour la première fois en novembre 2019, a significativement évolué. L'exploitant met à l'arrêt l'éolienne, balise la zone et informe l'agriculteur. Une inspection visuelle et un tape-test sont réalisés depuis une nacelle élévatrice. L'exploitant prévoit de remplacer la pale. L'arrêt de l'éolienne engendre une perte d'exploitation de 90 000 €. La fissure est due à un défaut de collage au moment de la fabrication de la pale. Les intempéries ont aggravé cette dégradation. Huit autres pales de ce même parc éolien sont concernées par le défaut de fabrication. L'exploitant prévoit des inspections tape-test et thermographiques sur ces pales pour évaluer le degré de gravité du défaut de collage et déterminer les réparations à effectuer. Ce plan d'actions était prévu avant la découverte de l'aggravation du défaut, mais a été retardé jusqu'au mois de mai à cause de la crise sanitaire liée à la Covid-19.
 - **10/04/2020 - RUFFIAC (56) – Fuite d'huile :** Une entreprise responsable de la maintenance d'un parc éolien constate une fuite d'huile hydraulique au niveau de la nacelle d'une éolienne. 40 l d'huile s'écoulent le long du mât jusqu'au massif de fondation. L'exploitant du parc est alerté. Il mandate une société spécialisée pour réaliser le nettoyage des zones affectées : la dalle béton et les sols à proximité. La dalle est nettoyée par un lavage haute pression. Pour le traitement des terres, la société envoie un prélèvement en laboratoire pour analyses. Les terres contiennent principalement des hydrocarbures. 11,6 t de terres sont évacuées pour traitement biologique. La zone excavée est remblayée avec des graviers. L'origine de la fuite est un défaut au niveau de l'accumulateur de l'éolienne. Une enquête est en cours par la société en charge de la maintenance, afin d'adapter les points de contrôle.
 - **20/04/2020 - LE VAUCLIN (972) – Incendie :** Peu avant 14 h, un feu se déclare sur le générateur d'une éolienne déposée au sol en vue de son démantèlement, programmé au 2^{ème} trimestre 2020, dans un parc éolien comportant 4 éoliennes. Le parc est à l'arrêt depuis le début de l'année 2020. L'incendie de l'huile du transformateur électrique se propage aux broussailles à proximité. Les secours ne pouvant intervenir à cause de la présence d'électricité, un technicien de la société propriétaire de l'éolienne se rend sur place pour couper le courant électrique. Ils évitent la propagation de l'incendie aux alentours, puis éteignent l'incendie vers 16 h une fois l'installation mise hors tension. Un court-circuit dû à un manioc (famille des marsupiaux) serait à l'origine de l'incendie. Un animal est retrouvé mort dans le tableau électrique du transformateur d'une autre éolienne.
 - **30/04/2020 - PLOUARZEL (29) – Chute d'éléments :** Une pale de 20 m de long d'une des 5 éoliennes d'un parc éolien présente une pliure. De forts craquements sont audibles à 300 m de l'éolienne. Une partie de 1,5 m chute au sol. Un technicien sur place pour une intervention constate l'avarie vers 11h20. Le responsable d'exploitation et une équipe arrêtent et mettent en sécurité les 5 éoliennes du parc. Un gardiennage 24h/24 et un périmètre de sécurité de 50 à 60 m sont mis en place. Le périmètre est renforcé par un arrêté municipal qui interdit l'accès au chemin rural. Quatre jours après le constat, l'exploitant bloque mécaniquement le rotor afin de réduire les efforts mécaniques sur les structures mobiles de l'éolienne. Les travaux de réparation de la pale endommagée nécessitent l'installation d'une plateforme pour grue. Elle est mise en place 13 jours après l'incident.

L'exploitant organise des vérifications avant de pouvoir remettre en service le parc. Les mesures de sécurité doivent être maintenues tant que la pale n'est pas démontée.

La pale endommagée présente une détérioration à mi-longueur. Des traces de choc sur le mât sont visibles, la pale a probablement heurté plusieurs fois le mât avant de se briser. Des débris de fibres de verre et de colle sont présents dans un rayon de 60 m autour de l'éolienne. L'exploitant collecte ces déchets.

Le système de surveillance de l'éolienne n'a pas détecté les chocs de la pale sur le mât, ni de déséquilibre dans la rotation des pales. L'exploitant confirme que l'éolienne, âgée de 20 ans, n'est pas dotée de dispositif de balourd. D'après les premiers éléments d'analyse de l'exploitant, l'éventualité d'un impact de foudre n'est pas écartée, ou d'une mauvaise orientation des pales, qui a pu entraîner un défaut généralisé. L'inspection des installations classées avance l'hypothèse de coups de vents à répétition dans la zone d'implantation, dont la vitesse serait supérieure à celle à l'origine du dimensionnement de l'éolienne, et qui auraient pu avoir fatigué prématûrement les pales.

L'inspection des installations classées estime que l'exploitant doit :

- investiguer les possibilités d'améliorations des systèmes de surveillance et de détections des anomalies, notamment celles qui affectent l'équilibrage de l'éolienne ;
 - préciser la compatibilité du dimensionnement initial de l'éolienne avec les conditions aérauliques réelles du site d'implantation en prenant en compte le vieillissement des structures mécaniques.
- **01/08/2020 - ISSANLAS (07) – Incendie :** A 15 h, des techniciens en intervention dans un parc éolien constatent un dégagement de fumée au niveau de la nacelle d'une éolienne. Ils alertent l'exploitant qui arrête l'ensemble du parc. Le gestionnaire du réseau électrique coupe le réseau HT. De la fumée est visible et des débris tombent au pied de l'éolienne. Les pompiers interviennent au sol pour éteindre des départs de feu de broussailles. La fumée s'estompe d'elle-même en 15 minutes. A 17 h, le parc éolien est relancé sauf l'éolienne impactée. L'exploitant met en place un gardiennage. Il contrôle visuellement l'ensemble des pales. Aucun dommage n'est constaté.

Des résidus en combustion ont atteint le sol, ce qui a provoqué des dégâts sur 20 m² de végétation au pied de l'éolienne. Les dégâts internes restent concentrés au niveau de la génératrice en nacelle et nécessitent des réparations. L'éolienne reste à l'arrêt pendant 7 semaines, impliquant des pertes d'exploitation.

Le dégagement de fumées résulte de l'échauffement des pièces de protection (vernis, carters en plexiglas, carcasse en caoutchouc) de la génératrice de l'éolienne. Au cours du redémarrage de la machine, une combustion localisée au niveau du joint caoutchouc entre les carénages de la génératrice et les enroulements du stator a provoqué l'échauffement du carénage de protection. Après analyse, l'exploitant constate que les performances du joint, qui sert à orienter le flux d'air sur la génératrice, ne sont pas conformes. Les caractéristiques du joint associées à une faiblesse locale d'isolement de la génératrice ont entraîné la combustion du joint.

De plus, le détecteur de fumée de l'éolienne signalait un défaut qui n'a pas été transmis au centre de contrôle, car une alarme de priorité supérieure, un défaut de terre, a été détectée avant. Ce premier défaut électrique a provoqué la mise à l'arrêt de la machine avant le dégagement de fumées. Ce dernier a été détecté par des opérateurs en intervention sur une autre machine.

Un nettoyage à la glace carbonique des suies présentes autour de la génératrice est effectué les jours suivants. L'exploitant corrige le défaut lié au détecteur de fumées et met à jour le logiciel de traitement des alarmes sur toutes les machines. L'isolation de la génératrice est renforcée. Il prévoit également de remplacer tous les joints en caoutchouc par des joints silicones avec les performances requises.

- **01/09/2020 – BOUCHY-SAINT-GENEST (51) – Fuite d'huile :** Lors d'une visite de site, un opérateur constate une fuite d'huile sur l'une des éoliennes d'un parc éolien. Le produit a atteint le sol au pied du mât. Le sous-traitant met en place un kit anti-pollution autour de la fondation extérieure pour éviter que plus de produit n'atteigne le sol. Il identifie la fuite, change le flexible en cause et fait l'appoint des niveaux d'huile. L'exploitant demande un diagnostic de pollution des sols à une entreprise spécialisée pour établir l'impact du produit. La société étudiera la nécessité de conduire des travaux de dépollution. L'exploitant estime la quantité ayant fui à 20 l.

La fuite proviendrait d'un flexible allant d'un accumulateur à un collecteur de deux pales. L'exploitant planifie des simulations de cas de fuite et des sensibilisations et formations aux procédés internes afin d'éviter, et de mieux gérer les accidents et incidents environnementaux. Il s'adresse particulièrement aux sous-traitants de maintenance.

- **11/12/2020 – CHARMONT-EN-BEAUCE (45) – Fuite d'huile :** Une fuite d'huile se déclare au niveau de la nacelle d'une éolienne. L'huile ruissèle le long du mât. L'alerte est donnée par une équipe de maintenance d'une société sous-traitante, en intervention sur le parc. Les intervenants montent dans la nacelle, identifient la vanne en cause et la ferment. L'éolienne est réapprovisionnée en huile puis remise en production. L'exploitant demande à ses équipes de maintenance un diagnostic de pollution des sols. Le

prestataire consulté devra déterminer si des travaux de dépollution sont nécessaires. La fuite d'huile provient de la vanne de prélèvement d'huile restée ouverte pendant plusieurs heures. Au cours d'une intervention dans la nacelle, la manipulation d'objets aurait provoqué l'ouverture involontaire de cette vanne.

L'exploitant met en place les actions correctives suivantes :

- le retrait de la poignée de la vanne de prélèvement ;
- la mise à disposition d'un kit de récupération d'huile au centre de maintenance.

- **12/01/2021 – SAINT-GEORGES-SUR-ARNON (36) – Projection de pale/morceau de pale :** Vers 7 h, une pale d'une éolienne se disloque partiellement. A 6h50, le centre de supervision du parc éolien, situé en Allemagne, reçoit une alarme de mise en drapeau des pales à 90 °. Il transmet l'information au centre de maintenance à quelques km du parc. Le personnel se rend sur place vers 8 h. Vers 9 h, l'exploitant prévient les pompiers et met en place un périmètre de sécurité de 75 m autour du mât. L'exploitant condamne les 2 accès du chemin à proximité de la machine. Il informe les exploitants des terres agricoles proches qu'ils ne peuvent plus venir sur leurs terrains. Il arrête également le parc composé de 5 machines. Les pompiers ramassent les débris. Un gardiennage est mis en place. Une inspection par drone est réalisée pour visualiser le risque de chute de morceaux et décider comment intervenir pour déposer la pôle. Le terrain est survolé pour repérer les débris au sol.

La pale est en position verticale, déchirée depuis la base. Des lanières de matériau pendent le long du mat. La nacelle et les 2 autres pales de l'éolienne sont endommagées. Des débris sont retrouvés au sol dans un rayon de 100 m, l'exploitant met en place une zone d'exclusion. Plusieurs composants sont soumis aux intempéries. 10 jours après l'incident, un épisode de fort vent fait à nouveau chuter des éléments au sol, l'exploitant étend la zone d'exclusion à 200 m. Deux mois après l'incident, à la suite de l'évaluation de la stabilité de l'éolienne, l'exploitant accède à l'éolienne pour retirer les éléments instables. Début avril, l'ensemble des débris sont mis en conteneurs sur le site.

L'exploitant signale que, lors du contrôle des pales par drone en août et novembre 2020, des défauts superficiels de revêtement ont été relevés, mais rien de structurel. Selon lui, ces défauts sont classiques pour des pales de 11 ans.

Lors de l'incident, l'éolienne était soumise à des vitesses de vent (entre 10 et 15 m/s) qui nécessitent une régulation de la puissance produite par le système d'orientation des pales (pitch contrôle). Pour les 3 pales simultanément, ce système est inopérant, l'éolienne entre alors en survitesse. Le système de frein aérodynamique se déclenche mais le pitch contrôle ne réagit pas, l'éolienne continue de tourner à grande vitesse jusqu'à la rupture de la pale, aux alentours de 6 h, entraînant l'arrêt de la machine. Le moteur du pitch control n'a pas reçu l'ordre de l'automate car le convertisseur situé en amont a été "gelé" par protection contre des surintensités. Ce mode est lié à une erreur de programmation du logiciel de commande des convertisseurs.

Les autres éoliennes du parc redémarrent 1 mois après l'incident avec la mise à jour du logiciel et la mise en place d'un protocole de surveillance validé par l'inspection des installations classées.

- **12/02/2021 – PRIEZ (02) – Chute de pale :** Vers 8 h, la pale d'une éolienne se casse. L'alerte est donnée à l'exploitant par la mairie. Vers 9h15, les équipes de maintenance arrêtent l'ensemble des éoliennes du parc à distance. Sur place à 10h30, elles établissent un périmètre de sécurité de 150 m autour de l'éolienne. Un agent de sécurité surveille l'accès au site. Les débris de pales sont retirés. L'ensemble du parc est à l'arrêt.

La casse est due à un défaut de réparation au niveau du bord de fuite (trou). La réparation a été effectuée par un technicien à l'issue de la fabrication. Aucun système instrumenté de sécurité n'a détecté la rupture de pale pouvant entraîner l'arrêt de la machine en sécurité.

Des cordistes effectuent des contrôles visuels à l'aide de drones et de nacelles. L'exploitant détecte des défauts similaires sur 3 autres pales du parc. L'inspection des installations classées conditionne le redémarrage du parc, notamment, à l'analyse des causes de l'incident et à l'assurance du bon fonctionnement des systèmes instrumentés de sécurité.

Le parc éolien a déjà fait l'objet d'une rupture de pale sur une autre éolienne en 2017, lors de la mise en service du parc, à la suite d'un impact de foudre (ARIA 50148).

- **13/02/2021 – PATAK (45) – Chute de pale :** Un samedi matin, vers 8 h, une pale se détache d'une éolienne dans un parc éolien. L'exploitant reçoit une alerte de panne d'orientation de la nacelle mettant à l'arrêt la machine vers 11 h. Vers 12 h, une équipe d'intervention constate l'arrachement de fibres de verre sur le bord de fuite de l'une des 3 pales de la machine. Des techniciens mettent les pales en drapeau et placent la pale défectueuse vers le bas. Le rotor est bloqué mécaniquement. L'exploitant sécurise la zone, notamment par un balisage et la suppression du risque de chute d'éléments. Il arrête les autres éoliennes du parc.

Des lames de fibres de verre sont retrouvées à 30 m de la machine et des fragments jusqu'à 150 m. L'exploitant regroupe l'ensemble des débris dans un conteneur dédié avant passage de l'expert et la prise en charge par une société capable de recycler les composants et non de les incinérer.

A la suite d'une analyse de l'état de la pôle, un tiers expert constate un défaut de collage, soit en terme de répartition de la colle, soit en terme de qualité de la colle. Les indices précurseurs de fragilisation n'ont pas été détectés lors de la maintenance de contrôle. Il s'agirait d'une cinétique lente de rupture. L'exploitant constate une insuffisance des détecteurs, notamment de balourds et d'inclinaison, équipant la machine. En effet, aucun système de supervision à distance de l'éolienne n'a pu confirmer la chute de la pôle. L'événement a été constaté sur place après plusieurs heures.

L'exploitant lance des opérations de réparations des défauts visibles en surface des autres pôles et une thermographie de l'ensemble des pôles. L'inspection des installations classées conditionne le redémarrage de l'éolienne impliquée à la détermination des causes de l'incident et celui des autres éoliennes à un contrôle renforcé de l'état des pôles. Le parc est toujours à l'arrêt 2 mois après l'incident.

- **17/02/2021 – SAINTE ROSE (974) – Incendie (PDL)** : Vers 23h30, un feu se déclare dans le local base vie d'un parc éolien. Les pompiers interviennent. Un déversement d'huile et de graisse (6 m³) est visible sur 20 m devant le local. L'accès à la zone est interdit. L'exploitant met en arrêt sécurité le parc éolien et déploie des kits anti-pollution. Une semaine après l'incendie, la zone est dépolluée et le parc est remis en service. Une entreprise de dépollution enlève et traite les terres polluées. Après une inspection par le mainteneur de l'éolienne la plus proche de la base vie, il a été constaté qu'une partie du câble de basculement de l'éolienne a été impactée par l'incendie. L'exploitant prévoit conjointement avec son mainteneur le démantèlement du bâtiment ainsi que l'installation d'une nouvelle base vie équipée d'un système de détection incendie.
- **30/08/2021 – MOREAC (56) – Fuite d'huile** : Dans un parc éolien, à 22h17, une éolienne s'arrête à la suite d'une panne. Le lendemain, à 9h35, une équipe de techniciens se déplace pour constater la panne observe une fuite d'huile en sortie de nacelle sur la tour extérieure. Un flexible est rompu. Les techniciens le remplacent et nettoient l'intérieur de la nacelle. Une ceinture absorbante est mise en place en pied de la tour. 40 l d'huile de la boîte de vitesse se sont déversés au sol. Une semaine plus tard, une entreprise effectue un diagnostic de pollution des sols autour de l'éolienne. Le diagnostic de pollution détecte la présence d'huile sur la parcelle collée à l'éolienne. Une entreprise de dépollution du sol intervient pour enlever la couche de terre présentant des traces d'huile. Un nouveau diagnostic est réalisé et plus aucune trace d'huile n'est relevée. La fuite est due à la rupture d'un flexible. Le jour de l'événement, un câble collé au flexible a été changé, une possible dégradation immédiate a pu se produire à cause de la vétusté. À la suite de l'événement, l'exploitant entreprend de changer l'ensemble de ces flexibles usés sur toutes les autres turbines. De plus une communication de l'événement est effectuée auprès du personnel de maintenance.
- **14/09/2021 – TREILLES (11) – Blocage de rotor** : Une défaillance dans le mécanisme du rotor d'une éolienne (boîte de vitesse) provoque un blocage de ce dernier. La machine est orientée face au vent. L'aérogénérateur est arrêté. Dans l'attente du démontage complet du rotor et en raison d'un risque de déséquilibre susceptible d'entraîner la chute de toute ou partie de l'éolienne, un balisage est mis en place et l'accès est interdit. La boîte de vitesse est sanglée pour éviter qu'elle ne s'ouvre davantage. Le rotor doit être déposé sous 2 mois.
- **12/10/2021 – BETHENIVILLE (51) – Fuite d'huile** : Lors d'une intervention sur la turbine d'un parc éolien, les techniciens constatent une fuite d'huile localisée dans le hub. Des traces d'huile sont présentes en nacelle, dans le hub, le long du mât et sur une partie en béton de la fondation. L'équipe déploie le kit de dépollution, présent sur site, avec la pose de boudins absorbants et de feuilles absorbantes autour du mat de l'éolienne. Une perte de 20 l d'huile est enregistrée. Les boudins et feuilles absorbantes du kit anti-pollution utilisés sont traités par une entreprise agréée. Un joint défectueux sur un distributeur qui a causé la fuite du fluide hydraulique. À la suite de l'événement, l'exploitant remplace le kit de dépollution sur l'installation.
- **18/10/2021 – MONTAGNE-FAYEL (80) – Fuite d'huile** : Une fuite d'huile, provenant d'un parc éolien, est constatée par un agriculteur sur une parcelle agricole. Des petites projections d'huile sont visibles. La quantité d'huile perdue est estimée à 20 litres (à plus ou moins 50 %). La date du début de la fuite n'est pas déterminée mais celle-ci n'était pas présente lors du dernier entretien de maintenance 3 mois plus tôt. Un diagnostic de pollution des sols est réalisé par une entreprise. Un nettoyage des tours et des pôles est effectué un mois plus tard. La fuite est due à des tuyaux poreux dans le hub de l'éolienne. Les pièces défectueuses ont été remplacées 3 jours après la constatation de l'événement et la turbine a été placée à l'arrêt le temps de leur remplacement. Une vérification préventive de l'ensemble des flexibles hydrauliques de la machine et du reste du parc est effectuée. L'analyse des causes profondes a démontré que le problème était issu d'une erreur humaine à la conception des turbines : le technicien en charge de la construction a mal effectué le serrissage des tuyaux, ce qui a conduit à sa porosité plus rapide à l'origine de la fuite. A la suite de l'événement, l'exploitant va effectuer une inspection plus régulière des flexibles hydrauliques.
- **20/10/2021 – COOLE (51) – Chute d'un élément** : Vers 10h30, une partie en fibre du cône de nez d'une éolienne chute dans un parc éolien. Un périmètre de sécurité est mis en place. Le parc éolien est à l'arrêt, en attente d'inspections. Toutes les machines vont être inspectées avant une remise en fonctionnement. Le cône de nez incriminé est remplacé.
- **21/10/2021 – AUCHAY-SUR-VENDEE (85) – Chute de pale** : Vers 10 h, le lendemain du passage de la tempête Aurore, les pompiers sont alertés pour une pale de 60 m menaçant de tomber d'une éolienne de 180 m de haut. Une grande partie est pendante toujours solidaire de la tête rotor et des débris ont été projetés entre 100 et 400 m de l'éolienne. Un périmètre de sécurité est mis en place et un arrêté de circulation est pris par le maire. L'exploitant met à l'arrêt les 3 autres éoliennes du parc, les 5 autres éoliennes du parc qui en compte 9 au total étant déjà à l'arrêt. L'exploitant a reçu la veille à 21h07 une notification du capteur

acoustique de l'éolienne qui a mis l'éolienne à l'arrêt. Au moment de cet événement, la vitesse de vent maximale mesurée est de 36,3 m/s et la vitesse de vent en moyenne 10 m est de 21,4 m/s. L'éolienne ne pouvant pas être redémarrée à distance, une intervention de l'exploitant était prévue le lendemain. L'exploitant organise le démontage des éléments de la pale ayant subi l'accident encore fixé à l'éolienne. Une analyse est menée sur la pale dégradée afin de connaître les causes de l'accident et de pouvoir remettre en fonctionnement le parc éolien, mis en service 4 mois plus tôt.

- **03/11/2021 – LA FAGE MONTVERNOUX (49) – Fuite d'huile** : Des traces de graisse sont observées sur les plateformes et à la base des pôles d'éoliennes dans un parc éolien. Un diagnostic de pollution des sols est effectué. Le technicien de maintenance remplace les joints. Le déversement est lié à la présence de fissures sur les joints d'étanchéité des pôles.
- **03/12/2021 – LA SOUTERRAINE (23) – Chute de pale** : Vers 16 h, une éolienne perd une pale qui tombe dans une prairie à 60 à 100 m du pied de l'éolienne. Des débris chutent également à proximité de l'éolienne concernée. Le site est mis en sécurité et les 3 autres éoliennes du parc sont arrêtées. La fixation entre la pale et le moyeu central est restée attachée. Les pompiers, la gendarmerie et les mairies sont informés. Un gardiennage est mis en place sur le site. Le personnel exploitant est présent sur site dès 23h le jour même pour sécuriser la zone. Toutes les machines sont inspectées par des experts éoliens dans les jours qui ont suivi. L'inspection autorise la remise en fonctionnement des 3 autres machines après ces inspections techniques et transmission des rapports. Le site ne présente pas de problématique environnementale après l'enlèvement du morceau de pale tombé. Des prescriptions de mises en sécurité ainsi que des mesures d'urgences à titre conservatoire sont prises. À la suite de l'événement des expertises sont menées sur l'ensemble des pôles et des investigations complémentaires plus approfondies sont réalisées sur la pale accidentée.
- **24/12/2021 – FECAMP (76) – Chute d'élément** : Vers 9h10, un aérofrein se détache d'une pale d'éolienne dans un parc éolien. L'éolienne s'arrête automatiquement. Le cadre d'astreinte décide de ne pas tenter de relancer la machine à distance. Comme les consignes d'exploitation du parc ne prévoient pas d'astreinte, l'intervention des techniciens est programmée 3 jours plus tard. Lorsque l'équipe de maintenance se déplace sur le site, celle-ci découvre l'équipement à 155 m dans le champ jouxtant l'éolienne. La zone est balisée et l'aérofrein est évacué. Le parc entier est arrêté par mesure préventive en attente d'expertise. La perte d'exploitation est estimée à hauteur de 10 000 €. Un incident similaire a eu lieu sur cette même machine et même pôle 4 ans plus tôt (ARIA 50291), en raison de la casse d'une rondelle de maintien. Toutefois, l'origine de l'événement semble différente dans ce cas car la partie hélicoïdale est manquante. A la suite de cet événement, l'exploitant avait prévu une inspection tous les cinq ans, la suivante devait être effectuée à l'été 2022. L'exploitant explique cette nouvelle chute d'aérofrein par la combinaison de la rupture d'un tendeur et l'affaiblissement de l'assemblage collé de l'aérofrein. Les tendeurs sont contrôlés tous les 6 mois. Le collage est dimensionné pour tenir la durée de vie certifiée de l'éolienne (20 ans). L'affaiblissement proviendrait de la chute précédente. Après cet événement, le collage n'avait pu être vérifié par ultrasons car la présence de bulles d'air renvoyait un écho. L'exploitant décide de remplacer les 15 tendeurs du parc. Il lui est recommandé de :
 - préciser les attendus des contrôles semestriels et les actions à mener ;
 - renforcer la maintenance et la fréquence de contrôle et de remplacement des tendeurs ;
 - s'assurer que le programme d'inspection quinquennale reste adapté au regard du retour d'expérience ;
 - déployer le REX acquis aux autres parcs exploitant ce même type de machine.
- L'exploitant modifie la procédure concernant l'inspection visuelle des câbles et vérins du système d'aérofrein à une fréquence semestrielle. Le programme d'inspection quinquennale est jugé satisfaisant en termes de contenu et de fréquence.
- **03/02/2022 – NOIRIEU (51) – Fuite d'huile** : L'exploitant d'un parc éolien constate une fuite d'huile sur l'extérieur du mât d'une éolienne. Il met en place un kit d'absorption, nettoie le fond de la nacelle et y pose des chiffons absorbants. Des boudins sont mis autour du mât de l'éolienne pour éviter toute pénétration dans le sol. Après utilisation des boudins et des feuilles absorbantes du kit antifuite, ces derniers sont évacués et traités conformément à la gestion des emballages et matériaux souillés. L'origine de l'événement est une infiltration d'eau sur le toit de la nacelle, au niveau du raccordement du système de refroidissement, qui a emmené avec elle les taches d'huiles présentes dans le fond de nacelle, à l'extérieur du mât. L'origine de l'infiltration d'eau (raccordement non étanche) est étanchéifiée. Les autres éoliennes sont également inspectées.
- **10/02/2022 – ORESMAUX (80) – Fuite d'huile** : Vers 8 h, une fuite d'huile se produit au niveau du système d'orientation des pôles dans le rotor et le long de la tour d'une éolienne. Les équipes du turbinier, en arrivant sur place le matin, arrêtent la turbine et appliquent un kit anti-pollution. Des techniciens sont mandatés pour rechercher l'origine de la fuite et nettoyer l'intérieur de l'éolienne. Le défaut est corrigé. Le turbinier informe l'exploitant et le propriétaire terrien. 100 l d'huile se déversent le long du mât. Une faible quantité a atteint le pied de l'éolienne. La fuite est due à un bouchon d'un cylindre du système d'orientation des pôles dans le rotor mal resserré. A la suite de l'événement, l'exploitant fait un rappel aux techniciens de maintenance.
- **24/02/2022 – FRANCE – Perte de contrôle** : Plus d'une cinquantaine de parcs éoliens français et d'autres en Europe sont touchés par une cyberattaque, affectant 30 000 éoliennes. Il s'agit de la perte de communication du pilotage à distance avec le système SCADA (Supervisory Control and Data Acquisition) des éoliennes. Les éoliennes continuent à produire de l'électricité et fonctionnent en mode de sécurité automatique. Les exploitants mettent en place des visites quotidiennes de surveillance des parcs et une vigilance accrue des conditions météorologiques. Un parc est mis à l'arrêt devant l'impossibilité de réaliser ces visites.

La supervision à distance a été interrompue à cause de la cyberattaque de la liaison satellite. Elle est en lien avec l'invasion de l'Ukraine par la Russie car les satellites sont probablement utilisés pour des communications de l'armée ukrainienne. Certains parcs disposent d'un pilotage local en filaire et transmettent régulièrement les informations au centre de pilotage à distance. Des solutions 4G sont déployées quelques jours après la perte de communication du satellite mais l'approvisionnement en routeurs est retardé et des zones blanches persistent. Des exploitants basculent sur un autre satellite. Un mois après l'incident, tous les parcs ont retrouvé la communication à distance. Les exploitants et maintenanciers souhaitent mettre en œuvre des solutions pérennes de back-up de la communication par satellite.

- **01/04/2022 – ONDEFONTAINE (14) – Perte de contrôle :** Vers 11h30, une perte de monitoring des éoliennes par le constructeur en charge de leur maintenance se produit sur un parc éolien. Le contrôle des machines à distance n'est plus possible. L'exploitant du parc éolien vérifie le bon fonctionnement de ses outils de télégestion du parc et constate qu'ils sont opérationnels. L'exploitant informe les parties prenantes et met en place un mode de surveillance renforcé ainsi qu'un mode de transmission régulière des informations de monitoring avec le turbinier. Vers 18h30, la communication est rétablie. Il s'agit d'une cyberattaque. L'enseignement principal porte sur l'efficacité des outils de télégestion que l'exploitant a mis en place de son côté, permettant ainsi d'être en mesure de conserver la maîtrise opérationnelle de son parc éolien. L'exploitant demande au constructeur une analyse des causes afin de savoir si un renforcement de la sécurité des outils de télégestion est nécessaire ou non.

- **02/04/2022 – SAINT FELIX-LAURAGAIS (31) – Chute de pale :** À 9h27 un samedi, sur un parc éolien contenant 11 éoliennes, une pale d'éolienne composée de fibre de verre et de carbone de 40 m s'effondre partiellement en haut d'un mât de 60 m. Une partie de celle-ci reste suspendue au rotor. L'alerte est donnée par un riverain ayant constaté du bruit et des mouvements de pales anormaux. Les débris sont circonscrits à une centaine de mètres autour du mât. L'exploitant met en place un périmètre de sécurité autour de l'installation et un gardiennage physique sur le site. L'accès au parc éolien est interdit par arrêté municipal. Il est demandé aux 2 exploitants du parc de mettre à l'arrêt les machines et de procéder à des vérifications. L'exploitant doit également démonter les éléments présentant un risque de chute. Les jours précédents l'incident, 2 tempêtes de vent se sont produites. La nuit avant l'événement (à 20h40), une erreur du système de régulation de l'orientation (pitch) des pales apparaît sur l'éolienne. Cette erreur détecte un décalage entre la consigne d'orientation du pitch et la position du moteur sur lequel est le capteur. L'apparition de cette erreur entraîne, dans certaines conditions, l'arrêt par le système de contrôle interne de l'éolienne concernée. Celle-ci, après remise à zéro du pitch, peut être redémarrée à distance, selon la procédure prévue par la société en charge de la maintenance des éoliennes. L'éolienne a ainsi été redémarrée 20 min avant l'événement. Une panne/casse mécanique pourrait être à l'origine de l'erreur de pitch.

A la suite de l'événement, le maintenancier modifie la procédure de redémarrage des éoliennes lors de l'apparition d'une erreur de pitch afin qu'une vérification sur site du bon état général et de celui du pitch soit effectuée par un technicien. Il réalise :

- une inspection par drone pour analyser les dégâts sur la machine et rendre l'accès en pied de mat sans risque
- une inspection nacelle/hub/pale/pitch ;
- un découpage de la pale endommagée le 28/04/2022 ;
- un nettoyage et une évacuation des débris après la mise au sol de la pale rendant possible l'accès en pied de machine.

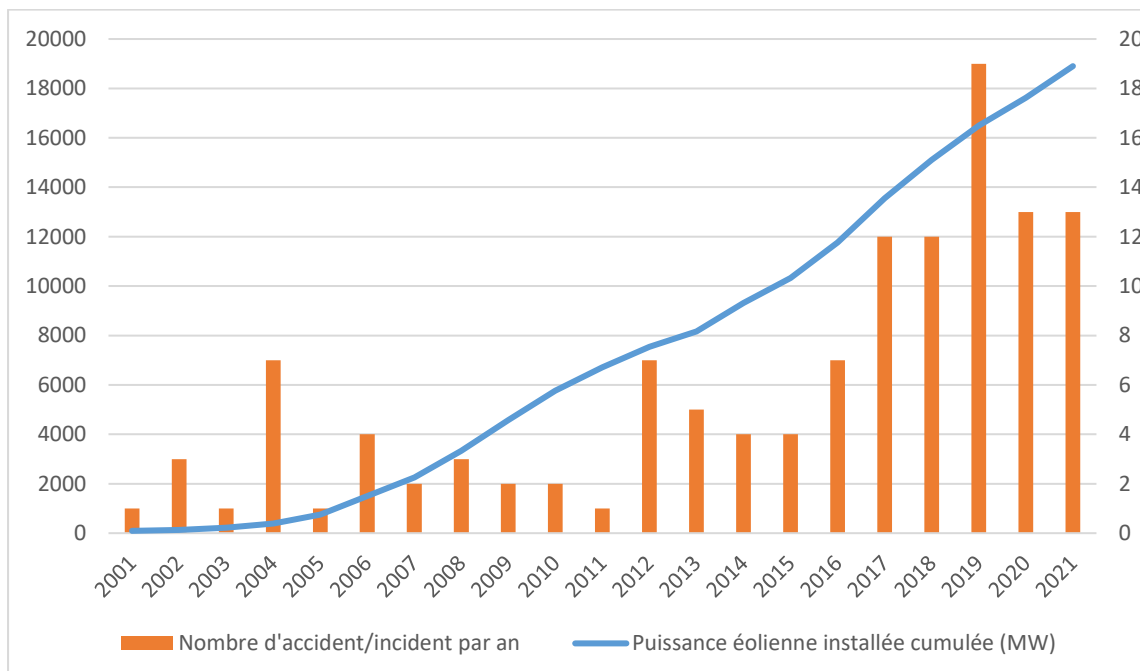
La recommandation d'un changement complet du jeu de pale est acceptée par l'exploitant. Ces pales sont amenées sur place début août 2022 et l'opération de remise en état est prévue d'ici la mi-août 2022. L'exploitant informe les 3 communes alentours par une lettre d'information à destination des concitoyens. Enfin, un poster à connaissance pour la remise en service est en préparation par l'exploitant pour accord de la Préfecture.

- **27/04/2022 – RIOLS (34) – Fuite d'huile :** Vers 10 h, des techniciens en intervention sur site constatent une coulée d'huile biodégradable de 140 l sur le mât et des projections de gouttes au sol sur la plateforme d'une éolienne. L'installation est mise à l'arrêt et un kit antipollution est disposé pour contenir la fuite au sol. D'après la fiche de données de sécurité, l'huile est facilement biodégradable. L'exploitant planifie un nettoyage de la tour et une évacuation de la couche superficielle souillée. L'installation est relancée le lendemain. La fuite est due à une rupture de flexible de la multiplicatrice en nacelle. Le lendemain de l'événement, l'exploitant fait réparer les flexibles et ajouter de nouveaux kits absorbants en pied de mât. Il prévoit l'évacuation des pierres souillées vers une entreprise agréée lors des travaux de dépollution. Les techniciens réalisent une visite sur site pour vérifier que la réparation a bien fonctionné (absence de nouvelle fuite) et pour renouveler les kits antipollution si nécessaire en pied de tour. L'exploitant fait vérifier les flexibles des multiplicatrices des autres éoliennes.
- **30/04/2022 – ROQUETAILLADE-ET-CONILHAC (11) – Chute de pale :** Vers 18 h, avec un vent de 9 m/s et par temps clair, la pale d'une éolienne tombe et se casse au pied de l'éolienne sans occasionner d'autres dégâts. Entre 19 h et 20 h, le propriétaire de la parcelle d'implantation contacte la gendarmerie à la suite de la perception de bruits anormaux provenant de l'aérogénérateur. La gendarmerie constate sur place l'effondrement de la pale au pied de la machine qui s'est arrêté en sécurité. Elle prévient l'astreinte de l'exploitant qui ouvre une cellule de crise interne. Les parties prenantes sont informées. L'exploitant met à l'arrêt, à distance, l'ensemble des 27 autres éoliennes des 2 parcs du site. L'astreinte se rend sur site, ferme la voie d'accès privée à l'ouvrage, installe un balisage et positionne une société de gardiennage. 2 périmètres de sécurité sont mis en place, à 30 et 100 m. Une visite d'un huissier permet de constater la scène et prendre des photos haute définition par drone afin d'appréhender les conditions d'accès au site pour l'intervention des techniciens. 10 jours après l'événement, une inspection préalable du constructeur est réalisée en présence de l'exploitant. Les risques d'effondrement de l'ouvrage sont écartés. 19 jours après la

chute, la pale est extraite du site et placée sous scellé pour expertises complémentaires. L'exploitant procède au nettoyage du site, avec notamment, une recherche de métaux. Il protège l'embase de la pale sur le rotor. Le gardiennage est levé. La pale a chuté à la verticale du rotor et s'est brisé au contact du sol à une distance de 4 m de la tour. Il n'y a pas eu de projections d'éléments de pale. A l'issue de l'expertise, la pale sera détruite. 2 parcs éoliens d'une puissance totale de 23 MW sont à l'arrêt pendant plus d'un mois. La chute de la pale fait suite à une rupture du roulement de pale. La bague extérieure solidaire du moyeu est ouverte et les billes de roulement sont tombées au sol. La casse de boulons est constatée sur un secteur supérieur à 180 °. L'exploitant procède au contrôle :

- des ensembles roulements, moyeux et de leur graissage sur l'ensemble des machines des 2 parcs ;
- des marquages de serrage de toutes les machines par un organisme tiers.

La figure suivante présente l'évolution de la puissance éolienne installée entre 2001 et 2021 et le nombre annuel d'accident/incident recensé sur la base ARIA :



ANNEXE 4 – SCENARIOS GENERIQUES ISSUS DE L'ANALYSE PRELIMINAIRE DES RISQUES

Cette partie apporte un certain nombre de précisions par rapport à chacun des scénarios étudiés par le groupe de travail technique dans le cadre de l'analyse préliminaire des risques.

Le tableau générique issu de l'analyse préliminaire des risques est présenté dans la partie VII.4. de l'étude de dangers. Il peut être considéré comme représentatif des scénarios d'accident pouvant potentiellement se produire sur les éoliennes et pourra par conséquent être repris à l'identique dans les études de dangers.

La numérotation des scénarios ci-dessous reprend celle utilisée dans le tableau de l'analyse préliminaire des risques, avec un regroupement des scénarios par thématique, en fonction des typologies d'événement redoutés centraux identifiés grâce au retour d'expérience par le groupe de travail précédemment cité (« G » pour les scénarios concernant la glace, « I » pour ceux concernant l'incendie, « F » pour ceux concernant les fuites, « C » pour ceux concernant la chute d'éléments de l'éolienne, « P » pour ceux concernant les risques de projection, « E » pour ceux concernant les risques d'effondrement).

Scénarios relatifs aux risques liés à la glace (G01 et G02)

Scénario G01

En cas de formation de glace, les systèmes de préventions intégrés stopperont le rotor. La chute de ces éléments interviendra donc dans l'aire surplombée par le rotor, le déport induit par le vent étant négligeable. Plusieurs procédures/systèmes permettront de détecter la formation de glace :

- Système de détection de glace
- Arrêt préventif en cas de déséquilibre du rotor
- Arrêt préventif en cas de givrage de l'anémomètre.

Scénario G02

La projection de glace depuis une éolienne en mouvement interviendra lors d'éventuels redémarrages de la machine encore « glacée », ou en cas de formation de glace sur le rotor en mouvement, simultanément à une défaillance des systèmes de détection de givre et de balourd.

Aux faibles vitesses de vents (vitesse de démarrage ou « cut in »), les projections resteront limitées au surplomb de l'éolienne. A vitesse de rotation nominale, les éventuelles projections seront susceptibles d'atteindre des distances supérieures au surplomb de la machine.

Scénarios relatifs aux risques d'incendie (I01 à I07)

Les éventuels incendies interviendront dans le cas où plusieurs conditions seraient réunies (Ex : Foudre + défaillance du système parafoudre = Incendie).

Le moyen de prévention des incendies consiste en un contrôle périodique des installations.

Dans l'analyse préliminaire des risques seulement quelques exemples vous sont fournis. La méthodologie suivante pourra aider à déterminer l'ensemble des scénarios devant être regardé :

- Découper l'installation en plusieurs parties : rotor, nacelle, mât, fondation et poste de livraison ;
- Déterminer à l'aide de mot clé les différentes causes (cause 1, cause 2) d'incendie possibles.

L'incendie peut aussi être provoqué par l'échauffement des pièces mécaniques en cas d'emballage du rotor (survitesse). Plusieurs moyens sont mis en place en matière de prévention :

- Concernant le défaut de conception et fabrication : Contrôle qualité
- Concernant le non-respect des instructions de montage et/ou de maintenance : Formation du personnel intervenant, Contrôle qualité (inspections)
- Concernant les causes externes dues à l'environnement : Mise en place de solutions techniques visant à réduire l'impact. Suivant les constructeurs, certains dispositifs sont de série ou en option. Le choix des options est effectué par l'exploitant en fonction des caractéristiques du site.

L'emballage peut notamment intervenir lors de pertes d'utilités. Ces pertes d'utilités peuvent être la conséquence de deux phénomènes :

- Perte de réseau électrique : l'alimentation électrique de l'installation est nécessaire pour assurer le fonctionnement des éoliennes (orientation, appareils de mesures et de contrôle, balisage, ...);

- Perte de communication : le système de communication entre le parc éolien et le superviseur à distance du parc peut être interrompu pendant une certaine durée.

Concernant la perte du réseau électrique, celle-ci peut être la conséquence d'un défaut sur le réseau d'alimentation du parc éolien au niveau du poste source. En fonction de leurs caractéristiques techniques, le comportement des éoliennes face à une perte d'utilité peut être différent (fonction du constructeur). Cependant, deux systèmes sont couramment rencontrés :

- Déclenchement au niveau du rotor du code de freinage d'urgence, entraînant l'arrêt des éoliennes ;
- Basculement automatique de l'alimentation principale sur l'alimentation de secours (batteries) pour arrêter les aérogénérateurs et assurer la communication vers le superviseur.

Concernant la perte de communication entre le parc éolien et le superviseur à distance, celle-ci n'entraîne pas d'action particulière en cas de perte de la communication pendant une courte durée.

En revanche, en cas de perte de communication pendant une longue durée, le superviseur du parc éolien concerné dispose de plusieurs alternatives dont deux principales :

- Mise en place d'un réseau de communication alternatif temporaire (faisceau hertzien, agent technique local...);
- Mise en place d'un système autonome d'arrêt à distance du parc par le superviseur.

Les solutions aux pertes d'utilités étant diverses, les porteurs de projets pourront apporter dans leur étude de dangers une description des protocoles qui seront mis en place en cas de pertes d'utilités.

Scénarios relatifs aux risques de fuites (F01 à F02)

Les fuites éventuelles interviendront en cas d'erreur humaine ou de défaillance matérielle.

Une attention particulière est à porter aux mesures préventives des parcs présents dans des zones protégées au niveau environnemental, notamment en cas de présence de périmètres de protection de captages d'eau potable (identifiés comme enjeux dans le descriptif de l'environnement de l'installation). Dans ce dernier cas, un hydrogéologue agréé devra se prononcer sur les mesures à prendre en compte pour préserver la ressource en eau, tant au niveau de l'étude d'impact que de l'étude de danger. Plusieurs mesures pourront être mises en place (photographie du fond de fouille des fondations pour montrer que la nappe phréatique n'a pas été atteinte, comblement des failles karstiques par des billes d'argile, utilisation de graisses végétales pour les engins, ...).

Scénario F01

En cas de rupture de flexible, perçage d'un contenant ..., il peut y avoir une fuite d'huile ou de graisse ... alors que l'éolienne est en fonctionnement. Les produits peuvent alors s'écouler hors de la nacelle, couler le long du mât et s'infiltrer dans le sol environnant l'éolienne.

Plusieurs procédures/actions permettront d'empêcher l'écoulement de ces produits dangereux :

- Vérification des niveaux d'huile lors des opérations de maintenance
- Détection des fuites potentielles par les opérateurs lors des maintenances
- Procédure de gestion des situations d'urgence

Deux événements peuvent être aggravants :

- Ecoulement de ces produits le long des pales de l'éolienne, surtout si celle-ci est en fonctionnement. Les produits seront alors projetés aux alentours.
- Présence d'une forte pluie qui dispersera rapidement les produits dans le sol.

Scénario F02

Lors d'une maintenance, les opérateurs peuvent accidentellement renverser un bidon d'huile, une bouteille de solvant, un sac de graisse ... Ces produits dangereux pour l'environnement peuvent s'échapper de l'éolienne ou être renversés hors de cette dernière, et infiltrer les sols environnants.

Plusieurs procédures/actions permettront d'empêcher le renversement et l'écoulement de ces produits :

- Kits anti-pollution associés à une procédure de gestion des situations d'urgence
- Sensibilisation des opérateurs aux bons gestes d'utilisation des produits

Ce scénario est à adapter en fonction des produits utilisés.

Événement aggravant : fortes pluies qui disperseront rapidement les produits dans le sol.

Scénarios relatifs aux risques de chute d'éléments (C01 à C03)

Les scénarios de chutes concernent les éléments d'assemblage des aérogénérateurs : ces chutes sont déclenchées par la dégradation d'éléments (corrosion, fissures, ...) ou des défauts de maintenance (erreur humaine).

Les chutes sont limitées à un périmètre correspondant à l'aire de survol.

Scénarios relatifs aux risques de projection de pales ou de fragments de pales (P01 à P06)

Les événements principaux susceptibles de conduire à la rupture totale ou partielle de la pale sont liés à 3 types de facteurs pouvant intervenir indépendamment ou conjointement :

- Défaut de conception et de fabrication
- Non-respect des instructions de montage et/ou de maintenance
- Causes externes dues à l'environnement : glace, tempête, foudre...

Si la rupture totale ou partielle de la pale intervient lorsque l'éolienne est à l'arrêt, on considère que la zone d'effet sera limitée au surplomb de l'éolienne

L'emballage de l'éolienne constitue un facteur aggravant en cas de projection de tout ou partie d'une pale. Cet emballage peut notamment être provoqué par la perte d'utilité décrite au 2.2 de la présente partie C (scénarios incendies).

Scénario P01

En cas de défaillance du système d'arrêt automatique de l'éolienne en cas de survitesse, les contraintes importantes exercées sur la pale (vent trop fort) pourraient engendrer la casse de la pale et sa projection.

Scénario P02

Les contraintes exercées sur les pales - contraintes mécaniques (vents violents, variation de la répartition de la masse due à la formation de givre...), conditions climatiques (averses violentes de grêle, foudre...) - peuvent entraîner la dégradation de l'état de surface et à terme l'apparition de fissures sur la pale.

Prévention : Maintenance préventive (inspections régulières des pales, réparations si nécessaire)

Facteur aggravant : Infiltration d'eau et formation de glace dans une fissure, vents violents, emballage de l'éolienne

Scénarios P03

Un mauvais serrage de base ou le desserrage avec le temps des goujons des pales pourrait amener au décrochage total ou partiel de la pale, dans le cas de pale en plusieurs tronçons.

Scénarios relatifs aux risques d'effondrement des éoliennes (E01 à E10)

Les événements pouvant conduire à l'effondrement de l'éolienne sont liés à 3 types de facteurs pouvant intervenir indépendamment ou conjointement :

- Erreur de dimensionnement de la fondation : Contrôle qualité, respect des spécifications techniques du constructeur de l'éolienne, étude de sol, contrôle technique de construction ;
- Non-respect des instructions de montage et/ou de maintenance : Formation du personnel intervenant
- Causes externes dues à l'environnement : séisme, ...

ANNEXE 5 – PROBABILITE D'ATTEINTE ET RISQUE INDIVIDUEL

Le risque individuel encouru par un nouvel arrivant dans la zone d'effet d'un phénomène de projection ou de chute est appréhendé en utilisant la probabilité de l'atteinte par l'élément chutant ou projeté de la zone fréquentée par le nouvel arrivant. Cette probabilité est appelée probabilité d'accident.

Cette probabilité d'accident est le produit de plusieurs probabilités :

$$P_{\text{accident}} = P_{\text{ERC}} \times P_{\text{orientation}} \times P_{\text{rotation}} \times P_{\text{atteinte}} \times P_{\text{présence}}$$

P_{ERC} = probabilité que l'événement redouté central (défaillance) se produise = probabilité de départ

$P_{\text{orientation}}$ = probabilité que l'éolienne soit orientée de manière à projeter un élément lors d'une défaillance dans la direction d'un point donné (en fonction des conditions de vent notamment)

P_{rotation} = probabilité que l'éolienne soit en rotation au moment où l'événement redouté se produit (en fonction de la vitesse du vent notamment)

P_{atteinte} = probabilité d'atteinte d'un point donné autour de l'éolienne (sachant que l'éolienne est orientée de manière à projeter un élément en direction de ce point et qu'elle est en rotation)

$P_{\text{présence}}$ = probabilité de présence d'un enjeu donné au point d'impact sachant que l'élément est projeté en ce point donné

Par souci de simplification, la probabilité d'accident sera calculée en multipliant la borne supérieure de la classe de probabilité de l'événement redouté central par le degré d'exposition. Celui-ci est défini comme le ratio entre la surface de l'objet chutant ou projeté et la zone d'effet du phénomène.

Le tableau ci-dessous récapitule les probabilités d'atteinte en fonction de l'événement redouté central.

Événement redouté central	Borne supérieure de la classe de probabilité de l'ERC (pour les éoliennes récentes)	Degré d'exposition	Probabilité d'atteinte
Effondrement	Rare (D) → 10^{-4}	$1,12 \times 10^{-2}$	$1,14 \times 10^{-6}$ (E)
Chute de glace	Courant (A) → 1	$8,5 \times 10^{-5}$	$8,5 \times 10^{-5}$ (D)
Chute d'éléments	Improbable (C) → 10^{-3}	$1,13 \times 10^{-2}$	$1,13 \times 10^{-5}$ (D)
Projection de tout ou partie de pale	Rare (D) → 10^{-4}	$1,7 \times 10^{-4}$	$1,7 \times 10^{-8}$ (E)
Projection de morceaux de glace	Probable (B) → 10^{-2}	$3,2 \times 10^{-6}$	$3,1 \times 10^{-8}$ (E)

Les seuls ERC pour lesquels la probabilité d'atteinte n'est pas de classe E sont ceux qui concernent le phénomène de chute de glace ou d'éléments, dont la zone d'effet est limitée à la zone de survol des pales, et où des panneaux sont mis en place pour alerter le public de ces risques.

De plus, les zones de survol sont comprises dans l'emprise des baux signés par l'exploitant avec le propriétaire du terrain, ou à défaut dans l'emprise des autorisations de survol si la zone de survol s'étend sur plusieurs parcelles. La zone de survol ne peut donc pas faire l'objet de constructions nouvelles pendant l'exploitation de l'éolienne.

ANNEXE 6 – GLOSSAIRE

Les définitions ci-dessous sont reprises de la circulaire du 10 mai 2010. Ces définitions sont couramment utilisées dans le domaine de l'évaluation des risques en France.

Accident : Evénement non désiré, tel qu'une émission de substance toxique, un incendie ou une explosion résultant de développements incontrôlés survenus au cours de l'exploitation d'un établissement qui entraîne des conséquences/ dommages vis à vis des personnes, des biens ou de l'environnement et de l'entreprise en général. C'est la réalisation d'un phénomène dangereux, combinée à la présence d'enjeux vulnérables exposés aux effets de ce phénomène.

Cinétique : Vitesse d'enchaînement des événements constituant une séquence accidentelle, de l'événement initiateur aux conséquences sur les éléments vulnérables (cf. art. 5 à 8 de l'arrêté du 29 septembre 2005). Dans le tableau APR proposé, la cinétique peut être lente ou rapide. Dans le cas d'une cinétique lente, les enjeux ont le temps d'être mises à l'abri. La cinétique est rapide dans le cas contraire.

Danger : Cette notion définit une propriété intrinsèque à une substance (butane, chlore...), à un système technique (mise sous pression d'un gaz...), à une disposition (élévation d'une charge...), à un organisme (microbes), etc., de nature à entraîner un dommage sur un « élément vulnérable » (sont ainsi rattachées à la notion de « danger » les notions d'inflammabilité ou d'explosivité, de toxicité, de caractère infectieux, etc. inhérentes à un produit et celle d'énergie disponible [pneumatique ou potentielle] qui caractérisent le danger).

Efficacité (pour une mesure de maîtrise des risques) ou capacité de réalisation : Capacité à remplir la mission/fonction de sécurité qui lui est confiée pendant une durée donnée et dans son contexte d'utilisation. En général, cette efficacité s'exprime en pourcentage d'accomplissement de la fonction définie. Ce pourcentage peut varier pendant la durée de sollicitation de la mesure de maîtrise des risques. Cette efficacité est évaluée par rapport aux principes de dimensionnement adapté et de résistance aux contraintes spécifiques.

Événement initiateur : Événement, courant ou anormal, interne ou externe au système, situé en amont de l'événement redouté central dans l'enchaînement causal et qui constitue une cause directe dans les cas simples ou une combinaison d'événements à l'origine de cette cause directe.

Événement redouté central : Événement conventionnellement défini, dans le cadre d'une analyse de risque, au centre de l'enchaînement accidentel. Généralement, il s'agit d'une perte de confinement pour les fluides et d'une perte d'intégrité physique pour les solides. Les événements situés en amont sont conventionnellement appelés « phase pré-accidentelle » et les événements situés en aval « phase post-accidentelle ».

Fonction de sécurité : Fonction ayant pour but la réduction de la probabilité d'occurrence et/ou des effets et conséquences d'un événement non souhaité dans un système. Les principales actions assurées par les fonctions de sécurité en matière d'accidents majeurs dans les installations classées sont : empêcher, éviter, détecter, contrôler, limiter. Les fonctions de sécurité identifiées peuvent être assurées à partir d'éléments techniques de sécurité, de procédures organisationnelles (activités humaines), ou plus généralement par la combinaison des deux.

Gravité : On distingue l'intensité des effets d'un phénomène dangereux de la gravité des conséquences découlant de l'exposition d'enjeux de vulnérabilités données à ces effets.

La gravité des conséquences potentielles prévisibles sur les personnes, prises parmi les intérêts visés à l'article L. 511-1 du code de l'environnement, résulte de la combinaison en un point de l'espace de l'intensité des effets d'un phénomène dangereux et de la vulnérabilité des enjeux potentiellement exposés.

Indépendance d'une mesure de maîtrise des risques : Faculté d'une mesure, de par sa conception, son exploitation et son environnement, à ne pas dépendre du fonctionnement d'autres éléments et notamment d'une part d'autres mesures de maîtrise des risques, et d'autre part, du système de conduite de l'installation, afin d'éviter les modes communs de défaillance ou de limiter leur fréquence d'occurrence.

Intensité des effets d'un phénomène dangereux : Mesure physique de l'intensité du phénomène (thermique, toxique, surpression, projections). Parfois appelée gravité potentielle du phénomène dangereux (mais cette expression est source d'erreur). Les échelles d'évaluation de l'intensité se réfèrent à des seuils d'effets moyens conventionnels sur des types d'éléments vulnérables [ou enjeux] tels que « homme », « structures ». Elles sont définies, pour les installations classées, dans l'arrêté du 29/09/2005. L'intensité ne tient pas compte de l'existence ou non d'enjeux exposés. Elle est cartographiée sous la forme de zones d'effets pour les différents seuils.

Mesure de maîtrise des risques (ou barrière de sécurité) : Ensemble d'éléments techniques et/ou organisationnels nécessaires et suffisants pour assurer une fonction de sécurité. On distingue parfois :

- les mesures (ou barrières) de prévention : mesures visant à éviter ou limiter la probabilité d'un événement indésirable, en amont du phénomène dangereux
- les mesures (ou barrières) de limitation : mesures visant à limiter l'intensité des effets d'un phénomène dangereux
- les mesures (ou barrières) de protection : mesures visant à limiter les conséquences sur les enjeux potentiels par diminution de la vulnérabilité.

Phénomène dangereux : Libération d'énergie ou de substance produisant des effets, au sens de l'arrêté du 29 septembre 2005, susceptibles d'infliger un dommage à des enjeux (ou éléments vulnérables) vivantes ou matérielles, sans préjuger l'existence de ces dernières. C'est une « Source potentielle de dommages »

Potentiel de danger (ou « source de danger », ou « élément dangereux », ou « élément porteur de danger ») : Système (naturel ou créé par l'homme) ou disposition adoptée et comportant un (ou plusieurs) « danger(s) » ; dans le domaine des risques technologiques, un « potentiel de danger » correspond à un ensemble technique nécessaire au fonctionnement du processus envisagé.

Prévention : Mesures visant à prévenir un risque en réduisant la probabilité d'occurrence d'un phénomène dangereux.

Protection : Mesures visant à limiter l'étendue ou/et la gravité des conséquences d'un accident sur les éléments vulnérables, sans modifier la probabilité d'occurrence du phénomène dangereux correspondant.

Probabilité d'occurrence : Au sens de l'article L. 512-1 du code de l'environnement, la probabilité d'occurrence d'un accident est assimilée à sa fréquence d'occurrence future estimée sur l'installation considérée. Elle est en général différente de la fréquence historique et peut s'écarte, pour une installation donnée, de la probabilité d'occurrence moyenne évaluée sur un ensemble d'installations similaires.

Attention aux confusions possibles :

1. Assimilation entre probabilité d'un accident et celle du phénomène dangereux correspondant, la première intégrant déjà la probabilité conditionnelle d'exposition des enjeux. L'assimilation sous-entend que les enjeux sont effectivement exposés, ce qui n'est pas toujours le cas, notamment si la cinétique permet une mise à l'abri ;
2. Probabilité d'occurrence d'un accident x sur un site donné et probabilité d'occurrence de l'accident x, en moyenne, dans l'une des N installations du même type (approche statistique).

Réduction du risque : Actions entreprises en vue de diminuer la probabilité, les conséquences négatives (ou dommages), associés à un risque, ou les deux. [FD ISO/CEI Guide 73]. Cela peut être fait par le biais de chacune des trois composantes du risque, la probabilité, l'intensité et la vulnérabilité :

- Réduction de la probabilité : par amélioration de la prévention, par exemple par ajout ou fiabilisation des mesures de sécurité
- Réduction de l'intensité :
 - par action sur l'élément porteur de danger (ou potentiel de danger), par exemple substitution par une substance moins dangereuse, réduction des vitesses de rotation, etc.
 - réduction des dangers: la réduction de l'intensité peut également être accomplie par des mesures de limitation

La réduction de la probabilité et/ou de l'intensité correspond à une réduction du risque « à la source ».

- Réduction de la vulnérabilité : par éloignement ou protection des éléments vulnérables (par exemple par la maîtrise de l'urbanisation, ou par des plans d'urgence).

Risque : « Combinaison de la probabilité d'un événement et de ses conséquences » (ISO/CEI 73), « Combinaison de la probabilité d'un dommage et de sa gravité » (ISO/CEI 51).

Scénario d'accident (majeur) : Enchaînement d'événements conduisant d'un événement initiateur à un accident (majeur), dont la séquence et les liens logiques découlent de l'analyse de risque. En général, plusieurs scénarios peuvent mener à un même phénomène dangereux pouvant conduire à un accident (majeur) : on dénombre autant de scénarios qu'il existe de combinaisons possibles d'événements y aboutissant. Les scénarios d'accident obtenus dépendent du choix des méthodes d'analyse de risque utilisées et des éléments disponibles.

Temps de réponse (pour une mesure de maîtrise des risques) : Intervalle de temps requis entre la sollicitation et l'exécution de la mission/fonction de sécurité. Ce temps de réponse est inclus dans la cinétique de mise en œuvre d'une fonction de sécurité, cette dernière devant être en adéquation [significativement plus courte] avec la cinétique du phénomène qu'elle doit maîtriser.

Les définitions suivantes sont issues de l'arrêté du 26 août 2011 relatif aux installations de production d'électricité utilisant l'énergie mécanique du vent au sein d'une installation soumise à autorisation au titre de la rubrique 2980 de la législation des installations classées pour la protection de l'environnement :

Aérogénérateur : Dispositif mécanique destiné à convertir l'énergie du vent en électricité, composé des principaux éléments suivants : un mât, une nacelle, le rotor auquel sont fixées les pales, ainsi que, le cas échéant, un transformateur

Survitesse : Vitesse de rotation des parties tournantes (rotor constitué du moyeu et des pales ainsi que la ligne d'arbre jusqu'à la génératrice) supérieure à la valeur maximale indiquée par le constructeur.

Enfin, quelques sigles utiles employés dans le présent document sont listés et explicités ci-dessous :

APR : Analyse Préliminaire des Risques

EDD : Etude de dangers

ERP : Etablissement Recevant du Public

FEE : France Energie Eolienne (branche éolienne du SER)

ICPE : Installation Classée pour la Protection de l'Environnement

INERIS : Institut National de l'Environnement Industriel et des Risques

SER : Syndicat des Energies Renouvelables

ANNEXE 7 – BIBLIOGRAPHIE ET REFERENCES UTILISEES

- [1] L'évaluation des fréquences et des probabilités à partir des données de retour d'expérience (ref DRA-11-117406-04648A), INERIS, 2011
- [2] NF EN 61400-1 Eoliennes – Partie 1 : Exigences de conception, Juin 2006
- [3] Wind Turbine Accident data to 31 March 2011, Caithness Windfarm Information Forum
- [4] Site Specific Hazard Assessment for a wind farm project – Case study – Germanischer Lloyd, Windtest Kaiser-Wilhelm-Koog GmbH, 2010/08/24
- [5] Guide for Risk-Based Zoning of wind Turbines, Energy research centre of the Netherlands (ECN), H. Braam, G.J. van Mulekom, R.W. Smit, 2005
- [6] Specification of minimum distances, Dr-ing. Veenker ingenieurgesellschaft, 2004
- [7] Permitting setback requirements for wind turbine in California, California Energy Commission – Public Interest Energy Research Program, 2006
- [8] Oméga 10: Evaluation des barrières techniques de sécurité, INERIS, 2005
- [9] Arrêté du 26 août 2011 relatif aux installations de production d'électricité utilisant l'énergie mécanique du vent au sein d'une installation soumise à autorisation au titre de la rubrique 2980 de la législation des installations classées pour la protection de l'environnement
- [10] Arrêté du 29 Septembre 2005 relatif à l'évaluation et à la prise en compte de la probabilité d'occurrence, de la cinétique, de l'intensité des effets et de la gravité des conséquences des accidents potentiels dans les études de dangers des installations classées soumises à autorisation
- [11] Circulaire du 10 mai 2010 récapitulant les règles méthodologiques applicables aux études de dangers, à l'appréciation de la démarche de réduction du risque à la source et aux plans de prévention des risques technologiques (PPRT) dans les installations classées en application de la loi du 30 Juillet 2003
- [12] Bilan des déplacements en Val-de-Marne, édition 2009, Conseil Général du Val-de-Marne
- [13] Arrêté du 29 Septembre 2005 relatif à l'évaluation et à la prise en compte de la probabilité d'occurrence, de la cinétique, de l'intensité des effets et de la gravité des conséquences des accidents potentiels dans les études de dangers des installations classées soumises à autorisation
- [14] Alpine test site Gütsch : monitoring of a wind turbine under icing conditions- R. Cattin et al.
- [15] Wind energy production in cold climate (WECO), Final report - Bengt Tammelin et al. – Finnish Meteorological Institute, Helsinki, 2000
- [16] Rapport sur la sécurité des installations éoliennes, Conseil Général des Mines - Guillet R., Leteurtrois J.-P. - juillet 2004
- [17] Risk analysis of ice throw from wind turbines, Seifert H., Westerhellweg A., Kröning J. - DEWI, avril 2003
- [18] Wind energy in the BSR: impacts and causes of icing on wind turbines, Narvik University College, novembre 2005